

# Rozdział VI. *Gród suraski we wczesnym średniowieczu*

Hanna Olczak, Dariusz Krasnodębski

## VI.1. Zarys stratygrafii

Informacje o charakterze struktur osadniczych wczesnośredniowiecznego grodu pochodzą głównie z interpretacji wyników badań w wykopie 4 z 2013 r. Został on wytyczony w północno-wschodniej części obiektu, na granicy wału i majdanu (ryc. VI.1; por. rozdz. III, ryc. III.1; III.2)<sup>1</sup>. Łączna miąższość odkrytych w tym miejscu nawarstwień wczesnośredniowiecznych sięgała ok. 3 m (ryc. VI.2–9)<sup>2</sup>. Na podstawie analizy stratygrafii i materiałów zabytkowych wyróżniono cztery główne fazy osadnicze: I, IIA–IIC, IID–IIE i III, odzwierciedlające zmiany zachodzące w tej części grodu.



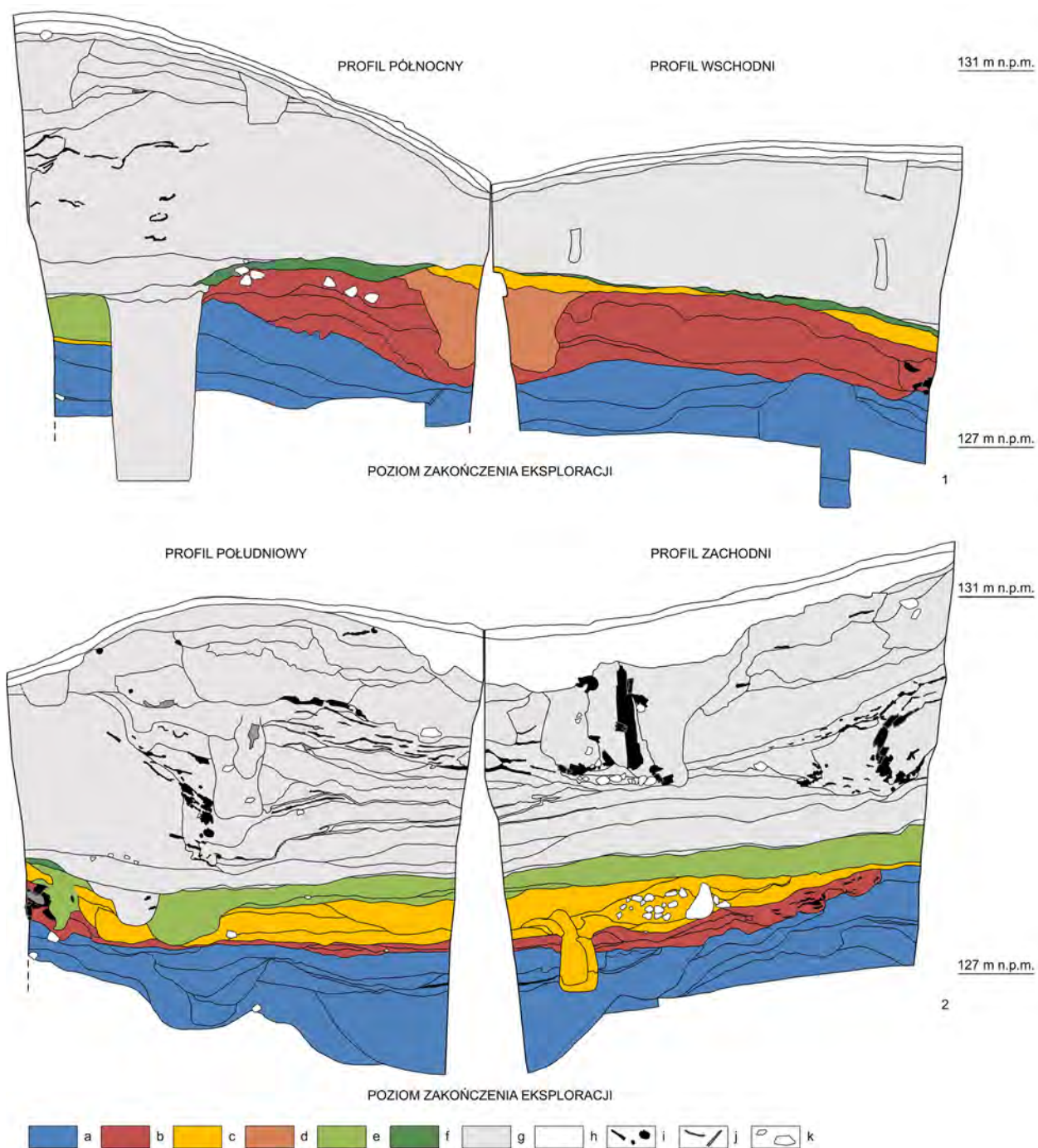
**Ryc. VI.1.** Suraż, pow. białostocki, stan. 1. Grodzisko podczas badań wykopaliskowych w 2013 r. (widok od wschodu, 06.08.2013 r.). Fot. M. Kmicik

<sup>1</sup> W wykopach 1–3 z 2004 r. nie stwierdzono reliktyw z okresu wczesnego średniowiecza. Pochodzące z tych sondaży znaleziska wczesnośredniowieczne omówiono w podrozdziałach VI.2 i VI.3. Natomiast wyniki badań przeprowadzonych w 1936 r. zaprezentowano w rozdziale V.

<sup>2</sup> Spągu warstw antropogenicznych nie osiągnięto z powodu osunięcia się w końcowej fazie badań części profili wykopu.

## VI.1.1. Faza I

### Podfaza IA – budowa konstrukcji obronnych



Ryc. VI.2. Suraż, pow. białostocki, stan. 1, wykop 4. Zestawienie profili wykopu z zaznaczonymi fazami użytkowania stanowiska we wczesnym średniowieczu: a – faza I; b – faza IIA–IIC; c – faza IID–IIE; d – faza IIA–IIC lub IID–IIE; e – faza III; f – faza III lub IV; g – warstwy późnośredniowieczne i wczesnonowożytnie; h – humus i darń; i – drewno spalone; j – drewno niespalone; k – kamienie. Rys. H. Olczak, Z. Tragarz

Pozostałości najstarszego wczesnośredniowiecznego grodu są trudne do interpretacji ze względu na niepełny stopień ich rozpoznania. Wykop 4 objął wewnętrzną i środkową część nasypu wału z tego okresu, a także niewielki obszar znajdujący się u jego podstawy od strony majdanu. Przebadana miąższość umocnień wynosiła ok. 2,3 m – od ok. 126,3 m n.p.m. we wkopie sprawdzającym wykonanym przy wschodnim profilu wykopu do ok. 128,6 m n.p.m. (ryc. VI.6–9). Spągu warstw antropogenicznych jednak nie osiągnięto, a zatem trudno określić całkowitą wysokość wału. Biorąc pod uwagę, że górna część umocnień została najprawdopodobniej zniszczona w wyniku późniejszej przebudowy (por. dalej, faza IIA), można przypuszczać, że miały one znaczną wysokość. Przy obecnym stanie rozpoznania wykopaliskowego trudno natomiast interpretować wyniki badań geofizycznych i odwiertów wykonanych świdrem geologicznym, według których strop calca na terenie grodziska znajduje się na wysokości ok. 124 m n.p.m. (por. rozdz. I.2 i rozdz. IV.4, ryc. IV.13). Tak dużą miąższość najstarszych nawarstwień (ok. 4,5 m licząc do zachowanego szczytu wału), można wyjaśnić na dwa sposoby. Pierwsza hipoteza zakłada, że omawianą fazę poprzedzał jeszcze jeden, nieuchwycony podczas badań wykopaliskowych etap funkcjonowania grodu. Według innej – bardziej prawdopodobnej – rozpoznana część wału zbudowana została na sztucznym nasypie, którego zadaniem było podwyższenie, a zarazem wyrównanie opadającej w stronę rzeki powierzchni wysoczyzny polodowcowej. Możliwość usytuowania grodu na „wzgórzu sztucznie usypanym” sugerował już Aleksander Stafiński (Stafiński 1937b, 11). Hipoteza ta wymaga jednak potwierdzenia przez bardziej szczegółowe badania geologiczne i archeologiczne.

Najniższy zarejestrowany poziom stratygraficzny nasypu wału osiągnięto przy wschodnim profilu wykopu (ryc. VI.6). Wyróżniono tu żółty piasek z brunatnymi plamkami i być może węgielkami drzewnymi (warstwa 443; warstwa – dalej cyt.: w.), o miąższości co najmniej 0,3 m. Powyżej, w środkowej części badanego obszaru, znajdowała się cienka warstewka brązowego i ciemnobrunatnego piasku o miąższości do ok. 0,08 m, nasyconego substancjami organicznymi (w. 406, ryc. VI.10; VI.11). Tworzyła ona w przybliżeniu czworokątny zarys o wymiarach ok. 2,8 × 2,3 m, a jej strop opadał wyraźnie w kierunku południowo-wschodnim. Warstwa zawierała drobne węgle, m.in. dębowe, a także smugi spalenizny (?) i pozostałości grzybów mikoryzowych *Cenococcum geophilum*, powstających na korzeniach roślin drzewiastych (por. rozdz. XII)<sup>3</sup>. Prawdopodobnie były to resztki rozłożonego, a być może również i spalonego drewna, wykorzystywanego do budowy umocnień.

W obrębie warstwy 406 oraz na północ i wschód od niej zarejestrowano brązowe i ciemnobrązowe smugi o szerokości do 0,1 m (w. 347 i 397), gdzieśgdzie (w północno-wschodnim narożniku wykopu) z plamkami popiołu i drobnymi węglami drzewnymi (ryc. VI.10–13). Przecinały się one pod kątem prostym, tworząc czworokątne zarisy o szerokości ok. 1 m i orientacji zgodnej z przebiegiem tego odcinka wału (południowy wschód – północny zachód). Ślady te można interpretować jako pozostałości drewnianych skrzyń, stabilizujących nasyp. Miejscami były one widoczne do ok. 1 m powyżej stropu warstwy 406 (w. 397, ryc. VI.7). Taką technikę budowy umocnień wymusiła przypuszczalnie sypka struktura piaszczystego podłoża, na którym je wzniesiono, a także rodzaj użytego materiału. Nie bez znaczenia było również to, że wschodni odcinek wału posadowiony został blisko krawędzi skarpy rzecznej. Częścią omawianej konstrukcji była też zapewne spalona dębowa belka lub deska

<sup>3</sup> Zamieszczone w rozdziale informacje odnoszące się do pozostałości roślinnych zaczerpnięto z następujących prac: Szychowska-Krąpiec, Krąpiec 2013; Skrzyński 2015.

o szerokości ok. 0,1 m i zachowanej długości ok. 0,45 m (w. 408), leżąca na przedłużeniu ściany jednej ze skrzyń (ryc. VI.11; VI.14). Ok. 0,10–0,15 m poniżej niej odkryto skupisko węgla dębowych, stanowiących najprawdopodobniej pozostałość kolejnej belki (w. 409).



Ryc. VI.3. Suraż, pow. białostocki, stan. 1, wykop 4. Północny profil wykopu (widok w trakcie eksploatacji nasypu wału podfazy IA). Fot. D. Krasnodębski



Ryc. VI.4. Suraż, pow. białostocki, stan. 1, wykop 4. Zachodni profil wykopu (widok w trakcie eksploatacji nawarstwień fazy I). Fot. D. Krasnodębski

Warstwy wypełniające poszczególne skrzynie różniły się od siebie nieznacznie barwą i strukturą, na ogół jednak były zbliżone do piasku calcowego (ryc. VI.12; VI.13). Niekiedy widoczne w nich były plamki i spływy ciemniejszego piasku lub gliny, rzadziej węgle drzewne i pojedyncze grudki polepy. W środkowej i wschodniej części wykopu nad warstwą 406 uchwycono kilka poziomów nasypu (w. 291, 348, 348/1, 396 i 399), o łącznej miąższości ok. 1,8–2,0 m (ryc. VI.6; VI.7). Wyróżniała się zalegająca bezpośrednio nad nią warstwa 399, w której stwierdzono dużą liczbę drobnych węgli dębowych (ryc. VI.11). Najwyższą zachowaną część umocnień tej fazy tworzył jednolity żółty piasek (w. 291), miejscami przechodzący w żółtobezowy, o miąższości od 0,1 do 0,5 m i stropie nachylonym w stronę rzeki (ryc. VI.7). W jego górnej strefie znajdowało się kilka średniej wielkości kamieni. Natomiast w południowo-wschodnim narożniku wykopu uchwycono warstwy żółtobezowego i jasnobrązowego piasku z drobnymi węglami drzewnymi i nielicznymi grudkami polepy (w. 396/1 i 418). Ich stropy i spągi wyraźnie opadały w kierunku południowo-zachodnim, w związku z czym można je interpretować jako osypisko z górnej części nasypu (ryc. VI.6; VI.9).



**Ryc. VI.5.** Suraz, pow. białostocki, stan. 1, wykop 4. Profile w południowo-zachodnim narożniku wykopu (widok w trakcie eksploracji nawarstwień fazy I). Fot. D. Krasnodębski

W północno-zachodniej części wykopu zarejestrowano struktury tworzące wewnętrzny stok umocnień, o łącznej grubości ok. 1,2 m (ryc. VI.8). Ich schodkowy układ i duże nachylenie stropów świadczy zapewne o osunięciu się nasypu wału w kierunku majdanu. W tym miejscu eksplorację zakończono na warstwie 419 – jasnoszarym piasku o miąższości co najmniej 0,3 m, zawierającym pojedyncze drobne węgle drzewne (ryc. VI.8). Nad nią znajdował się żółty piasek o miąższości do 0,3 m (w. 419/1), a wyżej jasnobrązowy piasek o grubości 0,1–0,3 m, z nielicznymi żółtymi plamkami i drobnymi węglami sosny (w. 415). Na stropie drugiej z wymienionych warstw widoczna była cienka soczewka spalenizny, zawierająca duże węgle dębu i kilka kamieni (w. 381). Stanowiła ona prawdopodobnie pozostałość paleniska (obiekt

382; obiekt – dalej cyt.: ob.), o lekko nieckowatym przekroju i zachowanej głębokości ok. 0,06 m (ryc. VI.8; VI.10). Powyżej zalegał żółty piasek o miąższości 0,1–0,4 m (w. 332), bardzo podobny do warstwy 419/1, a z kolei nad nim brązowy piasek o grubości 0,1–0,2 m (w. 306=384)<sup>4</sup>. Ostatnia warstwa wyróżniała się wyraźnym spadkiem w dwóch kierunkach – południowo-zachodnim i północno-wschodnim, przy kulminacji w północno-zachodnim narożniku wykopu (ryc. VI.7; VI.8). Górny poziom nasypu tworzył w tym miejscu żółtobieżowy piasek z dużą liczbą żółtych plamek i wtrętów rdzawobrazowej gliny (w. 349), podobny do warstwy 348. Jego miąższość dochodziła do 0,4 m, a strop i spąg opadały w stronę rzeki (ryc. VI.7).

Z nasypu wału omawianej fazy pozyskano niewielką liczbę materiałów zabytkowych. Było to łącznie ok. 40 ułamków naczyń, w większości pochodzących z warstwy 306, oraz ok. 20 fragmentów kości zwierzęcych. W wymienionej warstwie znaleziono również ziarniak żyta.

W południowo-zachodnim narożniku wykopu, u wewnętrznej podstawy umocnień, odkryto fragment jamy 412 (ryc. VI.8–10). Jej przebadana część, o mało wyraźnych granicach, miała wymiary ok. 2,0 × 1,6–2,1 m i głębokość ok. 0,9 m. Wypełnisko obiektu składało się z soczewek jasnobrązowego i żółtego piasku (w. 411), pod względem struktury i barwy zbliżonego do opisanych wyżej warstw osuwiskowych z nasypu wału. Odnotowano w nim kilka kamieni, bardzo drobne węgle drzewne, na ogół dębowe, a także pojedyncze bryłki polepy, m.in. duży kawałek o obu powierzchniach płaskich (tabl. VI.30: 4). Strop tych warstewek układał się nieckowato, tworząc niewielkie zagłębienie o wymiarach ok. 0,8 × 0,6 m i miąższości ok. 0,3 m. Zalegał w nim brązowy piasek (w. 407) z nielicznymi węglami dębu i sosny oraz kilkoma kamieniami, niekiedy ze śladami okopcenia (ryc. VI.10; VI.15). W jego górnej części znajdowała się duża liczba bryłek słabo wypalanej i mocno rozdrobnionej polepy. Na niektórych z nich zachowały się odciski o charakterze konstrukcyjnym, głównie płaskie – licowe lub odcisnięte od jakiejś powierzchni. Na północny zachód od jamy 412, prawdopodobnie wzdłuż jej granicy, ciągnął się wąski pas brązowego piasku (w. 413), stanowiący być może przedłużenie ściany jednej z opisanych wyżej skrzyń (ryc. VI.10). W pobliżu miejsca, gdzie załamywał się on pod kątem prostym, na stoku obiektu, ok. 0,1–0,2 m poniżej jego stropu, odnotowano skupisko kilku średniej wielkości kamieni, z których część była okopcona. W wypełnisku jamy znaleziono po kilka fragmentów ceramiki naczyniowej (tabl. VI.23: 15) i kości zwierzęcych, pochodzących m.in. ze świni oraz owcy lub kozy<sup>5</sup>.

Nad wypełniskiem wschodniej części jamy 412, a także na wschód od niej, wzdłuż południowej granicy wykopu, zalegał jasnobrązowy piasek o miąższości ok. 0,25 m, stanowiący zapewne osuwisko z wyższej części nasypu wału (w. 383, ryc. VI.9). Zawierał on dość liczne drobne bryłki słabo wypalanej polepy, m.in. z różnymi odciskami konstrukcyjnymi, takimi jak powierzchnie wypukłe i płaskie, w tym jedna być może z negatywem deski, oraz fragmenty ze śladami zagładzania palcami i wiechciem. Gdziekolwiek w spągu warstwy odnotowano niewielkie węgle, pochodzące głównie z dębu, rzadziej z grabu. Znaleziono też w niej nieliczne fragmenty kości zwierzęcych i ceramiki naczyniowej (tabl. VI.23: 12, 13).

<sup>4</sup> W przypadku tych jednostek stratygraficznych, które w dokumentacji polowej oznaczono kilkoma numerami, przyjęto zasadę podawania pełnej numeracji przy pierwszym odwołaniu się do nich w tekście, przy kolejnych zaś ograniczono się do głównego numeru. Wyjątek stanowią niekiedy podpisy pod rycinami, co wynika z obecności na zdjęciach różnych numerów.

<sup>5</sup> Zamieszczone w rozdziale informacje na temat znalezionych w poszczególnych nawarstwieniach szczątków zwierzęcych pochodzą z następujących opracowań: Makowiecka, Makowiecki 2015; Piątkowska-Małecka 2015; Tomek 2015a.

ryc. VI.6

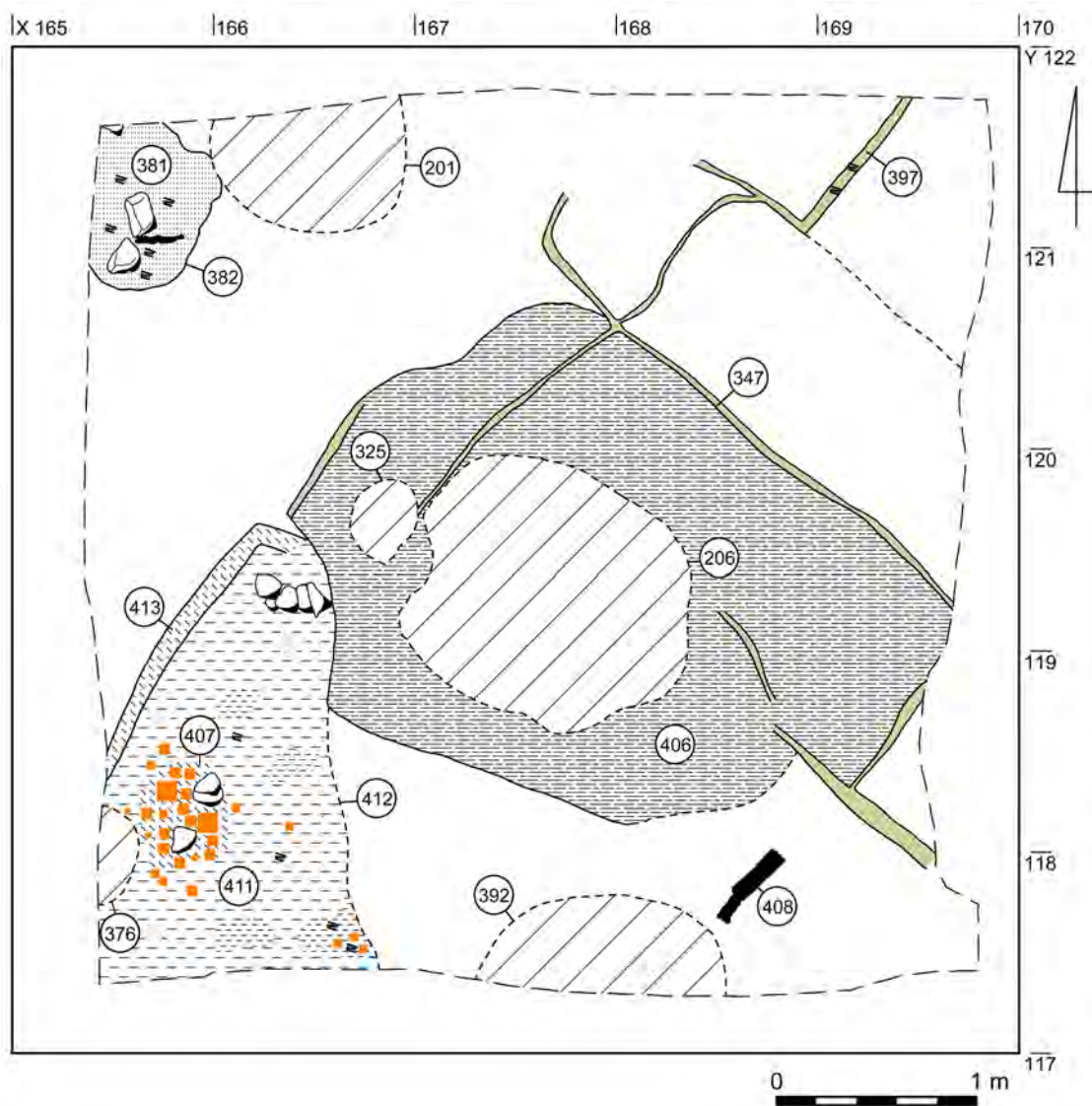
ryc. VI.7



ryc. VI.8

ryc. VI.9

Z powodu rozpoznania niewielkiego fragmentu jamy 412 oraz braku w jej wypełnisku charakterystycznych materiałów zabytkowych trudno stwierdzić, jaką pełniła funkcję. Możliwe, że jej powstanie związane było z pozyskiwaniem piasku na budowę wału. Wydaje się, że obiekt był używany przez krótki czas i został zasypany jeszcze w trakcie wznoszenia umocnień lub wkrótce po ich ukończeniu. Nastąpiło to prawdopodobnie wskutek wspomnianego już osunięcia się nasypu w kierunku majdanu. Niewykluczone, że przyczynić się do tego mogło właśnie wykopanie głębokiej jamy w pobliżu jego podstawy. Zastanawiająca jest obecność w stropie tego obiektu, a także w zalegającej nad nim warstwie 383 dość licznych fragmentów polepy z odciskami o charakterze konstrukcyjnym. Pozostałości te, podobnie jak drobne węgle drzewne występujące w niektórych warstwach nasypu, mogą być związane z pożarem, który wybuchł jeszcze przed ukończeniem budowy i zniszczył nieokreślone drewniano-gliniane konstrukcje. Możliwe jest też, że polepa i węgle pochodzą z warstw destrukcyjnych starszej fazy osadniczej, która nie została rozpoznana w trakcie badań.



Ryc. VI.10. Suraż, pow. białostocki, stan. 1, wykop 4. Plan zbiorczy struktur podfazy IA. Rys. H. Olczak, Z. Tragarz



Ryc. VI.11. Suraż, pow. białostocki, stan. 1, wykop 4. Warstwa 406 podfazy IA, zniszczona przez dół posłupowy późnośredniowiecznej fazy V (ob. 206). Fot. D. Krasnodębski



Ryc. VI.12. Suraż, pow. białostocki, stan. 1, wykop 4. Struktury fazy I, zniszczone przez młodsze doły posłupowe (widok od wschodu). Fot. D. Krasnodębski

#### Podfaza IB – kolejny etap budowy umocnień lub użytkowanie grodu

U wewnętrznej podstawy nasypu wału odkryto nawarstwienia stratygraficznie młodsze niż opisane wyżej struktury. Związane one były z kolejnymi pracami przy budowie umocnień, ewentualnie z najstarszym etapem użytkowania grodu.



**Ryc. VI.13.** Suraż, pow. białostocki, stan. 1, wykop 4. Ślady skrzyń widoczne w nasypie wału podfazy IA w północno-wschodnim narożniku wykopu (widok od wschodu). Fot. D. Krasnodębski

W południowo-zachodnim narożniku wykopu odsłonięto fragment spalonej konstrukcji z drewna (ryc. VI.16). Ułożona ona była w niewielkim nieckowatym zagłębieniu, znajdującym się w stropie jamy 412 oraz u południowej podstawy nasypu wału, który w tym celu prawdopodobnie lekko podkopano (ryc. VI.8; VI.9). W miejscu tym dobrze zachowały się dwa poziomy drewna. Dolny z nich tworzyła odkryta na niewielkim odcinku deska 405, zorientowana z południowego wschodu na północny zachód i nachylona, podobnie jak cała konstrukcja, w kierunku południowo-wschodnim (ryc. VI.9; VI.15; VI.16). Leżała ona na warstewce jasnoszarego, prawdopodobnie przeprażonego piasku, o miąższości do 0,10 m (w. 434, ryc. VI.8; VI.9). Na północ i wschód od niej odnotowano pasmo spalenizny z węglami drzewnymi, wskazujące, że od tej strony przylegała do niej równolegle kolejna deska (w. 445, ryc. VI.16). Kontynuacją tego poziomu mogła być także znajdująca się dalej na północ cienka czarna warstewka z dużą ilością substancji organicznych (w. 435, ryc. VI.8). Deskę 405 przykrywał przepalony piasek i żwir o miąższości ok. 0,1–0,2 m, zawierający dużą ilość popiołu i węgla drzewnych, a gdzieś tam również grudki polepy (w. 404). Rozciągał się on na odcinku ok. 1 m wzdłuż zachodniej granicy wykopu, a bardziej na wschód przechodził w naturalny żółty piasek (w. 404/1, ryc. VI.8; VI.9). Powyżej zarejestrowano trzy kolejne spalone dębowe deski (w. 394, 395 i 401), o szerokości ok. 0,2 m i grubości ok. 0,01–0,02 m, zachowane na długości od 0,4 do 0,8 m (ryc. VI.16–18). Ułożone one były równolegle do siebie, a prostopadle do drewna 405, po osi południowy zachód – północny wschód. Każda deska znajdująca się dalej na południe leżała o kilka centymetrów niżej niż sąsiadująca z nią od północy. W stropie zalegającej między nimi warstwy 393 (por. dalej, podfaza IC) widoczne były ślady po trzech całkowicie rozłożonych półokrągłakach (w. 447), skierowanych płaską stroną ku górze (ryc. VI.8). Sugeruje to, że nad opisanym poziomem mogła znajdować się jeszcze jedna warstwa drewna.

Na podstawie sposobu ułożenia desek można przypuszczać, że stanowiły one pozostałość konstrukcji przekładkowej. Ze względu na rozpoznanie jedynie fragmentu tej struktury jej funkcja jest trudna do interpretacji. Przypuszczalnie tworzyła ona rodzaj platformy lub pomostu, zbudowanego u wewnętrznej podstawy nasypu wału. Nie jest jednak wykluczone, że zadaniem desek było jedynie wzmocnienie podłoża w miejscu, gdzie ze względu na wykopanie jamy 412 było ono mało stabilne. Mniej prawdopodobna wydaje się hipoteza, że drewno jest pozostałością konstrukcji ustawionej pierwotnie na szczycie nasypu wału, na przykład płotu, gdyż jego układ i stan zachowania wskazują, że wypaliło się ono *in situ*.

Z opisywanym etapem użytkowania grodu związana jest zapewne również odkryta przy południowym profilu wykopu jama 392 (ryc. VI.9; VI.14; VI.16). Jej przebadana część miała wymiary ok. 1,25 × 0,50 m oraz nieregularnie nieckowaty przekrój, o miąższości ok. 0,7 m. Obiekt wykopany został prawdopodobnie z poziomu warstwy 383. Na jego dnie zalegał szary piasek z żółtym plamkami (w. 436), a powyżej jasnobrązowy piasek z drobnymi bryłkami polepy i kilkoma fragmentami naczyń (w. 391), stanowiący osuwisko z warstwy 383. Górna część wypełniska jamy ukształtowała się przypuszczalnie już w następnej podfazie (IC). Był to brunatny piasek z ciemnoszarymi plamkami i wytrąceniami żelazistymi, w dolnej części zawierający niewielką liczbę drobnych węgli drzewnych (w. 390). Struktura tej warstwy może wskazywać na jej długotrwałe formowanie się w warunkach zmiennej wilgotności. Znalezione w niej tylko jeden ułamek ceramiki (tabl. VI.23: 14). Podobnie jak w przypadku jamy 412, również wykopanie tego obiektu mogło być związane z pozyskiwaniem piasku na budowę wału.

#### **Podfaza IC – spalenie i opuszczenie grodu**

Umocnienia grodu fazy I zostały najprawdopodobniej zniszczone w wyniku pożaru. Na obszarze nasypu wału nie stwierdzono wyraźnej warstwy pogorzeliiskowej, zapewne z powodu zniwelowania jego górnej części w późniejszym okresie. O działaniu ognia świadczyły jedynie widoczne w północno-wschodnim narożniku wykopu ślady częściowego wypalenia drewnianych skrzyń, w postaci popiołu i węgli drzewnych (w. 397). U wewnętrznej podstawy nasypu spaliła się opisana wyżej drewniana konstrukcja przekładkowa oraz belki 408 i 409. Za zniszczeniem grodu przez pożar pośrednio przemawia również duża liczba drobnych węgli drzewnych w zalegającej w południowo-wschodniej części wykopu warstwie 418, interpretowanej jako ospisko z górnej części umocnień, a także obecność węgli i polepy w nawarstwieniach nasypu młodszej fazy IIA–IIC (por. dalej).

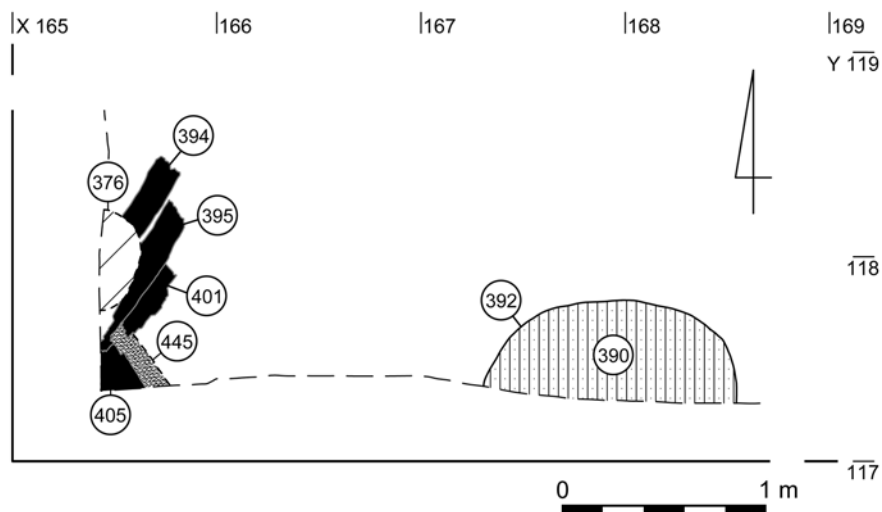
Po spaleniu grodu u wewnętrznej podstawy nasypu wału odłożyła się warstwa 343, która przykryła struktury podfazy IB. Miała ona ok. 0,15–0,30 m miąższości i ciągnęła się pasem o szerokości ok. 1 m wzdłuż południowej granicy wykopu (ryc. VI.8; VI.9). Składały się na nią spływowe warstewki i plamy brunatnego i ciemnobrunatnego piasku, z niewielkimi jasnoszarymi plamkami oraz węgielkami dębu i brzozy. Znalezione w niej po kilka fragmentów naczyń wczesnośredniowiecznych i kości zwierzęcych oraz ziarniaki pszenicy zwyczajnej i żyta. Przedłużeniem tej warstwy w kierunku północnym był najprawdopodobniej szary piasek z ciemniejszymi spływami (w. 393), który osadził się między deskami 394, 395 i 401 (ryc. VI.17). Zawierał on pojedyncze drobne węgle drzewne oraz nasiona żyta zwyczajnego i maliny lub jeżyny.



Ryc. VI.14. Suraż, pow. białostocki, stan. 1, wykop 4. Dolna część południowego profilu wykopu z widoczną jamą 392 (podfaza IB) i leżącą przy jej granicy belką 408 (podfaza IA). Fot. D. Krasnodębski



Ryc. VI.15. Suraż, pow. białostocki, stan. 1, wykop 4. Warstwa 407 w górnej części wypełniska jamy 412 oraz znajdująca się w narożniku wykopu spalona deska 405 (podfazy IA i IB). Fot. D. Krasnodębski



Ryc. VI.16. Suraż, pow. białostocki, stan. 1, wykop 4. Południowa część wykopu – jama 392 i spalone deski podfazy IB, zniszczone przez dół posłupowy fazy IID–IIE (ob. 376). Rys. H. Olczak, Z. Tragarz



Ryc. VI.17. Suraż, pow. białostocki, stan. 1, wykop 4. Południowo-zachodnia część wykopu – deski 394 i 395 w szarej warstwie spływowej 393 (podfazy IB i IC) oraz profil dołu posłupowego 380 (faza IIA–IIC). Fot. D. Krasnodębski

Na niewielkiej powierzchni przy południowym profilu wykopu nad warstwą 343 zarejestrowano ciekawą warstewkę spalenizny, o miąższości do 0,15 m (w. 389, ryc. VI.9). Może być ona związana już z następną fazą użytkowania grodu, ewentualnie z jakimś epizodem osadniczym, który nie został uchwycony podczas badań.





Ryc. VI.18. Suraż, pow. białostocki, stan. 1, wykop 4. Spalone dębowe deski 394, 395 i 401 w południowo-zachodnim narożniku wykopu (podfaza IB). Fot. D. Krasnodębski

### VI.1.2. Faza IIA–IIC

#### Podfaza IIA – odbudowa wału

Na dwie następne fazy, IIA–IIC i IID–IIE, przypada główny etap funkcjonowania wczesnośredniowiecznego grodu. Ze względu na objęcie badaniami również części majdanu (ryc. VI.19) struktury związane z użytkowaniem obiektu w tym czasie były bardziej czytelne i łatwiejsze do interpretacji niż nawarstwienia z poprzedniego okresu. Wydaje się, że w wymienionych fazach gród funkcjonował bez dłuższej przerwy osadniczej, a wzniesione w podfazie IIA umocnienia służyły bez większych przebudów także w późniejszym okresie.

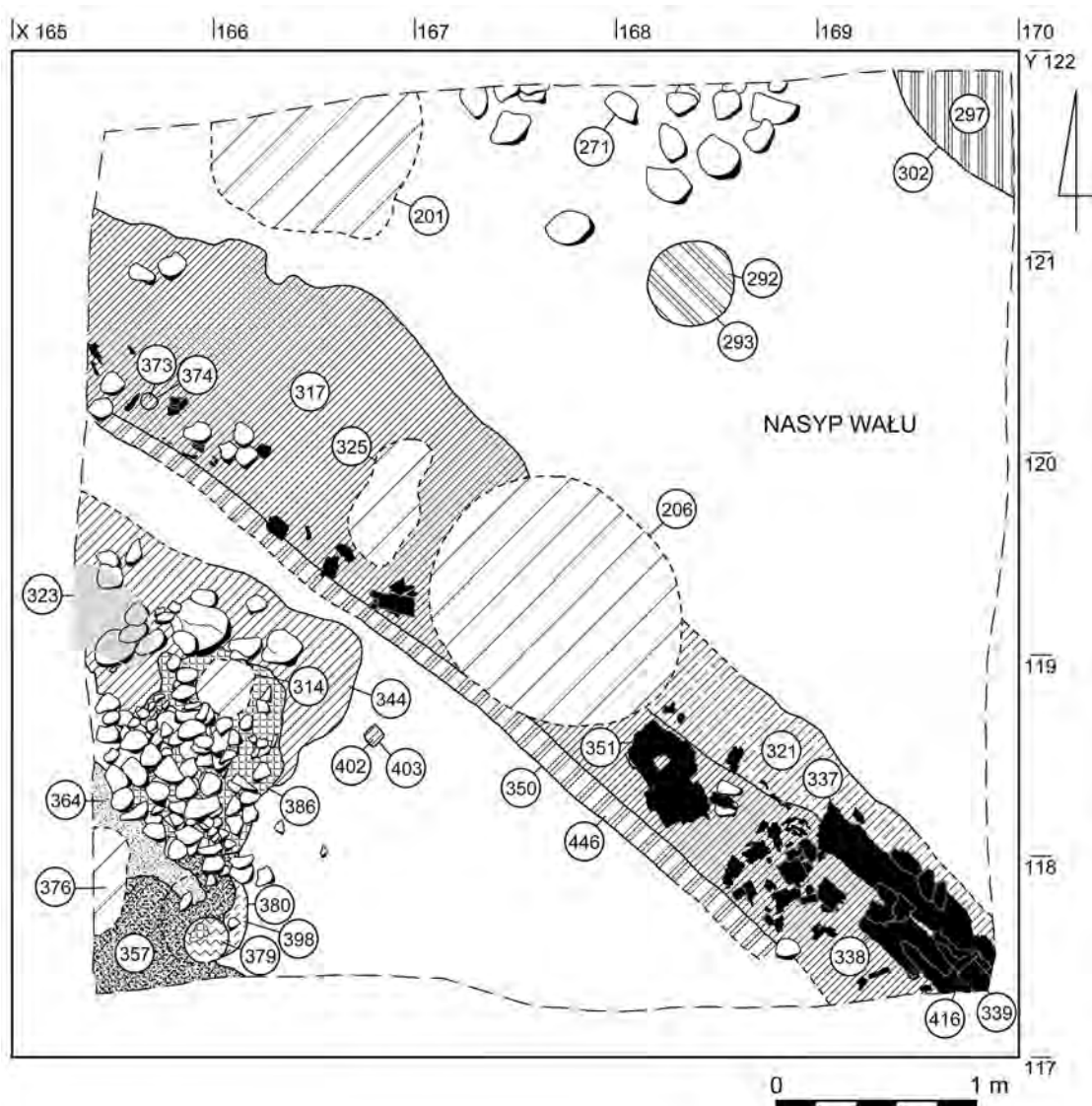
Do budowy umocnień fazy IIA wykorzystano starsze konstrukcje obronne, które przekształcono, a następnie podwyższono. Szczyt nasypu wału z wcześniejszego okresu najprawdopodobniej zniwelowano, przesuując linię nowych obwarowań na zewnątrz, przez co powiększono powierzchnię majdanu. Zachowana wysokość umocnień w stosunku do ich wewnętrznej podstawy wynosiła na przebadanym odcinku ok. 1,6 m (od ok. 127,3 do ok. 128,9 m n.p.m.). Nie stwierdzono wyraźnych pozostałości drewnianego lub kamiennego szkieletu bądź jądra wału. Dolny poziom nadbudowanej części nasypu tworzył mocno zgliniony brązowy piasek o miąższości ok. 0,2 m, zarejestrowany przy północnej granicy wykopu (w. 299, ryc. VI.7). Zawierał on duże fragmenty słabo wypalanej polepy, węgle dębowe, a także kawałek spalonej deski lub belki z nieokreślonego gatunku drzewa. Relikty te trudno interpretować jako zachowane *in situ* elementy konstrukcyjne, bardziej prawdopodobne jest, że pochodziły one ze zniszczonych struktur starszej fazy. Wyżej zalegał zgliniony jasnobrązowy piasek o miąższości sięgającej miejscami 0,55 m (w. 304), z nieco ciemniejszą cienką warstewką na

stropie (w. 423, ryc. VI.6). Warstwy te zapewne wzmocniały i zabezpieczały przed osuwaniem się pozostałości nasypu z poprzedniego okresu. Nad nimi znajdował się żółty i brązowy piasek z brunatnymi plamami, o miąższości ok. 0,1–0,4 m (w. 303, ryc. VI.6; VI.7). Zawierał on kilka drobnych bryłek polepy oraz niewielkie węgle drzewne, pochodzące m.in. z dębu, sosny i jesionu wyniosłego. Powyżej wyróżniono brunatny piasek o miąższości 0,2–0,3 m, z niewielką liczbą drobnych węgli drzewnych, pochodzących m.in. z dębu, brzozy i klonu (w. 262, ryc. VI.6; VI.7; VI.20). Wydaje się, że tworzył on najwyższą część umocnień z omawianego okresu. Świadczy o tym jego zbliżona do humusu struktura, a także obecność kilkunastu średniej wielkości kamieni (w. 271), stanowiących być może pozostałość szczątkowo zachowanego licowania szczytu nasypu (ryc. VI.7; VI.19; VI.20). Warstwa 262 zawierała liczne fragmenty na ogół dobrze wypalanej polepy, zwykle z odciskami o charakterze konstrukcyjnym, trudnymi jednak do interpretacji z powodu rozdrobnienia materiału. W przeciwieństwie do niższej części nasypu wału, z której pochodzą bardzo nieliczne znaleziska, odkryto w niej ok. 50 ułamków ceramiki naczyniowej (tabl. VI.5: 15, 16; VI.6: 1–7), kościany przekłuwacz (ryc. VI.21; tabl. VI.25: 9) oraz ok. 20 fragmentów kości zwierzęcych, należących głównie do gatunków hodowlanych. Obecność w tym zbiorze ułamków naczyń charakterystycznych dla faz IID–IIE i III można tłumaczyć z jednej strony tym, że warstwa tworzyła górną część umocnień również w późniejszych okresach, z drugiej zaś przemieszaniem materiałów podczas eksploracji.

Nie jest natomiast pewne, czy z opisywanym, czy może z następnym (faza IID) etapem budowy obwarowań związane są obiekty 293 i 302. Większy z nich (ob. 302), przebadany częściowo, wkopany był w zewnętrzny stok nasypu wału, prawdopodobnie z poziomu warstwy 262 (ryc. VI.6; VI.7; VI.19; VI.22). Miał on zapewne kolisty kształt w planie, o średnicy ok. 1 m lub nieco większej, oraz ok. 0,95 m głębokości. Wypełnisko jamy tworzył brunatny piasek (w. 297), podobny do warstwy 262, zawierający niewielką liczbę węgli dębu i brzozy, skupionych głównie w dolnej części, a także po kilka bryłek polepy i fragmentów naczyń (tabl. VI.11: 22). Znaleziono w nim również pojedyncze ziarniaki owsa i żyta zwyczajnego. Jednolity charakter wypełniska może wskazywać na intencjonalne zasypanie jamy. W odległości ok. 1,2 m na południowy zachód od niej, na szczycie nasypu, zlokalizowany był mniejszy obiekt 293, który miał ok. 0,4 m średnicy i przypuszczalnie ok. 0,5 m głębokości (ryc. VI.19; VI.20). Wypełniony był on plamistym piaskiem o brunatnej i brązowej barwie, z pojedynczymi drobnymi węglami dębu (w. 292). Obie struktury można interpretować jako doły na słupy, stanowiące podporę dla ustawionego przypuszczalnie na szczycie wału płotu. Trudno stwierdzić, czy ich wykopanie było równoczesowe z budową umocnień w podfazie IIA, czy też miało związek z późniejszą naprawą, przeprowadzoną na przykład jeszcze pod koniec tej lub już w kolejnej fazie (IID) użytkowania grodu (por. rozdz. VI.1.3).

Od strony majdanu nasyp wału wzmocniony został konstrukcją z drewna (ob. 431). Jej pozostałością był pas spalenizny o orientacji południowy wschód – północny zachód (w. 317), ciągnący się u podstawy umocnień (ryc. VI.19; VI.23). Odtworzenie kształtu konstrukcji jest trudne ze względu na słaby stan jej zachowania, a także prawdopodobną przebudowę w następnej fazie (IID). Z omawianym okresem związane są niewątpliwie relikty odsłonięte w zachodniej części wykopu, w późniejszym okresie przykryte przez wzniesioną w tym miejscu chatę. Zachowały się tu niewielkie kawałki spalonego drewna, pochodzące głównie z brzozy, rzadziej z dębu i klonu, znajdujące się w pasie przepalonego piasku o szerokości ok. 1,2 m

(w. 317, ryc. VI.19; por. podfaza IIC). Na podstawie kształtu spągu tej warstwy, widocznym na zachodnim profilu wykopu (ryc. VI.8), można sądzić, że dolną część konstrukcji tworzył co najmniej jeden rząd belek o średnicy ok. 0,25–0,30 m. Ułożono je poziomo wzdłuż linii nasypu, lekko go w tym celu podkopując. Belki ustabilizowano zapewne pionowymi kołkami. Pozostałością jednego z nich był obiekt 374, o kolistym kształcie w planie i średnicy ok. 0,08 m (ryc. VI.19). Miał on stożkowy przekrój, o zachowanej miąższości wypełniska (w. 373) ok. 0,15 m. W pobliżu spalonego drewna znajdowało się również kilkanaście średniej wielkości kamieni o niejasnej funkcji. Nie odnotowano natomiast większych fragmentów polepy, które mogłyby wskazywać na oblepienie drewna gliną. U wewnętrznej podstawy konstrukcji ciągnął się płytki rowek o szerokości ok. 0,10–0,15 m i głębokości ok. 0,05 m, wypełniony brunatnym piaskiem z niewielką liczbą węgli dębowych i brzoźowych (ob. 350, w. 446, ryc. VI.19; VI.23–25). Stanowił on przypuszczalnie ślad po ograniczającej ją od strony majdanu belce lub desce.



**Ryc. VI.19.** Suraz, pow. białostocki, stan. 1, wykop 4. Plan zbiorczy struktur fazy IIA–IIC (z uwzględnieniem warstw i obiektów pochodzących być może z fazy IID–IIE). Rys. H. Olczak, Z. Tragarz

**Ryc. VI.20.** Suraż, pow. białostocki, stan. 1, wykop 4. Fragment północnego profilu wykopu z warstwą 262 (faza IIA–IIC). Na pierwszym planie widoczny spąg dołu posłupowego 293 (faza IIA–IIC lub IID–IIE). Fot. D. Krasnodębski



**Ryc. VI.21.** Suraż, pow. białostocki, stan. 1, wykop 4. Kościany przekłuwacz znaleziony w warstwie 262. Fot. M. Osładacz



**Ryc. VI.22.** Suraż, pow. białostocki, stan. 1, wykop 4. Północno-wschodni narożnik wykopu z widocznym profilem jamy 302 (faza IIA–IIC lub IID–IIE). Fot. D. Krasnodębski



W południowo-wschodniej części wykopu relikty konstrukcji 431 były lepiej zachowane, trudno jednak rozstrzygnąć, czy odkryte w tym miejscu drewno pochodziło z opisywanej fazy użytkowania grodu, czy też związane było z naprawą przeprowadzoną w późniejszym okresie. Znajdujące się tu bierwiona, wykonane z drewna dębowego, ułożone zostały prawdopodobnie w dwóch rzędach. Być może pozostałością wewnętrzną z nich była belka 351, o szerokości ok. 0,3 m, grubości ok. 0,15 m i zachowanej długości ok. 0,55 m (ryc. VI.23–

26). Wycięto w niej prostokątny otwór o wymiarach  $0,08 \times 0,07$  m, służący przypuszczalnie do osadzenia pionowego kołka. W południowo-wschodnim narożniku wykopu przetrwały dwa rzędy drewna, o łącznej miąższości ok.  $0,35\text{--}0,40$  m. Dolny poziom wewnętrznego pasa tworzyła belka 338, odkryta na długości ok.  $0,5$  m i szerokości ok.  $0,2$  m (ryc. VI.19). Obok niej, od strony nasypu wału, znajdowała się belka 337=341, o podobnej szerokości i długości w obrębie wykopu ok.  $1,15$  m (ryc. VI.19; VI.27; VI.28). Ułożona ona była ok.  $0,20\text{--}0,25$  m wyżej niż wewnętrzny rząd drewna. Wyższy poziom konstrukcji tworzyły słabiej zachowane belki 339 i 416, z których druga, o grubości  $0,15$  m, była tylko częściowo spalona (ryc. VI.9). Między bierwionami równoległymi do linii umocnień odkryto mniejsze kawałki drewna, prostopadłe do nich (ryc. VI.19; VI.23–26). Leżały one bądź poziomo, bądź ukośnie (z górną częścią skierowaną w stronę nasypu wału), rzadziej ustawione były pionowo. Stanowiły one niewątpliwie jakieś elementy stabilizujące główne belki.

Prace przy odbudowie grodu w przywałowej części majdanu rozpoczęto przypuszczalnie od wyrównania jego powierzchni. Świadectwo tych działań stanowiła warstwa żółtego piasku z plamami spalenizny i węgielkami drzewnymi (w. 345). Miała ona ok.  $0,02\text{--}0,10$  m miąższości i ciągnęła się pasem o szerokości ok.  $2$  m wzdłuż wewnętrznej podstawy nasypu wału (ryc. VI.8; VI.9; VI.23). Odkryto w niej m.in. ziarniaki żyta i prosa. Jej kontynuacją w dalszej części majdanu był zapewne podobnej miąższości jasnobrązowy piasek z dużą liczbą drobnych grudek polepy (w. 377, ryc. VI.8; VI.9). Na tym poziomie majdanu znaleziono paciorek z zielonego szkła (ryc. VI.29: 1; tabl. VI.25: 8), a także nieliczne fragmenty ceramiki naczyniowej (tabl. VI.23: 11) i kości zwierzęcych, w większości przemieszczone prawdopodobnie z zalegających powyżej warstw użytkowych (por. dalej, podfaza IIB).



Ryc. VI.23. Suraż, pow. białostocki, stan. 1, wykop 4. Struktury fazy IIA–IIC w południowej części wykopu. Na drugim planie widoczne warstwy nasypu wału podfazy IA. Fot. D. Krasnodębski

**Ryc. VI.24.** Suraż, pow. białostocki, stan. 1, wykop 4. Pozostałości konstrukcji 431 (faza IIA–IIC?) w południowo-wschodniej części wykopu, m.in. belka 351 i rowek 350 (widok od południa). Na pierwszym planie żuchwa łosia ze spągu jamy 426 (faza III). Fot. D. Krasnodębski



**Ryc. VI.25.** Suraż, pow. białostocki, stan. 1, wykop 4. Najniższy poziom konstrukcji 431 w południowo-wschodniej części wykopu (faza IIA–IIC?). Fot. D. Krasnodębski



**Ryc. VI.26.** Suraż, pow. białostocki, stan. 1, wykop 4. Spalona belka 351 z konstrukcji 431 (faza IIA–IIC?). Fot. D. Krasnodębski





Ryc. VI.27. Suraż, pow. białostocki, stan. 1, wykop 4. Pozostałości konstrukcji 431 w południowo-wschodnim narożniku wykopu, m.in. belka 337=341 (faza IIA–IIC?). Fot. D. Krasnodębski



Ryc. VI.28. Suraż, pow. białostocki, stan. 1, wykop 4. Pozostałości konstrukcji 431 w południowo-wschodnim narożniku wykopu – niższa część belki 337=341 (faza IIA–IIC?). Fot. D. Krasnodębski

### Podfaza IIB – użytkowanie grodu

Z użytkowaniem grodu omawianej fazy związane są struktury odkryte w południowo-zachodnim narożniku wykopu, obejmującym przylegającą do wału część majdanu. Do najważniejszych z nich należą słabo zachowane relikty pieca 386 (ryc. VI.19; VI.30; VI.31). Posadowiony on był w płytkiej jamie o zbliżonym do owalu kształcie w planie i nieckowatym przekroju, której wymiary wynosiły ok.  $0,75 \times 0,70$  m, a głębokość ok. 0,25 m. Na jej dnie odnotowano kilkanaście kamieni o średnicy ok. 0,2 m, tworzących szereg o orientacji północ – południe (w. 388). Na niektórych z nich widoczne były ślady działania ognia. Powyżej zareje-

strowano mocno zgliniony, przepalony piasek o pomarańczowej barwie (w. 378). Zawierał on drobne węgle brzozy, olchy, dębu i sosny oraz kilka ułamków ceramiki naczyniowej. Na jego stropie ułożony był bruk (w. 356=363) o wymiarach ok. 1,0 × 0,9 m, zbudowany z kamieni o średnicy ok. 0,1–0,2 m, z których większość była mocno przepalona lub okopcona (ryc. VI.30; VI.31). Najlepiej zachowany był on w południowej części pieca, gdzie zadokumentowano trzy rzędy przylegających do siebie otoczaków. Wśród nich znajdował się też kamień o jednej powierzchni wygładzonej, służący być może jako oselka. W środkowej części pieca odkryto pozostałości glinianego wylepienia jego dna (ryc. VI.30). Opisane relikty oraz charakter zalegających powyżej nawarstwień pochodzących z rozwaliska omawianego obiektu (w. 335 i 346, por. podfaza IIC) wskazują, że był to gliniany piec kopułkowy z kamiennieo-glinianym paleniskiem.

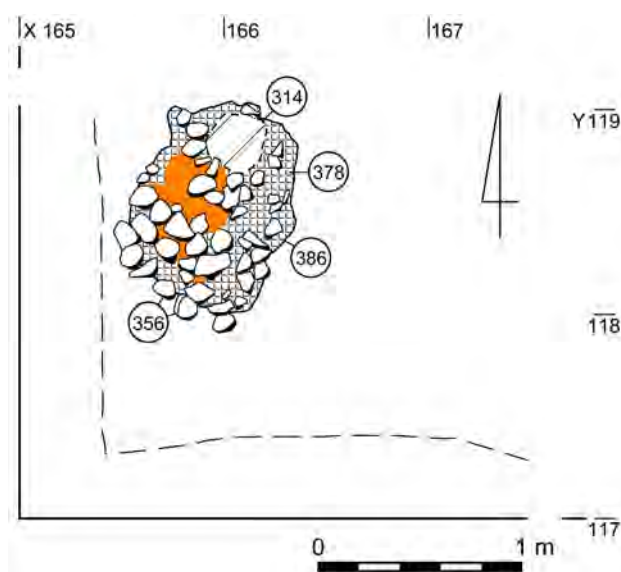
Otwór pieca znajdował się prawdopodobnie od południowego zachodu, o czym świadczy obecność w tym miejscu warstw związanych z jego użytkowaniem. Pierwsza z nich, o miąższości ok. 0,12 m, składała się z popiołu z licznymi węglami drzewnymi i niewielką ilością polepy (w. 364, ryc. VI.8; VI.19). Natomiast nieco dalej od paleniska odłożyła się warstwa węgla drzewnych o miąższości ok. 0,1 m, z dużą liczbą płamek popiołu i grudek słabo wypalanej polepy (w. 357, ryc. VI.8; VI.9; VI.19). Struktury te powstały zapewne w wyniku okresowego czyszczenia wnętrza pieca. Odkryto w nich ponad 20 fragmentów ceramiki naczyniowej (tabl. VI.23: 6) oraz kilka kości zwierzęcych: owcy lub kozy, świni, kaczki krzyżówki, wieńcówki i ryb, m.in. okonia. W pobliżu pieca, zwłaszcza w warstwie 364, stwierdzono też liczne pozostałości roślinne. Wyróżniono wśród nich ziarniaki zbóż, takich jak jęczmień zwyczajny, owies, proso, pszenica, żyto, a także kilkadziesiąt szczątków nieokreślonych. Wystąpiły tu również chwasty charakterystyczne dla upraw zbożowych (stokłosa żytnia). Zbiór pochodzących z tego miejsca pozostałości roślin uzupełnia nasionko lnu.

Piec znajdował się przypuszczalnie wewnątrz budynku, przylegającego do podstawy nasypu wału. Mogą być z nim związane dwa doły posłupowe, usytuowane na linii ściany południowo-wschodniej. Pierwszy z nich (ob. 380) w planie miał kształt kolisty, o średnicy ok. 0,4 m, zaś w przekroju trapezowaty, o głębokości ok. 0,47 m (ryc. VI.17; VI.19; VI.32). Wypełniał go brązowy i jasnoszary piasek z drobnymi brunatnymi plamkami (w. 398), zawierający niewielką ilość polepy i drobnych węgli brzozy, a także kilka przepalonych kamieni. W jego środkowej części widoczny był kolisty zarys negatywu słupa, o średnicy 0,22 m i prostokątnym przekroju. Jego wypełnisko tworzyła zielonkawożółta, jasnobrązowa i pomarańczowa glina z pojedynczymi węglami dębu i leszczyny oraz fragmentami kory (w. 379). Zawierała ona również bryłki słabo wypalanej polepy, niekiedy z odciskami konstrukcyjnymi (ułamki li-cowe o powierzchni wypukłej lub płaskiej ze śladami dociskania, fragment o powierzchni płaskiej ze śladami zagładzania lub dociśnięcia do drewna, z negatywem brzegu deski po przeciwległej stronie, tabl. VI.30: 3), pochodzące zapewne z uszczelnienia ścian budynku. Na dnie dołu zarejestrowano resztki słupa, w postaci ciemnobrązowej warstewki organicznej i znajdujących się nad nią węgli drzewnych. Drugi obiekt, który mógł być związany z tą fazą użytkowania grodu, to ślad kołka o czworokątnym kształcie w planie i stożkowatym przekroju (ob. 403, ryc. VI.19). Jego wymiary wynosiły ok. 0,08 × 0,08 m, a miąższość ok. 0,45 m. Obiekt wypełniony był ciemnoszarym piaskiem (w. 402), zawierającym dużą liczbę węgli drzewnych i kawałków spalonej kory. Jego dolna część była odchylona w kierunku północno-zachodnim, co wskazuje, że kołek wbito lekko ukośnie.





Ryc. VI.29. Suraż, pow. białostocki, stan. 1, wykop 4. Szklane paciorki: 1 – warstwa 377, faza IIA–IIC; 2 – warstwa 387 w dole posłupowym 376, faza IID–IIE; 3 – warstwa 312/1 w piecu 323, faza IID–IIE. Fot. M. Osiadacz



Ryc. VI.30. Suraż, pow. białostocki, stan. 1, wykop 4. Południowo-zachodnia część wykopu – relikty pieca 386 podfazy IIB z wkopanym w nie dołem posłupowym (ob. 314=366) podfazy IID. Rys. H. Olczak, Z. Tragarz



Ryc. VI.31. Suraż, pow. białostocki, stan. 1, wykop 4. Południowo-zachodnia część wykopu – pozostałości kamiennego paleniska (w. 356) w piecu 386 (podfaza IIB). Fot. D. Krasnodębski

Na północ i północny wschód od pieca rozciągała się warstwa ciemnobrunatnego piasku o miąższości do 0,15 m, z niewielką liczbą drobnych grudek polepy oraz węglami brzozy i sosny (w. 344, ryc. VI.8; VI.19). Odkryto w niej kilka fragmentów ceramiki, m.in. częściowo zachowany garnek (tabl. VI.22: 3), a także ok. 40 ułamków kości zwierzęcych. Te ostatnie pochodziły głównie z bydła, świni oraz owcy lub kozy, ale wyróżniono też pojedyncze szczątki dzika, łosia i zająca. Warstwa zajmowała płytkie nieckowate zagłębienie o wymiarach ok. 1,5 × 1,5 m, znajdujące się u podstawy nasypu wału. Być może stanowiła ona jedyną pozostałość warstwy użytkowej opisanego wyżej budynku, która przetrwała w nierówności terenu.



**Ryc. VI.32.** Suraż, pow. białostocki, stan. 1, wykop 4. Przekrój dołu posłupowego 380 (podfaza IIB). Fot. D. Krasnodębski

#### Podfaza IIC – spalenie umocnień grodu i zabudowy majdanu



**Ryc. VI.33.** Suraż, pow. białostocki, stan. 1, wykop 4. Znaleziony w warstwie 317 grot strzały, wykonany z poroża jelenia. Fot. M. Osiańczak

W fazie tej nastąpiło zniszczeniem grodu – lub jego części – przez pożar, na co wskazują warstwy destrukcyjne odkryte na majdanie i u podstawy nasypu wału. W wyniku spalania konstrukcji 431 powstał pas ciemnoszarego piasku o szerokości do 1,2 m i miąższości do 0,25 m, z dużą ilością popiołu (?) i węgli drzewnych (w. 317, ryc. VI.8; VI.19). Znaleziono w nim prawie 250 ułamków naczyń (tabl. VI.18: 6–11; VI.19), żelazny nóż (tabl. VI.26: 12) oraz wykonany z poroża jelenia grot strzały (ryc. VI.33; tabl. VI.25: 10). Warstwa zawierała ponadto ok. 150 fragmentów kości zwierzęcych, pochodzących w większości z owcy lub kozy, świni, bydła i różnych gatunków ptaków, z nieznaczną domieszką szczątków konia, kota, zająca, niedźwiedzia (człon palcowy III) i ryb, a także pojedyncze ziarniki zbóż (prosa zwyczajnego i nieokreślony). Trudno

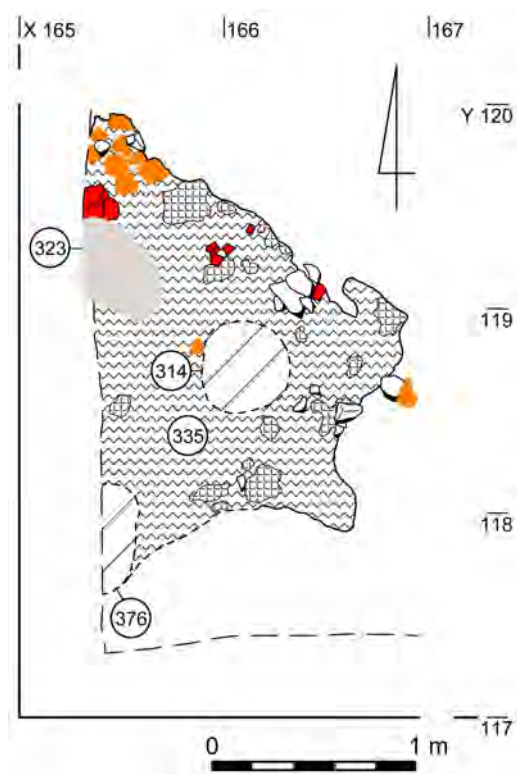
stwierdzić, czy pożar zniszczył całkowicie fragment konstrukcji odsłonięty w południowo-wschodnim narożniku wykopu. Siła działania ognia mogła być w tym miejscu mniejsza,

o czym świadczy węższy zasięg spalenizny. Niektóre belki, zwłaszcza te leżące bliżej nasypu, znajdowały się w brązowym i brunatnym piasku z różnobarwnymi plamami, o miąższości 0,45–0,60 m (w. 321, ryc. VI.6; VI.19). Natomiast w wyniku zwęglenia bierwion wewnętrznej rzędu wytworzyła się warstwa spalenizny o intensywnie czarnej barwie (w. 385, ryc. VI.9). Jest możliwe, że ten odcinek konstrukcji 431 został w jakimś stopniu wykorzystany w późniejszym okresie użytkowania grodu (por. dalej, faza IID–IIE).

Na skutek zniszczenia pieca 386 powyżej jego paleniska odłożyła się cienka (do ok. 0,02 m miąższości) warstewka słabo wypalanej gliny o pomarańczowej barwie (w. 346, ryc. VI.34). Zawierała ona niewielką liczbę drobnych węgli drzewnych i grudek polepy (tabl. VI.30: 2) oraz po kilka fragmentów naczyń (tabl. VI.22: 4) i kości zwierzęcych, m.in. kury domowej i owcy lub kozy. Powyżej niej wydzielono zielonkawożółtą i jasnobrązową glinę z plamami ciemnoszarego piasku i kilkoma kamieniami (w. 335, ryc. VI.8; VI.35; VI.36). Gdzieśkolwiek, głównie w pobliżu skupisk drobnych węgli drzewnych, pochodzących z brzozy, dębu i sosny, była ona wypalona na pomarańczowo. Warstwa miała ok. 0,05–0,15 m miąższości i rozciągała się na powierzchni ok. 2,5 × 1,6 m, która pokrywała się zapewne z obszarem domniemanego budynku. Powstała najprawdopodobniej w wyniku jego zniszczenia i zawalenia się kopuły pieca. Odkryto w niej duże fragmenty słabo wypalanej polepy, skupione głównie na jej północnym obrzeżu. Wśród nich było kilka kawałków z licznymi śladami po domieszce organicznej, o jednej powierzchni starannie wygładzonej, które łączyć można z wylepieniem podłogi chaty lub konstrukcją ścian pieca (tabl. VI.29). Poza tym wyróżniono kilka bryłek z innymi odciskami, typowymi dla uszczelniania ścian budynków. W warstwie znaleziono także kilkadziesiąt ułamków ceramiki (ryc. VI.35–37), w większości pochodzących z zaledwie kilku naczyń (tabl. VI.20; VI.21; VI.22: 1, 2), gliniany przęslik (ryc. VI.38; tabl. VI.25: 4) oraz ponad 100 fragmentów kości zwierzęcych. Przeważały szczątki gatunków udomowionych: owcy lub kozy, świni oraz bydła. Mniej liczne były kości konia, zwierząt dzikich (sarny, dzika, zająca, kuny, wydry, wiewiórki i prawdopodobnie lisa), ptaków (kaczki krzyżówki, kury domowej, jarząbka i sójki) oraz ryb, m.in. szczupaka.



**Ryc. VI.34.** Suraż, pow. białostocki, stan. 1, wykop 4. Warstwa wypalanej gliny (w. 346), przykrywająca palenisko pieca 386 (podfaza IIC). Przy zachodnim profilu wykopu widoczne ściany pieca 323 (faza IID–IIE). Widok od wschodu. Fot. D. Krasnodębski



Ryc. VI.35. Suraż, pow. białostocki, stan. 1, wykop 4. Plan warstwy destrukcyjnej 335 (podfaza IIC) z zaznaczonymi większymi fragmentami polepy i ułamkami ceramiki naczyniowej. Rys. H. Olczak, Z. Tragarz



Ryc. VI.36. Suraż, pow. białostocki, stan. 1, wykop 4. Warstwa 335 (podfaza IIC) i ściany pieca 323 (faza IID–IIE). Fot. D. Krasnodębski



Ryc. VI.37. Suraż, pow. białostocki, stan. 1, wykop 4. Fragmenty glinianych naczyń w warstwie 335 (podfaza IIC). Fot. D. Krasnodębski



Ryc. VI.38. Suraż, pow. białostocki, stan. 1, wykop 4. Gliniany przędzlik z warstwy 335. Fot. M. Osiadacz

### VI.1.3. Faza IID–IIE

#### Podfaza IID – odbudowa i użytkowanie grodu

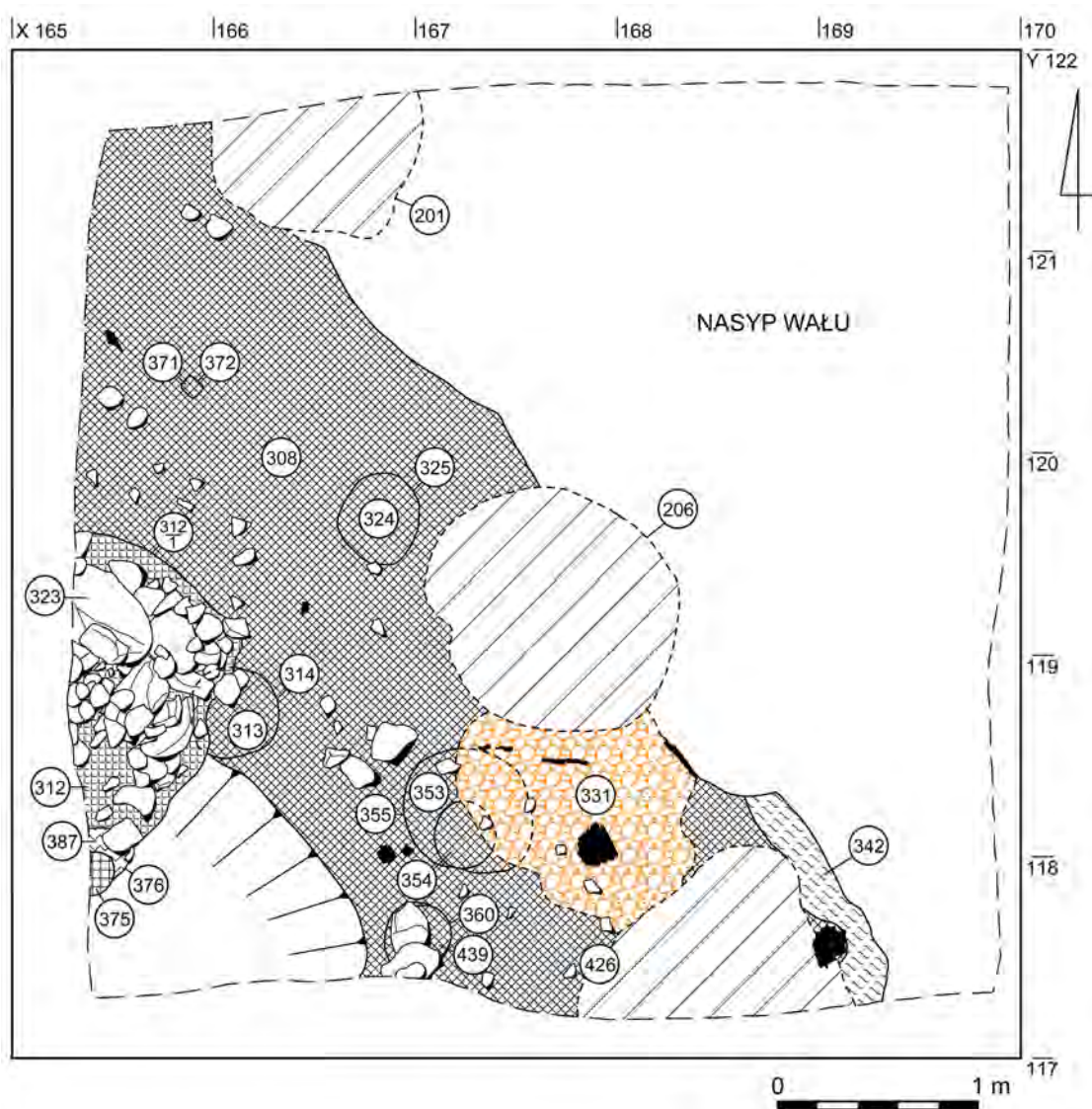
Zapewne bezpośrednio po zniszczeniu struktur fazy IIA–IIC przystąpiono do porządkowania terenu grodu, przygotowując go do dalszego użytkowania. Na przebadanym obszarze nie stwierdzono jednak wyraźnych śladów prac ziemnych prowadzonych na obszarze wału, związanych na przykład z jego podwyższeniem. Przepuszczalnie górną część nasypu tworzyła – podobnie jak w poprzednim okresie – warstwa 262, zaś odbudowa umocnień ograniczyła się do wzniesienia na ich szczycie drewniano-glinianej konstrukcji (płotu?). Jej pozostałością była duża ilość polepy (w. 259 i 288), zalegającej na stropie wymienionej warstwy (ryc. VI.6; VI.7; VI.9). W północno-wschodnim narożniku wykopu zachowała się ona prawdopodobnie *in situ*, natomiast w części południowej osunęła się na stok nasypu wału (por. podfaza IIE). Były to dobrze wypalone bryłki, z niewielką do średniej ilości domieszki siewki roślinnej i różnorodnymi odciskami, wśród których przeważały negatywy belek o dużej średnicy. Częścią konstrukcji mogły być pale umocowane w opisanych wcześniej dołach posłupowych 293 i 302 (ryc. VI.6; VI.7; VI.19; VI.20; VI.22), ich związek z podfazą IID nie jest jednak pewny (por. rozdz. VI.1.2).

Przypuszczalnie jednym z elementów umocnień grodu w tym okresie był też fragment konstrukcji 431, znajdujący się w południowo-wschodnim narożniku wykopu. Jak już wspomniano, ta jej część mogła przetrwać pożar grodu w podfazie IIC i po ewentualnych naprawach pełnić nadal swoją funkcję. Jest prawdopodobne, że niektóre belki wymieniono lub w celu zabezpieczenia przed ogniem lub gniciem obłożono warstwą oliwkowszarej gliny (w. 342, ryc. VI.9; VI.39). Nie można jednak wykluczyć, że konstrukcję zbudowano w tym samym miejscu zupełnie od nowa, według podobnego schematu jak w starszej fazie.

Na terenie majdanu prace związane z odbudową grodu rozpoczęto prawdopodobnie od wyrównania i zniwelowania jego powierzchni. Świadczył o tym prawie całkowity brak starszej warstwy użytkowej, co szczególnie wyraźnie widoczne było przy południowej granicy wykopu, gdzie struktury omawianego okresu leżały bezpośrednio na podsypce fazy IIA (w. 345 i 377). W tym miejscu odnotowano warstwę ciemnobrunatnego piasku z drobnymi żółtymi plamkami i dużą liczbą niewielkich węgli drzewnych (w. 326, ryc. VI.9; VI.40; VI.41). Miała

ona ok. 0,1–0,2 m miąższości, a jej strop i spąg opadały w kierunku środka majdanu. Warstwa zawierała kilkanaście mało charakterystycznych fragmentów ceramiki naczyniowej oraz ok. 40 kości zwierzęcych, pochodzących m.in. z owcy lub kozy, bydła, świni, wiewiórki oraz ptaków (kaczka krzyżówka i jarząbek). Znaleziono w niej także ziarniki jęczmienia zwyczajnego, żyta zwyczajnego i prosa. Geneza tej struktury jest trudna do wyjaśnienia. Mogła ona stanowić warstwę niwelacyjną lub – co jest bardziej prawdopodobne – spływ z nasypu wału, który odłożył się na majdanie w początkowym okresie tej fazy.

W południowo-zachodniej części wykopu odkryto fragment zabudowy przywałowej. Budynek usytuowany był prawie w tym samym miejscu co domostwo fazy IIA–IIC, miał też podobną orientację (ryc. VI.39). Przesunięto go jednak o kilkadziesiąt centymetrów na północny zachód, a jego północno-wschodnią ścianę posadowiono na reliktach spalonej konstrukcji 431. Pozostałościami domostwa był kamienny-gliniany piec (ob. 323) oraz cztery doły posłupowe (ob. 314, 325, 372 i 376), zlokalizowane w odległości ok. 1,0–1,1 m jeden od drugiego (ryc. VI.39–52).



Ryc. VI.39. Suraż, pow. białostocki, stan. 1, wykop 4. Plan zbiorczy struktur fazy IID–IIE.  
Rys. H. Olczak, Z. Tragarz



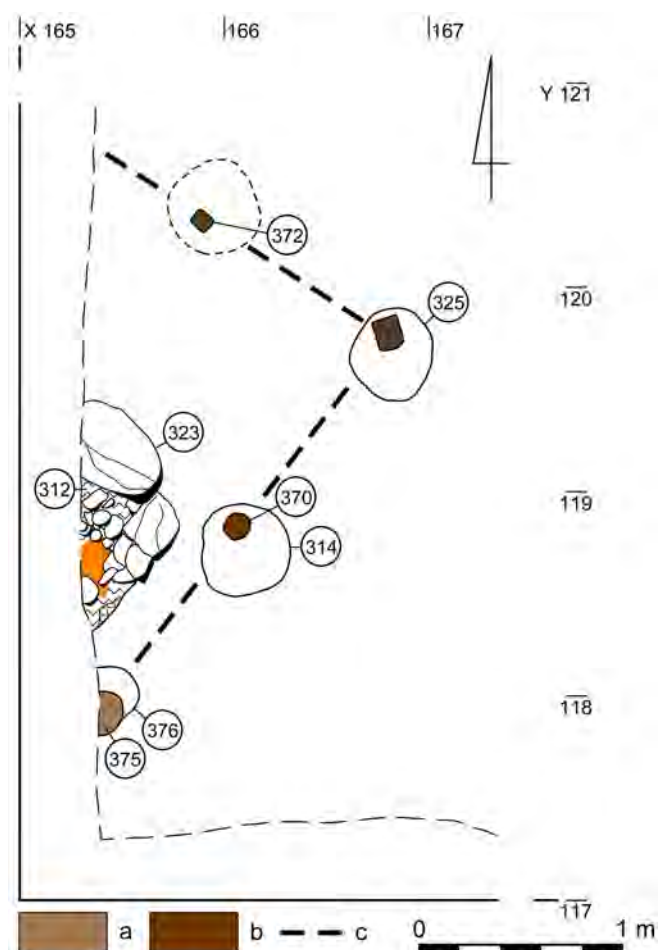
Ryc. VI.40. Suraż, pow. białostocki, stan. 1, wykop 4. Warstwy użytkowe i destrukcyjne fazy IID–IIE na majdanie grodziska (na drugim planie pozostałości nasypu wału faz IA i IIA–IIC). Fot. D. Krasnodębski



Ryc. VI.41. Suraż, pow. białostocki, stan. 1, wykop 4. Południowo-zachodni narożnik wykopu z pozostałościami pieca 323 oraz warstwami 308=322=328 i 326 fazy IID–IIE (górny poziom eksploatacji). Fot. D. Krasnodębski

Piec 323 znajdował się wewnątrz chaty, najprawdopodobniej w jej narożniku, w odległości ok. 0,2 m od południowo-wschodniej ściany (ryc. VI.42). Wzniesiony został na warstwach destrukcyjnych paleniska 386 fazy IIA–IIC (ryc. VI.43). Miał przypuszczalnie czworokątny kształt i zorientowany był równolegle do ścian domostwa. Odsłonięty w wykopie narożnik pieca zbudowany został z dwóch ustawionych pionowo kamieni granitowych, o długości ok. 0,5–0,6 m i wysokości ok. 0,3–0,4 m (ryc. VI.8; VI.42–47). Tworzyły one prostopadłe do siebie ściany, od spodu, głównie od zewnątrz, podparte mniejszymi otoczakami (ryc. VI.46). Głazy pod wpływem działania ognia uległy przepaźeniu i popękały, a jeden z nich rozpadł się na kilka fragmentów. Wyższa część kopuły wzniesiona została z niewielkich kamieni, o średnicy ok. 0,1 m, spojonych gliną. Wskazywał na to skład wypełniającej wewnątrz pieca warstwy destrukcyjnej 312 (ryc. VI.8; VI.47; VI.49, por. podfaza IIE), w której oprócz czterech poziomów otoczaków znaleziono liczne bryłki polepy z różnymi odciskami konstrukcyjnymi (tabl. VI.27: 4–6). Wśród nich było m.in. kilka fragmentów licowych (wypukłych i płaskich) o grubości od ok. 2 do ok. 6 cm, niekiedy ze śladami zagładzania. Również na zewnątrz od ścian pieca odnotowano co najmniej dwie warstwy różnej wielkości kamieni, na ogół nieprzpalonych (ryc. VI.39; VI.40; VI.44). Palenisko wyłożone było niewielkimi otoczakami i wylepione gliną, która zachowała się w jego południowej części (ryc. VI.42; VI.45).

Piec posadowiony był na cienkiej warstewce (0,05–0,12 m) przepalonego zglinionego piasku o brązowej i ciemnobrązowej barwie (w. 369, ryc. VI.8). Podobna warstwa, lecz mniej zgliniona i z dużą liczbą drobnych węgli drzewnych (w. 326/1), rozciągała się także na południe od niego. Można domniemywać, że był to rodzaj wylepienia podłogi chaty.



Ryc. VI.42. Suraż, pow. białostocki, stan. 1, wykop 4. Zarys przebadanej części budynku fazy IID z zachowanymi *in situ* pozostałościami pieca i dołami postłupowymi: a – ślad słupa w obrębie dołu postłupowego; b – ślad dolnej części słupa, wkopanej poniżej dna dołu postłupowego; c – rekonstrukcja zarysu ścian budynku (pozostałe oznaczenia znajdują się w legendzie zamieszczonej na końcu tomu). Rys. H. Olczak, Z. Tragarz





Ryc. VI.43. Suraż, pow. białostocki, stan. 1, wykop 4. Zachowane *in situ* ściany pieca 323 (faza IID–IIE), ustawione na reliktach pieca 386 (faza IIA–IIC), oraz dolna część dołu posłupowego 314=366 (faza IID–IIE). Fot. D. Krasnodębski



Ryc. VI.44. Suraż, pow. białostocki, stan. 1, wykop 4. Piec 323 fazy IID–IIE w trakcie eksploracji. Fot. D. Krasnodębski



Ryc. VI.45. Suraż, pow. białostocki, stan. 1, wykop 4. Zachowane *in situ* pozostałości pieca 323 fazy IID–IIE – głązy tworzące narożnik ścian i kamienie paleniska (widok od wschodu). Fot. D. Krasnodębski

Ryc. VI.46. Suraż, pow. białostocki, stan. 1, wykop 4. Ściany pieca 323 fazy IID–IIE (widok od wschodu). Fot. D. Krasnodębski



Ryc. VI.47. Suraż, pow. białostocki, stan. 1, wykop 4. Ściany pieca 323 oraz widoczna na profilu wykopu warstwa destrukcyjna 312 (faza IID–IIE). Widok od południowego wschodu. Fot. D. Krasnodębski



Odśloni fragment południowo-wschodniej ściany budynku miał ok. 2,3 m długości (ryc. VI.42). Na jej linii, przy zachodnim profilu wykopu, usytuowany był dół posłupowy 376, o prawdopodobnie kolistym kształcie w planie i prostokątnym przekroju (ryc. VI.8; VI.48). Jego średnica wynosiła ok. 0,4 m, zaś głębokość dochodziła do 0,58 m. Dolną część obiektu wypełniał brunatny piasek spływowy z brązowymi plamkami, mający ok. 0,2 m miąższości (w. 417). Zawierał on dużą liczbę drobnych węgli drzewnych oraz ziarniaki zbóż: jęczmienia zwyczajnego, prosa zwyczajnego, żyta, pszenicy i nieokreślone. Powyżej odnotowano kolisty ślad słupa o średnicy ok. 0,25–0,30 m, widoczny do wysokości ok. 0,3 m powyżej uchwyconego stropu dołu. Tworzyła go brunatnoczarna i ciemnobrązowa próchnica (w. 375, ryc. VI.8; VI.48), z pojedynczymi fragmentami kości zwierzęcych i ceramiki. Słup ustabilizowano obsypując go po bokach zielonkawożółtą, jasnobrązową i pomarańczową gliną z nielicznymi węgielkami i grudkami polepy (w. 387), identyczną z warstwą 335. Znalezione w niej m.in. paciorek dwusegmentowy, wykonany z zielonego szkła (ryc. VI.29: 2; tabl. VI.25: 7).

Zlokalizowany na północ od 376 kolejny dół posłupowy (ob. 314=366) miał kolisty kształt w planie o średnicy ok. 0,42 m, w spągu przechodzący w nieregularnie czworokątny, oraz trapezowaty przekrój o głębokości ok. 0,6 m (ryc. VI.39; VI.43; VI.49; VI.52). Jego górną część wypełniał brunatnoczarny piasek (w. 313) o miąższości ok. 0,4 m, zawierający dużą ilość polepy i drobne węgle drzewne. Natomiast niżej wyróżniono pomarańczową, zielonkawożółtą

i jasnobrązową glinę, z kilkoma przepalonymi kamieniami i bryłkami polepy (w. 365, ryc. VI.43; VI.49). Widoczny był w niej kolisty negatyw kołka o średnicy ok. 0,12 m, wypełniony ciemnoszarym piaskiem (w. 370). Jego ostro zakończony koniec został wbity na głębokość ok. 0,28 m poniżej dna dołu. We wszystkich wymienionych warstwach odkryto nieliczne fragmenty kości zwierzęcych, a w 313 również kilkanaście ułamków naczyń (tabl. VI.23: 9).

Północno-wschodni narożnik budynku wyznaczał dół posłupowy 325 (ryc. VI.39; VI.42). Miał on w planie kształt zbliżony do kolistego, o średnicy ok. 0,45 m i miąższości ok. 0,75 m. Poniżej jego dna odnotowano zarys czworokątne ociosanego słupa, o wymiarach ok. 0,15 × 0,12 m, wbitego na głębokość ok. 0,35 m w nasyp wału (ryc. VI.50). Górną część wypełnika dołu tworzył czarny piasek (w. 324), na poziomie ok. 0,5 m poniżej jego stropu przechodzący w brązowy (w. 437). W obu warstwach znaleziono dużą ilość polepy, a w 324 dodatkowo kilka fragmentów kości zwierzęcych i ceramiki naczyniowej (tabl. VI.23: 10).

Na zachód od dołu 325, na linii ściany północno-wschodniej, zarejestrowano kolejny negatyw zaostrego słupa, o czworokątnym kształcie w planie i wymiarach ok. 0,10 × 0,08 m (ob. 372, ryc. VI.39; VI.42). Jego przekrój był stożkowaty, z widocznym z jednej strony ukośnym podcięciem, zaś uchwycona miąższość wynosiła 0,26 m (ryc. VI.51). Obiekt wypełniony był czarnym i ciemnobrunatnym piaskiem z drobnymi węgielkami drzewnymi i niewielką ilością polepy (w. 371).



Ryc. VI.48. Suraż, pow. białostocki, stan. 1, wykop 4. Fragment zachodniego profilu wykopu z widocznym dołem posłupowym 376 i zalegającą wyżej warstwą 307 (faza IID–IIE). Fot. D. Krasnodębski



**Ryc. VI.49.** Suraż, pow. białostocki, stan. 1, wykop 4. Przekrój dolnej części dołu postłupowego 314=366 (faza IID–IIE), wkopanego w palenisko pieca 386 (faza IIA–IIC), oraz relikty pieca 323 (faza IID–IIE). Fot. D. Krasnodębski



**Ryc. VI.50.** Suraż, pow. białostocki, stan. 1, wykop 4. Negatyw dołu postłupowego 325 (faza IID–IIE) z widocznym na dnie zarysem czworokątnego słupa (widok od zachodu). Fot. D. Krasnodębski



**Ryc. VI.51.** Suraż, pow. białostocki, stan. 1, wykop 4. Przekrój dolnej części słupa 372 (faza IID–IIE). Fot. D. Krasnodębski

Z omawianą fazą użytkowania grodu związane mogą być także dwa kolejne doły postłupowe, usytuowane w odległości ok. 1,4 m na wschód od opisanego budynku (ryc. VI.39). Pierwszy z nich (ob. 360) miał w planie kształt kolisty, o średnicy ok. 0,4 m. Jego ścianki były pionowe, dno lekko nieckowate, zaś głębokość sięgała ok. 0,55 m. Górną część wypełniła obiektu tworzył czarny piasek z drobnymi jasnobrązowymi plamkami (w. 439). W jego obrębie i na obrzeżu znajdowało się kilka kamieni o średnicy do ok. 0,3 m, częściowo leżących jeden na drugim, które pierwotnie zapewne stabilizowały słup. Na głębokości ok. 0,35 m od stropu dołu zarejestrowano negatyw słupa o wymiarach ok. 0,35 × 0,30 m, wypełniony ciemnobrunatnym piaskiem z dużą ilością polepy (w. 334). Drugi obiekt (ob. 355, ryc. VI.39) to owalna jama o wymiarach ok. 0,7 × 0,6 m, uchwycona w spągowej części (ok. 0,12 m głębokości) i wypełniona brunatnym piaskiem (w. 353). Przy jej południowej granicy widoczny był nieco ciemniejszy kolisty zarys słupa o średnicy ok. 0,3 m (w. 354). Z powodu

zniszczenia tej części wykopu w późniejszych okresach (fazy III i V) trudno stwierdzić, czy oba doły mogły być pozostałością kolejnego budynku. Znaleziono w nich po kilka ułamków ceramiki naczyniowej (tabl. VI.23: 7, 8) oraz nieliczne kości zwierząt hodowlanych i ryb.

Na większości powierzchni rozpoznanej części majdanu zalegał czarny piasek z drobnymi płamkami i soczewkami spływowymi o jasnobrązowej barwie, o miąższości wahającej się od 0,05 m w pobliżu nasypu do ok. 0,35 m na pozostałym obszarze wykopu (w. 308=322=328, ryc. VI.8; VI.9; VI.40; VI.41). Jego północno-wschodnia granica miała przebieg zgodny z linią umocnień. Warstwa była mocno nasycona spalenizną, w postaci węgla pochodzących głównie z brzozy i dębu, rzadziej z grabu, klonu, lipy i sosny. Zawierała również dużą liczbę drobnych i średniej wielkości bryłek dobrze wypalanej polepy, często tworzących skupiska. Na większości fragmentów odnotowano różnorodne odciski, wskazujące na ich pochodzenie z uszczelnienia ścian budynków, a być może także z konstrukcji stojącej na szczycie nasypu wału (tabl. VI.28). Strukturę tę można interpretować jako warstwę użytkową omawianej fazy, w której górnej części odłożyły się materiały związane z destrukcją zabudowy i umocnień (w. 308/1, podfaza IIE; por. dalej). W obu warstwach odkryto prawie 1000 ułamków ceramiki naczyniowej (tabl. VI.13: 5–17; VI.14–16; VI.17: 1–6) i ok. 500 fragmentów kości. Szczątki zwierzęce należały głównie do gatunków hodowlanych, takich jak bydło, świnia oraz owca lub koza, rzadziej do ptaków, m.in. kury domowej i kaczki krzyżówki. Udział kości zwierząt dzikich i ryb był nieznaczący. Wśród pozostałości roślinnych zidentyfikowano m.in. ziarniaki jęczmienia i prosa, a także niezidentyfikowanych roślin zbożowych.

### **Podfaza IIE – zniszczenie zabudowy majdanu i umocnień**

W podfazie tej miało miejsce zniszczenie zabudowy usytuowanej na majdanie oraz konstrukcji obronnych znajdujących się w górnej części nasypu wału. Nastąpiło to niewątpliwie w wyniku pożaru, na co wskazuje charakter warstw destrukcyjnych, zawierających dużą ilość spalenizny i polepy. Świadectwem zniszczenia drewniano-glinianej konstrukcji stojącej na szczycie umocnień były warstwy polepy 259 i 288, o miąższości do 0,2 m (ryc. VI.6; VI.7; VI.9). Tworzyły je różnej wielkości grudki, gdzieniegdzie przemieszane z ciemnoszarobrunatnym i czarnym piaskiem oraz niewielką liczbą drobnych węgli drzewnych. W północno-wschodnim narożniku wykopu polepa zachowała się prawdopodobnie *in situ* (w. 259), natomiast w południowo-wschodnim osunęła się na teren przywałowej części majdanu (w. 288).

Pożar na majdanie doprowadził do zniszczenia domostwa z piecem 323. Wskutek zaważenia się kopuły pieca w jego wnętrzu powstała warstwa destrukcyjna o miąższości ok. 0,3 m (w. 312, ryc. VI.8; VI.47; VI.49). Była to słabo wypalona pomarańczowa, zielonkawożółta i jasnobrązowa glina, zawierająca fragmenty polepy oraz kilka warstw niewielkich kamieni, często z oznakami działania wysokiej temperatury. Znaleziono w niej 50 fragmentów naczyń (tabl. VI.12: 16, 17), z których ponad połowa nosiła ślady wtórnego przepalenia, oraz 27 fragmentów kości zwierzęcych, pochodzących ze świni, owcy lub kozy, konia, dzika, zająca, wydry oraz ptaków, m.in. kaczki krzyżówki i głuszca. Natomiast na zewnątrz od ścian pieca wytworzyła się warstwa podobnie wypalanej gliny, lecz przemieszanej z czarnym piaskiem, zawierającej dużą liczbę kamieni (w. 312/1, ryc. VI.39; VI.41). Odkryto w niej 35 fragmentów ceramiki naczyniowej (tabl. VI.13: 1, 2) i paciorek z jasnoniebieskiego szkła (ryc. VI.29: 3; tabl. VI.25: 6).

Powyżej pozostałości pieca odłożyła się warstwa 308/1, składająca się z czarnego piasku z węglami drzewnymi i polepą (ryc. VI.8). Stanowiła ona prawdopodobnie rozwalisko ścian budynku lub osuwisko/spływ z zalegającej na zewnątrz od nich warstwy użytkowej 308 (por. wyżej). Nad nią uformowała się warstwa 307, o zachowanej miąższości ok. 0,35 m (ryc. VI.8; VI.9; VI.48; VI.52). Tworzyło ją kilkanaście cienkich warstewek spływowych, opadających w kierunku południowym: zielonkawożółta i pomarańczowa glina, brązowy i brunatny piasek oraz czarna spalenizna z dużą liczbą drobnych węgli drzewnych. Warstwa zawierała także niewielkie grudki polepy, wśród których odnotowano fragmenty z odciskami konstrukcyjnymi, takimi jak powierzchnie wklęsłe o średnicy ok. 8–17 cm, wypukłe oraz płaskie (tabl. VI.27: 1). Odkryto w niej m.in. wykonany z miedzi esowaty kabłączek skroniowy (ryc. VI.53; tabl. VI.26: 1), gliniany przęślik (ryc. VI.54; tabl. VI.25: 5) i fragment nieokreślonego przedmiotu z żelaza (tabl. VI.26: 11). Ponadto znaleziono ok. 170 ułamków ceramiki naczyniowej (tabl. VI.12: 3–15) i ok. 160 fragmentów kości zwierzęcych. Pochodziły one głównie z bydła, owcy lub kozy, świni oraz ptaków: kury domowej, kaczki krzyżówki, grązcy, guszca i jarząbka. Bardzo niewielki był udział szczątków konia i kota, a także gatunków dzikich, wśród których wyróżniono m.in. człon palcowy III niedźwiedzia. Warstwa 307 powstała niewątpliwie w wyniku spalania drewniano-glinianych ścian opisanego wyżej budynku, a być może również innych konstrukcji usytuowanych poza zachodnią granicą wykopu, na przykład na szczycie nasypu wału. Jej górna część została zniszczona podczas prac prowadzonych na majdanie w późniejszym okresie (faza IIIA, por. dalej). Na północnym i wschodnim obrzeżu warstwy odłożył się brunatny piasek z drobnymi węglami drzewnymi i bryłkami polepy, stanowiący prawdopodobnie spływ z nasypu wału (w. 309, ryc. VI.9).



Ryc. VI.52. Suraż, pow. białostocki, stan. 1, wykop 4. Południowo-zachodni narożnik wykopu – warstwa 307 (podfaza IIE) na poziomie stropu (widok od południa). Fot. D. Krasnodębski

Ze zniszczeniem nieokreślonej konstrukcji, obklepionej pierwotnie gliną, związane jest również skupisko polepy (w. 331) zarejestrowane u podstawy umocnień, w odległości ok. 2 m na wschód od pieca 323 (ryc. VI.39; VI.40). Tworzyły je drobne i średniej wielkości grudki, przemieszane z czarnym piaskiem, identycznym z warstwą 308. Wyróżniały się liczne fragmenty z odciskami wklęsłymi o średnicy ok. 6–8 cm (tabl. VI.30: 1), obklepiające zapewne niewielkie kołki, oraz prawie płaskimi lub lekko wklęsłymi, pochodzące przypuszczalnie

z wylepienia belek o znacznie większej średnicy. W pobliżu polepy odnotowano węgle brzozy. W warstwie znaleziono też kilkadziesiąt ułamków ceramiki naczyniowej (tabl. VI.23: 1, 2) i ok. 100 fragmentów kości zwierzęcych, pochodzących głównie z gatunków hodowlanych (m.in. świnia, bydło oraz owca lub koza), z udziałem pojedynczych szczątków zwierząt dzikich, ptaków i ryb.



Ryc. VI.53. Suraż, pow. białostocki, stan. 1, wykop 4. Miedziany kablączek skroniowy z warstwy 307. Fot. M. Osiadacz



Ryc. VI.54. Suraż, pow. białostocki, stan. 1, wykop 4. Gliniany przędzlik z warstwy 307. Fot. M. Osiadacz

#### VI.1.4. Faza III

##### Podfaza IIIA – przygotowanie grodu do ponownego użytkowania

W podfazie tej miały miejsce prace porządkujące teren grodu po zniszczeniach z wcześniejszego okresu. Powierzchnię majdanu na obszarze przylegającym do nasypu wału wyrównano, usuwając część starszych struktur, o czym świadczy m.in. horyzontalny przebieg górnej granicy warstwy 307 (ryc. VI.8). Następnie jego teren przykryto warstwą żółtego piasku z drobnymi ciemniejszymi plamkami (w. 315), o grubości ok. 0,1 m (ryc. VI.9; VI.52). W omawianym okresie zapewne podwyższono również nasyp wału. Świadectwem tych działań mogą być warstwy 255 i 255/1, o zachowanej miąższości od 0,05 do 0,2 m, zarejestrowane powyżej poziomu destrukcyjnego fazy IIE (ryc. VI.6; VI.7; VI.9). Pierwsza z nich zalegała w najwyższym miejscu nasypu, natomiast druga, stanowiąca przypuszczalnie osuwisko z wyższej części umocnień, na jego wewnętrznym stoku. Obie warstwy tworzył brunatnoczarny piasek o zwartej strukturze, z dużą liczbą drobnych bryłek polepy. Znaleziono w nim nieliczne ułamki ceramiki naczyniowej (tabl. VI.7: 3, 4) i kości zwierzęcych (głównie gatunków hodowlanych), a także fragment kamienia probierczego lub osełki z fyllitu (ryc. VI.55) i ułamek glinianej dyszy (ryc. VI.56; tabl. VI.25: 2). Na podstawie stratygrafii i zawartości zabytkowej opisanych warstw nie można jednak wykluczyć ich związku z późnośredniowiecznym etapem użytkowania grodu (faza IV, por. rozdz. VII.1.1).

Prawdopodobnie z początkowym okresem fazy III łączyć można także obiekt 438, którego niewielką część odkryto przy południowej granicy wykopu (ryc. VI.9). Wkopany był on w skraj nasypu wału starszej fazy na głębokość ok. 0,6 m. Jego wypełnisko tworzył lekko zgliniony brunatny piasek z niewielkimi grudkami polepy i pojedynczymi węgielkami drzewnymi (w. 428). Ze względu na fragmentaryczne rozpoznanie tej jamy jej funkcja jest trudna do określenia.

**Ryc. VI.55.** Suraż, pow. białostocki, stan. 1, wykop 4. Fragment oselki lub kamienia probierczego z fyllitu z warstwy 255. Fot. M. Osiadacz



**Ryc. VI.56.** Suraż, pow. białostocki, stan. 1, wykop 4. Fragment glinianej dyszy z warstwy 255. Fot. M. Osiadacz

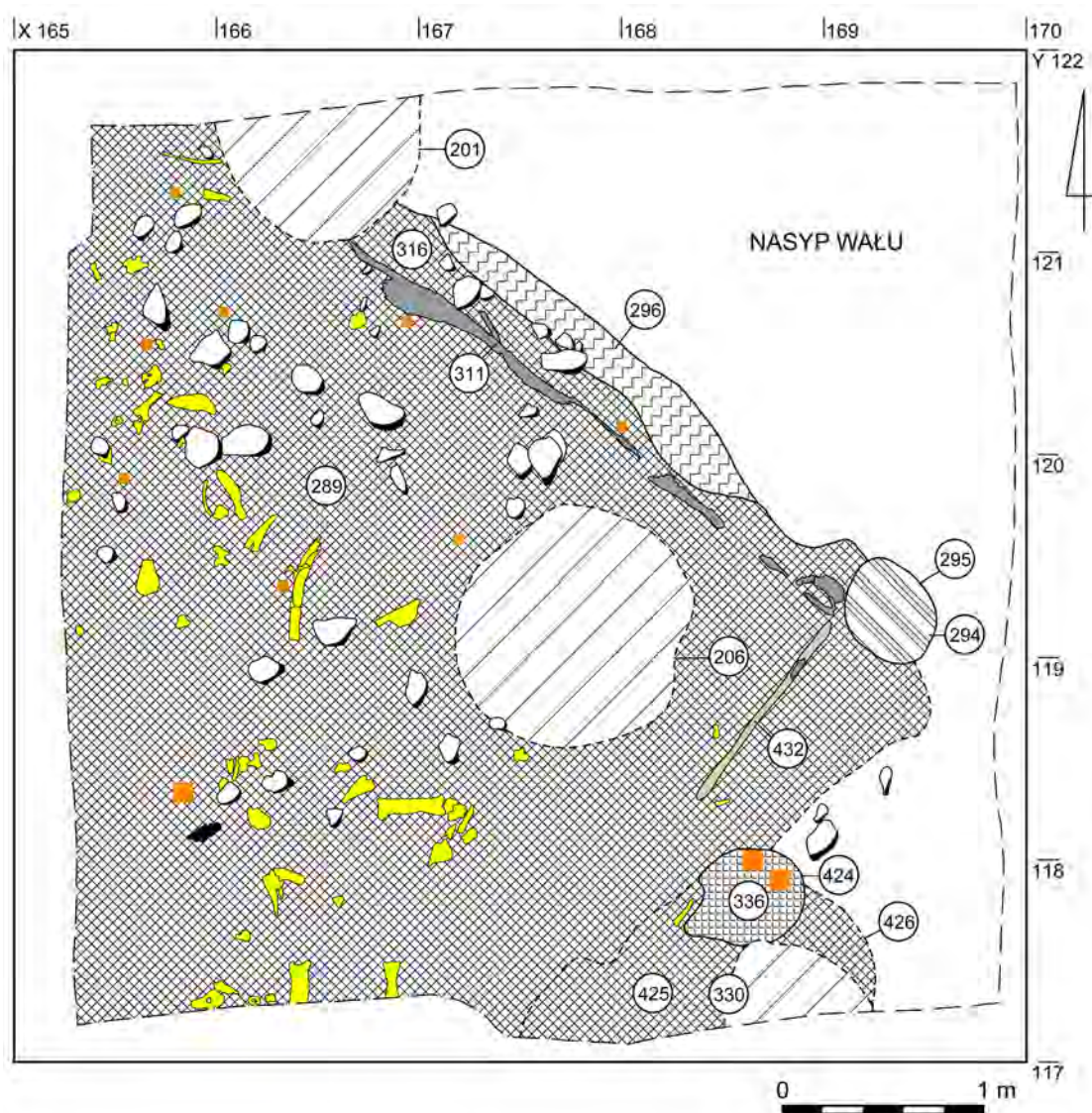


### **Podfaza IIIB – użytkowanie grodu**

Świadectwem użytkowania grodu w omawianej fazie jest odkryty fragment zabudowy przywałowej. Powierzchnię majdanu powiększono w tym okresie kosztem wału, na co wskazuje przesunięcie budynku o ok. 0,8 m na północny wschód w stosunku do domostwa starszej fazy. Odslonięte pozostałości chaty były zorientowane zgodnie z linią umocnień i lekko wkopane w nasyp. Z budynku zachował się fragment mocno rozłożonej belki lub deski (w. 311), o długości ok. 3 m i szerokości do 0,15 m, tworzącej ścianę północno-wschodnią



(ryc. VI.57; VI.58). Znajdowała się ona w brunatnoczarnym piasku (w. 316, ryc. VI.57), podobnym do warstwy 289 (por. dalej), zawierającym m.in. liczne drobne bryłki polepy (tabl. VI.27: 2, 3). Poniżej, w odległości ok. 0,2 m od zewnętrznej krawędzi belki, odnotowano pas lekko zglinionego brązowego piasku (w. 296), a w nim kilka średniej wielkości kamieni (ryc. VI.57). Mogły one tworzyć podwalinę pod ścianę chaty, nie jest jednak wykluczone, że stanowiły szczątkowo zachowane relikty wzmocnienia wewnętrznego lica nasypu wału. Do belki 311 przylegał pod kątem prostym słabo czytelny ślad drewna (w. 432), ciągnący się na długości ok. 1 m i będący przypuszczalnie pozostałością południowo-wschodniej ściany budynku (ryc. VI.57). W pobliżu wschodniego narożnika chaty odsłonięto zarys domniemanego dołu postępowego, o wymiarach ok. 0,55 × 0,42 m i zachowanej głębokości ok. 0,3 m (ob. 295, ryc. VI.57). Wypełniony był on brunatnym i brązowym piaskiem z pojedynczymi drobnymi węglami drzewnymi i bryłkami polepy (w. 294).



Ryc. VI.57. Suraz, pow. białostocki, stan. 1, wykop 4. Plan zbiorczy struktur fazy III. Rys. H. Olczak



Ryc. VI.58. Suraż, pow. białostocki, stan. 1, wykop 4. Belka 311 z północno-wschodniej ściany budynku fazy IIIB (widok od południowego zachodu). Fot. D. Krasnodębski

Zarys opisanego budynku w północno-wschodniej części pokrywał się w przybliżeniu z zasięgiem warstwy 289=282=287 (ryc. VI.57; VI.59; VI.60). Był to brunatnoczarny piasek o miąższości do 0,35 m, którego strop i spąg lekko opadały w kierunku środka majdanu (ryc. VI.7–9). Zawierał on nieliczne kamienie i węgle, m.in. brzozy, dębu, klonu, olchy i wiązu, a także dużą ilość dobrze wypalanej polepy. Przeważały drobne i średniej wielkości bryłki, wśród których odnotowano liczne kawałki z różnego rodzaju odciskami, pochodzące z wylepienia nieokreślonych konstrukcji drewnianych. W warstwie znaleziono również ok. 1300 fragmentów kości zwierzęcych, zalegających głównie w jej spągu, w zachodniej części wykopu (ryc. VI.57; VI.60). Należały one w większości do gatunków hodowlanych, przede wszystkim bydła, nieco rzadziej świni, owcy lub kozy oraz konia. Wśród szczątków zwierząt dzikich najwięcej było kości bobra, nieco mniej tura, jelenia, łosia i dzika, a najmniej żubra, sarny, borsuka i wydry. Wyróżniono też kilka fragmentów poroża jelenia i łosia, m.in. ze śladami obróbki (ryc. VI.61; tabl. VI.25: 13). Ponadto w warstwie odnotowano kości ptaków, pochodzące głównie z bielika (zapewne z jednego osobnika, por. rozdz. X), ale też z kury domowej i innych gatunków. Niewielką domieszkę wśród szczątków zwierzęcych stanowiły kości i łuski ryb – szczupaka, okonia i okoniowatych, rzadziej karpionatych. Oprócz tego odkryto ponad 500 ułamków glinianych naczyń (tabl. VI.7: 6–10; VI.8–10; VI.1–21), kościaną igłę (ryc. VI.62; tabl. VI.25: 12), fragment glinianego przęslika (ryc. VI.63; tabl. VI.25: 3), kamienną osełkę (ryc. VI.64) oraz kilka mało charakterystycznych przedmiotów z brązu i żelaza, m.in. fragmenty noży (tabl. VI.26: 5–10).

W południowo-zachodnim narożniku wykopu pod warstwą 289 wydzielono warstewkę czarnego piasku (w. 305) o miąższości do ok. 0,06 m, stanowiącą być może jej przyspągową część, bardziej nasyconą substancjami organicznymi (ryc. VI.8; VI.9). Znaleziono w niej po kilkadziesiąt fragmentów ceramiki naczyniowej (tabl. VI.12: 1, 2) i kości, pochodzących głównie ze zwierząt udomowionych: bydła, świni, owcy lub kozy, konia oraz psa, a także z gatunków dzikich: łosia, dzika, sarny, wydry i ptaków, takich jak cyraneczka.

Do południowo-wschodniej ściany budynku przylegał od zewnątrz obiekt 426, pełniący prawdopodobnie funkcję jamy śmietniskowej (ryc. VI.9; VI.57). Wymiary jego przebadanej części wynosiły ok.  $0,9 \times 0,8$  m, a głębokość ok. 0,3 m. Główną warstwę wypełniska tworzył brunatnoczarny piasek o luźnej strukturze (w. 425), bardzo podobny do warstwy 289. Zawierał on różnej wielkości grudki polepy i niewielką liczbę drobnych węgli drzewnych, m.in. dębu, brzozy, olchy i sosny. Na wschodnim obrzeżu obiektu znajdowała się cienka warstwa czarnej spalenizny z dużą liczbą węgli drzewnych i grudek polepy, stanowiąca zapewne osuwisko z nasypu wału starszej fazy (w. 422). W jamie odkryto ponad 30 ułamków glinianych naczyń (tabl. VI.24: 1, 2, 5), ziarniaki żyta i jęczmienia oraz ok. 250 fragmentów kości zwierzęcych i liczne łuski ryb. Przeważały szczątki owcy lub kozy, bydła, świni oraz ptaków, głównie kury domowej. Mniejszy zbiór tworzyły kości gatunków dzikich: jelenia (w tym dwa fragmenty poroża ze śladami obróbki, ryc. VI.65; tabl. VI.25: 11), dzika, sarny, tura, zająca, wiewiórki oraz łosia (ryc. VI.24). Znaczny udział wśród szczątków zwierzęcych miały również łuski i kości ryb (głównie kości głowy, żebra i promienie płetw), pochodzące m.in. z okonia i okoniowatych, szczupaka, karpowatych, a w pojedynczych przypadkach z płoci i jazia. Stanowiły one być może odpady po sprawianiu ryb (por. rozdz. XI, tab. XI.14).

Na stropie północnej części jamy 426 wyróżniono kolistą zarys słabo wypalanej pomarańczowej gliny z grudkami polepy i plamkami czarnego piasku (w. 336, ryc. VI.57). Stanowiła ona zapewne wypełnisko niewielkiego obiektu (ob. 424), o średnicy ok. 0,5 m i zarejestrowanej głębokości ok. 0,2 m. Nie jest pewne, czy był on pozostałością dołu postłupowego związanego z opisanym wyżej budynkiem, czy też raczej małej jamy śmietniskowej. W obiekcie znaleziono węgle sosny i brzozy, kawałek spalonej deski dębowej oraz kilkadziesiąt drobnych fragmentów ceramiki (tabl. VI.24: 4).



**Ryc. VI.59.** Suraż, pow. białostocki, stan. 1, wykop 4. Strop warstwy 289 (faza III), z wkopanymi w nią późnośredniowiecznymi dołami postłupowymi 206 i 237 (fazy V i VI). W północno-wschodnim narożniku wykopu widoczny nasyp wału fazy IIA–IIC (w. 262). Fot. D. Krasnodębski



Ryc. VI.60. Suraż, pow. białostocki, stan. 1, wykop 4. Spąg warstwy 289 (faza III) ze skupiskiem kości zwierzęcych. Fot. D. Krasnodębski



Ryc. VI.61. Suraż, pow. białostocki, stan. 1, wykop 4. Fragment poroża jelenia ze śladami obróbki z warstwy 289. Fot. M. Osiadacz



Ryc. VI.62. Suraż, pow. białostocki, stan. 1, wykop 4. Kościana igła z warstwy 289. Fot. M. Osiadacz



Ryc. VI.63. Suraż, pow. białostocki, stan. 1, wykop 4. Fragment glinianego przęślika z warstwy 289. Fot. M. Osiadacz



Ryc. VI.64. Suraż, pow. białostocki, stan. 1, wykop 4. Kamienna osełka z warstwy 289. Fot. M. Osiadacz



Ryc. VI.65. Suraż, pow. białostocki, stan. 1, wykop 4. Fragment poroża jelenia ze śladami obróbki z jamy 426. Fot. M. Osiadacz

### Podfaza IIIC – zniszczenie (?) i opuszczenie grodu

Inaczej niż w poprzednich okresach, przebadana część grodu fazy III nie została prawdopodobnie zniszczona przez pożar. Wskazuje na to brak wyraźnej warstwy pogorzeliiskowej oraz przetrwanie reliktyw ścian zabudowy przywałowej. Pośrednio świadczy o tym również brak większej liczby węgla w warstwie 289, a także jej brązowe zabarwienie, sugerujące dużą zawartość niespalonych substancji organicznych.

## VI.2. Ceramika naczyniowa

### VI.2.1. Zarys metody badań

Podstawą opisu ceramiki naczyniowej ze stanowiska była analiza makroskopowa. Zastosowano dwie metody opracowania zespołu – podstawową i rozszerzoną. Przy pomocy pierwszej z nich opisano znaleziska o nieokreślonym kontekście stratygraficznym i tzw. luźne, a także pochodzące ze złoza wtórnego oraz z warstw niwelacyjnych i tworzących nasyp wału. W ich przypadku określono stan zachowania, ślady użytkowania, technikę wykonania i stylistykę. Analizę rozszerzoną zastosowano do ceramiki pozyskanej ze struktur o niezakłóconym kontekście stratygraficznym, głównie z warstw użytkowych i wypełniak obiektów. Materiały te dodatkowo scharakteryzowano pod względem cech istotnych dla omówienia szczegółów techniki wykonania naczyń, takich jak rodzaj i granulacja domieszki, ślady poprodukcyjne oraz barwa powierzchni i przełamu.

#### Stan zachowania i ślady użytkowania

Stopień rozdrobnienia materiałów opisano wydzielając trzy kategorie wielkościowe (dalej cyt.: kat.), oparte na klasyfikacji zaproponowanej dla ceramiki wczesnośredniowiecznej przez Andrzeja Buko (Buko 1990, 235–244). Ze względu na stan zachowania zbioru poszczególne parametry zostały w niewielkim stopniu zmienione. Brzuśce naczyń podzielono na następujące grupy wielkościowe: I kat. – fragmenty o długości > 5 cm; II kat. – ułamki o długości 2–5 cm; III kat. – fragmenty o długości < 2 cm. Nieco odmienne kryteria zastosowano dla charakterystycznych części naczyń. W przypadku wylewów były to: I kat. – fragmenty, w skład których wchodzi brzeg, szyjka i górna część brzuśca sięgająca do największej wydętości naczynia; II kat. – ułamki obejmujące brzeg, szyjkę i niewielką część brzuśca; III kat. – drobne ułamki wylewów, ewentualnie z niewielkim fragmentem szyjki. Również dla części przydennych wyróżniono trzy kategorie wielkościowe: I kat. – ułamki, w skład których wchodzi dno lub jego fragment (przynajmniej  $\frac{1}{3}$  powierzchni) oraz część przydennej; II kat. – ułamki obejmujące dno bez części przydennych lub część przydenną z niewielkim fragmentem dna, umożliwiającym jednak jego orientację; III kat. – ułamki den bez lub z bardzo niewielkim fragmentem części przydennych.

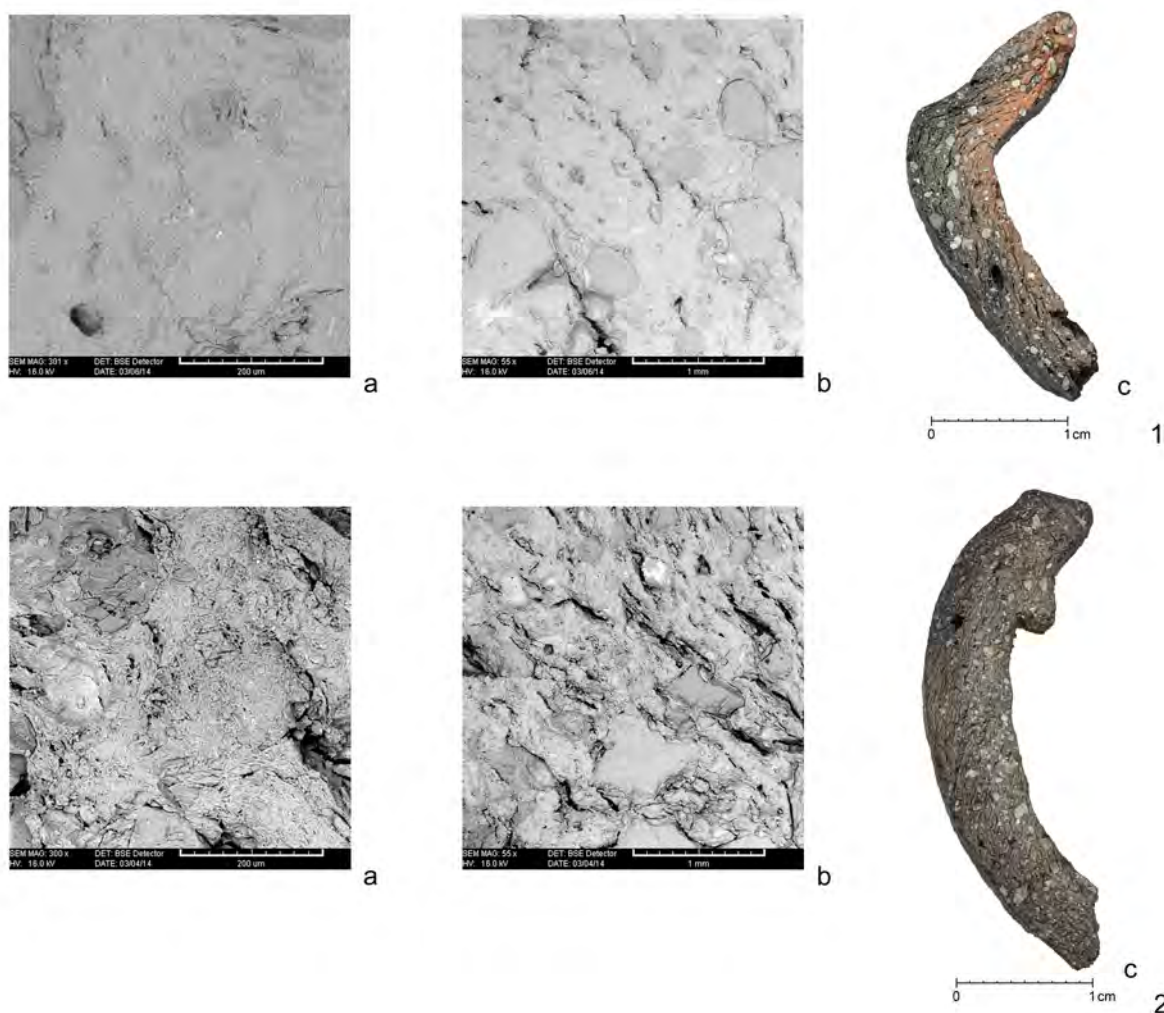
Wydzielono również ułamki ceramiki z oznakami erozji na ściankach lub przełamach, a także wtórnie przepalone. Ponadto uwzględniono widoczne na powierzchni naczyń ślady wynikające z ich użytkowania, takie jak przywry i okopcenia.

#### Surowce i techniki wykonania

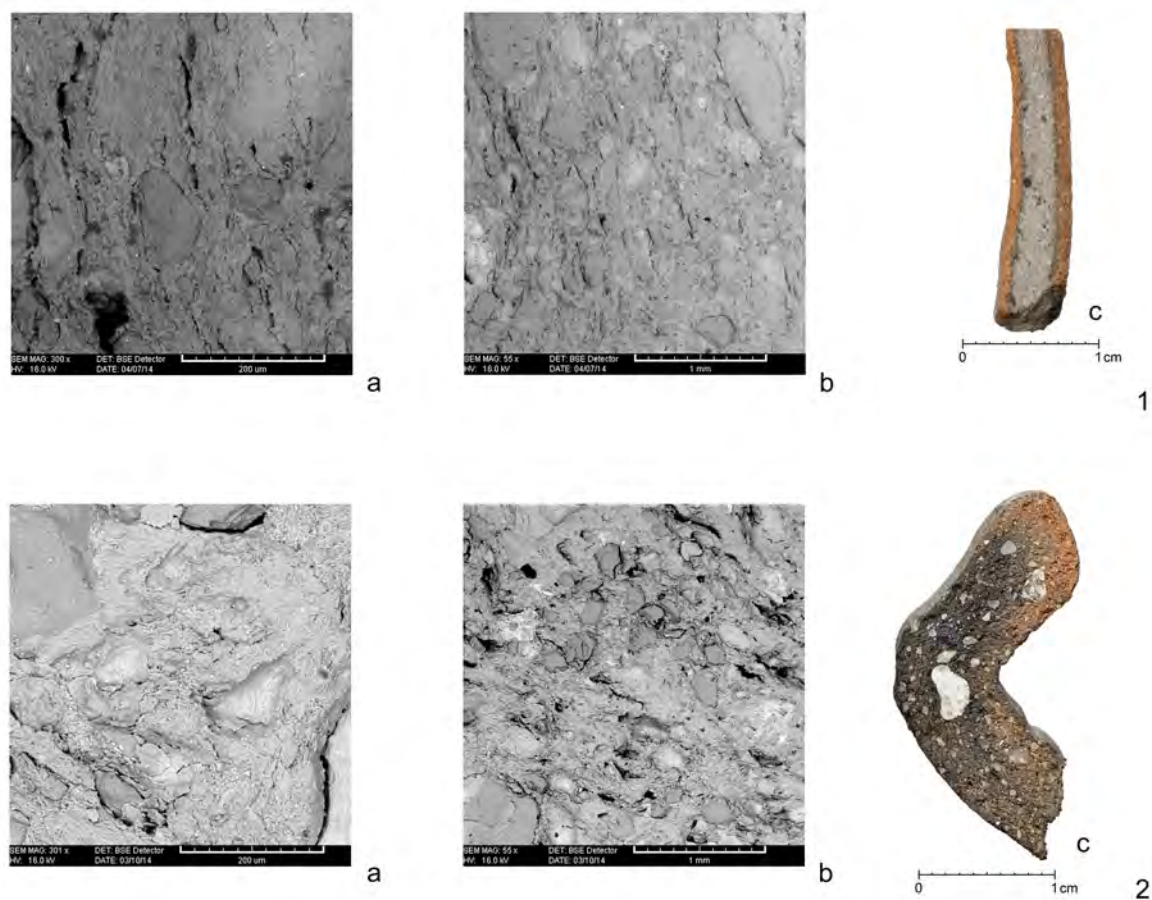
- W zbiorze wyróżniono fragmenty wyrobów trzech grup technologicznych (dalej cyt.: GT):
- **GT-I** – naczynia całkowicie ręcznie lepiące lub wykonane na kole garncarskim techniką ugniatania wałeczkowego i częściowo obtaczane;
  - **GT-II** – naczynia wykonane na kole techniką ugniatania wałeczkowego i całkowicie obtaczane;
  - **GT-III** – naczynia wykonane prawdopodobnie przy użyciu techniki taśmowo-ślizgowej.

Opisując technikę wykonania wyrobów, wyróżniono ślady konstrukcyjne widoczne na ściankach naczyń, takie jak: obtaczanie, zagładzanie, ślady łączenia wałków lub taśm gliny, oznaki źle rozgniecionych wałków (taśm) gliny, ślady ugniatania, ślady zlepiania dna z pierwszym wałkiem ścianki oraz nierówności ścianki w przekroju poziomym. W przypadku den uwzględniono następujące ślady poprodukcyjne: stopka, pierścień dookolny, podsypka lub ślady po jej stosowaniu, ślady podważania, ślady zagładzania dna lub pierścienia dookolnego, odbicia nakładki lub tarczy koła. Opisano też znaki garncarskie widoczne na powierzchni nielicznych den.

Grubość ścianek części brzegowych i przydennych I kat. zmierzono w kilku miejscach: w punkcie przejścia szyjki w brzusec, w okolicy największej średnicy brzuśca oraz w miejscu łączenia ścianki z dnem. W przypadku pozostałych fragmentów zmierzono najmniejszą i największą grubość ścianki, a następnie wyliczono średnią arytmetyczną. Pomiaru te stały się podstawą do obliczenia średniej grubości ścianek wszystkich fragmentów pochodzących z najważniejszych warstw. Zmierzono również grubości den w części środkowej i bocznej.



**Ryc. VI.66.** Suraż, pow. białostocki, stan. 1. Szlify fragmentów ceramiki grup surowcowych GS-IA/1 (1) i GS-IA/3 (2) w powiększeniu ok. 95-krotnym (a), ok. 17,5-krotnym (b) i ok. 1,8-krotnym (c): 1 – próbka nr CL18433; 2 – próbka nr CL18426. Fot. M. Osiadacz, E. Pawlicka



Ryc. VI.67. Suraż, pow. białostocki, stan. 1. Szlify fragmentów ceramiki grup surowcowych GS-IB (1) i GS-IC (2) w powiększeniu ok. 95-krotnym (a), ok. 17,5-krotnym (b) i ok. 1,8-krotnym (c): 1 – próbka nr CL18439; 2 – próbka nr CL18435. Fot. M. Osiadacz, E. Pawlicka

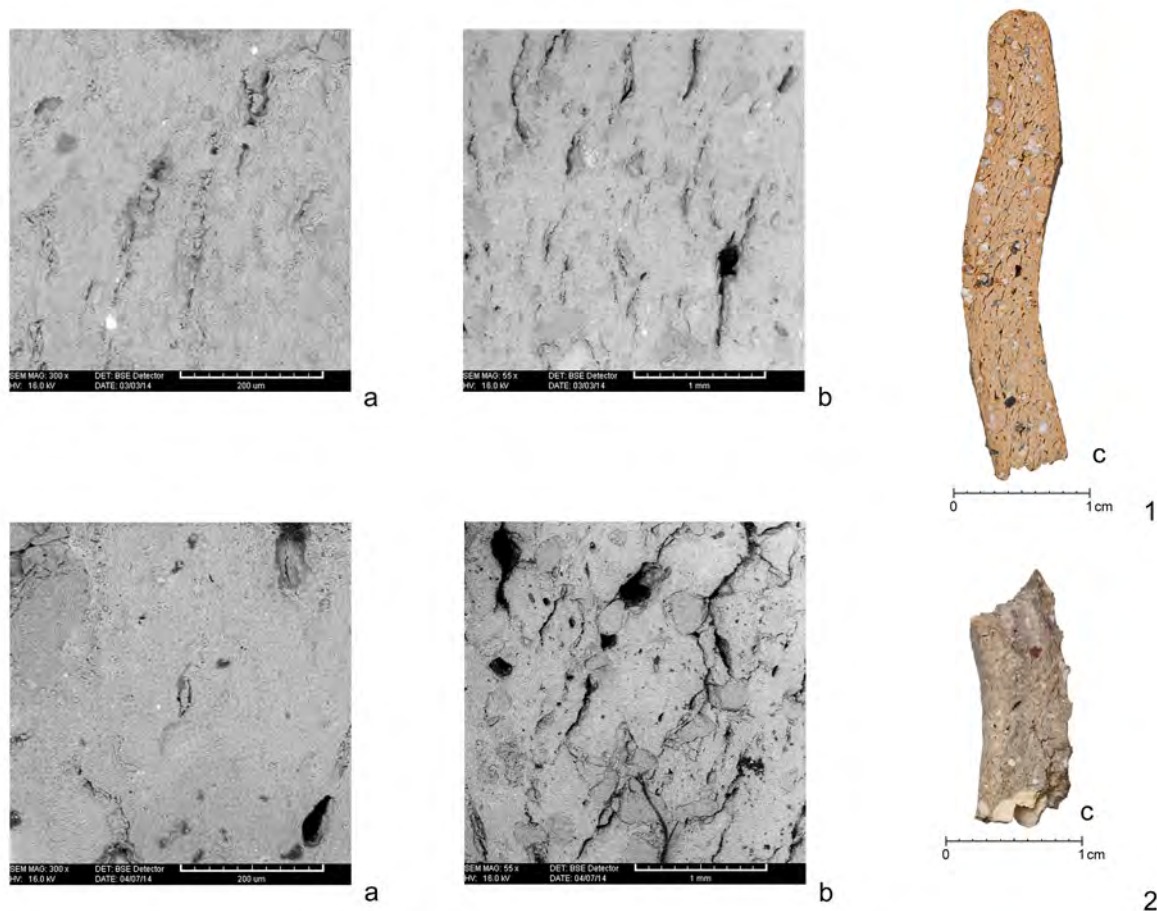
Surowce do produkcji naczyń wyróżniono głównie na podstawie oglądu makroskopowego, który uzupełniono wynikami jakościowej i ilościowej analizy składu chemicznego wybranych fragmentów (por. aneks 4, tab. 1). Większość próbek (17 sztuk) pochodziła z wyrobów lepionych na kole techniką ugniatania wałeczkowego i całkowicie obtaczanych, w tym dwie z tego samego garnka (nr CL18419–18423, CL18425–18426, CL18430–18438), a tylko jedna z naczynia wykonanego prawdopodobnie techniką taśmowo-ślizgową (nr CL18439). Analizy wykonane zostały w Centralnym Laboratorium Bio- i Archeometrycznym Instytutu Archeologii i Etnologii PAN w Warszawie (dalej cyt.: IAE PAN)<sup>6</sup>. Użyto do nich mikroskopu skaningowego firmy VEGA TS5135MM firmy TESCAN oraz spektrometru fluorescencji rentgenowskiej PGT PRISM 2000 firmy Princeton Gamma-Tech, Inc., połączonych z programem Spirit i cyfrowym układem AVALON 8000. Dla każdej próbki wykonano jedną analizę masy ceramicznej (w skrócie: masa, por. aneks 4, tab. 1), przy powiększeniu ok. 55 razy, oraz dwie analizy frakcji ilastej (w skrócie: glina), przy powiększeniu ok. 300 razy.

Na podstawie oglądu makroskopowego i wyników analiz specjalistycznych wyróżniono dwie główne grupy surowcowe (dalej cyt.: GS) – glinę żelazistą (GS-I), o dużym udziale związków żelaza, oraz tzw. glinę biało wypalającą się (GS-II), charakteryzującą się niewielką zawartością tego komponentu. W ich obrębie wydzielono kilka receptur i ich odmian, różniących się przede wszystkim ilością i rodzajem frakcji klastycznej, rzadziej składem chemicznym:

<sup>6</sup> Analizy wykonała E. Pawlicka.

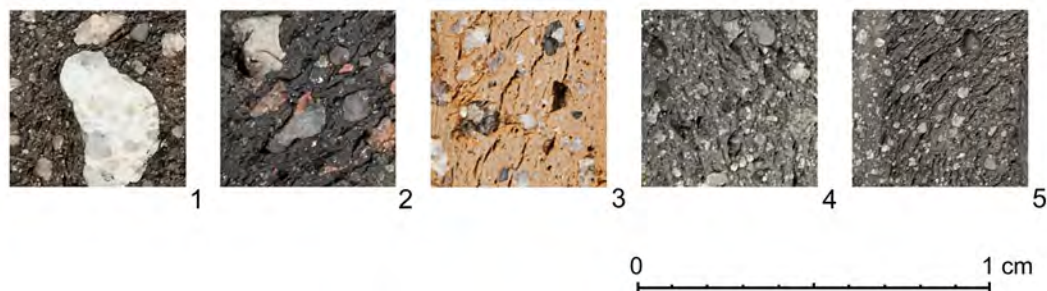


- **GS-IA/1** (próbki nr CL18422, CL18430, CL18433, CL18434) – glina żelazista o niewielkim stopniu naturalnego spiaszczenia, schudzona średnią ilością tłucznia (ryc. VI.66: 1);
- **GS-IA/2** (próbki nr CL18431, CL18432, CL18436) – glina żelazista o prawdopodobnie niewielkim stopniu naturalnego spiaszczenia, schudzona dużą ilością tłucznia;
- **GS-IA/3** (próbki nr CL18423, CL18425 i prawdopodobnie CL18426) – glina żelazista o zapewne niewielkim lub średnim stopniu naturalnego spiaszczenia, schudzona bardzo dużą ilością tłucznia (ryc. VI.66: 2);
- **GS-IB** (próbka nr CL18439) – glina żelazista schudzona piaskiem (ryc. VI.67: 1);
- **GS-IC** (próbka nr CL18435) – glina żelazista o dużej zawartości naturalnego lub sztucznie dodanego piasku, być może dodatkowo schudzona niewielką ilością tłucznia (ryc. VI.67: 2);
- **GS-ID** (próbki nr CL18421, CL18437) – glina żelazista o niewielkim stopniu naturalnego spiaszczenia, schudzona tłuczniem (ryc. VI.68: 1). Receptura ta została wyróżniona na podstawie dużej zawartości tlenku wapnia (por. rozdz. VI.2.4);
- **GS-IIA** (próbka nr CL18438) – glina biało wypalająca się o niewielkiej zawartości frakcji klastycznej, schudzona tłuczniem (ryc. VI.68: 2);
- **GS-IIB** – glina biało wypalająca się, schudzona piaskiem<sup>7</sup>.



**Ryc. VI.68.** Suraż, pow. białostocki, stan. 1. Szlify fragmentów ceramiki grup surowcowych GS-ID (1) i GS-IIA (2) w powiększeniu ok. 95-krotnym (a), ok. 17,5-krotnym (b) i ok. 1,8-krotnym (c): 1 – próbka nr CL18421; 2 – próbka nr CL18438. Fot. M. Osiadacz, E. Pawlicka

<sup>7</sup> Dwóch próbek (nr CL18419 i CL18420) nie udało się sklasyfikować pod względem rodzaju grupy surowcowej.



Ryc. VI.69. Suraż, pow. białostocki, stan. 1. Grupy granulometryczne domieszki tłucznia: 1 – grupa A; 2 – grupa B; 3 – grupa C; 4 – grupa D; 5 – grupa E. Fot. M. Osiadacz

Granulacja sztucznej domieszki nie była brana pod uwagę jako kryterium wydzielenia poszczególnych grup surowcowych. Cechę tę określono osobno, uwzględniając średnicę ziaren przeważających liczebnie, zaś większe komponenty (gruby tłuczeń, żwir) odnotowując dodatkowo. Dla tłucznia wyróżniono następujące grupy granulometryczne: A – ziarna o średnicy  $> 0,2$  cm, B – ziarna o średnicy  $0,15\text{--}0,20$  cm, C – ziarna o średnicy  $0,10\text{--}0,15$  cm, D – ziarna o średnicy  $0,05\text{--}0,10$  cm, E – ziarna o średnicy  $< 0,05$  cm (ryc. VI.69). Te same grupy zastosowano w przypadku charakterystyki podsypki. Ze względu na niewielką liczbę wyrobów o sztucznej domieszce piasku nie wprowadzono kryteriów wielkościowych różnicujących ten składnik masy ceramicznej.

Opisując warunki wypalania naczyń, wprowadzono uproszczony podział na wypał w atmosferze utleniającej i redukcyjnej oraz na przełamy jednobarwne, dwubarwne i trójbarwne. Barwę powierzchni potraktowano jako cechę pomocniczą, mogącą w szerszym kontekście uzupełnić informacje na temat surowca i atmosfery wypału. Wydzielono naczynia o następującej barwie powierzchni zewnętrznej: 1 – pomarańczowej, 2 – jasnobrązowej, 3 – brązowej, 4 – ciemnobrązowej, 5 – brunatnej, 6 – ciemnobrunatnej, 7 – szarej, 8 – czarnej; 9 – kremowej lub białej, 10 – plamistej.

### Formy i ornamentyka

Dla potrzeb charakterystyki morfologii omawianych wyrobów garncarskich wprowadzono podział na struktury morfologiczne, opracowany przez Andrzeja Buko (Buko 1990, 265–293). W zbiorze wyróżniono naczynia reprezentujące następujące struktury:

- A.I – struktury morfologiczne czteroelementowe, charakteryzujące się obecnością wszystkich czterech elementów profilu naczynia, to znaczy wylewu, szyjki oraz górnej i dolnej części brzuśca;
- A.III – struktury morfologiczne trzelementowe (odmiana bez szyjki);
- A.IV – struktury morfologiczne trzelementowe (odmiana bez wylewu);
- A.VII – struktury morfologiczne dwuelementowe (odmiana bez górnej części brzuśca i szyjki). Do tej grupy zaliczono słabo diagnostyczne fragmenty, pochodzące być może z misek.

Wyróżniono też kilka przykładów form szczególnych – pucharków (B.I) oraz fragmenty brzegowych części pokrywek.

Innym sposobem opisu była klasyfikacja według rodzin form naczyń (dalej cyt.: RF). Ze względu na słaby stan zachowania innych typów wyrobów zastosowano ją tylko dla fragmen-

tów garnków. Wydzielono cztery podstawowe rodziny form, oparte na schemacie opracowanym przez Andrzeja Buko dla wczesnośredniowiecznej ceramiki sandomierskiej (Buko 1981, 145–156), który dopasowano do potrzeb analizowanego zbioru (tabl. VI.1). W obrębie każdej z nich wyróżniono po kilka wariantów:

- **RF-I** – naczynia czteroelementowe (A.I) charakteryzujące się łagodną linią profilu, o liniowym łączeniu między poszczególnymi elementami. Ze względu na kształt szyjki i stopień wychylenia brzuśca podzielono je na kilka wariantów: RF-IA – garnki o łukowatych szyjkach i zazwyczaj słabo wydętych brzuścach, tzw. esowate; RF-IB – garnki o krótkich, wysoko położonych szyjkach i mocno wydętych brzuścach, tzw. baniaste; RF-IC – garnki o wysokich szyjkach, w środkowych częściach prostych, w skrajnych zaś łukowatych, oraz zwykle mało wydętych brzuścach; RF-IE – garnki o bardzo wąskich szyjkach, stanowiących wyraźną granicę między brzuścem a wychylonym na zewnątrz wylewem<sup>8</sup>.
- **RF-II** – naczynia trzelementowe (A.III), charakteryzujące się brakiem szyjki i zazwyczaj mało wypukłą górną częścią brzuśca. Łączenie górnej i dolnej części brzuśca może być łagodne (wariant RF-IIA), kątowe (wariant RF-IIB) lub kątowe z tzw. barkiem (wariant RF-IIC). Dwie ostatnie formy określane są czasami garnkami dwustożkowatymi.
- **RF-III A** – naczynia czteroelementowe (A.I) o łukowatej szyjce oraz kątowym łączeniu między elementami górnej części profilu, zaś łagodnym między górną i dolną częścią brzuśca.
- **RF-IV** – naczynia o kątowym łączeniu między elementami górnej części profilu oraz łagodnym między górną i dolną częścią brzuśca, charakteryzujące się prostymi szyjkami. Wyróżniono wśród nich trzy warianty: RF-IVA – garnki trzelementowe (A.IV – odmiana bez wylewu), o szyjkach pionowych lub nachylonych do wewnątrz, rzadziej lekko wychylonych na zewnątrz, tzw. naczynia z cylindryczną szyjką; RF-IVB – garnki czteroelementowe (A.I) o szyjkach pionowych lub lekko nachylonych do wewnątrz, wyraźnie wyodrębnionych od brzuśców, a zwykle również od wylewów; RF-IVC – garnki czteroelementowe (A.I) o nachylonych do wewnątrz (stożkowatych) szyjkach, słabo oddzielonych od brzuśców, natomiast na ogół wyraźnie wyodrębnionych od wylewów.

Podstawę zakwalifikowania naczynia do określonej rodziny form lub jej wariantu stanowił przede wszystkim kształt szyjki i górnej części brzuśca, a także typ łączenia między nimi. Ze względu na duży stopień fragmentaryzacji zbioru rzadziej jako kryterium klasyfikujące brano pod uwagę rodzaj łączenia między górną i dolną częścią brzuśca.

Cechy mikromorfologiczne i dekorację naczyń scharakteryzowano w oparciu o opracowane przez autorów typologie dla materiałów pochodzących z innych stanowisk zlokalizowanych na obszarze dorzecza górnej Narwi. Zachowano nazewnictwo poszczególnych typów wylewów i rodzajów zdobin, stąd w opracowaniu brak ich ciągłej numeracji. W omawianym zbiorze wydzielono 24 typy ukształtowania wylewów, oznaczone cyframi rzymskimi, oraz grupę brzegów uformowanych w niestandardowy sposób (tabl. VI.2). Do tej ostatniej zaliczono krawędzie reprezentowane przez pojedyncze fragmenty, dla których nie znaleziono analogii na innych stanowiskach regionu. Wśród głównych typów wylewów wyróżniono warianty, oznaczone dużymi literami alfabetu i cyframi arabskimi. Kryteriami ich wydzielenia były cechy, które uznano za mniej istotne dla danego typu, a niekiedy nawet trudne do określenia lub widoczne tylko na części obwodu wylewu. Zaliczono do nich na przykład stopień

<sup>8</sup> W zbiorze nie stwierdzono wyrobów wariantów RF-ID i RF-IIIB, wydzielonych wśród materiałów z osady przygodowej.

wychylenia krawędzi lub szczegóły jego profilowania (litery od A do D), a także brak (1) lub obecność wrębu (2).

W typologii części przydennych uwzględniono dwie podstawowe cechy: kształt dna (płaski lub wklęsły) oraz obecność lub brak pierścienia dookólnego. Na tej podstawie wydzielono cztery typy den (tabl. VI.3: 1): IA – płaskie bez pierścienia dookólnego, IB – płaskie z pierścieniem dookólnym, IIA – wklęsłe bez pierścienia dookólnego, IIB – wklęsłe z pierścieniem dookólnym.

Wyróżniono cztery podstawowe rodzaje ornamentu: R – ryty, O – odciskany, N – nacinany i Pl – plastyczny. W ich obrębie zastosowano dalszy podział, oparty na kształcie dekoracji i typie użytego narzędzia (tabl. VI.3: 2). Podstawą charakterystyki stylu ornamentacji danego naczynia była klasyfikacja zastosowana przez Andrzeja Buko dla ceramiki sandomierskiej, uwzględniająca motywy ornamentacyjne jedno- i wielowątkowe oraz hierarchię wątków (Buko 1981, 109–114). Ze względu na duże rozdrobnienie materiału wydzielono również motywy niesklasyfikowane. Zaliczono do nich wszystkie ułamki zdobione pojedynczymi wzorami innymi niż żłobki dookólne, które mogą pochodzić z okazów o dekoracji wielowątkowej. Ponadto w każdym przypadku starano się określić wzajemną relację zdobin, wprowadzając podział na wątki główne i podporządkowane, jak również sposób ich rozmieszczenia na naczyniu.

Stan zachowania, ślady użytkowania i surowce do produkcji naczyń opisano łącznie dla całego zbioru, natomiast technikę wykonania i stylistykę omówiono osobno dla każdej z wydzielonych grup technologicznych.

## VI.2.2. Kontekst stratygraficzny

W trakcie badań przeprowadzonych na grodzisku w latach 2004 i 2013 znaleziono 3863 fragmenty wczesnośredniowiecznej ceramiki naczyniowej. Podstawę analizy stanowiły materiały z wykopu 4, liczące 3643 ułamki (por. aneks 2, tab. 1). Większość z nich pozyskano z wczesnośredniowiecznych warstw kulturowych (2304 fragm.) lub z wypełnisk obiektów (205 fragm.). Zbiór zawiera też 683 fragmenty naczyń ze struktur późnośredniowiecznych oraz 451 z humusu i warstw o nieokreślonym kontekście stratygraficznym. W pozostałych wykopach odkryto nieliczne materiały z tego okresu, pochodzące wyłącznie ze złoża wtórnego lub z warstw przemieszanych. W wykopie 1 znaleziono 105 ułamków ceramiki, w sondażu 2 – 66, zaś w wykopie 3 – 49.

Wyroby garncarskie z wykopu 4 reprezentują wszystkie wydzielone fazy użytkowania grodu. Z najstarszym okresem zasiedlenia stanowiska (faza I) związany jest bardzo nieliczny zbiór, obejmujący 72 fragmenty ceramiki (por. aneks 2, tab. 2). Większość ułamków pozyskana została z nasypu wału (w. 291, 306, 347, 349, 396 i 399), jest zatem prawdopodobne, że co najmniej część z nich ma charakter rezydualny. W wypełniskach jam 392 i 412 oraz w warstwach spływowych 383 i 343 odkryto zaledwie po kilka fragmentów naczyń. W stropie ostatniej z wymienionych warstw znaleziono m.in. pojedyncze ułamki ceramiki, które zapewne przeniknęły do niej wtórnie, z położonych wyżej młodszych struktur. Nieliczne okazy z tego okresu wyróżniono także wśród materiałów o nieokreślonym kontekście stratygraficznym oraz pochodzących z nawarstwień uformowanych w następnych fazach. Ich związek

z funkcjonowaniem grodu nie jest jednak pewny, ponieważ mogły się one dostać na teren stanowiska wraz z piaskiem przyniesionym do budowy umocnień.

Znaleziska fazy IIA–IIC reprezentowane są przez 438 ułamków naczyń (por. aneks 2, tab. 2). Największy zbiór (238 fragm.) pozyskano z warstwy 317, stanowiącej poziom destrukcyjny powstały na wewnętrznym obrzeżu nasypu wału. Dla charakterystyki wyrobów z tego okresu najbardziej przydatne były zespoły pochodzące ze struktur związanych z użytkowaniem (w. 344, 357 i 364) lub zniszczeniem (w. 335, 346) domniemanego budynku z piecem 386. Materiały z tych nawarstwień są jednak nieliczne i obejmują od kilku do kilkudziesięciu ułamków ceramiki. W przypadku warstw niwelacyjnych (w. 345 i 377) pojedyncze fragmenty naczyń odkryto głównie w obrębie ciemniejszego piasku wypełniającego nory i korytaryze zwierzęce, co sugeruje, że przeniknęły one do nich ze znajdujących się wyżej młodszych struktur. Z większości warstw tworzących nasyp wału (w. 299, 303 i 304) pozyskano nieliczne ułamki ceramiki, zapewne o charakterze rezydualnym. Wyjątkiem jest warstwa 262, w której odnotowano 48 fragmentów naczyń. Związek tej struktury z fazą IIA–IIC nie jest jednak wystarczająco udokumentowany, a ponadto z powodu jej lokalizacji w górnej części nasypu wału mogły się do niej dostać także materiały młodsze.

Najliczniejszy zbiór naczyń, obejmujący 1298 ułamków, pochodzi z fazy IID–IIE (por. aneks 2, tab. 2). Większość z nich odkryto w warstwach użytkowo-destrukcyjnych (308 i 308/1 – 945 fragm.) lub destrukcyjnych (w. 307 – 166 fragm., w. 331 – 39 fragm., w. 288 – 5 fragm.). Znacznie mniejsze zespoły pozyskano z nawarstwień o charakterze niwelacyjnym lub spływowym (w. 309, 326 i 369). Wypełniska obiektów tej fazy, głównie dołów posłupowych (ob. 314, 325, 355, 360 i 376), zawierały na ogół po kilka fragmentów ceramiki. Jedynie w warstwie destrukcyjnej wytworzonej wewnątrz pieca 323 odnotowano nieco większą liczbę znalezisk tego typu (50 fragm.).

Materiały fazy III to 679 ułamków naczyń (por. aneks 2, tab. 2). Pochodzą one głównie z warstwy użytkowo-destrukcyjnej 289 (527 fragm.) oraz z warstwy 305 (45 fragm.). Mniejsze zbiory pozyskano z obiektów 424 (28 fragm.) i 426 (32 fragm.) oraz z tworzącej nasyp wału warstwy 255 (26 fragm.). Związek tej ostatniej z fazą III nie jest jednak do końca pewny. W pozostałych strukturach (w. 296, 315 i 316) odkryto od kilku do kilkunastu ułamków naczyń.

Osobną grupę stanowią znalezione we wszystkich wykopach fragmenty ceramiki o trudnej do określenia chronologii, pod względem techniki wykonania i stylistyki odpowiadające zarówno wyrobom z wczesnego, jak i z późnego średniowiecza (281 fragm.). Pochodzą one najczęściej ze złoża wtórnego. Materiały te zostały omówione na końcu podrozdziału (rozdz. VI.2.5).

### VI.2.3. Stan zachowania i ślady użytkowania naczyń

Analizowany zespół cechuje słaby stan zachowania. Brak w nim całych naczyń, a zdecydowaną większość stanowią mało charakterystyczne ułamki brzuśców (ok. 85%). Wśród materiałów pochodzących z wczesnośredniowiecznych warstw i obiektów, liczących łącznie 2509 fragmentów, znajduje się 208 części przybrzeżnych, 149 den i 2152 brzuśce. W pozostałym zbiorze (ceramika ze złoża wtórnego i o nieokreślonym kontekście stratygraficznym) wyróżniono 146 ułamków krawędzi, 78 den i 1130 brzuśców.

Materiały ze struktur wczesnośredniowiecznych odznaczają się wysokim stopniem fragmentaryzacji (por. aneks 2, tab. 2). Przeważają wśród nich ułamki II kat., na które przypada ok. 69% zespołu (1731 fragm.). Duże egzemplarze I kat. stanowią tylko ok. 8% (207 fragm.), a drobne ułamki III kat. – ok. 23% (571 fragm.). Ceramika znaleziona w wypełniskach obiektów charakteryzuje się tylko nieznacznie mniejszym stopniem rozdrobnienia niż ta pozyskana z warstw. Między naczyniami związanymi z poszczególnymi okresami użytkowania grodu nie odnotowano istotnych różnic pod tym względem. Nieco wyższy odsetek fragmentów I kat. wśród materiałów faz I i IIA–IIC (ok. 12,5%) w porównaniu z IID–IIE (ok. 6%) i III (ok. 9%) może wynikać z odmiennych metod eksploracji. W zbiorze ceramiki z fazy IID–IIE zaobserwowano natomiast wyraźnie większą liczbę okruchów III kat. (ok. 27,5%), podczas gdy w przypadku pozostałych zespołów jest to ok. 10–19%. Zjawisko to można wytłumaczyć mniejszą grubością ścianek wyrobów z tego okresu. Udział ułamków ze śladami erozji wśród materiałów pochodzących z nawarstwień wczesnośredniowiecznych wynosi ok. 61% (1524 fragm., por. aneks 2, tab. 2). Najwyższym odsetkiem fragmentów zniszczonych wyróżnia się ceramika faz I (ok. 68%) i IID–IIE (ok. 66%). W przypadku pozostałych zbiorów jest on nieco niższy: faza IIA–IIC – ok. 49%, faza III – ok. 56%.

Znaleziska ze złoza wtórnego i o nieokreślonym kontekście stratygraficznym cechuje nieznacznie większy stopień rozdrobnienia. Udział poszczególnych kategorii wielkościowych jest wśród nich następujący: I kat. – ok. 6% (77 fragm.), II kat. – ok. 73% (988 fragm.) i III kat. – ok. 21% (289 fragm.). Interesujące jest natomiast, że w grupie tej odnotowano mniejszą liczbę ułamków zerodowanych (691 fragm., ok. 51%) niż w przypadku ceramiki ze złoza pierwotnego.

Na 414 fragmentach naczyń (ok. 16,5%) pochodzących z warstw i obiektów wczesnośredniowiecznych zauważono oznaki wtórnego przepalenia (por. aneks 2, tab. 2). Największy udział ułamków ze śladami działania ognia, wynoszący ok. 52%, odnotowano w warstwie 312, która powstała w wyniku destrukcji pieca 323. Kilka innych warstw charakteryzowało się relatywnie wysoką, ale zbliżoną zawartością okazów przepalonych: w. 289 – ok. 18%, w. 305 – ok. 18%, w. 307 – ok. 20%, w. 308 i 308/1 – ok. 19%, w. 331 – ok. 18%. Widać zatem, że poza znaleziskami związanymi z piecem działaniu ognia poddana została przede wszystkim ceramika z warstw użytkowych i destrukcyjnych, zalegających na majdanie grodu. Materiały ze złoza wtórnego i z nieokreślonego kontekstu stratygraficznego charakteryzuje natomiast niski odsetek ułamków wtórnie przepalonych (45 fragm., ok. 3%).

Ślady użytkowania naczyń stwierdzono na ściankach 335 fragmentów pochodzących ze struktur wczesnośredniowiecznych, w tym 26 z wypełnisk obiektów i 309 z warstw, co łącznie stanowi ok. 13% zbioru (por. aneks 2, tab. 2). Są to najczęściej tzw. przywry – pozostałości zwęglonych substancji, prawdopodobnie pochodzenia organicznego (282 fragm.). W większości przypadków (ok. 56%) odnotowano je na zewnętrznej powierzchni naczyń – 146 ułamków spośród 259 przeanalizowanych pod tym kątem. Na 73 fragmentach przywry występują na wewnętrznej, a na 40 na obu powierzchniach. Okopcenie ścianek, czasami trudno odróżnialne od plam powstałych w trakcie wypalania wyrobów, zaobserwowano tylko na 53 ułamkach ceramiki. Spośród struktur zawierających materiały o masowym charakterze największy udział okazów ze śladami użytkowania cechuje warstwę 305 (ok. 26,5%), nieco mniej odnotowano ich w warstwach 262 (ok. 16,5%), 289 (ok. 16,5%), 307 (ok. 14%) i 317 (ok.

19%). W przypadku obiektów znaczną zawartością fragmentów z przywrami i okopceniami, wynoszącą ok. 34%, charakteryzowała się jama 426. Zastanawiające jest natomiast, że prawie nie odnotowano ich w warstwach związanych z piecem 323. Wśród materiałów o nieokreślonym kontekście stratygraficznym lub pochodzących ze złoża wtórnego udział ułamków ze śladami użytkowania jest mniejszy i wynosi ok. 8% (114 fragm.).

Ponadto w górnej części ścianek dwóch garnków znajdują się otworki, przewiercone po ich wypaleniu (tabl. VI.10: 5; VI.17.4), świadczące być może o zabiegu drutowania.

#### VI.2.4. Surowce do produkcji naczyń

W omawianym zbiorze stwierdzono zdecydowaną przewagę naczyń wykonanych z glin żelazistych (GS-I), pochodzących najprawdopodobniej głównie z miejscowych złóż o genezie polodowcowej (por. rozdz. I.1). Surowiec tylko dwóch fragmentów ceramiki określono jako glinę wypalającą się na białą (GS-II).

Na podstawie analizy makroskopowej nasuwa się wniosek, że wśród wyrobów z glin żelazistych zdecydowanie dominują okazy, których masa ceramiczna charakteryzuje się niewielkim stopniem naturalnego spiaszczenia i sztuczną domieszką tłuczni (grupy surowcowe GS-IA i GS-ID, ryc. VI.66; VI.68: 1). Receptury te są typowe dla większości naczyń całkowicie obtaczanych (GT-II) pochodzących z warstw użytkowych i wypełnisk obiektów (ok. 97% spośród 2228 przeanalizowanych fragmentów)<sup>9</sup>. We frakcji klastycznej przeważają występujące w różnej liczbie białe ziarna kwarcu. Obok nich często widoczne są również okruchy o różowej, szarej lub białej barwie, które można interpretować jako skalenie, a także blaszki miki. Taki skład domieszki wskazuje, że wykonywano ją zapewne z granitu (por. Bobrinskij 1978, 70, 105). W tym celu wykorzystywano najprawdopodobniej prażone w ogniu, a następnie tłuczone i rozcierane otoczaki (Hołubowicz 1950, 33; Fryś 1959, 247). Granulacja tłuczni była mocno zróżnicowana. Na podstawie analizy 2156 fragmentów stwierdzono, że najczęściej stosowano domieszkę średnioziarnistą z przewagą ziaren o średnicy 0,05–0,15 cm – grupy wielkościowe C (ok. 60%) i D (ok. 23%). Tłuczeń o granulacji 0,15–0,20 cm (grupa B) zaobserwowano w przypadku ok. 13% ułamków, zaś bardzo gruby (o średnicy > 0,2 cm) odnotowano w mniej niż 1% z nich. Domieszką drobnoziarnistą grupy E (o średnicy < 0,05 cm) charakteryzowała się niewielka liczba opisywanych fragmentów (ok. 4%). Należy zauważyć, że w przypadku każdej z grup granulometrycznych znaczny udział miały również ziarna drobniejsze niż frakcja dominująca (por. Hołubowicz 1965, 11). Materiał klastyczny można określić jako słabo wysortowany. W przełamach aż ok. 33% ułamków zaobserwowano pojedyncze okruchy skał o średnicy większej niż ziarna dominujące, najczęściej wynoszącej 0,2–0,3 cm, ale niekiedy dochodzącej nawet do ok. 0,7 cm. Wydaje się zatem, że nie zawsze przywiązywano wagę do starannego selekcjonowania domieszki, chociaż w przypadku grup D i E zapewne ją przesiewano (por. Hołubowicz 1950, 33). Rzadziej w masie ceramicznej analizowanych wyrobów występowały ziarna żwiru, o granulacji ok. 0,2–1,0 cm (ok. 7% ułamków). Sporadycznie w ściankach naczyń notowano otworki świadczące o zanieczyszczeniu gliny resztkami roślin, zaś w przełamie jednego fragmentu stwierdzono ślad mogący być odciskiem ziarna zboża. Równie rzadko w czerepach wyrobów obecne były okruchy marglu, co sugeruje, że wybiera-

<sup>9</sup> Z powodu niedoskonałości metody makroskopowej wyniki te należy traktować jako przybliżone.

no gliny pozbawione tego komponentu lub – mając na uwadze jego szkodliwe działanie (Rice 2005, 97 n.) – starannie je oczyszczano.

Bardzo rzadko do wytwarzania naczyń wykorzystywane były masy ceramiczne o innym składzie. Jako grupę surowcową GS-IB sklasyfikowano 49 ułamków wyrobów lepionych techniką ugniatania wałeczkowego i całkowicie obtaczanych (GT-II), a jako recepturę GS-IC – 23 fragmenty (ryc. VI.67: 2). Na surowce te przypada zatem łącznie tylko ok. 3% zbioru poddanego analizie, trzeba jednak zauważyć, że są one trudne do wyróżnienia przy zastosowaniu wyłącznie metody makroskopowej. Fragmenty wyrobów o recepturze GS-IC oprócz piasku zawierają także – występujące zazwyczaj w niewielkiej liczbie – ziarna tłucznia (kwarc, rzadziej skalenie i mika). O ile w przypadku receptury GS-IB mamy zapewne do czynienia z masą ceramiczną o sztucznej domieszce piasku, to surowiec GS-IC można interpretować dwojako – jako glinę schudzoną mieszaniną piasku i tłucznia lub mocno spiaszczoną w naturalny sposób, ze sztucznym dodatkiem niewielkiej ilości tłucznia.

Odrębnie należy traktować dwa fragmenty ceramiki GT-II wykonane z glin biało wypalających się. Jeden z nich charakteryzuje się domieszką tłucznia o granulacji do 0,2 cm (GS-IIA, ryc. VI.68: 2), natomiast drugi dodatkiem piasku (GS-IIB).

W przypadku wyrobów pozostałych grup technologicznych brak wystarczających danych do szczegółowego omówienia ich mas ceramicznych. Naczynia całkowicie ręcznie lepione lub częściowo obtaczane (GT-I) charakteryzowały się surowcem schudzonym gruboziarnistym tłuczniem grup A lub B (receptury GS-IA lub GS-ID). Natomiast wśród egzemplarzy wykonanych prawdopodobnie techniką taśmowo-ślizgową (GT-III) przeważają fragmenty z domieszką piasku (GS-IB, ryc. VI.67: 1). Tylko jeden okaz wyróżnia się domieszką drobnoziarnistego tłucznia grupy E.

Zróznicowanie surowcowe omawianych wyrobów znajduje pewne odbicie w wynikach analiz składu chemicznego (por. aneks 4, tab. 1). W większości próbek stwierdzono wysoką zawartość trójtlenku żelaza – od 8,60 do 14,58% wagowych (dalej cyt.: wag.) we frakcji ilastej i od 8,83 do 14,71% wag. w masie ceramicznej. Wśród nich wyróżniają się dwa fragmenty zakwalifikowane do grupy surowcowej GS-ID (nr CL18421 i CL18437), o wyższym niż w innych przypadkach udziale tlenu wapnia, we frakcji ilastej wynoszącym od 7,05 do 9,28% wag., zaś w masie ceramicznej odpowiednio 7,88% wag. i 7,40% wag. Ponadto analiza jednej z próbek (nr CL18419) wykazała wyjątkowo dużą zawartość trójtlenku arsenu – 1,07 i 3,43% wag. we frakcji ilastej oraz 7,10% wag. w masie ceramicznej. Pozostałe naczynia wykonane z glin żelazistych (grupy surowcowe GS-IA, GS-IB i GS-IC) charakteryzują się zbliżonymi parametrami. Udział krzemionki we frakcji ilastej waha się w ich przypadku od 53,00 do 61,27% wag., zaś tlenu glinu od 17,19 do 20,66% wag. W masie ceramicznej zauważyć można nieznaczny wzrost ilości pierwszego z wymienionych składników (54,83–63,51% wag.), a spadek drugiego (14,71–17,83% wag.). Próbkę cechuje niewielka lub średnia zawartość tlenu wapnia we frakcji ilastej, mieszcząca się w granicach 1,29–5,98% wag. Na tej podstawie surowiec ten można zaliczyć do glin odwapnionych, pozyskiwanych zapewne z górnych, zwietrzałych partii złóż. Nieco wyższy jest udział tlenu potasu, który wynosi 3,08–4,77% wag. Skład chemiczny fragmentów naczyń wykonanych z mocno spiaszczonej gliny (receptury GS-IB i GS-IC) jest zbliżony do wyników analiz próbek z domieszką tłucznia.



Poddany analizie fragment naczynia wykonanego z gliny biało wypalającej się (nr CL18438) charakteryzuje się niewielką zawartością tlenku żelaza, wynoszącą we frakcji ilastej 3,53–3,74% wag., zaś w masie ceramicznej 3,71% wag. (por. aneks 4, tab. 1). Udział tlenku glinu we frakcji ilastej znajduje się na poziomie 32,29–32,63% wag., jest więc większy niż w przypadku glin żelazistych. W masie ceramicznej zawartość tego komponentu wynosi 27,33%. Udział krzemionki we frakcji ilastej to 49,24–52,92% wag., zaś w masie ceramicznej 56,78% wag. Tlenek wapnia oscyluje na poziomie 3,52–4,54% wag. (frakcja ilasta) i 5,06% wag. (masa ceramiczna), przy bardzo niewielkiej ilości tlenku potasu – odpowiednio 0,71–0,82% wag. oraz 0,59% wag. Nietypowo wysoka jest zawartość trójtlenku siarki 3,20–6,09% wag. we frakcji ilastej i 2,76% wag. w masie ceramicznej.

Wśród materiałów pochodzących z poszczególnych faz osadniczych zauważyć można pewne różnice pod względem składu mas ceramicznych stosowanych do wyrobu naczyń, głównie w zakresie granulacji domieszki tłuczni. W fazie I glinę schudzano głównie tłuczniem grubo- i średnioziarnistym grup B i C, a sporadycznie A. W późniejszych okresach granulacja domieszki zmniejsza się. W fazach IIA–IIC i IID–IIE udział fragmentów z zawartością tłuczni gruboziarnistego (grupy A i B) spada do kilkunastu procent, zaś zaczynają przeważać wyroby o domieszce średnioziarnistej grup C (odpowiednio ok. 65% i ok. 63%) oraz D (odpowiednio ok. 17% i ok. 20%), przy nieznacznej liczbie naczyń o drobnej domieszce grupy E (odpowiednio ok. 2% i ok. 3%). Tendencja ta widoczna jest zwłaszcza w odniesieniu do materiałów fazy III, wśród których na grupy D i E przypada prawie 40% przeanalizowanych fragmentów. W ostatnim okresie odnotowano też największy udział ułamków naczyń wykonanych z gliny schudzonej piaskiem lub jego mieszaniną z tłuczniem (GS-IB i GS-IC, ok. 5%) oraz nieliczne wyroby z glin wypalających się na biało (GS-IIA i GS-IIB). Wskazuje to na nieco większe zróżnicowanie produkcji garncarskiej w końcowej fazie funkcjonowania wczesnośredniowiecznego grodu.

Pod względem używanych surowców omawiana ceramika naczyniowa nie różni się od materiałów pochodzących z większości stanowisk wczesnośredniowiecznych zlokalizowanych zarówno na obszarze Mazowsza, jak i północno-zachodniej Rusi. Dla obu tych regionów w X–XIII w. typowe były wyroby z czwartorzędowych glin żelazistych, schudzonych tłuczniem, a tylko w niewielkiej części piaskiem lub mieszaniną obu komponentów (m.in. Musianowicz 1969, 145; Buko 1990, 67–70; Miśkiewiczowa 1996, 15–29; Olczak, Krasnodębski 2002, 161; Malevskaâ-Malevič 2005, 15–19, 88, 102, 107; Jaskanis 2008, 124; Krasnodębski, Olczak 2010, 76, 84). Wyróżnione w analizowanym zbiorze pojedyncze fragmenty naczyń z glin wypalających się na biało należy traktować jako importy, gdyż surowiec ten nie występuje w dorzeczu górnej Narwi (por. Kozłowski, Mróz 2000). Na omawianym obszarze nieliczne ułamki wytworów z podobnej gliny odkryto w Drohiczynie, pow. siemiatycki (Musianowicz 1969, 145) i w Tykocinie, pow. białostocki, stan. 1 (materiały w Muzeum Podlaskim w Białymstoku, dalej cyt.: MPB)<sup>10</sup>. Natomiast w dalszych rejonach Mazowsza stwierdzono je m.in. na grodziskach w Bródnie Starym, pow. warszawski (Musianowicz 1956, 77) i Błoniu,

<sup>10</sup> Cytowane w tym i innych rozdziałach niepublikowane znaleziska z Tykocina, Brańska i Bielska Podlaskiego pochodzą z prac wykopaliskowych J. Gąssowskiego, J. Maciejczuka, U. Perlikowskiej-Puszkarskiej i U. Stankiewicz. Autorom badań serdecznie dziękujemy za wyrażenie zgody na wgląd do materiałów i dokumentacji.

pow. warszawski zachodni (Sadowska-Topór 2016, 17)<sup>11</sup>. Jako miejsce pochodzenia znalezionych na tych terenach naczyń z glin wypalających się na biało wymienia się zwykle ziemie południowo-zachodniej Rusi (Musianowicz 1956, 77; Musianowicz 1969, 145), aczkolwiek wykorzystywanie tego typu surowca we wczesnym średniowieczu poświadczane jest również dla wielu ośrodków obecnej południowej Polski (m.in. Buko 1990, 46–58; Buko 2005). Ze względu na kontekst stratygraficzny naczyń suraskich (faza III) najbardziej prawdopodobny jest ich związek z terenami należącymi w tym okresie (2. połowa XIII w. oraz przełom XIII i XIV w.) do Rusi halicko-włodzimierskiej (por. rozdz. VI.2.7).

## VI.2.5. Technika wykonania i stylistyka naczyń poszczególnych grup technologicznych

### VI.2.5.1. Naczynia lepiące techniką ugniatacia wałeczkowego, nieobtacone lub częściowo obtacone (GT-I)

W analizowanym zbiorze wyróżniono zaledwie cztery fragmenty ceramiki, które mogą pochodzić z wyrobów całkowicie ręcznie lepionych lub wykonanych na kole i częściowo obtaczanych. Należą do nich po dwa wylewy i brzuśce, znalezione w wykopach 1 (w. 1) i 4 (w. 275, 317 i ob. 412). Charakteryzują się one grubymi ściankami (0,8–1,1 cm), wielobarwnymi przełamami i gruboziarnistą, rzadziej średnioziarnistą domieszką tłuczni (grupy A, B i C). Brzeg jednego z okazów, który na brzuścu zdobiony jest pojedynczą linią falistą (R3), zaliczono do typu I (tabl. VI.6: 14). Drugi wylew to drobny fragment sklasyfikowany jako typ III. Ułamki brzuśców ornamentowane są liniami falistymi – pojedynczą (R3, tabl. VI.23: 15) i wielokrotną (R4, tabl. VI.18: 6).

### VI.2.5.2. Naczynia lepiące techniką ugniatacia wałeczkowego, całkowicie obtaczane (GT-II)

#### VI.2.5.2.1. Technika wykonania

Większość naczyń tworzących omawiany zbiór (3834 fragm.) wykonywana została na kole garncarskim powszechną we wczesnym średniowieczu techniką ugniatacia z wałeczków lub taśm gliny (Buko 1990, 105–110). Bardzo ważną częścią procesu produkcyjnego było obtaczanie, obejmujące zazwyczaj całą wysokość wyrobu, stąd określenie „naczynia całkowicie obtaczane”. Ponieważ miało ono duży wpływ na kształt czerepu, to ten typ wyrobów nazywa się też czasami „naczyniami silnie formującymi” (Hołubowicz 1965, 22–26; Buko 1990, 108; Miśkiewiczowa 1996, 19).

Termin „naczynia całkowicie obtaczane” nie oznacza, że ślady tego procesu, w postaci poziomych lub lekko ukośnych rys, widoczne są na całej wysokości obu powierzchni wyrobu. Pod względem obecności śladów poprodukcyjnych przeanalizowano 2233 fragmenty cerami-

<sup>11</sup> Pomimo wcześniejszych przypuszczeń (Olczak, Krasnodębski 2002, 161) po przeprowadzeniu analiz składu chemicznego wykluczono możliwość obecności naczyń z glin biało wypalających się wśród materiałów z Mołoczek, pow. bielski, stan. 2. Teza o występowaniu takiej ceramiki na osadzie w Potoce, pow. białostocki, stan. 1 (Kobylińska 2003, 118) nie została poparta analizami składu chemicznego.

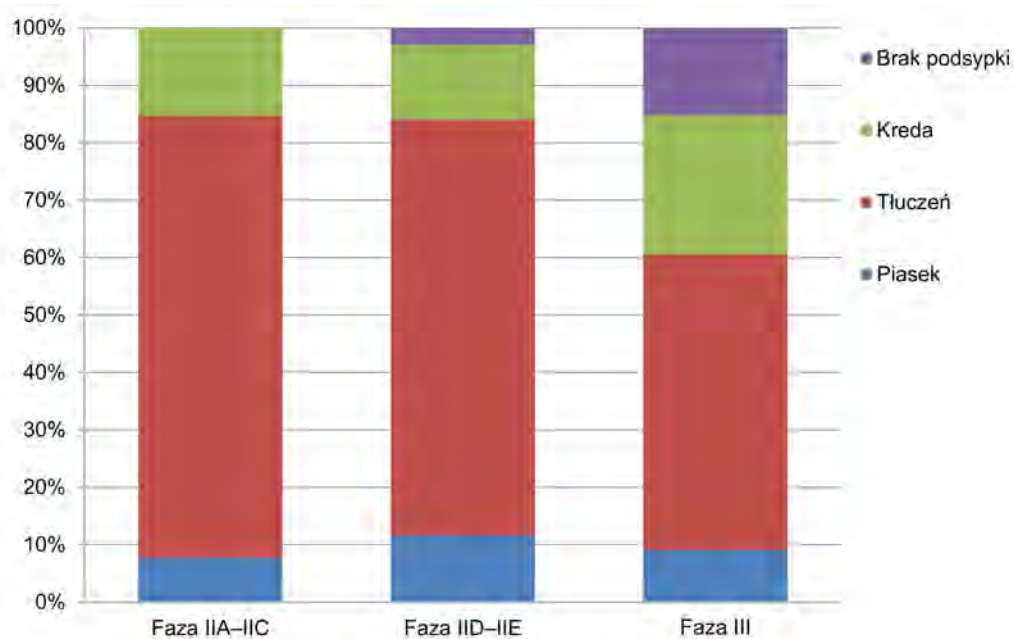
ki pochodzące z wczesnośredniowiecznych obiektów i warstw użytkowych. Ślady obtaczania stwierdzono na zdecydowanej większości spośród 1668 ułamków diagnostycznych (ok. 98%). W większości przypadków (ok. 72%) występowały one na obu ściankach naczyń, znacznie rzadziej (ok. 25%) tylko na powierzchni zewnętrznej, a wyjątkowo (ok. 1%) na wewnętrznej. Fragmenty, na których w ogóle nie stwierdzono oznak obtaczania na kole garncarskim pochodziły z reguły z dolnych części wyrobów. Równa powierzchnia większości naczyń i ich cienkościenność (por. dalej) wskazuje na stosowanie silnego obtaczania, wykonywanego przy szybkich obrotach koła. Potwierdza to bardzo duży udział w zbiorze mocno profilowanych wylewów. Znacznie mniejszą grupę tworzą wyroby o nieregularnych śladach obtaczania, często mające nierówną powierzchnię czerepu. Można przypuszczać, że w tym przypadku rotacja koła w ograniczonym stopniu wpłynęła na ich kształt, a obtaczanie służyło przede wszystkim do wyrównania ścianek. Nieliczne fragmenty takich naczyń wyróżniono wśród materiałów z faz I i III.

Obserwację śladów obtaczania często utrudniała obecność rys powstałych w wyniku ręcznego wyrównywania powierzchni naczyń, tzw. zagładzania. Zabieg ten mógł być wykonywany przy użyciu kawałka tkaniny, skóry, twardego narzędzia (na przykład drewnianego nożyka) albo tylko rąk garncarza (Hołubowicz 1950, 157, 160–163; Bobrinskij 1978, 223–231; Buko 1990, 116–119). Ślady gładzenia zaobserwowano na ok. 17% spośród 1969 diagnostycznych fragmentów naczyń, pochodzących z warstw użytkowych i obiektów. Najczęściej miały one postać wertykalnych lub lekko diagonalnych, rzadziej horyzontalnych linii, na ogół mniej regularnych niż ślady obtaczania. Pokrywały one zwykle wewnętrzne ścianki wyrobów, głównie w ich dolnych częściach.

Pomimo silnego obtaczania i zagładzania na powierzchni wielu naczyń zachowały się inne świadectwa procesu produkcyjnego. Zarejestrowano je na ok. 40% spośród 2004 fragmentów diagnostycznych, przy czym na wielu z nich widocznych było po kilka różnych rodzajów śladów konstrukcyjnych. Do najczęściej występujących należały nierówności w grubości ścianki naczyń w przekroju poziomym (597 fragm.). Tylko w nielicznych przypadkach stwierdzono ślady łączenia wałków lub taśm gliny, zazwyczaj zatarte w wyniku późniejszej obróbki ścianek. Wyróżniono ułamki ceramiki ze śladami regularnymi, w postaci równych horyzontalnych rys (51 fragm.), nieregularnymi, czasami o zygzakowatym kształcie (73 fragm.), a także takie, na których czytelne były ich oba rodzaje (3 fragm.). Ślady łączenia wałków widoczne były prawie wyłącznie na wewnętrznej powierzchni wyrobów, głównie w ich górnych częściach, które rzadziej niż dolne poddawano ręcznej obróbce. Ich specyficzną formą były rysy powstające w miejscu zlepienia tzw. zaczątku ścianki z dolnym wałkiem brzuśca, w przeciwieństwie do wyżej opisanych występujące na zewnętrznej powierzchni naczyń (6 fragm.). Nieregularne ślady łączenia wałków (taśm) Włodzimierz Hołubowicz uznawał za wyznacznik stosowania techniki ugniatania, zaś regularne – taśmowo-ślizgowej (Hołubowicz 1950, 161), w analizowanym materiale nie zaobserwowano jednak takiej zależności. Inny rodzaj śladów poprodukcyjnych stanowiły horyzontalne zgrubienia i nierówności, będące wynikiem niestarannego rozgniecenia wałków lub taśm gliny (104 fragm.). Oznaki ręcznego ugniatania, w postaci widocznych miejscowo na powierzchni naczyń kolistych lub owalnych zagłębień po palcach garncarza, stwierdzono na 118 ułamkach ceramiki.

Innego typu ślady poprodukcyjne występują na dnach naczyń. Na większości spośród 180 egzemplarzy przeanalizowanych pod tym kątem odnotowano pozostałości podsypki, głów-

nie tłucznia (131 fragm., ryc. VI.70). Przeważały dna z podsypką średnioziarnistą grup C i D, o średnicy ziaren 0,05–0,15 cm, którą stwierdzono na ok. 60% fragmentów. Na mniejszej liczbie den zachował się tłuczeń gruboziarnisty grup A, a zwłaszcza B (łącznie ok. 35%), a na kilku drobny, o średnicy poniżej 0,05 cm (grupa E, ok. 5%). Znacznie rzadziej garncarze używali jako podsypki piasku – odnotowano go tylko na 18 ułamkach den. Ponadto w przypadku trzech wyrobów zaobserwowano drobnoziarnistą podsypkę mineralną o trudnym do określenia składzie (piasek lub bardzo drobny tłuczeń). Wyróżnia się niewielka grupa den (18 sztuk i kilka okazów niepewnych), na powierzchni których stwierdzono pozostałości białej substancji, najprawdopodobniej kredy. Miejscowa wychodnia kredy piaszczącej znajduje się w odległości ok. 3 km na północny wschód od grodziska (Kozłowski, Mróz 2000, 34). Stosowanie tej substancji jako podsypki poświadczane jest m.in. dla wczesnośredniowiecznego garncarstwa ziemi chełmińskiej (Poliński 1996, 81). Resztki kredy odnotowano również na dnach naczyń pochodzących z grodzisk w Brańsku, pow. bielski, stan. 1 i Tykocinie (materiały w MPB). Tylko na ośmiu fragmentach den nie stwierdzono pozostałości podsypki. Może to świadczyć o jej celowym usunięciu lub o używaniu popiołu drzewnego (por. Hołubowicz 1950, 158; Bobrinskij 1978, 99; Buko 1990, 111; Rzeźnik 1995, 39, wykres 1). Porównując rodzaje podsypki występującej na dnach naczyń z poszczególnych faz osadniczych, można zauważyć, że we wszystkich okresach najczęściej stosowano tłuczeń (ryc. V.70). W fazie III udział den z podsypką tego rodzaju jest nieco mniejszy (ok. 52%), wzrasta natomiast liczba okazów z podsypką kredy (ok. 24%) oraz bez podsypki (ok. 15%). We wszystkich fazach stwierdzono przewagę naczyń, przy lepieniu których wykorzystano tłuczeń średnioziarnisty grup C i D – od ok. 50% w fazie IID–IIE do ok. 90% w fazie IIA–IIC. W pierwszym z wymienionych okresów wyjątkowo duży udział (ok. 48%) stanowiły natomiast dna z podsypką gruboziarnistą (grupy A i B). Podane różnice wynikać mogą jednak z niewielkiej liczby przeanalizowanych okazów.



Ryc. VI.70. Suraż, pow. białostocki, stan. 1. Rodzaje podsypki na dnach naczyń pochodzących z różnych faz osadniczych. Oprac. H. Olczak

Znacząca przewaga w analizowanym materiale den wklęsłych (por. dalej) wskazuje, że większość naczyń wykonywana była prawdopodobnie na tzw. nakładkach, czyli okrągłych drewnianych krążkach umieszczanych na tarczach kół garncarskich. Powody stosowania nakładek wyjaśniane są bardzo różnie. Interpretuje się je jako element przytrzymujący naczynie podczas szybkiej rotacji koła, krążek centrujący lub narzędzie ułatwiające zdejmowanie wyrobu z koła (por. m.in. Rzeźnik 1995, 42–44). Na podstawie nielicznych dobrze zachowanych den, których wklęsłość wahała się od 0,3 do 1,1 cm (tabl. VI.13: 8, 9; VI.15: 4; VI.16: 2, 3, 16; VI.17: 6), można sądzić, że wysokość nakładek była zróżnicowana. W przypadku okazów tylko nieznacznie podniesionych (tabl. VI.4: 4, 9; VI.5: 1; VI.6: 3; VI.7: 6; VI.17: 2) ich użycie nie jest oczywiste. Zdaniem Włodzimierza Hołubowicza taki kształt dna może wynikać z silnego nacisku rąk garncarza na dolną część naczynia podczas obtaczania (Hołubowicz 1965, 70 n.). Inna próba wyjaśnienia niewielkiej wklęsłości den zakłada jej powstanie w wyniku profilowania tarczy koła (Rzeźnik 1995, 42). Na powierzchni kilku naczyń zauważono cienkie wypukłe rysy, zazwyczaj równoległe do siebie, będące zapewne odbiciami spękań drewnianej nakładki (ryc. VI.71; tabl. VI.7: 8; VI.11: 1; VI.12: 4; VI.18: 7). W jednym przypadku towarzyszył im guzek o owalnym kształcie oraz inne trudne do interpretacji odciski (tabl. VI.13: 6). Natomiast w środkowej części dna jednego z pucharków odnotowano koliste wklęsnięcie o średnicy 1,3 cm i głębokości 0,2 cm (tabl. VI.24: 3). Podobne ślady uznaje się za odciski osi koła garncarskiego, wystającej ponad jego tarczę (Hołubowicz 1965, 54–60; Rzeźnik 1995, 28 n.).



Ryc. VI.71. Suraż, pow. białostocki, stan. 1, wykop 4. Odciski nakładki na koło garncarskie na dnie naczynia z warstwy 335 lub 317. Fot. M. Osiadacz



Ryc. VI.72. Suraż, pow. białostocki, stan. 1, wykop 4. Nieokreślone odciski (być może fragmentarycznie zachowany znak garncarski) na dnie naczynia z warstwy 289. Fot. M. Osiadacz

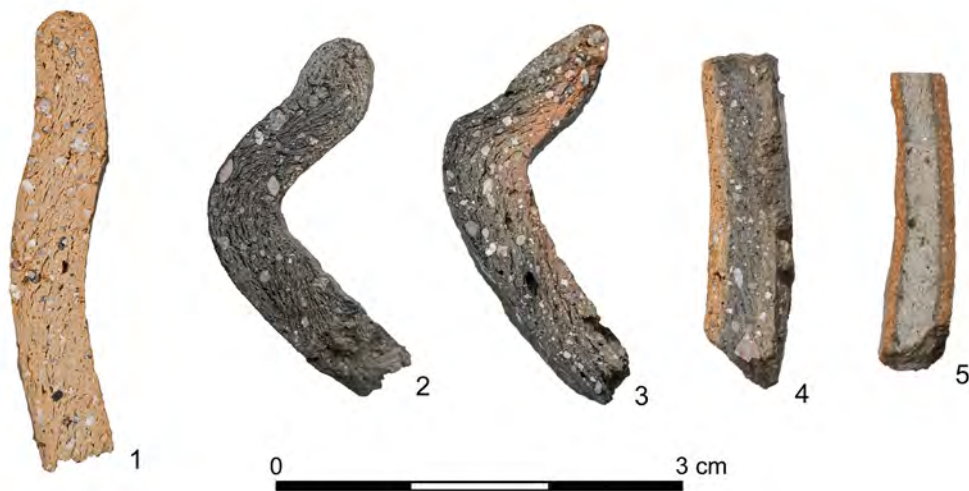
Zdaniem niektórych badaczy używanie przez garncarzy nakładek było przyczyną powstania na krawędzi den tzw. pierścieni dookolnych (Buko 1981, 98). Według innej interpretacji wykształcenie się tego szczegółu konstrukcyjnego następowało w wyniku czynności związanych z obróbką dolnej partii wyrobu – nacisku palców garncarza w miejscu łączenia dna z pierwszym wałkiem ścianki bądź przytwierdzenia naczynia do koła przy pomocy wałeczka gliny lub przez rozgnięcie jego dolnej części (por. Hołubowicz 1950, 158–160; Hołubowicz 1965, 70 n.; Kruppé 1961, 120 n.; Bobrinskij 1978, 39; Buko 1981, 98; Rzeźnik 1995, 31–38). Brak lub obecność pierścienia nie zawsze wynikały z odmiennego przebiegu procesu produkcyjnego, ponieważ w kilkunastu przypadkach czytelne były oznaki jego zagładzania, a w kilku kolejnych całkowitego zrównania z powierzchnią dna. Praktyka zagładzania pierścieni jest dobrze poświadczona przez materiały z innych stanowisk (m.in. Buko 1981, 98). W zbiorze odnotowano również kilka fragmentów naczyń, które miały wyraźnie pogrubioną dolną część ścianki, co spowodowało powstanie niewielkiej stopki (tabl. VI.24: 5). Ponadto w jednym przypadku na spodzie dna zauważono uformowany szeroki wałek. Również te szczegóły technologiczne mogą być świadectwem czynności związanych z przytwierdzeniem naczyń do tarczy koła. Poza tym na krawędziach nielicznych den (4 fragm.) stwierdzono krótkie, prostopadłe lub lekko ukośne kreski (tabl. VI.16: 3). Interpretuje się je zwykle jako ślady podważania ostrym narzędziem, powstające w momencie zdejmowania gotowych wyrobów z koła (Buko 1990, 111, ryc. 43).

Tylko na jednym dnie odnotowano wyraźny, fragmentarycznie zachowany wypukły znak garncarski (tabl. VI.6: 8). Ma on kształt okręgu z umieszczonymi wewnątrz promienistymi liniami, imitującymi być może szprychy koła (por. Hołubowicz 1965, tabl. XVIII; Musianowicz 1969, tabl. XI: 14; XXXVII: 9; Buko 1990, ryc. 65). Ponadto na kolejnych dziewięciu egzemplarzach zauważono wypukłości, najczęściej o podłużnym kształcie, które można interpretować jako słabo widoczne znaki garncarskie lub głębsze odbicia nakładek (ryc. VI.72; tabl. VI.7: 8; VI.11: 1).

Jedną z cech świadczących o stopniu zaawansowania produkcji garncarskiej jest grubość ścianek naczyń. Analizowane materiały są zróżnicowane pod tym względem, jednak wyraźnie zaznacza się wśród nich przewaga wyrobów cienkościennych. Grubość ścianek naczyń waha się od 0,2 do 1,5 cm, przy czym w zdecydowanej większości przypadków mieści się w zakresie 0,3–0,7 cm. W punkcie łączenia szyjki z brzuścem wynosi od 0,3 do 1,0 cm, najczęściej 0,4–0,6 cm. W miejscu maksymalnej średnicy brzuśca ścianki są zazwyczaj cieńsze i mierzą 0,3–0,7 cm, na ogół nie więcej niż 0,5 cm. Największą grubość osiągają przy przejściu w dno – od 0,4 do 1,4 cm, najczęściej 0,5–0,9 cm. Średnia arytmetyczna grubości ścianek brzuśców dla całego przeanalizowanego pod tym względem zbioru (1785 fragm.) wynosi 0,52 cm ( $\sigma = 0,12$ ). Spośród struktur z dużą liczbą znalezisk najmniejszą grubością ścianek charakteryzują się wyroby z warstwy 307 (faza IIE) – 0,48 cm ( $\sigma = 0,08$ ), zaś największą z warstw 289 (faza III) – 0,54 cm ( $\sigma = 0,15$ ) i 317 (faza IIIC) – 0,55 cm ( $\sigma = 0,12$ ). Podobnie zróżnicowane są grubości den. Naczynia pochodzące z warstw użytkowych i wypełnisk obiektów mają dna o grubości wahającej się w części bocznej od 0,4 do 1,1 cm (zwykle 0,5–0,9 cm), zaś w środkowej od 0,4 do 1,3 cm (najczęściej 0,5–0,7 cm).

Przyjmuje się, że wczesnośredniowieczne wyroby gliniane wypalane były na ogół w atmosferze utleniającej lub zmiennej (neutralnej) – częściowo utleniającej, częściowo zaś reduk-

cyjnej (m.in. Buko 1990, 152; Poliński 1996, 84–87). Omawiany zbiór jest mocno zróżnicowany pod względem kolorystyki powierzchni i przełamów naczyń (ryc. VI.73). Egzemplarze wykonane z glin żelazistych charakteryzują się najczęściej barwą ciemnobrunatną (ok. 25% spośród 1845 fragmentów diagnostycznych), pomarańczową (ok. 23%), ciemnobrązową (ok. 16%), brązową (ok. 14%) i czarną (ok. 14%). Pojedyncze ułamki garnków z glin biało wypalających się mają barwę jasnoszarokremową i beżowoszarą. Przełamy analizowanych wyrobów są na ogół wielobarwne – dwu- (ok. 41% spośród 1922 fragmentów sklasyfikowanych) lub trójbarwne (ok. 42%), zdecydowanie rzadziej jednobarwne (ok. 17%). Taka kolorystyka naczyń wskazuje na preferowanie wypalania w atmosferze ze swobodnym dopływem tlenu podczas trwania całego procesu, również w jego końcowym etapie. Bardzo duży udział przełamów wielobarwnych wynika prawdopodobnie ze względnie niskiej temperatury panującej w palenisku lub piecu o prostej konstrukcji (Rice 2005, 88). Niewielka grupa ułamków o czarnej, a wyjątkowo szarej barwie ścianek świadczy bądź o wypalaniu wyrobów w atmosferze redukcyjnej, bądź o niskiej temperaturze tego procesu, wynoszącej poniżej 600° C (Rice 2005, 88). W analizowanym zbiorze znajduje się również kilkadziesiąt fragmentów o czarnej barwie powierzchni zewnętrznej i pomarańczowej wewnętrznej, co może wskazywać na poddawanie niektórych naczyń na ostatnim etapie wypalania zabiegowi tzw. odymiania lub czernienia (por. Kluk 1781, 315; Jagmin 1917, 260 n.; Hołubowicz 1965, 129–131; Rice 2005, 158). Natomiast gdy większość przełamu jest czarna, zaś jedynie cienka warstewka zewnętrzna ma jaśniejszą barwę możemy mieć do czynienia z niedostatecznym uszczelnieniem pieca podczas wypalania w atmosferze redukcyjnej. We wszystkich przypadkach należy jednak wziąć pod uwagę późniejsze zmiany kolorystyki naczyń, wynikające z ich używania, zalegania w warstwach kulturowych lub wtórnego przepalenia.



**Ryc. VI.73.** Suraż, pow. białostocki, stan. 1. Przykłady różnych przełamów naczyń: 1, 2 – przełamy jednobarwne; 3 – przełam dwubarwny; 4, 5 – przełamy trójbarwne. Fot. M. Osiadacz

### Garnki

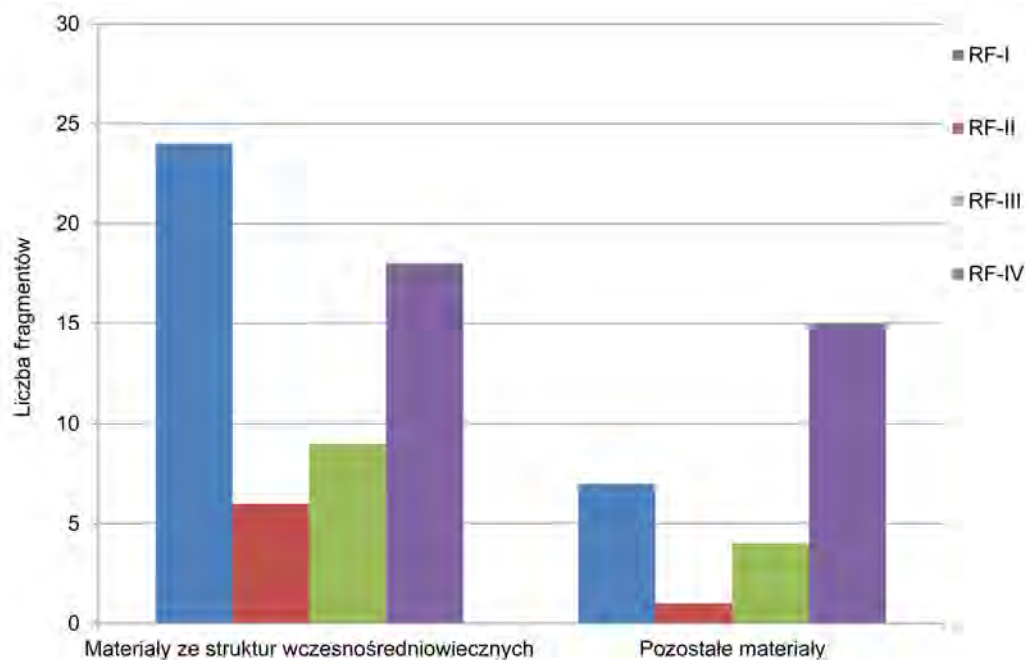
Zdecydowaną większość analizowanego zbioru tworzą fragmenty garnków. Są one mocno zróżnicowane pod względem kształtów i rozmiarów. Przeważają struktury czteroelementowe (A.I według Buko 1990, 265–281), charakteryzujące się obecnością wszystkich czterech elementów profilu – wylewu, szyjki oraz górnej i dolnej części brzuśca. Należą do nich okazy kilku rodzin form: RF-I, RF-IIIA, RF-IVB i RF-IVC. Mniej liczne są egzemplarze sklasyfikowane jako struktury trzelementowe w odmianie bez szyjki (A.III), do których zaliczono garnki RF-II, oraz trzelementowe bez wylewu (A.IV), reprezentowane przez naczynia RF-IVA.

Najliczniejszą grupę form czteroelementowych stanowią garnki RF-I, tzw. esowate (31 fragm., ryc. VI.74). Charakteryzują się one wklęsłą szyjką, która łagodnie przechodzi w wypukły brzusec. Ze względu na kształt szyjki wyróżniono wśród nich cztery warianty: RF-IA, RF-IB, RF-IC i RF-IE. Do naczyń RF-IA, o dość wysokiej łukowatej szyjce, zaliczono pięć okazów, m.in. ułamek wylewu typu XXVIII C-2 z warstwy 317 i fragment brzuśca z warstwy 335 (tabl. VI.21: 1). Pozostałe garnki tego wariantu charakteryzują się krawędziami typów IIB, IVB (tabl. VI.4: 2) i XIC. Naczynia RF-IB, o wąskich, wysoko położonych szyjkach i mocno wydętych brzuścach, tworzą jednolitą grupę, pochodzącą wyłącznie z warstwy 289 (10 fragm.). Większość z nich zaopatrzona jest w wylewy typu XVIII (tabl. VI.8: 1, 3; VI.10: 1, 3), a tylko pojedyncze w krawędzi typów IA (tabl. VI.8: 2), XIXB (tabl. VI.8: 4) i XXVIB-1. Są to garnki średnich rozmiarów, o średnicy brzegów ok. 16–18 cm. Wyroby RF-IC (12 fragm.) mają wysoką, lekko łukowatą szyjkę, zwykle wyraźnie wyodrębnioną od krawędzi. Większość z nich pochodzi z warstw 289, 308, 308/1 i 317. Poza jednym egzemplarzem o nietypowo ukształtowanym brzegu (tabl. VI.19: 7), wszystkie charakteryzują się wylewami typu XXXI, zwykle o średnicy 16–18 cm, a wyjątkowo 20 cm (tabl. VI.5: 11; VI.6: 9; VI.7: 7; VI.9: 2, 3; VI.14: 3; VI.15: 3; VI.18: 2). Naczynia RF-IE (4 fragm.) cechuje mocno przewężona szyjka, stanowiąca wyraźną granicę między brzuścem a wychylonym na zewnątrz brzegiem. Są one mocno zróżnicowane pod względem rozmiarów i ukształtowania krawędzi. Wyróżniono wśród nich wylew typu XXVIII A-2 o średnicy 17 cm (tabl. VI.14: 1), niestarannie wykonany garnek o brzegu typu IIA i średnicy 17 cm (tabl. VI.24: 2), naczynie o wylewie typu IVA i średnicy ok. 25 cm (tabl. VI.11: 23) oraz egzemplarz o krawędzi typu VIIA i średnicy ok. 19 cm (tabl. VI.23: 5).

Garnki RF-II należą do form trzelementowych, których cechą jest brak wyraźnie wydzielonej szyjki (A.III). Można wyróżnić wśród nich okazy o brzuścu lekko zaokrąglonym (wariant RF-IIA), ostro zaakcentowanym (wariant RF-IIB) lub zaopatrzonym w tzw. gzyms (wariant RF-IIC). Naczynia o tym kształcie są nieliczne (7 fragm.), zaś najlepiej zachowane z nich sklasyfikowano jako wariant RF-IIA. Najstarszym z tej grupy wydaje się mały, niestarannie wykonany okaz o średnicy 11,5 cm i asymetrycznym wylewie typu IVA, miejscami przechodzącym w typ I (tabl. VI.20: 3). Do tej rodziny form przyporządkowano też górną część garnka o niestandardowo ukształtowanej krawędzi i średnicy 18 cm (tabl. VI.22: 2), wylew typu XXII (tabl. VI.4: 11) oraz naczynie o brzegu typu XVIII i średnicy 20 cm (tabl. VI.16: 17). Do egzemplarzy RF-IIB zaliczyć można wylew typu XXVI, o średnicy ok. 25 cm (tabl. VI.19: 10), oraz niewielki fragment brzuśca. Kolejny ułamek brzuśca to prawdopodobnie część naczynia



RF-IIC (tabl. VI.13: 2). Z garnków RF-II pochodzą również dwa kolejne fragmenty – krawędź typu XXVIIB (tabl. VI.12: 7) i górna część niewielkiego naczynka o wylewie typu XXXIB (tabl. VI.6: 13), lecz ich klasyfikacja nie jest pewna. Zróżnicowana stylistyka i technika wykonania tych wyrobów, a także podobieństwo niektórych egzemplarzy do garnków RF-IA i RF-IVC mogą świadczyć, że wydzielona rodzina form stanowi przypadkowy zbiór naczyń reprezentujących bardzo różne tradycje garncarskie.

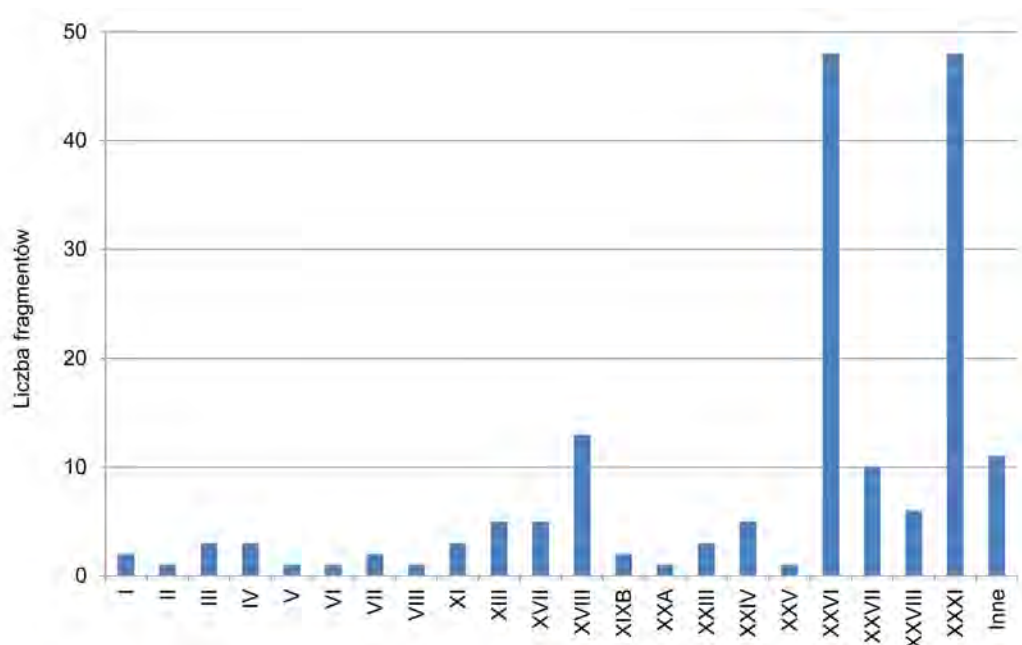


Ryc. VI.74. Suraż, pow. białostocki, stan. 1. Udział liczbowy garnków różnych rodzin form w zbiorze pochodzącym z obiektów i warstw wczesnośredniowiecznych oraz wśród pozostałych materiałów (ze złoża wtórnego oraz o nieokreślonym kontekście stratygraficznym). Oprac. H. Olczak

Jako czteroelementowe naczynia RF-III A sklasyfikowano 13 fragmentów ceramiki. Tworzą one jednolitą grupę, zbliżoną stylistycznie do garnków RF-IC, z tą różnicą, że ich łukowata szyjka oddzielona jest od brzuśca przy pomocy lekkiego wrębu lub podcięcia. Nietypowy jest okaz o krótkiej, mocno wydzielonej szyjce, pod względem formy nieco zbliżony do wyrobów RF-IV (tabl. VI.14: 4). Naczynia tej rodziny form zaopatrzone są na ogół w wylewy typu XXXI (tabl. VI.5: 13; VI.9: 1; VI.12: 3; VI.13: 7; VI.14: 4; VI.24: 1). Wyjątek stanowi egzemplarz o krawędzi typu XXVI B-2 (tabl. VI.16: 1) i dwa okazy o niestandardowo ukształtowanych brzegach (tabl. VI.7: 1; VI.18: 8). Średnice wylewów tych garnków wynoszą od 16 do 22 cm, przy czym większość z nich mierzy ok. 19–20 cm.

Wśród wyrobów RF-IV wyróżnić można dwie grupy – garnki trzelementowe bez wyraźnie wyodrębnionego wylewu (RF-IVA, 21 fragm.) oraz czteroelementowe – RF-IVB i RF-IVC (po 6 fragm.). Te pierwsze, tzw. naczynia z cylindryczną szyjką, są bardzo słabo zachowane, co uniemożliwia ich szczegółową charakterystykę. Jedynie osiem fragmentów przyporządkowano do konkretnych faz użytkowania grodu, pozostałe to znaleziska o nieokreślonym kontekście stratygraficznym lub pochodzące ze złoża wtórnego. Ich krawędzie sklasyfikowano jako typy XXIV-1 (bez wrębu na pokrywkę, tabl. VI.6: 7; VI.12: 5; VI.18: 9) i XXIV-2 (z wrębem, tabl. VI.5: 6; VI.6: 10; VI.17: 8). Średnicę wylewu jednego okazu określono na ok. 22 cm (tabl. VI.5: 6). Ułamki garnków RF-IVB odkryto głównie w warstwach 308 i 308/1.

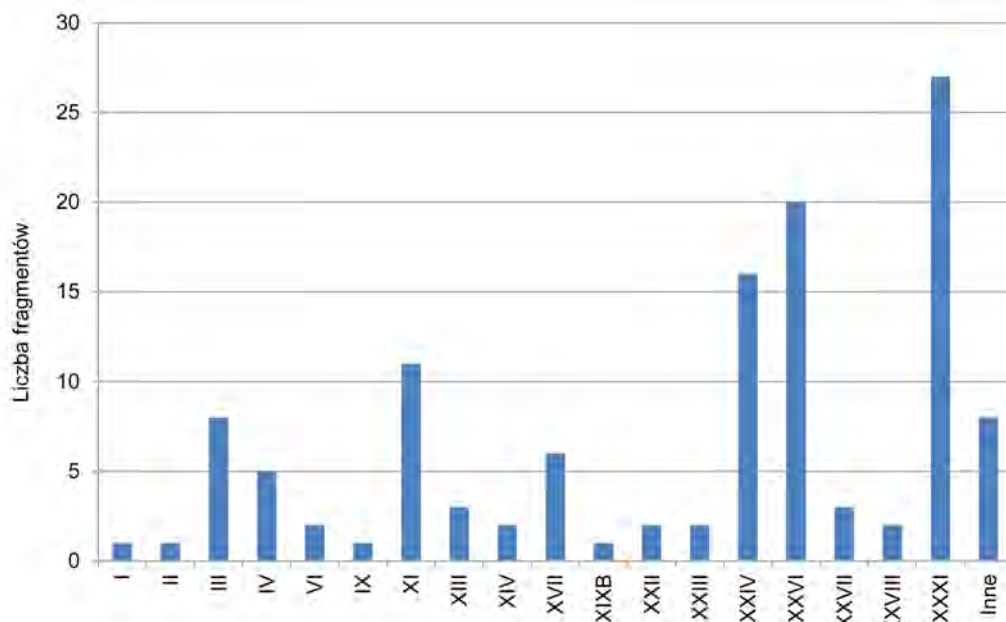
Cechuje je dekorowana żłobkami, pionowa lub lekko nachylona do wnętrza naczynia szyjka, wyraźnie wyodrębniona od brzuśca i wylewu, oraz wysoko położona największa średnica brzuśca. Ich brzegi sklasyfikowano jako typy XXA (1 fragm., tabl. VI.15: 1), XXVI (2 fragm., tabl. VI.15: 5; VI.17: 1) i XXXI (3 fragm., tabl. VI.14: 2; VI.17: 7). Wymiary tych wyrobów są mocno zróżnicowane – wyróżniają się dwa małe okazy o średnicach wylewów wynoszących 10 cm (tabl. VI.15: 5) i 13 cm, natomiast pozostałe mierzą 18–20 cm. Garnki RF-IVC charakteryzują się stożkowatymi szyjkami, wyodrębnionymi od wylewów i brzuśców, lecz mniej wyraźnie niż w przypadku egzemplarzy RF-IVB. Ich szyjki są najczęściej pokryte żłobkami, a największa średnica brzuśca położona wysoko. Większość z nich zaopatrzona jest w krawędzie typów XXVI (tabl. VI.19: 1; VI.21: 2; VI.22: 1), zaś pojedynczy ma brzeg typu XIIIIC-1 (tabl. VI.22: 3). Średnice wylewów tego wariantu naczyń mieszczą się w zakresie 18–26 cm. Opisane przykłady garnków RF-IVB i RF-IVC nie wyczerpują z pewnością całego zasobu tych form, gdyż wśród omawianych materiałów znajdują się liczne fragmenty o prostych, pokrytych żłobkami szyjkach, których jednak ze względu na niewielkie rozmiary nie udało się bliżej sklasyfikować (m.in. tabl. VI.5: 15; VI.7: 10; VI.15: 6; VI.17: 3; VI.18: 10; VI.23: 6).



**Ryc. VI.75.** Suraz, pow. białostocki, stan. 1. Udział liczbowy różnych typów wylewów garnków w zbiorze ceramiki z warstw i obiektów wczesnośredniowiecznych (z pominięciem materiałów o nieokreślonym kontekście stratygraficznym i pochodzących ze złoża wtórnego). Oprac. H. Olczak

W analizowanym zbiorze wyróżniono 24 główne typy ukształtowania wylewów garnków oraz grupę krawędzi uformowanych w sposób niestandardowy (tabl. VI.2; ryc. VI.75; VI.76). Wśród 295 sklasyfikowanych brzegów większość stanowią egzemplarze dwóch typów – XXXI (75 fragm., ok. 25%) i XXVI (68 fragm., ok. 23%). Najliczniejsze przykłady pierwszego z nich pochodzą z warstw 308 i 308/1 fazy IID–IIE (20 fragm., tabl. VI.14: 2–4; VI.15: 3; VI.16: 11–15) i warstwy 289 fazy III (15 fragm., tabl. VI.7: 7; VI.9: 1–3; VI.11: 17–21). W innych strukturach odnotowano po kilka ułamków garnków o takim ukształtowaniu wylewu (tabl. VI.5: 16; VI.12: 2, 3, 10, 12, 15–17; VI.19: 5; VI.23: 2; VI.24: 1). Dużą liczbę wyrobów o analogicznych krawędziach wyróżniono również wśród materiałów o nieokreślonym kontek-

ście stratygraficznym (14 fragm., tabl. VI.5: 13; VI.7: 2; VI.17: 7; VI.18: 1, 2) i rezydualnych (13 fragm., tabl. VI.5: 11; VI.6: 9, 12, 13). Brzegi drugiego z wymienionych typów (XXVI-1 i XXVI-2) odkryto głównie w warstwach 308 i 308/1 (16 fragm., tabl. VI.13: 15, 16; VI.15: 2, 5; VI.16: 1, 4, 5; VI.17: 1, 3). W mniejszej liczbie występowały one w warstwach 317 (faza IIA–IIC, 8 fragm., tabl. VI.18: 10; VI.19: 1, 4, 6, 8, 10), 289 (6 fragm., tabl. VI.7: 10; VI.11: 3–5, 7) i innych (tabl. VI.5: 15; VI.6: 1; VI.11: 22; VI.12: 1, 11, 13; VI.20: 4; VI.21: 2; VI.22: 1, 4; VI.23: 6, 10). Kilkanaście fragmentów o takich krawędziach znaleziono też na złożu wtórnym (tabl. VI.5: 12; VI.6: 11).



**Ryc. VI.76.** Suraż, pow. białostocki, stan. 1. Udział liczbowy różnych typów wylewów garnków wśród materiałów o nieokreślonym kontekście stratygraficznym i pochodzących ze złoża wtórnego. Oprac. H. Olczak

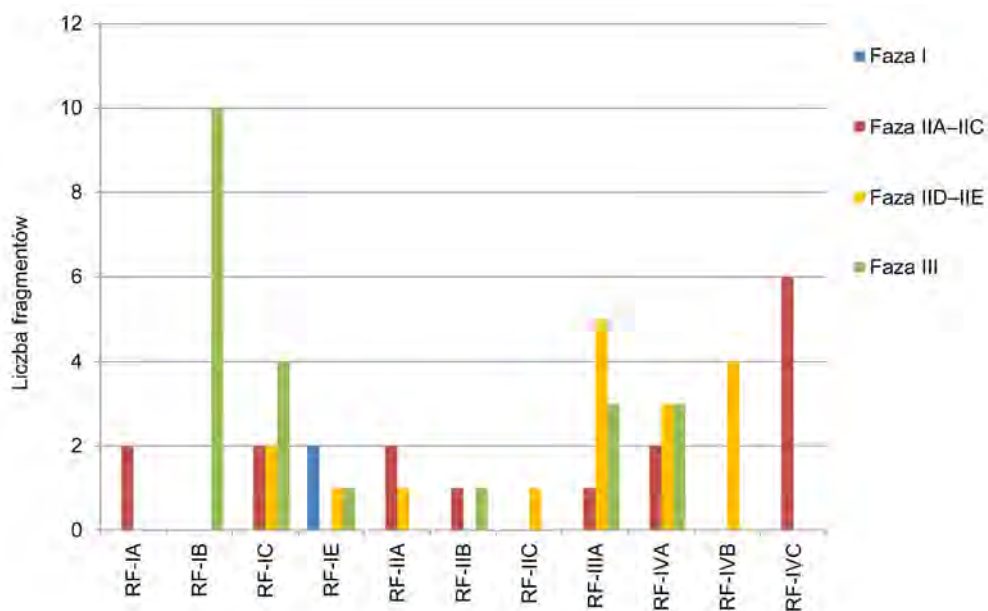
Kolejną pod względem liczebnym grupę tworzą wylewy typu XXIV, charakterystyczne dla omówionych wyżej naczyń z cylindryczną szyjką (20 fragm., tabl. VI.5: 6; VI.6: 7, 10; VI.12: 5; VI.17: 8; VI.18: 9). Po kilkanaście ułamków brzegów przyporządkowano do następujących typów: III (11 fragm., tabl. VI.4: 13; VI.6: 6; VI.23: 3), XI (14 fragm., tabl. VI.4: 8, 16, 17; VI.6: 15; VI.12: 8; VI.19: 9), XVII (11 fragm., tabl. VI.4: 1; VI.11: 9; VI.12: 9, 14), XVIII (13 fragm., tabl. VI.6: 4; VI.7: 3; VI.8: 1, 3; VI.10: 1, 3, 6; VI.11: 14–16; VI.16: 17) i XXVII (13 fragm., tabl. VI.6: 2; VI.11: 8; VI.12: 7; VI.15: 6; VI.16: 9; VI.19: 3; VI.23: 8). Po osiem ułamków krawędzi sklasyfikowano jako typy IV (tabl. VI.4: 2, 12; VI.5: 9; VI.11: 23; VI.20: 3; VI.23: 12), XIII (tabl. VI.4: 7; VI.18: 11; VI.19: 2, 12; VI.22: 3) i XXVIII (tabl. VI.11: 10, 12; VI.14: 1; VI.16: 7), a pięć jako typ XXIII (tabl. VI.4: 14; VI.13: 14; VI.23: 9). Pozostałe typy brzegów występują w analizowanym materiale w liczbie mniejszej niż pięć sztuk: I (tabl. VI.5: 8; VI.8: 2; VI.11: 13), II (tabl. VI.24: 2), V (tabl. VI.23: 13), VI (tabl. VI.5: 7; VI.6: 5), VII (tabl. VI.23: 5), VIII (tabl. VI.23: 14), IX, XIV (tabl. VI.4: 6), XIXB (tabl. VI.4: 5; VI.8: 4; VI.11: 11), XXA (tabl. VI.15: 1), XXII (tabl. VI.4: 11) i XXV (tabl. VI.23: 11). Z kolei 21 fragmentów wylewów to formy jednostkowe, ukształtowane w niestandardowy sposób (tabl. VI.2; VI.4: 15; VI.5: 10; VI.7: 1; VI.9: 7; VI.10: 5; VI.13: 13, 17; VI.15: 7; VI.16: 6, 8, 10; VI.17: 4; VI.18: 8; VI.19: 7; VI.22: 2). Z powodu odkrycia dużej liczby brzegów typów III, XI, XVII i XXIV na złożu

wtórny można przypuszczać, że przynajmniej niektóre z nich dostały się na teren grodu w późniejszym okresie, wraz z piaskiem służącym do budowy późnośredniowiecznych wałów, przyniesionym prawdopodobnie z terenu osady przyrodowej.

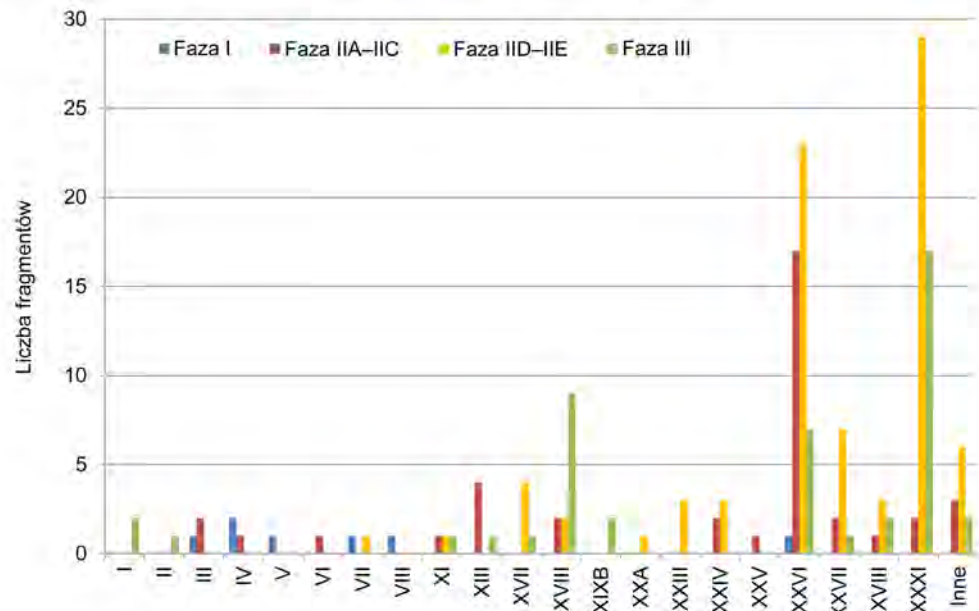
Większość garnków charakteryzuje się wklęsłymi dnami – 106 fragmentów spośród 112 sklasyfikowanych (typ II). Wydzielono trzykrotnie więcej okazów z pierścieniem dookolnym (typ IIB – 78 fragm., tabl. VI.7: 6; VI.11: 1; VI.12: 4; VI.13: 6, 8, 9; VI.16: 2, 3, 16; VI.17: 6; VI.18: 7; VI.19: 11; VI.20: 1, 2) niż bez pierścienia (typ IIA – 28 fragm., tabl. VI.7: 8, 9; VI.15: 4; VI.17: 2; VI.18: 3). Rozróżnienie to nie jest jednak do końca wiarygodne, gdyż w przypadku niektórych egzemplarzy zauważono ślady zagładzania pierścienia, a niekiedy nawet jego całkowitego zrównania z powierzchnią dna. Dna płaskie należą do wyjątków (6 fragm.), przy czym w równej liczbie występują okazy bez (typ IA, tabl. VI.13: 10) i z pierścieniem dookolnym (typ IB, tabl. VI.9: 4; VI.10: 7).

Garnki poszczególnych faz osadniczych wyraźnie różnią się od siebie pod względem form (ryc. VI.77) i ukształtowania brzegów (ryc. VI.78). W zbiorze pochodzącym z najstarszego okresu funkcjonowania grodu (faza I) znajdują się dwa naczynia RF-IE, o wylewach typów IVA (tabl. VI.11: 23) i VIIA (tabl. VI.23: 5), oraz pojedyncze krawędzie typów III (tabl. VI.23: 3), IV (tabl. VI.23: 12), V (tabl. VI.23: 13) i VIII (tabl. VI.23: 14). Współczesne im są najprawdopodobniej również kolejne ułamki brzegów typów III, IV, VI, VII i IX, wyróżnione wśród materiałów o nieokreślonym kontekście stratygraficznym lub odkryte w warstwach z młodszych okresów, jednak ich związek z użytkowaniem grodu nie jest pewny. Pojedynczy wylew typu XXVI ze stropu warstwy 343 należy traktować jako domieszkę materiału z młodszych struktur. W fazie IIA–IIC nastąpiła wyraźna zmiana w stylistyce naczyń. Nadal produkowane były garnki esowate RF-I (po 2 fragm. wariantów RF-IA – tabl. VI.21: 1 oraz RF-IC – tabl. VI.5: 16; VI.19: 7), lecz pojawiły się też nowe formy, z szyjką wyraźnie oddzieloną od brzuśca. W nawarstwieniach tej fazy najliczniejszą grupę tworzyły okazy o stożkowej szyjce (RF-IVC – 6 fragm., tabl. VI.19: 1; VI.21: 2; VI.22: 1, 3), zaś naczynia z cylindryczną szyjką występowały rzadziej (RF-IVA – 2 fragm., tabl. VI.6: 7; VI.18: 9). Trzy egzemplarze reprezentują wyroby bez szyjek, tzw. dwustożkowe (RF-IIA i RF-IIB, tabl. VI.19: 10; VI.20: 3; VI.22: 2), przy czym jeden z nich pod względem kształtu wylewu (typ IVA przechodzący w I, tabl. VI.20: 3) nawiązuje do stylistyki garnków z wcześniejszego okresu. Tylko jeden fragment, o łukowatej, lekko wyodrębnionej od brzuśca szyjce, można zaliczyć do okazów RF-IIIA (tabl. VI.18: 8). Największa liczba naczyń tej fazy charakteryzuje się brzegami typu XXVI (tabl. VI.5: 15; VI.6: 1; VI.18: 10; VI.19: 1, 4, 6, 8, 10; VI.20: 4; VI.21: 2; VI.22: 1, 4; VI.23: 6). Poza tym stwierdzono przykłady wylewów typów XI (tabl. VI.19: 9), XIII (tabl. VI.18: 11; VI.19: 2, 12; VI.22: 3), XXIV (tabl. VI.6: 7; 18: 9), XXV (tabl. VI.23: 11), XXVII (tabl. VI.6: 2; VI.19: 3), XXVIII, XXXI (tabl. VI.5: 16; VI.19: 5) i ukształtowanych w niestandardowy sposób (tabl. VI.18: 8; VI.19: 7; VI.22: 2). W fazie IID–IIE nadal rozpowszechnione były naczynia o prostych, wyraźnie wyodrębnionych od brzuśca szyjkach (RF-IV). Wyróżniono wśród nich przykłady wyrobów RF-IVA (3 fragm., tabl. VI.12: 5) i RF-IVB (4 fragm., tabl. VI.14: 2; VI.15: 1, 5; VI.17: 1), nie stwierdzono natomiast wyraźnych przykładów popularnych we wcześniejszym okresie egzemplarzy RF-IVC. Wydzielono też kilka naczyń RF-IIIA (5 fragm., tabl. VI.12: 3; VI.14: 4; VI.16: 1), w fazie IIA–IIC występujących marginalnie. Nieliczne fragmenty sklasyfikowano jako garnki RF-IE (tabl. VI.14: 1), RF-IC (tabl. VI.14: 3; VI.15: 3) i RF-II (tabl.

VI.13: 2; VI.16: 17). Pod względem ukształtowania wylewów dominowały dwie grupy – będące kontynuacją z poprzedniego okresu brzegi typu XXVI (23 fragm., tabl. VI.15: 5; VI.16: 1; VI.17: 1, 3) oraz wiodące w tej fazie, zaś wcześniej pojawiające się jedynie sporadycznie krawędzie typu XXXI (29 fragm., tabl. VI.12: 3, 15–17; VI.13: 7; VI.14: 2–4; VI.15: 3). Na oba typy przypada ok. 63% spośród wszystkich sklasyfikowanych wylewów pochodzących ze struktur omawianej fazy. Dość liczne były również naczynia o wylewach typu XXVII (7 fragm., tabl. VI.12: 7; VI.15: 6; VI.16: 9). Rzadziej występowały brzegi typów XI (tabl. VI.12: 8), XVII (tabl. VI.12: 9, 14), XVIII (tabl. VI.16: 17), XXA (tabl. VI.15: 1), XXIII (tabl. VI.13: 14; VI.23: 9), XXIV (tabl. VI.12: 5), XXVIII (tabl. VI.14: 1; VI.16: 7) oraz ukształtowane w niestandardowy sposób (6 fragm., tabl. VI.15: 7; VI.17: 4). W fazie III formy naczyń stają się mniej zróżnicowane. Najpopularniejsze w tym okresie były naczynia esowate (15 fragm. spośród 22 sklasyfikowanych), przy czym pojawił się ich nowy, dominujący wariant – RF-IB (10 fragm., tabl. VI.8: 1–4; VI.10: 1, 3; VI.11: 2). Odnotowano też pojedyncze garnki RF-IE (tabl. VI.24: 2) i będące kontynuacją produkcji z poprzedniego okresu egzemplarze RF-IC (tabl. VI.7: 7; VI.9: 2, 3). Nadal też wytwarzane były naczynia RF-III A (3 fragm., tabl. VI.9: 1; VI.24: 1) i RF-IV A (3 fragm., tabl. VI.9: 6), nie stwierdzono natomiast egzemplarzy RF-IV B i RF-IV C. Istotne zmiany zaszły w tej fazie również pod względem ukształtowania wylewów garnków. Popularne stały się krawędzie typu XVIII (9 fragm., tabl. VI.8: 1–3; VI.10: 1, 3, 6; VI.11: 14–16), charakterystyczne zwłaszcza dla wyrobów RF-IB. Poza tym nadal używane były naczynia z brzegami typu XXXI (17 fragm., tabl. VI.7: 7; VI.9: 1–3; VI.11: 17–21; VI.24: 1), a znacznie rzadziej typu XXVI (7 fragm., tabl. VI.7: 10; VI.11: 3–5, 7). W okresie tym nastąpił też powrót do prostych form ukształtowania krawędzi, nawiązujących do wylewów ze starszej lub z początku młodszej fazy wczesnego średniowiecza – typy I (tabl. VI.8: 2; VI.11: 13) i II (tabl. VI.24: 2). Były one charakterystyczne dla garnków o niestarannym wykonaniu, tzw. archaizujących. Naczynia o wylewach uformowanych w inny sposób w nawarstwieńcach fazy III odnotowano w liczbie nie większej niż dwie sztuki: XI, XIII, XVII (tabl. VI.11: 9), XIX B (tabl. VI.8: 4), XXVII (tabl. VI.11: 8) i XXVIII (tabl. VI.11: 10, 12).



Ryc. VI.77. Suraz, pow. białostocki, stan. 1. Udział liczbowy garnków różnych rodzin form w nawarstwieńcach poszczególnych faz osadniczych. Oprac. H. Olczak



Ryc. VI.78. Suraż, pow. białostocki, stan. 1. Udział liczbowy różnych typów wylewów garnków w nawarstwieńiach poszczególnych faz osadniczych. Oprac. H. Olczak

Nie zauważono natomiast istotnych różnic w kształcie den naczyń z poszczególnych etapów użytkowania grodu. Jedynie w fazie III pojawiła się niewielka liczba egzemplarzy płaskich, które w poprzednich okresach występowały marginalnie. Były to zarówno dna bez, jak i z pierścieniem dookolnym (tabl. VI.6: 8; VI.9: 4; VI.10: 7; VI.24: 5). Ponadto stwierdzono kilka fragmentów den bardzo nieznacznie podniesionych (tabl. VI.7: 6). Wskazuje to, że w fazie III nakładka na tarczę koła stosowana była nieco rzadziej niż wcześniej.

Ze względu na brak wśród analizowanych materiałów egzemplarzy zachowanych w całości o rozmiarach i proporcjach garnków można wnioskować tylko na podstawie średnic ich wylewów i den. Wymiary 58 najlepiej zachowanych fragmentów brzegów umożliwiły wydzielenie następujących grup wielkościowych naczyń: 1) bardzo małe – średnica wylewu do 11 cm włącznie; 2) małe – średnica wylewu ok. 12–14 cm; 3) średniej wielkości – średnica wylewu ok. 15–20 cm; 4) duże – średnica wylewu ok. 21–26 cm; 5) bardzo duże – średnica wylewu powyżej 26 cm. W zbiorze widoczna jest wyraźna przewaga garnków średnich rozmiarów, o krawędziach mierzących od 16 do 20 cm, na które przypada ok. 66% sklasyfikowanego materiału (tabl. VI.8: 1–4; VI.9: 1–3; VI.10: 1, 3; VI.12: 3; VI.14: 1–3; VI.15: 1, 3; VI.16: 1, 17; VI.17: 1; VI.18: 8; VI.19: 1; VI.21: 2; VI.22: 2–4; VI.24: 1). Najliczniejsze wśród nich są naczynia o średnicy ok. 18 cm (11 fragm.) i ok. 17 cm (10 fragm.). Mniejszą grupę (15 fragm., ok. 26%) tworzą wyroby dużych rozmiarów, których średnica wylewu mieści się w zakresie 21–26 cm (tabl. VI.7: 10; VI.14: 4; VI.15: 2; VI.19: 8, 10; VI.22: 1). Natomiast jako garnki bardzo duże sklasyfikowano trzy egzemplarze o średnicy ok. 28–30 cm oraz kolejne trzy, których wymiary określono w przybliżeniu na ok. 27–29 cm, ok. 28–32 cm i ok. 35–40 cm (tabl. VI.15: 6, 7). Naczynia bardzo małe reprezentowane są przez jeden wyrób o średnicy brzegu ok. 10 cm (tabl. VI.15: 5), a małe przez dwa okazy, o średnicy 11,5 cm (tabl. VI.20: 3) i 13 cm.

W przypadku tych nielicznych garnków, dla których udało się określić maksymalną średnicę brzośca, jest ona na ogół większa niż średnica krawędzi, co pozwala sklasyfikować te

okazy jako formy zamknięte (por. Buko 1990, 264). Najbardziej wydętymi brzuściami charakteryzują się wyroby RF-IB (m.in. tabl. VI.8: 1–3). Najlepiej zachowane naczynia RF-IC, RF-IE, RF-IIA i RF-IIIA to zwykle także formy zamknięte, jednak o bardziej wyrównanych proporcjach między średnicami brzuśców i wylewów. Pojedyncze garnki RF-IC (tabl. VI.19: 7) i RF-IE (tabl. VI.11: 23), o średnicach brzuśców równych lub mniejszych niż średnice brzegów, można zaliczyć do form szerokootworowych, tzw. otwartych.

Średnice den garnków mieszczą się w zakresie 7–12 cm. Zdecydowana większość spośród 41 fragmentów diagnostycznych mierzy ok. 8 cm (17 fragm., tabl. VI.4: 4, 9; VI.5: 1; VI.6: 8; VI.7: 9; VI.9: 4; VI.10: 4, 7; VI.16: 16; VI.18: 3), ok. 8,5 cm (tabl. VI.20: 1) lub ok. 9 cm (15 fragm., tabl. VI.7: 6; VI.11: 1; VI.13: 6, 8, 9; VI.15: 4; VI.17: 2; VI.19: 11; VI.24: 5). Dwa dna o średnicy ok. 7 cm (tabl. VI.16: 3) pochodzą zapewne z naczyń małych lub bardzo małych. Nieliczne są również egzemplarze o większych średnicach: ok. 10 cm (4 fragm., tabl. VI.7: 8; VI.13: 10), ok. 11 cm (2 fragm., tabl. VI.16: 2) i ok. 12 cm (1 fragm.). Wynika z tego, że wymiary den garnków były w większym stopniu wartością stałą niż średnice wylewów.

Najbardziej zróżnicowanymi rozmiarami pod względem średnic wylewów (od 10 do 29 cm) odznaczały się wyroby fazy IID–IIE. Średnica większości z nich mieściła się jednak w zakresie 17–20 cm, przy czym dominowały egzemplarze o ostatnim wymiarze. Wśród materiałów tej fazy wyraźna była również grupa naczyń dużych i bardzo dużych (5 fragm.). Także garnki fazy IIA–IIC charakteryzowały się znaczną rozpiętością średnic wylewów (od 12 do 26 cm), przy przewadze okazów średnich rozmiarów. Naczynia fazy III były mniej zróżnicowane pod tym względem i najczęściej mniejsze – średnice ich brzegów mierzyły na ogół 16–19 cm, a tylko w jednym przypadku 25 cm. Średnice wylewów nielicznych egzemplarzy diagnostycznych z najstarszego okresu użytkowania grodu (faza I) wynosiły ok. 19 cm, ok. 25 cm i ok. 30 cm. Podczas gdy w fazach IIA–IIC i IID–IIE zdecydowanie przeważały dna o średnicy ok. 9 cm, to w fazie III najwięcej było okazów mierzących ok. 8 cm. Na podstawie pomiarów charakterystycznych części garnków można zatem przyjąć, że pod koniec wczesnego średniowiecza nastąpiło nieznaczne zmniejszenie się ich pojemności.

### **Inne naczynia**

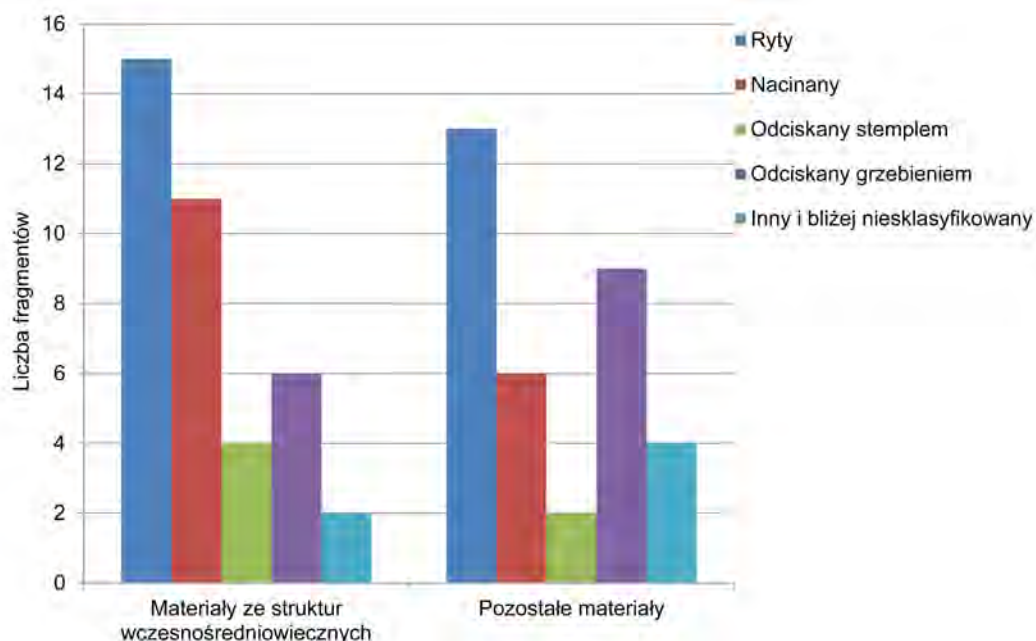
Oprócz garnków w analizowanym zbiorze wyróżniono bardzo nieliczne przykłady wyrobów glinianych o innej formie i funkcji. Cztery z nich to fragmenty dolnych części naczyń o mocno wyodrębnionym dnie, zwanych pucharkami na pustej lub pełnej nóżce (Buko 1990, 281 n.). Najlepiej zachowany egzemplarz tego typu to wklęsłe dno o średnicy 8 cm, pochodzące z nieokreślonego kontekstu stratygraficznego (tabl. VI.24: 3). Na jego zewnętrznej powierzchni, w środkowej części, widoczny jest odcisk osi koła garncarskiego, o średnicy 1,3 cm i głębokości 0,2 cm. Ułamek podobnego dna, o średnicy ok. 9 cm, odkryto w późnośredniowiecznym obiekcie 206 (tabl. VI.5: 14), zaś inny niewielki fragment – w warstwie 331 (tabl. VI.23: 1). Natomiast z warstwy 255 pozyskano podniesione dno mniej starannie wykonanego pucharka, o średnicy ok. 9 cm (tabl. VI.7: 4). Z górnych części pucharków lub misek pochodzą zapewne także dwa kolejne ułamki – ornamentowany żłobkami egzemplarz z warstwy 289, zaopatrzony w wylew typu XXXVIB-1 o średnicy ok. 23–25 cm (tabl. VI.10: 2), oraz zdobiony pojedynczym żłobkiem fragment brzuśca z warstwy 308

lub 317 (tabl. VI.18: 5). Ponadto znaleziono kilka drobnych ułamków brzegów, które mogą być częściami pokrywek (tabl. VI.9: 5; VI.13: 1, 4, 12). Średnicę dwóch z nich określono na ok. 16 cm i ok. 17 cm.

#### VI.2.5.2.3. Ornamentyka

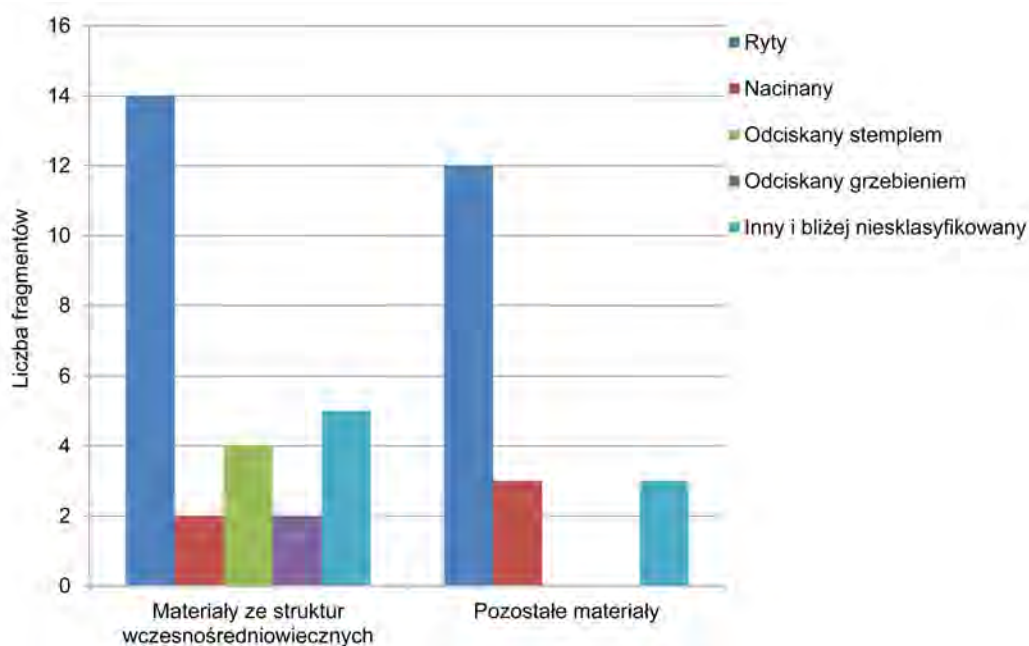
Powszechną cechą naczyń wczesnośredniowiecznych było pokrywanie większości ich powierzchni ornamentem. Reguła ta odnosi się również do omawianego zbioru. Wśród 2073 fragmentów diagnostycznych pochodzących z warstw użytkowych i wypełnisk obiektów, które poddano szczegółowej analizie pod tym względem, okazy zdobione stanowią ok. 74%.

Typowe naczynie pokryte było dekoracją jednowątkową w postaci żłobków dookolnych. Taki rodzaj ornamentu stwierdzono na 1477 przeanalizowanych ułamkach ceramiki, co stanowi aż ok. 97% ogółu zdobionych. Znacząca dominacja w zbiorze żłobków ciągłych (R1) nad dekoracją strefową (R2), a także nierówne odległości między nimi sugerują, że do zdobienia wyrobów używano głównie rylca, a tylko sporadycznie narzędzia wielozębne, tzw. grzebienia. W przeważającej liczbie przypadków ornament ma charakter regularny i symetryczny, można zatem wnioskować, że wykonywany był przy szybkich obrotach koła. Nietypową formą żłobków są bardzo głębokie rowki, tzw. plastyczne bruzdy, zwane niekiedy kanelurami (P11). Stwierdzono je tylko na ośmiu fragmentach naczyń. Najczęściej pełniły one rolę wątku głównego w motywach wielowątkowych, zastępując żłobki, rzadziej występowały obok nich, a tylko w jednym przypadku jako samodzielna zdobina.



Ryc. VI.79. Suraż, pow. białostocki, stan. 1. Udział liczbowy ornamentów występujących ze żłobkami dookolnymi w motywach dwuwątkowych w zbiorze z wczesnośredniowiecznych warstw i obiektów oraz wśród pozostałych materiałów (o nieokreślonym kontekście stratygraficznym i pochodzących ze złoza wtórnego). Oprac. H. Olczak





**Ryc. VI.80.** Suraż, pow. białostocki, stan. 1. Udział liczbowy ornamentów występujących na fragmentach niesklasyfikowanych (bez żłobków dookólnych) w zbiorze z wczesnośredniowiecznych warstw i obiektów oraz wśród pozostałych materiałów (o nieokreślonym kontekście stratygraficznym i pochodzących ze złoża wtórnego). Oprac. H. Olczak

Tylko ok. 3% przeanalizowanych fragmentów naczyń ornamentowanych było w bardziej urozmaicony sposób. Na 43 ułamkach pochodzących z wczesnośredniowiecznych obiektów i warstw użytkowych oraz na kolejnych 34 z innych struktur odnotowano dekorację składającą się z dwóch lub trzech wątków (ryc. VI.79). Ponadto na 27, zazwyczaj drobnych fragmentach ceramiki z obiektów i warstw użytkowych oraz na 18 z pozostałych nawarstwień zdobiny inne niż żłobki występowały samodzielnie (ryc. VI.80). Ostatnie okazy, ze względu na niewielkie rozmiary, są trudne do klasyfikacji, można jednak przypuszczać, że zdecydowana większość z nich również pochodzi z wyrobów ornamentowanych złożonymi motywami. Inne niż żłobki wzory ryte nanoszono zarówno końcówką ryłca, jak i grzebieniem. Przy pomocy pierwszego z wymienionych narzędzi wykonywano na ogół zdobiny o kształcie dookolnej pojedynczej linii falistej (R3 – 27 fragm., tabl. VI.8: 3; VI.11: 2; VI.19: 7; VI.23: 13), znacznie rzadziej dwóch nachodzących na siebie linii (R11, 1 fragm.) i poziomego rzędu ukośnych zagłębień lub kresek (R12, 1 fragm.). Natomiast wielokrotna linia falista (R4) ryta była grzebieniem. Stwierdzono ją na 24 fragmentach ceramiki, zwykle w zestawieniu ze żłobkami (tabl. VI.4: 2; VI.7: 5; VI.8: 2; VI.23: 5). Grzebieniem nanoszono też wzory odciskane, odnotowane na 19 ułamkach naczyń, głównie w układach wielowątkowych. Najczęściej miały one postać horyzontalnego pasma ukośnych kresek (O3a – 10 fragm., tabl. VI.24: 4), rzadziej dwóch rzędów o kształcie jodełki (O3b – 5 fragm., tabl. VI.6: 16; VI.13: 3, 11), odcisków tworzących czworokąt (O3d – 1 fragm., tabl. VI.4: 10) oraz ornamentu częściowo nakłuwanego, a częściowo rytego (O3c – 1 fragm., tabl. VI.9: 6). Na jednym z ułamków występuje być może zdobina typu O3e (tabl. VI.5: 16), zaś pozostałe motywy naniesione grzebieniem nie zostały sklasyfikowane. Inne wzory odciskane należały do rzadkich. Na jednym lub dwóch fragmentach naczyń odnotowano układające się w poziomy rząd odciski o owalnym kształcie (O1b, tabl.

VI.3: 2), nakłute zapewne końcówką jakiegoś narzędzia, na przykład rylca. Również na jednym ułamku wyróżniono ornament mający prawdopodobnie postać kółeczek wykonanych niewielką tulejką (O1d, tabl. VI.3: 2). Odciski stempla wielodzielnego stwierdzono na ośmiu fragmentach ceramiki. We wszystkich przypadkach była to zdobina typu O2a, zaś podobne cechy technologiczne ułamków pozwalają przypuszczać, że mogą one pochodzić z tego samego naczynia (tabl. VI.11: 23). Zupełnie inny rodzaj ornamentu odciskanego reprezentują wzory składające się z niewielkich zagłębień o kształcie czworokątnym (O4b – 6 fragm., tabl. VI.12: 6; VI.22: 4; VI.23: 7, 11), rzadziej zbliżonym do trójkątnego (O4c – 1 fragm., tabl. VI.4: 3). Układają się one w regularne horyzontalne pasma, wykonane z pewnością przy pomocy radełka. Na 25 ułamkach naczyń stwierdzono obecność ornamentu nacinanego ostrym narzędziem, na przykład nożykiem. Zwykle miał on formę pasma ukośnych nacięć, niekiedy kilkukrotnie powtórnego (N1 – 19 fragm., tabl. VI.5: 6; VI.15: 1, 5; VI.17: 5; VI.18: 4), rzadziej przybierał kształt jodełki (N2 – 3 fragm., tabl. VI.23: 4) lub wzoru o nieregularnym kształcie (N3, 1 fragm.). Tylko jeden garnek zdobiony był prawdopodobnie nalepioną na ściankę brzuśca poziomą listwą plastyczną (Pl2), natomiast kilka przykładów naczyń z listwami pochodzi z badań przeprowadzonych w 1936 r. (por. rozdz. V, tabl. V.2: 4; V.3: 4).

Wśród motywów złożonych przeważały dwuwątkowe, przy czym wątkiem dominującym były prawie zawsze żłobki dookólne (tabl. VI.8: 2; VI.15: 1, 5; VI.22: 4). W kilku przypadkach, gdy zamiast nich występowały plastyczne bruzdy Pl1, odnotowano ich zestawienia z ornamentem nacinanym N1 (1 fragm., tabl. VI.18: 4) i być może N3, a także odciskanym – O3b (2 fragm., tabl. VI.6: 16) i prawdopodobnie O1d i O3a. Jeden ułamek ceramiki zdobiony był plastyczną listwą i wielokrotną linią falistą (Pl2+R4). Bardzo nieliczne naczynia (5 fragm.) dekorowane były trzema wątkami, przy czym wyróżniono następujące zestawy ornamentów: R1+R3+N1 (tabl. VI.19: 7), R1+R4+O3a/b (tabl. VI.13: 5), R1+R3+N1/N2, R1+Pl1+O3b (tabl. VI.13: 11) i R1+R3+N2 (?).

Zauważalna jest pewna zależność między miejscem występowania ornamentacji żłobkowej a formą naczynia. Garnki RF-IB, RF-IC, RF-IE i RF-IIIA cechował podobny styl dekoracji. W ich przypadku najwyżej położone żłobki znajdowały się na ogół w górnej części brzuśca, rzadziej w miejscu jego łączenia z szyjką lub na szyjce, na której ryte były głównie pojedyncze i płytkie pasma (tabl. VI.9: 2, 3; VI.10: 1, 3; VI.12: 3; VI.14: 3, 4; VI.15: 3; VI.16: 1; VI.18: 2, 8; VI.24: 1). Nietypowy był garnek RF-IC z warstwy 317, którego cała szyjka pokryta była żłobkami (tabl. VI.19: 7), oraz egzemplarz z warstwy 289, także o zdobionej szyjce (tabl. VI.7: 7). W wyjątkowych przypadkach, gdy oprócz żłobków na naczyniu umieszczano również inne typy zdobin, te pierwsze rozpoczynały się jeszcze niżej – w miejscu największej średnicy lub nawet w dolnej części brzuśca (tabl. VI.8: 2, 3). Wyroby RF-IVB i RF-IVC wyróżniały się nieco innym stylem dekoracji. Ich szyjki z reguły na całej wysokości pokryte były ciągłymi, gęsto rytymi żłobkami (tabl. VI.14: 2; VI.15: 1, 5; VI.17: 1; VI.21: 2; VI.22: 1). Wyjątek stanowił garnek z warstwy 344, którego górna część nie była zdobiona (tabl. VI.22: 3). W przypadku większości naczyń z cylindryczną szyjką (RF-IVA) ornament występował tylko na brzuścu (tabl. VI.18: 9; VI.24: 4), zaś egzemplarze o zdobionych szyjkach należały do mniejszości (tabl. VI.5: 6; VI.17: 8). Nie zaobserwowano natomiast prawidłowości w rozmieszczeniu żłobków na reprezentowanych nielicznie w omawianym zbiorze garnkach RF-IA i RF-II. Nietypowy pod tym względem był okaz z warstwy 346, którego kształt nawiązywał do naczyń RF-IIIA,

a dekoracja do wyrobów RF-IV (tabl. VI.22: 4). Inne wzory umieszczane były zwykle w górnej części brzuśca, znacznie rzadziej w miejscu łączenia szyjki z brzuścem, na załomie brzuśca, a wyjątkowo na szyjce. Najczęściej wypełniano nimi pustą strefę pomiędzy pasmami żłobków (tabl. VI.4: 10; VI.5: 6; VI.22: 4), rzadziej nanoszono je na żłobki (tabl. VI.15: 1; VI.19: 7) lub powyżej nich (tabl. VI.11: 23; VI.23: 5, 13). Tylko w wyjątkowych przypadkach żłobki przykrywały nałożony wcześniej inny rodzaj ornamentu (tabl. VI.6: 16). Na podstawie nielicznych fragmentów diagnostycznych można przypuszczać, że linią falistą częściej niż garnki o innej formie dekorowano naczynia RF-I, z reguły ich górne partie (tabl. VI.4: 2; VI.8: 2, 3; VI.23: 5, 13). Natomiast wzory odciskane grzebieniem i nacinane umieszczano zwykle w miejscu przejścia szyjki w brzusiec, rzadziej nieco niżej. Ornamenty tego typu często łączono z wyrobami RF-IV (tabl. VI.5: 6; VI.15: 1, 5; VI.24: 4; por. rozdz. V, tabl. V.2: 1–3).

Między ceramiką poszczególnych faz osadniczych widoczne są pewne różnice w sposobie ornamentacji. Największy udział fragmentów zdobionych odnotowano wśród materiałów fazy IIA–IIC – ok. 82%. W późniejszych okresach odsetek ułamków dekorowanych zmniejsza się – w fazie IID–IIE wynosi ok. 75%, zaś w fazie III tylko ok. 66%, co zapewne wynika z pokrywania ornamentem mniejszej powierzchni naczyń. W fazie IID–IIE zasadnicza zmiana zachodzi w sposobie traktowania szyjek garnków, które w tym okresie często są niezdobione. Natomiast w fazie III obok naczyń dekorowanych według dawnego stylu pojawiają się również nieliczne egzemplarze ornamentowane bardzo oszczędnie, niekiedy tylko kilkoma niestarannie rytymi żłobkami (tabl. VI.24: 2), a także wyroby niezdobione (tabl. VI.8: 1). W okresie tym następuje też nieznaczny wzrost udziału garnków o złożonej dekoracji, do ok. 4%, podczas gdy dla materiałów faz IIA–IIC i IID–IIE wynosi on ok. 2%. Różnice uchwytne są również w przypadku rodzajów najchętniej stosowanych zdobin. W fazach I i III najbardziej popularne były linie faliste, natomiast w pozostałych częściej stosowano nacinane kreski i wzory odciskane radełkiem.

Nietypową formą wykańczania powierzchni naczyń, która pojawiła się dopiero w fazie III, było pokrywanie ich pobiałą. Jej pozostałości stwierdzono na 20 fragmentach ceramiki omawianej grupy technologicznej, pochodzących głównie z warstwy 289. Kolejne dwa garnki odkryto w trakcie badań przedwojennych (por. rozdz. V, tabl. V.6: 1, 2). W siedmiu przypadkach ślady pobiałej odnotowano na zewnętrznej, w trzech na wewnętrznej, a w pozostałych na obu powierzchniach wyrobu. Jej stosowanie było niezależne od zdobienia naczyń w inny sposób, na przykład żłobkami i linią falistą. Analizy składu chemicznego pobiałej z powierzchni dwóch naczyń, w tym jednego wykonanego techniką ugniatania wałeczkowego (nr CL18419) i jednego prawdopodobnie taśmowo-ślizgową (nr CL18439), wykazały dużą zawartość tlenu wapnia, wynoszącą odpowiednio 34,14% wag. i 36,85% wag. (por. aneks 4, tab. 1).

#### VI.2.5.3. Naczynia wykonane prawdopodobnie techniką taśmowo-ślizgową (GT-III)

Jako części wyrobów wykonanych prawdopodobnie techniką taśmowo-ślizgową sklasyfikowano 23 brzuśce i dwa wylewy. Większość z nich pochodzi z wykopu 4 – z warstwy 289 (7 fragm.) oraz ze struktur późnośredniowiecznych (17 fragm.) i o nieokreślonym kontekście

stratygraficznym (2 fragm.). Ponadto dwa ułamki naczyń tej grupy technologicznej pozyskano z wykopu 3 (w. 32=34 i w. 35/1–35/4).

Okaz z warstwy 35/1–35/4 to wylew typu XXIIIB o średnicy 15 cm, zdobiony żłobkami dookolnymi (tabl. VI.5: 5). Natomiast w warstwie 289 znaleziono część garnka RF-IB, o krawędzi typu XVIII (tabl. VI.10: 6). Inne ułamki to mało charakterystyczne brzuśce, na ogół ornamentowane żłobkami (R1). Na trzech fragmentach z warstwy 289 odnotowano ślady pobiałej.

#### VI.2.6. Ceramika z przełomu wczesnego i późnego średniowiecza

Niewielką grupę (283 fragm.) tworzą mało charakterystyczne ułamki ceramiki, których chronologię można określić ogólnie na okres średniowiecza. W wykopie 1 znaleziono 44 fragmenty naczyń wykonanych najprawdopodobniej techniką ugniatania wałeczkowego i całkowicie obtaczanych (GT-II), w tym dwa wylewy i pięć den. Jeden z brzegów, określony jako typ XXIV-1, pochodzić może z naczynia z cylindryczną szyjką (RF-IVA), drugi nie został sklasyfikowany. Dwa dna, w tym jedno o średnicy ok. 11–12 cm, to okazy płaskie bez pierścienia dookolnego (typ IA). Na powierzchni obu egzemplarzy zachowały się pozostałości podsypki piasku. Z wykopu 2 pozyskano pięć fragmentów ceramiki o bliżej nieokreślonej chronologii (3 wylewy i 2 brzuśce). Trzy z nich stanowią zapewne części naczyń wykonanych techniką ugniatania wałeczkowego i całkowicie obtaczanych (GT-II), a dwa być może taśmowo-ślizgową (GT-III). Jeden z wylewów pierwszej grupy to okaz niestandardowy, pochodzący ze zdobionego żłobkami garnka RF-IA (tabl. VI.5: 2), inny określono jako typ XVIIA (tabl. VI.5: 4). Natomiast do GT-III zakwalifikowano wylew zbliżony do typu VIIB (tabl. VI.5: 3) oraz zdobiony głębokimi żłobkami lub plastycznymi bruzdami (R1/P11) fragment brzuśca. W wykopie 3 znaleziono 41 fragmentów brzuśców, na ogół drobnych, pochodzących przypuszczalnie z naczyń GT-II, czasami zdobionych żłobkami. Najliczniejsze materiały datowane ogólnie na okres średniowiecza odkryto w wykopie 4. Obejmują one 193 ułamki naczyń, w tym po dwa wylewy i dna, w większości należące prawdopodobnie do wyrobów wykonanych techniką ugniatania wałeczkowego. Pozyskano je głównie z warstw i obiektów późnośredniowiecznych oraz ze struktur o nieokreślonym kontekście stratygraficznym. Jest to zbiór bardzo mocno rozdrobniony, trudny do bliższej klasyfikacji. Fragmenty brzuśców są niekiedy dekorowane żłobkami.

#### VI.2.7. Analogie i powiązania kulturowe ceramiki naczyniowej

Omawiany zbiór obejmuje materiały datowane na okres od X w. do przełomu XIII i XIV w. Są to w zdecydowanej większości naczynia wykonane techniką ugniatania wałeczkowego i całkowicie obtaczane (GT-II). Pojedyncze ułamki wyrobów częściowo obtaczanych (GT-I) odkryte zostały na ogół na złożu wtórnym i zapewne nie mają związku z użytkowaniem grodu. Natomiast równie nieliczne fragmenty naczyń wykonanych prawdopodobnie techniką taśmowo-ślizgową (GT-III) są mało charakterystyczne, a ich klasyfikacja technologiczna i chronologiczna nie jest pewna.

Z nawarstwień najstarszej fazy (I) funkcjonowania ośrodka pozyskano jedynie nieliczne fragmenty naczyń, znalezione głównie w nasypie wału, w mniejszym stopniu w wypełniskach jam

392 i 412 oraz w warstwach spływowych zalegających u wewnętrznej podstawy umocnień. Ze względu na kontekst stratygraficzny można przypuszczać, że znajdują się wśród nich materiały rezydualne, które nie są bezpośrednio związane z okresem budowy i użytkowania grodu. Jednocześnie zaś podobne cechy technologiczne i stylistyczne wyrobów tworzących zbiór, a także różnice w stosunku do ceramiki z następnych faz funkcjonowania ośrodka, stanowią przesłankę przemawiającą za jego względną jednorodnością chronologiczną. Zespół obejmuje okazy o słabo profilowanych wylewach typów III, IV, V, VII i VIII, niekiedy sklasyfikowane jako RF-IE. Wśród ornamentów przeważają żłobki dookolne i linia falista. Od naczyń z późniejszych okresów garnki omawianej fazy różnią się słabszym zaawansowaniem technologicznym, co przejawia się w mniej starannym obtoczeniu, większej grubości ścianek oraz w używaniu do schudzania gliny tłuczni grup B i C, a czasami nawet A. Materiałom tym chronologicznie odpowiadają ułamki wyrobów o podobnie ukształtowanych krawędziach (głównie typów III i IV), znalezione w młodszych nawarstwieniach (m.in. tabl. VI.4: 2), a także nieliczne egzemplarze RF-IA, pochodzące z badań przeprowadzonych w 1936 r. (por. rozdz. V, tabl. V.1: 1–3).

Pod względem techniki wykonania i stylistyki naczynia pozyskane ze struktur fazy I nawiązują do ceramiki ze starszego okresu (faza I) użytkowania osady przyrodowej, zwłaszcza zaś do znalezisk z ziemianki 320 (Krasnodębski, Olczak 2014, ryc. 5: 1, 2; Krasnodębski, Olczak 2015b, m.in. tabl. 20: 5, 6; 21: 2; 23: 1, 4). W najbliższej okolicy grodu nieliczne fragmenty garnków o zbliżonych cechach odkryto w Daniłowie Małym, pow. białostocki, stan. 6 (Olczak, Krasnodębski, Jaremek 2018, 235, ryc. 31: 3–5) i Surażu, stan. 37/41 (Olczak, Krasnodębski 2018, 160, ryc. 37: 1, 2). Kolejne ułamki analogicznych wyrobów pozyskano w wyniku badań powierzchniowych, prowadzonych m.in. na terenie Suraża, stan. 22, 45 i 84 oraz w miejscowościach Zawyki, stan. 3 i Zawyki-Ferma, stan. 12 (obie pow. białostocki)<sup>12</sup>. Podobne garnki pochodzą też z dwóch innych ośrodków zlokalizowanych w dorzeczu górnej Narwi – z grodu w Zajączkach, pow. białostocki, stan. 1, funkcjonującego przypuszczalnie w X i na początku XI w. (Krasnodębski, Olczak, Barford 2005, 76, m.in. tabl. 2: 1–5; 3: 1, 2; 4: 1, 2), oraz z zespołu osadniczego w Haćkach, pow. bielski, gdzie są datowane na XI w. (Kobylińska, Kobyliński 2003, 294–297, ryc. 2; Kobyliński, Szymański 2005, 68–70, ryc. III-42; Kobyliński, Szymański 2015, ryc. 44). Zbliżone materiały wyróżniono także na usytuowanym nad Nurcem grodzisku w Krasnej Wsi, pow. bielski, stan. 1, którego chronologię na podstawie analiz radiowęglowych określono na przełom X i XI w. (badania własne autorów z 1997 i 2005 r.). W łuku Biebrzy analogiczne wyroby gliniane odkryto na grodzisku w Trzciance, pow. sokólski, stan. 1 (Andrzejewska, Stankiewicz 2009, ryc. 1: 1–4; 2: 1–3; 3: 1), użytkowanym prawdopodobnie od IX stulecia do okresu między schyłkiem X a 3. ćwiercią XI w. (Andrzejewska, Stankiewicz 2009, 145; Stankiewicz 2009, 108 n.). Znalaziono je też w Milewszczyźnie, stan. 1 i Talkowszczyźnie, stan. 1 (obie miejscowości pow. sokólski), gdzie są datowane od przełomu IX i X w. do początku lub połowy XI stulecia (Krasnodębski 2014; Olczak 2014; Krasnodębski 2015). W ten sam horyzont czasowy wpisują się również materiały pozyskane z kilku innych, słabiej rozpoznanych grodów tego regionu, takich jak Grodziszczany, stan. 1 i Łosośna, stan. 1 (oba pow. sokólski; Reczulski 2013, ryc. 1: 1, 2 oraz materiały w MPB i Państwowym Muzeum Archeologicznym w Warszawie, dalej cyt.: PMA). Spośród ośrodków północno-wschodniego Mazowsza wyraźne podobieństwo do naczyń z Suraża wykazuje ceramika pierwszej fazy

<sup>12</sup> Materiały z badań AZP na obszarach 41-84 i 41-85, przechowywane w MPB, a także z własnych badań autorów.

osadniczej grodu w Świątku-Strumianach, pow. wysokomazowiecki, stan. 1 (Jaskanis 2008, 127–132, m.in. tabl. VII: 13; VIII: 8, 9; X: 8; XV: 4, 8), funkcjonującego od około połowy X do połowy XI w. (Jaskanis 2008, 99). Biorąc pod uwagę dalej położone, dobrze rozpoznane wykopaliskowo ośrodki mazowieckie, wymienić można materiały z datowanego od przełomu IX i X lub początku X w. do 3. ćwierci XI w. grodu fazy 2 w Nasielsku, pow. nowodworski, stan. 1 (Błoński 2018, 78 n., 138–144, tabl. V; VI; XVII: b, d), a także fazy 1 w Sypniewie, pow. makowski, stan. 1, użytkowanego w okresie od 1. do 3. ćwierci X stulecia (Biermann 2006, 70–72, tabl. 1: 1, 2, 9; 2: 1, 8, 18, 20; 3: 6; 5: 13). Podobne naczynia pochodzą też z grodziska w Bródnie Starym, którego chronologia określona została na X – początek XI w. (Musianowicz 1956, 81–83, m.in. tabl. II: 7; III: 1; IV: 1, 7; V: 2). W Płocku, pow. *loco* analogiczna ceramika łączona jest z horyzontem I, datowanym od schyłku X do połowy XI stulecia (Trzeciecki 2016, aneks 4, tabl. 2: 7, 8; 3: 3, 5; 4: 3). W ośrodkach grodowych północno-zachodniej Rusi wyroby o krawędziach ukształtowanych w sposób zbliżony do egzemplarzy suraskich były używane od 2. połowy X do 1. połowy XII w. (typy I i II, Malevskaâ-Malevič 2005, 31–33, 89–91, 102–104, ryc. 8; 9; 37; 45: 1–7; 47: 1, 4, 5). Zespoły naczyń o analogicznych formach i ornamentyce znane są również z kilku osad otwartych zlokalizowanych na obszarze dorzecza górnej Narwi. Na północ od tej rzeki położone były m.in. osady w Potoce, pow. białostocki, stan. 1 (Kobylińska 2003, m.in. ryc. 146: 7; 147; 148: 1–4, 6; 149: 1, 2; 152: 1) i Nowej Woli, pow. białostocki, stan. 8 (Gołembnik, Trzeciecki 2018, ryc. 11: 1–3, 6), zaś na południe w Bańkach, stan. 15 (Krasnodębski, Olczak 2010, ryc. 10: 1–4; 11: 1; 13: 2–4; 14: 1–7; 15: 1–6), Rajsku, stan. 26 i Pulszach, stan. 7 (wszystkie pow. bielski, materiały w MPB i IAE PAN). Chronologię tych stanowisk określa się z reguły na X–XI w. (Kobylińska 2003, 119; Krasnodębski, Olczak 2010, 89; Gołembnik, Trzeciecki 2018, 188 n.).

Istotne znaczenie dla uściślenia datowania omawianego zbioru ma to, że składa się on prawie wyłącznie z fragmentów naczyń całkowicie obtaczanych. Początek wytwarzania tego typu wyrobów na ziemiach obecnej Polski umieszcza się zwykle około połowy X stulecia (m.in. Kurnatowska 1973, 441; Chudziak 1991, 121). Według opinii innych badaczy ceramika całkowicie obtaczana mogła się pojawić w niektórych regionach, m.in. na Mazowszu, już na początku X w. (m.in. Dulnicz 2003, 98 n.; Biermann 2006, 117–125; Trzeciecki 2016, 134 n.). W przypadku znalezisk pochodzących z dorzeczy górnej Narwi i środkowego Bugu pewną przesłankę stanowi datowanie grodu w Zbuczu, pow. bielski, stan. 3, jedyne na tym obszarze obiektu wczesnośredniowiecznego, dla którego dysponujemy wynikami analiz dendrochronologicznych. Użytkowany był on od 3. ćwierci IX do przełomu X i XI w., z tym że w 2. połowie X stulecia pełnił zapewne już tylko funkcję kultową. Wśród pozyskanych z tego ośrodka materiałów udział naczyń częściowo obtaczanych, głównie do połowy lub  $\frac{3}{4}$  wysokości, wynosi ok. 40%, zaś garnki całkowicie obtaczane charakteryzują się na ogół słabo profilowanymi wylewami typów III i IV (Olczak 2016; Krasnodębski, Olczak 2019b, 94–97, ryc. 5.35: 5, 6). Znaczący odsetek ceramiki częściowo obtaczanej zaobserwowano również wśród znalezisk z grodzisk w Klukowiczach, pow. siemiatycki, stan. 1 i Huszlewie, pow. łosicki, stan. 1, datowanych odpowiednio na X w. (Kobylińska, Kobyliński, Wach 2003, 223; Krasnodębski, Skrzyńska, Olczak 2019, 38) oraz na przełom X i XI w. (Dulnicz, Żukowski 2005, 273 n.). Z drugiej strony trzeba pamiętać, że wśród materiałów z ośrodka w Świątku-Strumianach, który powstał około połowy X w., udział egzemplarzy częściowo obtaczanych jest niewielki

(Jaskanis 2008, 99, 125 n.). Wyroby odpowiadające najmłodszym naczyniom pochodzącym z nawarstwień fazy I suraskiego grodu, o wylewach typów VII i VIII, na terenie dzisiejszej północno-zachodniej Białorusi oraz na Polesiu Brzeskim najbardziej rozpowszechnione były w okresie od końca X do końca XI w., zaś z użycia wyszły w ciągu 1. połowy XII stulecia (Iov 1991, 39; Malevskaâ-Malevič 2005, 33, 91). Podobnie garnki tego rodzaju datowane są na osadach zlokalizowanych w dorzeczu Nurca i środkowego Bugu, takich jak Bobrówka, pow. hajnowski, stan. 1a, Krasna Wieś, pow. bielski, stan. 2, Mołoczki, pow. bielski, stan. 2 oraz Ogrodniki, pow. siemiatycki (Musianowicz, Zawadzka 1961, 166–169; Krasnodębski 2000, 182 n. oraz badania własne autorów). Na suraskiej osadzie przyrodowej naczynia o krawędziach wspomnianych typów występowały w niewielkiej liczbie, zwykle jako domieszka wśród materiałów o gorszej technice wykonania i słabo profilowanych brzegach typów III i IV (Krasnodębski, Olczak 2014, ryc. 5: 2; Krasnodębski, Olczak 2015b, tabl. 11: 8; 13: 4; 23: 1). Podobne zjawisko zaobserwowano na kilku innych stanowiskach położonych w dorzeczu górnej Narwi, na których opisywanych wyrobów albo w ogóle nie odkryto (por. m.in. Kobylińska 2003, ryc. 70; Krasnodębski, Olczak, Barford 2005, ryc. 7), albo reprezentowane one były przez pojedyncze okazy (por. m.in. Krasnodębski, Olczak 2010, ryc. 9, typ VI; Olczak 2015, tabl. 1, typy W-V i W-VI; Olczak, Krasnodębski, Jaremek 2018, ryc. 37, typy W-VI i W-VII). Nasuwa to przypuszczenie, że w dorzeczu górnej Narwi garnki te były wytwarzane krócej niż na sąsiednich obszarach, zapewne nie dłużej niż do połowy XI w. Biorąc pod uwagę powyższe dane, za najbardziej prawdopodobny okres uformowania się omawianego zbioru należy uznać połowę X – połowę XI w., przy czym najmłodsze naczynia można datować na 1. połowę XI stulecia.

Naczynia następnej fazy osadniczej (IIA–IIC) cechuje bardziej zaawansowana technika wykonania, a także odmienna stylistyka. Charakteryzują się one na ogół lepszym obtoczeniem, cieńszymi ściankami i drobniejszą domieszką, składającą się głównie z tłuczni grupy C. Formy garnków stają się w tym okresie bardziej zróżnicowane – oprócz egzemplarzy o esowatym kształcie (RF-I) i zbliżonych do nich okazów o kątowym łączeniu szyjki z brzuścem (RF-IIIa) wyróżniono nieliczne naczynia bez szyjek (RF-II), a przede wszystkim wyroby o prostych szyjkach (RF-IV). W ostatniej z wymienionych grup przeważają egzemplarze o stożkowatych, słabo wyodrębnionych od brzuśców szyjkach (RF-IVc), przy niewielkim udziale garnków z cylindryczną szyjką (RF-IVa). Wśród materiałów z opisywanej fazy nie stwierdzono fragmentów o prostych szyjkach wyraźnie odciętych od brzuśców (RF-IVb), aczkolwiek ze względu na znaczne rozdrobnienie zbioru ich obecności nie można wykluczyć całkowicie. Krawędzie naczyń są bardziej zróżnicowane i mocniej profilowane niż w poprzednim okresie, zwykle z wrębami na pokrywkę. Najbardziej rozpowszechnioną formę stanowią wylewy typu XXVI, charakterystyczne zwłaszcza dla egzemplarzy RF-IVc. Przeważa zdobnictwo jednowątkowe w postaci żłobków dookólnych, pokrywających z reguły także szyjki naczyń.

W fazie IID–IIE kontynuowane były tradycje garncarskie poprzedniego okresu, ale wykształcił się również nowy trend wytwórczości. Wyrazem starego stylu są m.in. brzegi typu XXVI i naczynia RF-IV, wśród których najbardziej popularne stają się okazy wariantu RF-IVb. Natomiast nowością są wylewy typu XXXI, łączone głównie z garnkami o łagodnym profilowaniu (RF-IC i RF-IIIa), reprezentującymi wysoki poziom technologiczny (cienkie

ścianki, staranne obtoczenie, drobnoziarnista domieszka). Ich dekoracja ogranicza się do żłobków dookolnych, przy czym wyjątkowo rzadko zdobione są szyjki. Niektóre z tych naczyń mają czarną lub ciemnobrunatną barwę powierzchni, co wskazuje, że mogły być wypalane w atmosferze redukcyjnej. Cechy opisanych wyrobów świadczą o dużym stopniu standaryzacji produkcji garncarskiej w tym okresie.

Na podstawie zaobserwowanych na stanowisku sekwencji stratygraficznych nasuwa się wniosek, że naczynia RF-IVC pojawiły się w suraskim grodzie nieco wcześniej niż wyroby RF-IVB, aczkolwiek niewielka liczba egzemplarzy zrekonstruowanych nie pozwala na formułowanie w tej kwestii pewnych wniosków<sup>13</sup>. Oba warianty garnków mają analogie wśród materiałów pochodzących z młodszej fazy (II) osady przyrodowej, która funkcjonowała w XII–XIII w. Tego rodzaju wyroby z osady są jednak bardziej zróżnicowane pod względem ukształtowania brzegów (Krasnodębski, Olczak 2014, ryc. 5: 5; Krasnodębski, Olczak 2015b, m.in. tabl. 9: 3; 31: 1; 36: 9; 37: 2). Nieliczne podobne naczynia, zarówno o dekorowanych, jak i niezdobionych szyjkach, odnotowano także na wymienionym już stanowisku w Daniłowie Małym, którego główny etap użytkowania datowany jest od 2. połowy XI lub przełomu XI i XII w. do około połowy XIII stulecia (Olczak, Krasnodębski, Jaremek 2018, 243, ryc. 23: 4; 27: 1). Natomiast charakterystyczne dla znalezisk z obu opisywanych faz grodu wylewy typu XXVI na suraskiej osadzie przyrodowej występowały rzadko (Krasnodębski, Olczak 2015b, tabl. 30: 5; 31: 1), zaś w Daniłowie Małym w ogóle ich nie stwierdzono.

Garnki o wyraźnie wyodrębnionych od brzuśców pionowych lub stożkowatych szyjkach, analogiczne do suraskich egzemplarzy RF-IVB i RF-IVC, stanowią formy powszechne na stanowiskach z młodszej fazy wczesnego średniowiecza zlokalizowanych na terenie Mazowsza, a także mazowiecko-ruskiego pogranicza. Okazy pierwszego wariantu nawiązują do wyrobów tzw. typu drohiczyńskiego, wydzielonych przez Krystynę Musianowicz wśród materiałów z Drohiczyzna i okolic (Musianowicz 1969, 138, m.in. tabl. IX: 1, 14, 17; XI: 12, 17; XII: 7, 13; Wójcik 2014, ryc. 1). W wymienionym ośrodku naczynia tego rodzaju wytwarzane były od XI do XIII w., przy czym już w najstarszych warstwach ich udział był wysoki i sięgał kilkudziesięciu procent (Musianowicz 1969, 139–142, 215–219, tab. 24–26; Wójcik 2014, 90). Z powodu słabego stanu zachowania suraskich garnków RF-IVB trudno określić, w jakim stopniu spełniają one kryteria wyrobów typu drohiczyńskiego. Zarówno w przypadku materiałów z grodu, jak i osady przyrodowej zauważalny jest bardzo niewielki udział fragmentów o zagładzanych żłobkach, charakterystycznych dla znalezisk z Drohiczyzna. Niektóre okazy suraskie zdobione są rzędami odcisków, wykonanych zapewne radełkiem, który czasami uznawany jest za wyróżnik naczyń typu drohiczyńskiego (Musianowicz 1969, 144). Podobny sposób dekoracji występuje jednak na szerszym obszarze, także na wyrobach o innej formie (m.in. Malevskaâ 1969, ryc. 3: 8; 4: 11; Malevskaâ-Malevič 2005, ryc. 12: 3; 34: 9). Natomiast wylewy typu XXVI, w które najczęściej zaopatrywane były suraskie egzemplarze RF-IVB i RF-IVC, mają swoje ścisłe odpowiedniki w Drohiczyźnie (Wójcik 2014, ryc. 7: 1, typ VI). Garnki zbliżone do wariantu RF-IVC w skupisku drohiczyńskim były mniej rozpowszechnione (Musianowicz 1969, tabl. V: 7; XVIII: 14; XXXII: 11).

<sup>13</sup> Różnice między oboma wariantami garnków czasami są nieznaczne, co utrudnia klasyfikację, zwłaszcza w przypadku drobnych fragmentów. Dodatkową trudność sprawia niekiedy wyraźne podobieństwo okazów RF-IVC do egzemplarzy o dwustożkowatych brzuściach (RF-IIIB i RF-IIC), których szyjki też często pokrywane były żłobkami.



Na północ od Wysoczyzny Drohiczyńskiej naczynia analogiczne do RF-IVB i RF-IVC znajdowane są rzadziej, głównie w ośrodkach grodowych, takich jak Świątek-Strumiany, Brańsk i Tykocin. Egzemplarze z pierwszego z wymienionych stanowisk mają niekiedy zagładane żłobki, a ich cechą charakterystyczną jest zdobienie dolnej części szyjki linią falistą (Jaskanis 2008, m.in. tabl. IV: 10; V: 1, 2; VII: 9; XIX: 9; XXXV: 2, 4, 5; XXXVIII: 3; XXXIX: 1; XLI: 1, 3, 4). Występowały one głównie na osadzie (stan. 4), rzadziej na grodzisku (stan. 1), na ogół w jego górnych nawarstwieniach, datowanych na XII – 1. połowę XIII w. (Jaskanis 2008, 100 n., 132–135). Ze Świącka-Strumian pochodzi też niewielka liczba garnków podobnych do suraskich egzemplarzy RF-IVC (Jaskanis 2008, tabl. I: 3; XXII: 1; XXX: 12; XXXVII: 1). Oba warianty naczyń, często o krawędziach typu XXVI lub zbliżonych do nich, mają również znaczący udział wśród ceramiki z grodzisk w Brańsku i Tykocinie (materiały w MPB). Wobec braku publikacji materiałów z tych ośrodków bliższa chronologia pochodzących z nich znalezisk nie jest jednak znana. Interesujące jest odkrycie garnków o kształcie zbliżonym do RF-IVB i RF-IVC w Haćkach (Kobyliński, Szymański 2005, fot. III-28; Wójcik 2013). Zarówno ich technika wykonania i forma (słabe wyodrębnienie szyjek od brzuśców), jak i datowanie tej fazy grodu na XI w. (Kobyliński, Szymański 2015, 134–136) mogą wskazywać, że są to jedne z najstarszych przykładów tego typu wyrobów w regionie. Spośród położonych na omawianym obszarze osad otwartych wymienić należy datowane na XII w. stanowisko w Kamiance Nadbużnej, pow. ostrowski, stan. 2 (Rauhut 1957, 334 n.; Rauhut 1959, 31). Odkryto tu zarówno garnki o stożkowatych, jak i pionowych szyjkach, w tym o wylewach zbliżonych do suraskiego typu XXVI (Rauhut 1956, tabl. XXXV: 1; XXVII: 1, 11; XXXVIII: 1; Rauhut 1957, tabl. XLIX: 10; LI: 4, 5, 12; Rauhut 1959, tabl. VI: 16).

Podobne naczynia znane są również z ośrodków grodowych zlokalizowanych na Mazowszu północnym i zachodnim. W Sypniewie wyróżniono garnki zbliżone do wariantu RF-IVB (Biermann 2006, tabl. 1: 18; 9: 11, 13; 11: 5; 18: 7; 29: 5), ale też RF-IVC (Biermann 2006, tabl. 2: 19; 13: 4; 23: 5; 34: 4). Związane są one przeważnie z drugą fazą użytkowania grodu, datowaną głównie na XI w., jednak według autora opracowania niektóre okazy mogą pochodzić już z połowy lub schyłku X stulecia (Biermann 2005, 257; Biermann 2006, 70–72, 101 n., ryc. 70). Naczynia z Sypniewa różnią się jednak od suraskich ukształtowaniem krawędzi, ale też zdobnictwem, charakteryzującym się znacznym udziałem motywów wielowątkowych. W Płocku garnki zbliżone do wariantu RF-IVB wydzielone zostały w odmianę CI3, a analogiczne do wariantu RF-IVC w CI1 (Trzeciecki 2016, ryc. 20: 2). W ośrodku tym omawiane wyroby w bardzo niewielkiej liczbie pojawiły się już w najstarszym okresie, datowanym od schyłku X do połowy XI w., zaś wytwarzane były do późnego średniowiecza (Trzeciecki 2016, 80–82, ryc. 35–37). Okazy najbardziej podobne pod względem formy i zdobnictwa do naczyń suraskich, aczkolwiek o inaczej ukształtowanych brzegach, pochodzą z okresu od połowy XI do połowy XII w. (Trzeciecki 2016, aneks 4, tabl. 7: 2; 9: 5; 10: 6, 9; 14: 5; 18: 6; 20: 4). Wyroby o wyodrębnionych od brzuśca szyjkach spotykamy też w innych ośrodkach mazowieckich, takich jak Pułtusk, pow. *loco*, gdzie są datowane na XII w. (Gołębniak 1987, 190, ryc. 24: a, b; Stabrowska 2015, ryc. 13: 3), Serock, pow. legionowski (Zawadzka-Antosik 1968, ryc. 6 oraz materiały w PMA) i Ciechanów, pow. *loco*, o chronologii obejmującej XI – początek XII w. (Górska 1969, 440, ryc. 3: 1). Na Mazowszu południowym naczynia o podobnym kształcie, pochodzące przypuszczalnie z okresu od 2. połowy XI do XIII w., odkryto w Czersku,

pow. piaseczyński (Rauhutowa 1976, ryc. 57; Wójcik 2014, ryc. 3; Kobylińska 2016, 187, ryc. VII.43: 10). Kolejnym regionem szerokiego występowania wyrobów garncarskich o wyraźnie wyodrębnionych od brzuśców pionowych i stożkowatych szyjkach jest ziemia chełmińska. Egzemplarze najbardziej odpowiadające pod względem stylistyki suraskim naczyniom RF-IVB i RF-IVC datowane są na tym obszarze na XII stulecie oraz przełom XII i XIII w. (Poliński 1996, ryc. 45: c, f; 46: a, b; 53: a, h, j, m). Garnki o podobnej formie notowane są też w Wielkopolsce, na Kujawach i na Pomorzu (Trzeciecki 2016, 145; tam dalsza literatura).

Naczynia o kształcie zbliżonym do suraskich okazów RF-IVB i RF-IVC spotykamy również w niektórych ośrodkach północno-zachodniej Rusi, gdzie stanowią one ok. 4–6% materiałów (Malevskaâ-Malevič 2005, 145 n.). Prawdopodobnie najstarsze z nich pochodzą z grodu w Indurze (Białoruś, rej. grodzieński), funkcjonującego od końca X w. do połowy lub 3. ćwierci XI w. (Malevskaâ-Malevič 2005, 106, ryc. 45: 8, 12–14). Odkryte na tym stanowisku garnki charakteryzują się słabo wydzielonymi od brzuśców stożkowatymi szyjkami, dekorowanymi żłobkami, niekiedy z rzędem innego rodzaju ornamentu w górnej części brzuśca. Naczynia z Nowogródka (Malevskaâ-Malevič 2005, ryc. 10: 6, 7), Wołkowyska (Malevskaâ-Malevič 2005, ryc. 38: 1, 6, 7, 9, 14) i Grodna (Malevskaâ-Malevič 2005, 109 n., ryc. 48: 6, 9, 11), o szyjkach zarówno stożkowatych, jak i pionowych, datowane są na okres od XI do XIII w., głównie na XI – 1. połowę XII w. (Malevskaâ-Malevič 2005, 35, 91, 109 n., 146). Autorka opracowania ceramiki z wymienionych grodów doszła do wniosku, że ta forma wyrobów garncarskich wykształciła się na przełomie X i XI w. na obszarze dzisiejszego Podlasia, skąd przeniknęła na tereny obecnej północno-zachodniej Białorusi (Malevskaâ-Malevič 2005, 145 n.).

W fazie IIA–IIC w Surażu pojawił się kolejny rodzaj wyrobów o wydzielonych górnych częściach, tzw. naczynia z cylindryczną szyjką (RF-IVA). Wytwarzane one były również w następnych okresach (IID–IIE i III), jednak w żadnym z nich nie stanowiły licznej grupy. W najbliższym otoczeniu grodu podobne garnki stwierdzono na suraskiej osadzie przygrodowej (faza II) oraz na osadzie w Daniłowie Małym (Krasnodębski, Olczak 2014, ryc. 5: 4; Olczak, Krasnodębski, Jaremek 2018, 237, ryc. 24: 1; 29: 8; 32: 8; 33: 7). Naczynia z cylindryczną szyjką należą do typowych znalezisk z grodzisk północno-wschodniego Mazowsza (m.in. Jarzębska 1972, 24, tabl. XIII; XVIII: 4; Stankiewicz 1994, tabl. 3: 11; Jaskanis 2008, tabl. VII: 11: XXII: 5). Ich udział w zespołach pochodzących z poszczególnych ośrodków jest jednak zróżnicowany. Wydaje się, że pod względem niewielkiej liczby egzemplarzy o tym kształcie omawiany zbiór jest podobny do materiałów ze Święcka-Strumian (Jaskanis 2008, 135–137), aczkolwiek duży stopień jego fragmentaryzacji uniemożliwia formułowanie w tej kwestii wiążących wniosków. W międzyrzeczu górnej Narwi i Nurca garnki z cylindryczną szyjką odkrywane były głównie na cmentarzyskach z grobami w obudowach kamiennych (Jaskanis 1966, tabl. XIII: 12; Olczak, Krasnodębski 2019a, ryc. 16: 35; Olczak, Wójcik 2019, ryc. 9.8), rzadziej na osadach (Krasnodębski, Olczak 2010, ryc. 27: 1; 29: 3; 30: 5). Natomiast zastanawiający jest ich prawie całkowity brak wśród ceramiki pochodzącej z niektórych grodzisk, takich jak Paszkowszczyzna, pow. bielski, stan. 1 i Bobrówka, pow. hajnowski, stan. 1 (materiały z badań autorów). Nieco więcej znalezisk tego typu pozyskano ze stanowisk tzw. skupiska drohiczyńskiego, na przykład z Drohiczyzna, gdzie ich udział wśród materiałów z grodziska wynosił ok. 5–9% (Musianowicz 1969, tab. 25). Zasięg występowania naczyń z cylindryczną szyjką obejmuje większość obszaru dzisiejszej Polski (Trzeciecki 2016, 147;

tam dalsza literatura), rozciąga się również na tereny północno-zachodniej Rusi (Malevskaâ-Malevič 2005, ryc. 18; 29: 14; 33: 10; 41; 51: 1–8, 11). Wytwarzane one były przez całą młodszą fazę wczesnego średniowiecza, a w niektórych rejonach także w późniejszym okresie (Musianowicz 1951/1952, 363–366; Malevskaâ-Malevič 2005, 147, 150 n.; Trzeciecki 2016, 147).

Garnki RF-II (trzyelementowe bez szyjek) reprezentowane są wśród materiałów z faz IIA–IIC i IID–IIE przez słabo zachowane okazy, przeważnie wariantu RF-IIA. Obecność tych form w grodzie dodatkowo poświadczona jest przez pozbawione kontekstu stratygraficznego znaleziska z badań przeprowadzonych w 1936 r. (por. rozdz. V, tabl. V.3: 2; V.4: 4). Jest to grupa mało homogeniczna, obejmująca zapewne wyroby pochodzące z warsztatów o różnych tradycjach. Podobne naczynia (głównie wariantów RF-IIB i RF-IIC) znane są z suraskiej osady przygrodowej (faza II, por. Krasnodębski, Olczak 2015b, tabl. 17: 4; 19: 3; 39: 7), a także z osady w Daniłowie Małym (Olczak, Krasnodębski, Jaremek 2018, ryc. 25: 3; 28: 1; 30: 4). Nieliczne garnki RF-IIB odkryte na daniłowskiej nekropoli, stan. 1 (Krasnodębski, Olczak 2016b, tabl. XXXVII: 15; XXXVIII: 6) mogą być związane ze starszą fazą jej użytkowania, datowaną od 2. ćwierci XI w. do przełomu XI i XII w. (Olczak, Krasnodębski, Bieńkowska 2019, 86 n.), ale nie jest to wystarczająco udokumentowane. Okazy o mało wyraźnych załomach brzuśców (RF-IIA) wytwarzane były w międzyrzeczu górnej Narwi i środkowego Bugu zapewne już w starszej fazie wczesnego średniowiecza (Krasnodębski, Olczak 2010, ryc. 13: 2). Ich przykłady znane są m.in. ze stanowisk położonych w dorzeczu Nurca i Pulwy, takich jak Bobrówka, stan. 1a, Krasna Wieś, stan. 1 i Mołoczki, stan. 2 (Olczak, Krasnodębski 2002, ryc. 14: 7, 9 oraz badania własne autorów), użytkowanych głównie od 2. połowy X do przełomu XI i XII w. Natomiast naczynia o ostrych załomach brzuśców pochodzą m.in. z Drohiczyzna (Musianowicz 1969, tabl. VI: 4; VIII: 18; XI: 1) i dwunastowiecznej osady w Kamiance Nadbużnej (Rauhut 1959, 31, tabl. IV: 14; VI: 10, 14). Nieliczne garnki o podobnej formie, datowane na XI–XII w., wyróżniono też wśród ceramiki z terenu północno-zachodniej Rusi (Malevskaâ-Malevič 2005, 35, ryc. 10: 3). W Płocku naczynia trzyelementowe o dwustożkowatych brzuścach występowały od schyłku X stulecia do końca wczesnego średniowiecza, przy czym egzemplarze najbardziej zbliżone pod względem formy i zdobnictwa do naczyń suraskich były charakterystyczne dla okresu od połowy XI do połowy XIII w. (Trzeciecki 2016, 80 n., ryc. 35, 36 oraz aneks 4, m.in. tabl. 12: 5; 15: 5, 6; 30: 3; 32: 1–3, 6). W Sypniewie garnki zbliżone do omawianej rodziny form znaleziono w nawarstwieniach obu faz użytkowania grodu, głównie zaś młodszej, datowanej na XI w. (Biermann 2006, m.in. tabl. 6: 6; 10: 7; 12: 1; 16: 1; 24: 5). Oprócz Mazowsza forma ta szczególnie rozpowszechniona była na obszarze obecnej zachodniej i północnej Polski (m.in. Buko 1990, 270–272; Poliński 1996, 181–185; Trzeciecki 2016, 137 n.).

Wśród materiałów z faz IIA–IIC i IID–IIE wyróżniono także wyroby o łagodnej linii profilu (RF-IA, RF-IC i RF-IE) oraz zbliżone do nich garnki o kątowym łączeniu szyjki z brzuścem (RF-IIIA). Większość z nich to okazy o wylewach typu XXXI, charakterystyczne dla drugiego z wymienionych okresów. Choć dekorowane żłobkami naczynia obu rodzin form w dorzeczu górnej Narwi występują powszechnie (m.in. Krasnodębski 2000, ryc. 4: 4, 6; Krasnodębski, Olczak 2010, 90 n.; Krasnodębski, Olczak 2019a, ryc. 5.9: 9, 10), to jak dotąd na żadnym ze stanowisk regionu nie odnotowano egzemplarzy o analogicznych krawędziach. Pewne ogólne podobieństwo pod względem łagodnej linii profilu i sposobu ukształtowania wylewów wykazują niektóre garnki pochodzące z faz 3 i 4 grodu w Nasielsku, datowane na okres od 3.

ćwierci XI w. do 3. ćwierci lub końca XIII stulecia (Błoński 2018, 85–87, 99–102, tabl. VIII: 1; X: 1; XII: 1; XVIII: c). Cechuje je jednak inny kształt brzuśca, a tylko jeden okaz – przez autora opracowania określony jako znalezisko „odosobnione” (Błoński 2018, 150, tabl. XI: 10) – ma formę bardzo przypominającą wyroby suraskie. Z kolei naczynia o zbliżonym profilu z Płocka, pochodzące z datowanych od połowy XII w. do końca XIV w. horyzontów III i IV, mają inaczej wymodelowane krawędzie (Trzeciński 2016, aneks 4, tabl. 26: 2; 28: 5; 55: 6; 56: 2). Ponieważ tego rodzaju garnków nie stwierdzono wśród materiałów z suraskiej osady przyrodowej, to można sądzić, że były one produkowane specjalnie na potrzeby grodu. Nawrót w fazie IID–IIE do form o łagodnym profilowaniu szyjki i brzuśca może wskazywać na rozluźnienie kontaktów z Drohiczyńskiem. Podobne zjawisko zaobserwowano wśród materiałów z grodu w Tykocinie, gdzie również doszło do wytworzenia się lokalnego stylu naczyń (materiały w MPB). Wylewy typu XXXI mogły powstać z przekształcenia brzegów typu XXVI, o czym świadczy analogiczny sposób ich wyodrębnienia od szyjek, a także obecność form pośrednich. Być może innym impulsem były wyroby garncarskie z osady przyrodowej, wśród których w tym okresie dominowały garnki RF-I o krawędziach typu XI i XIII (Krasnodębski, Olczak 2014, ryc. 5: 3; Krasnodębski, Olczak 2015b, tabl. 26: 2; 30: 6; 40: 5). Nie jest jednak wykluczone, że omawiane naczynia są formą wykształconą pod wpływem oddziaływań z jakiegoś ośrodka zewnętrznego, którego nie jesteśmy w stanie na obecnym etapie badań zidentyfikować.

Podsumowując informacje o ceramice faz IIA–IIC i IID–IIE, trzeba podkreślić z jednej strony jej całkowitą odrębność od materiałów charakterystycznych dla starszego okresu, z drugiej zaś związek z wytwórczością garncarską Mazowsza i Drohiczyńska. Na podstawie analizy porównawczej możliwe jest określenie jedynie ogólnej chronologii wyrobów najbardziej typowych dla tych etapów funkcjonowania grodu. Pomimo, że zarówno garnki RF-II, jak i RF-IVB oraz RF-IVC mają swoje pierwowzory w znaleziskach z ośrodków mazowieckich, poświadczonych tam w 1. połowie XI w. (Płock), a być może nawet już w 2. połowie X w. (Sypniewo), to początków ich produkcji w Surażu nie można prawdopodobnie datować wcześniej niż na 2. połowę XI w. Wskazuje na to brak tego rodzaju naczyń w zespołach związanych z I fazą suraskiej osady, która funkcjonowała zapewne do około połowy tego stulecia. W przypadku garnków RF-IIB za datowaniem na 2. połowę XI w. lub początek XII w. może przemawiać odkrycie podobnych form na cmentarzysku w Daniłowie Małym. Moment pojawienia się w Surażu wyrobów RF-IVB skłonni jesteśmy umieścić nieco później niż naczyń RF-II i RF-IVC, czyli na początku lub w 1. połowie XII w., ponieważ nie są one wystarczająco potwierdzone wśród materiałów fazy IIA–IIC. Równie trudno określić koniec wytwarzania opisywanych grup garnków. Jeżeli datowanie początków kolejnej fazy grodu (III) jest prawidłowe (por. dalej i rozdz. VI.4), to wyszły one z użycia najpóźniej około połowy XIII w., przy czym brak okazów RF-IVC w nawarstwieniach fazy IID–IIE świadczy, że ich produkcji zaprzestano wcześniej, być może już w 2. połowie XII w. lub na przełomie XII i XIII w. Ze względu na niewielką liczbę znanych analogii problematyczne jest ustalenie chronologii charakterystycznych dla fazy IID–IIE naczyń RF-IC i RF-IIIA o wylewach typu XXXI. Były one używane jeszcze w fazie III, a zatem co najmniej do 3. ćwierci XIII stulecia. Znaczna jednorodność tych garnków pod względem formy, zdobnictwa i techniki wykonania wskazuje, że okres ich wytwarzania nie mógł być bardzo długi. Jednocześnie zaś wysoki stopień zaawansowania techniki wykonania wyklucza raczej ich pojawienie się przed 2. połową XII w.

Kolejne istotne zmiany w wytwórczości garncarskiej zaszły w fazie III. Dla tego etapu użytkowania grodu charakterystyczne były głównie dwie formy naczyń – będące kontynuacją z wcześniejszego okresu wyroby RF-IC i RF-IIIA o wylewach typu XXXI oraz stanowiące nowość okazy o wąskiej, wysoko położone szyjce i baniastym brzuścu (RF-IB), zaopatrzone w zawinięte do wewnątrz, pogrubione krawędzie (typ XVIII). Nieliczne egzemplarze wykonane zostały z gliny biało wypalającej się, niekiedy techniką taśmowo-ślizgową, stwierdzono też zwyczaj pokrywania powierzchni garnków pobiałą (por. też rozdz. V, tabl. V.6: 1–3). Wraz z pojawieniem się nowego kształtu naczyń nastąpiły zmiany w zakresie ornamentyki – upowszechniło się zdobienie wyrobów motywem linii falistej, w fazach IIA–IIC i IID–IIE stosowanym rzadko. Trzeci nurt w wytwórczości garncarskiej tego okresu stanowiły tzw. naczynia archaizujące, których technika wykonania (słabe obtoczenie, grube i nierówne ścianki, gruboziarnista domieszka) oraz stylistyka (proste brzegi, oszczędna i niestarannie wykonana dekoracja) nawiązywały do ceramiki pochodzącej ze starszej fazy wczesnego średniowiecza. Przemianom tym towarzyszyło kilka innych zjawisk, nieznanych lub rzadko spotykanych w poprzednich okresach, takich jak obecność nielicznych fragmentów naczyń stołowych (pucharki, miski), den płaskich oraz okazów niezdobionych.

Naczynia o wylewach typu XVIII są formą charakterystyczną dla wytwórczości garncarskiej Rusi Kijowskiej. Pojawiły się one około połowy XI stulecia w ośrodkach miejskich jej południowych rejonów i szybko rozprzestrzeniły się na pozostałym obszarze (Rozenfel'dt 1997, 27). Na Wołyniu i Rusi halickiej datowane są na XII–XIII w., przy czym ich duża część wykonywana była z glin biało wypalających się (Malevskaâ 1969, 6–8, ryc. 2: 3, 5, 6; Nowakowski 1972, 83 n.; Malevskaâ-Malevič 2005, 149). W Brześciu produkcja analogicznych garnków rozpoczęła się w połowie XII w. (typ 13), zaś pod koniec tego stulecia stanowiły one w tym ośrodku jedną z dwóch wiodących form (Lysenko 1985, 326 n., ryc. 231; 232: 1). W grodach dzisiejszej północno-zachodniej Białorusi, takich jak Wołkowysk i Nowogródek, upowszechniły się w XII w., zaś wytwarzane były jeszcze w okresie późnego średniowiecza (Zverugo 1975, 69 n., ryc. 22, typ VI A; Malevskaâ-Malevič 2005, 135, 149, ryc. 12; 39: 1, 3, 4–7; 55: 1–4; 58: 5). Na terenie międzyrzecza górnej Narwi i środkowego Bugu naczynia o analogicznie ukształtowanych krawędziach notowane są rzadko. Kilka drobnych fragmentów, o niejasnej chronologii, pozyskano z suraskiej osady przyrodowej (Krasnodębski, Olczak 2015b, tabl. 36: 14; 38: 14). Przykłady podobnych garnków znane są też z Drohiczyzna (Musianowicz 1969, tabl. XXVII: 1, 4, 7, 17; XXXI: 4). Na tamtejszym grodzisku okazy dekorowane żłobkami i linią falistą wystąpiły głównie w najniższych nawarstwieniach, których chronologię autorka badań określiła na XI oraz przełom XI i XII w. (Musianowicz 1969, 93–98, 215–219). Biorąc jednak pod uwagę późniejsze pojawienie się opisywanych naczyń w Brześciu i innych grodach zachodniej Rusi, takie datowanie wydaje się zbyt wczesne. Analogiczne formy odkryto też na osadzie w Bielsku Podlaskim, pow. *loco*, stan. 2 (materiały w MPB). Pojedyncze naczynia tego typu znaleziono na grodziskach w Paszkowszczyźnie i Tykocinie, przy czym egzemplarz z ostatniego stanowiska to import wykonany z gliny biało wypalającej się (materiały w IAE PAN i MPB)<sup>14</sup>. Garnki o podobnie ukształtowanych brzegach pochodzą także z terenu dzisiejszej południowo-wschodniej Polski, z międzyrzecza Bugu i Wieprza, m.in. z Chełma,

<sup>14</sup> Z powodu braku publikacji materiałów z Haciek trudno zweryfikować informację o odkryciu na tym stanowisku naczyń o powiązaniach wschodnich, według autorów opracowania charakteryzujących się zaokrąglonymi brzegami wylewów (Kobyliński, Szymański 2015, 135).

pow. loco i Busówna, pow. chełmski (Mazurek 1997, ryc. 3: 1, 2; Buko, Dzieńkowski 2008, ryc. 20: 1–3). Również na tym obszarze oprócz wyrobów z glin żelazistych odnotowano obecność naczyń wykonanych z glin biało wypalających się, niekiedy techniką taśmowo-ślizgową, zaobserwowano też częste pokrywanie ich powierzchni pobiałą i ornamentem w postaci linii falistej (Buko 2005, 33; Buko, Dzieńkowski 2008, 341–345; Buko, Dzieńkowski, Gołub 2017, 10–12, ryc. 6; 7: 1). Ceramika ta datowana jest w międzyrzeczu Bugu i Wieprza na okres od końca XII do 1. ćwierci XIV w., zaś jej występowanie wiąże się z oddziaływaniami płynącymi z terenu Rusi halicko-włodzimierskiej (Buko, Dzieńkowski 2008, 342–345)<sup>15</sup>. Wydaje się, że w Suraziu omawiana grupa naczyń pojawiła się nie wcześniej niż około połowy XIII w. Jedną z przesłanek przemawiających za taką chronologią jest brak podobnych materiałów wśród znalezisk z grodu w Święcku-Strumianach, którego opuszczenie nastąpiło według przypuszczeń Kazimierza Pacuskiego po roku 1217, a przed 1230 (Pacuski 2019, 25; por. Jaskanis 2008, 101). Głównym argumentem są jednak zmiany natury politycznej, a mianowicie włączenie obszaru położonego na północ od Bugu na krótko przed połową XIII stulecia w granice państwa Daniela Romanowicza (por. rozdz. XIII), co zapewne łączyło się z uaktywnieniem wymiany handlowej i wzmożonym przepływem informacji kulturowych. Brak natomiast zupełnie danych pozwalających określić koniec wytwarzania w Suraziu opisywanych naczyń. Można przypuszczać, że nastąpiło to w ciągu XIV w., na pewno przed początkiem fazy V (por. rozdz. VII).

Z fazą III związane są również rzadkie we wczesnym średniowieczu formy wyrobów garncarskich, takie jak pucharki lub miski. Tego rodzaju znaleziska pochodzą głównie z centrów grodowych regionu, na przykład z Drohiczyzna (Musianowicz 1969, tabl. III: 5; V: 3; VI: 6; XI: 11; XIV: 13) i Święcka-Strumian (Jaskanis 2008, tabl. XVI: 3). Naczynia stołowe typowe były zwłaszcza dla wczesnomiejskich ośrodków ruskich (m.in. Lysenko 1985, 330–332, ryc. 234; Rozenfel'dt 1997, 27; Malevskaâ-Malevič 2005, 152 n.).

Jak już wspomniano, wśród materiałów fazy III wyróżniono także nieliczne naczynia o wyraźnie gorszej technice wykonania, tzw. archaizujące. Wskazują one na regres w produkcji garncarskiej, będący zapewne wynikiem kryzysu osadniczego, który objął te tereny w XIII w. na skutek licznych konfliktów zbrojnych (m.in. Wiśniewski 1977, 9–11; Kowalczyk-Heyman 2013, 203, 237–239, 246 n.; por. też rozdz. XIII). We wczesnomiejskich ośrodkach ruskich analogiczne garnki pojawiły się około połowy XIII stulecia, po najazdach tatarskich (Malevskaâ-Malevič 2005, 150). Podobne zjawisko pogorszenia się jakości wyrobów widoczne jest w tym okresie również na Mazowszu, na przykład w Pułtusku i Płocku (Gołembnik 1987, 190, ryc. 25; Trzeciecki 2016, 188–192). W Suraziu końcowy moment wytwarzania tego typu ceramiki jest trudny do uchwycenia, gdyż naczynia o zbliżonej technice wykonania, aczkolwiek o nieco innej formie, występowały tu powszechnie jeszcze na przełomie XIV i XV w. (por. rozdz. V.2.1.2 i VII.2).

Kilka słów należy poświęcić wyraźnym różnicom stylistycznym między wyrobami garncarskimi pochodzącymi z badań na grodzisku i osadzie przygrodowej. Odnosi się to zwłaszcza do ceramiki faz IIA–IIC, IID–IIE i III, ponieważ naczynia pozyskane ze struktur najstarszego okresu użytkowania grodu pod względem form i zdobnictwa nie odbiegają na ogół od mate-

<sup>15</sup> Również płaskie dna i brak ornamentu należą do częstych cech ceramiki naczyniowej Rusi, zwłaszcza pochodzącej z jej obszarów południowych (Nowakowski 1972, 84; Rozenfel'dt 1997, 27; Malevskaâ-Malevič 2005, 135).

riałów z osady. W przypadku faz IIA–IIC i IID–IIE odmienności dotyczą przede wszystkim większego udziału na grodzisku garnków czteroelementowych o wyodrębnionych szyjkach (RF-IVB i RF-IVC), podczas gdy na osadzie (faza II) formy te wprawdzie występują, lecz stanowią mniejszość w porównaniu z naczyniami o łagodnej linii profilu (RF-I). W fazie IID–IIE w grodzie pojawiają się formy o łagodnym profilowaniu szyjki i brzuśca, o krawędziach typu XXXI, których na osadzie nie odnotowano. Natomiast dominujące wśród materiałów z osady wyroby o wylewach typów XI i XIII należą w grodzie do wyjątków. W fazie III różnice stają się jeszcze bardziej wyraźne – na osadzie prawie w ogóle nie stwierdzono popularnych w grodzie garnków RF-IB o krawędziach typu XVIII, a także ceramiki z glin biało wypalających się i naczyń pokrytych pobiałą.

### VI.3. Pozostałe znaleziska

Oprócz ceramiki naczyniowej podczas przeprowadzonych w latach 2004 i 2013 badań wykopaliskowych znaleziono jedynie kilkanaście przedmiotów codziennego użytku, ozdób i militariów. Może to dziwić, gdy uwzględnimy duży zestaw zabytków odkrytych na grodzisku w 1936 r. (por. rozdz. V). Wynika to niewątpliwie z miejsca usytuowania wykopów, które obejmowały swoim zasięgiem głównie nasyp wału i fosę zewnętrzną, a jedynie w niewielkim stopniu teren majdanu. Ze względu na pochodzenie niektórych przedmiotów z nasypu lub z wypełniska fosy bardzo prawdopodobne jest, że nie mają one związku z funkcjonowaniem grodu lub konkretną fazą jego użytkowania.

Ze struktur faz IIA–IIC, IID–IIE i III pozyskano trzy gliniane przęśliki. Potwierdzają one istnienie w przywałowej części majdanu zabudowy o charakterze mieszkalnym. Przęślik z warstwy 335 to niestarannie wykonany okaz o kulistym kształcie, o średnicy 2,7–2,9 cm i wysokości 2,0–2,2 cm (ryc. VI.38; tabl. VI.25: 4). Przedmioty z warstw 307 i 289 mają kształt dwustożkowaty. Pierwszy z nich, o średnicy 3,15 cm i wysokości 1,2 cm, na obu krawędziach ma uformowany wypukły rant (ryc. VI.54; tabl. VI.25: 5). Drugi przęślik zachowany jest w połowie i ma 3,3 cm średnicy oraz 1,9–2,1 cm wysokości (ryc. VI.63; tabl. VI.25: 3). Na jego powierzchni widoczne są ślady wtórnego przepalenia. Gliniane przęśliki odkryto również podczas badań prowadzonych na grodzisku w 1936 r. (por. rozdz. V, tabl. V.34: 1–5). Kilka okazów pozyskano też z osady przyrodowej (Krasnodębski, Olczak 2015b, tabl. 42: 2–6) i z cmentarzyska, stan. 2 (Bieńkowska 2005a, tabl. XIV: 3).

Kolejne dwa wytwory gliniane to ciężarki, służące do obciążania sieci rybackich (tzw. grzędła) lub pionowego warsztatu tkackiego. Znalezione one zostały w warstwach późnośredniowiecznych, ale zawierających niemal wyłącznie materiały wczesnośredniowieczne, dlatego ich związek z omawianym okresem jest bardzo prawdopodobny. Przedmiot z wykopu 1 (w. 44) ma kształt rozszerzającego się w dolnej części walca o wysokości 5,1–5,6 cm, średnicy 3,9–5,2 cm i średnicy otworu 1,6–2,7 cm (ryc. VI.81; tabl. VI.25: 1). Jego górna część jest zaokrąglona, natomiast dolna spłaszczona, o pogrubionej krawędzi zewnętrznej. Na powierzchni ciężarka widoczne są ślady zagładzania i wyrównywania, zaś miejscami też krótkie nacięcia wykonane ostrym narzędziem. Drugi ciężarek odkryty został w wykopie 4, na szczycie nasypu wału (w. 109). Jest to fragmentarycznie zachowany przedmiot o walcowatym kształcie, mający przypuszczalnie 4,44 cm wysokości, ok. 3,0 cm średnicy i ok. 1,3 cm średnicy otworu.

Podobne wytwory należą do częstych znalezisk na stanowiskach wczesnośredniowiecznych, zarówno na grodziskach, jak i osadach. Okazy gliniane pochodzą m.in. z grodu w Tykocinie, osady w Bielsku Podlaskim (materiały w MPB) oraz z Sypniewa (Biermann 2006, ryc. 99: 1–3). W Surażu kilka grzędziel o nieokreślonej chronologii znaleziono w rejonie położonych na południe od grodziska rozlewisk Narwi, stan. 35 (Pawlata 2008, 140–142).



Ryc. VI.81. Suraż, pow. białostocki, stan. 1, wykop 1. Gliniany ciężarek znaleziony na złożu wtórnym (w. 44). Fot. M. Osiadacz

W warstwie 255 (wykop 4), tworzącej prawdopodobnie nasyp wału fazy III, odkryto fragment glinianej dyszy, o zachowanej długości 4,6 cm, średnicy 3,3 cm i średnicy wewnętrznego kanału ok. 1,3 cm (ryc. VI.56; tabl. VI.25: 2). Podobne przedmioty znane są m.in. z osad w Kamiance Nadbużnej (Rauhut 1956, tabl. XXXV: 3, 4, 9–11; XXXVIII: 5, 6, 8; Rauhut 1959, tabl. IV: 11, 12) i Drohiczyne, stan. 3 (Musianowicz 1969, tab. 30, tabl. XXXI: 1; XL: 2, 3).

Wśród znalezisk z majdanu są trzy paciorki, wykonane z przezrystego szkła techniką nawijania. Z warstwy 377 (faza IIA–IIC) pozyskano ozdobę o zielonej barwie i kształcie środkowego wycinka kuli, o średnicy korpusu 0,8 cm, wysokości 0,6 cm i średnicy kanalika 0,3 cm (ryc. VI.29: 1; tabl. VI.25: 8). Z tym samym okresem łączyć należy przypuszczalnie również kolejny paciorek. Został on wprawdzie odkryty w dole postłupowym 376 fazy IID–IIE, ale w służącej do umocnienia słupa warstwie 387, powstałej w wyniku zniszczenia starszego budynku lub pieca. Jest to okaz wykonany z zielonego szkła, składający się z dwóch segmentów o pierścieniowatym kształcie (ryc. VI.29: 2; tabl. VI.25: 7). Średnica jego korpusu wynosi 0,51 cm, wysokość 0,45 cm, zaś średnica kanalika 0,24 cm. Natomiast z warstwy destrukcyjnej pieca 323 (w. 312/1, faza IIE) pochodzi paciorek o jasnoniebieskiej barwie (ryc. VI.29: 3; tabl. VI.25: 6). Ma on kształt pierścieniowaty o średnicy 0,60 cm, wysokości 0,30 cm i średnicy kanalika 0,38–0,40 cm. Wykonane techniką nawijania niezdobione paciorki z przezrystego szkła, o kształcie pierścieniowatym lub środkowego wycinka kuli, najbardziej rozpowszechnione były w XII–XIII w., ale produkowano je już w XI stuleciu (Wajda 2014, 66 n.; Kuzina 2016, ryc. 1; Stolyarova 2016, ryc. 8). Liczne ozdoby tego typu wyróżniono wśród przedmiotów wyposażenia zmarłych z datowanego głównie na XII–XIII w. cmentarzyska w Surażu, a także z młodszej fazy nekropoli w Daniłowie Małym, użytkowanej w XII w. (Bieńkowska 2005a, 140 n.; Olczak, Krasnodębski, Bieńkowska 2019, 86–88). Podobne okazy pochodzą również z funkcjonującego od schyłku XI lub 1. ćwierci XII w. do początku XIII stulecia cmentarzyska w Święcku-Strumianach, pow. wysokomazowiecki, stan. 3 (Jaskanis 2008, 177–188, 256) oraz z nekropoli w Zawykach, pow. białostocki, stan. 35, której chronologia określona została na



XI–XIII w. (Karczewska, Karczewski 2005, 284–291). Paciorki analogiczne do ozdoby znalezionej w pobliżu pieca 323 licznie występują w omawianym regionie. Odkryto je m.in. na cmentarzyskach w Surażu (m.in. groby 3 i 56, Bieńkowska 2005a, 123, 138, tabl. II: 7; XVII: 1), Daniłowie Małym (groby 9, 30 i 36, materiały z badań autorów) i Święcku-Strumianach (Jaskanis 2008, ryc. 50, typ I). Podobne okazy pozyskano też z nekropoli w Czarnej Wielkiej, pow. siemiatycki, stan. 1 (Wajda 2014, ryc. 31, groby 29, 93, 221; Dzik 2015a, tabl. VIII: 11, 12). Na ziemiach ruskich paciorki tego rodzaju rozpowszechnione były w XII–XIII w. (Kuzina 2016, ryc. 1; Stolyarova 2016, ryc. 8: c). Ozdoby analogiczne do dwóch pozostałych okazów znane są m.in. z Czarnej Wielkiej (Wajda 2014, ryc. 24: 14, 22). Na Śląsku podobne paciorki datowane są na XI–XII w. (Pankiewicz, Siemianowska, Sadowski 2017, 253–258, tab. 2).

Przedmioty wykonane z miedzi lub brązu są nieliczne. Z warstwy 307 (faza IIE), powstałej wskutek destrukcji zabudowy przywałowej, pochodzi miedziany kabłączek skroniowy (ryc. VI.53; tabl. VI.26: 1). Jest to okaz z esowatym uszkiem, typu III według Krystyny Musianowicz (Musianowicz 1949, 132–140), wykonany z drutu o średnicy 0,27 cm. Wewnętrzna średnica ozdoby wynosi 2,23 cm, zewnętrzna 2,5–2,7 cm, zaś szerokość uszka 0,45 cm. Na podstawie wymiarów kabłączek można zakwalifikować do odmiany B, datowanej na XI–XIII w., z okresem największego rozpowszechnienia w XII stuleciu (Kóčka-Krenz 1971, 110, tab. II; Rauhut 1971, 473; Kóčka-Krenz 1993, 48 n.). Brązowe i srebrne lub posrebrzane okazy o podobnych rozmiarach znane są m.in. z nekropoli w Surażu i z młodszej fazy cmentarzyska w Daniłowie Małym (Bieńkowska 2005a, 139; Olczak, Krasnodębski, Bieńkowska 2019, 81, 85). Fragmentem dużego kabłączka (odmiany C?) może być również drut o średnicy 0,17 cm i ściętym jednym końcu, pochodzący prawdopodobnie z humusu współczesnego w wykopie 4 (tabl. VI.26: 3). Z tego samego sondażu (znalezisko luźne) pozyskano też przedmiot wykonany z cienkiej brązowej blachy, zapewne guzik (tabl. VI.26: 2). Ma ona kształt kulisty, z umieszczonym centralnie mocno skorodowanym owalnym uszkiem, wykonanym prawdopodobnie z żelaza. Średnica przedmiotu wynosi 0,8 cm, a wysokość 1,07 cm, z czego na uszko przypada ok. 0,44 cm. Zabytki tego typu odkryte zostały m.in. na cmentarzyskach w Surażu (Bieńkowska 2005a, 123, 136, 141, tabl. II: 7; XIII: 5, 7) i Święcku-Strumianach (Jaskanis 2008, 218 n., tabl. CXXVI, grób 369: 6), na grodzisku w Drohiczyńcu (Musianowicz 1969, 197 n., tabl. XLV: 7), a także na wielu nekropolach Wysoczyzny Drohiczyńskiej (Dzik 2015a, 214–216). Niekiedy interpretuje się je jako zawieszki, lecz w przypadku omawianego okazu taka funkcja wydaje się mniej prawdopodobna. Ostatnim przedmiotem z miedzi lub brązu jest lekko wygięta sztabka o zachowanej długości 4,1 cm i prostokątnym przekroju poprzecznym mierzącym 0,53 × 0,37 cm, znaleziona w warstwie 289 fazy III (tabl. VI.26: 5). Jedna z jej dłuższych krawędzi ma zawinięty i sklepany brzeg, natomiast druga lekko wyodrębniony rant. Przeznaczenie tego przedmiotu trudno określić.

Najliczniejszą kategorię zabytków stanowią przedmioty żelazne. Na złożu wtórnym w wykopie 4 (w. 136) odkryto topór, z którego zachowała się osada i fragment żelezca (ryc. VI.82; tabl. VI.26: 4). Obuch topora jest zaokrąglony, zaś osada należy do typu z kapturkiem, bez wąsów. Światło osady jest koliste. Zachowana długość przedmiotu wynosi 9,4 cm, wysokość obucha – 6,1 cm, wysokość osady – ok. 3,2 cm, a jej wewnętrzna średnica – 3,4 cm. Znalezione z Suraża reprezentuje najprawdopodobniej topory typu Vb według Andrzeja Nadolskiego, które autor ten datuje na XI, rzadziej na XII w. (Nadolski 1954, 45, tabl. 17: 6). Nieco później, bo w XII–XIII w., były one używane na Rusi (typ IVA, Kirpičnikov 1966, ryc. 6, tabl.

XIII: 9, 10; XXIV: 2). W Małopolsce chronologia militariów tego rodzaju zamyka się w okresie od X do XIII w. (Strzyż 2006, 52 n.). Natomiast według klasyfikacji Piotra Kotowicza omawiany topór należy do typu I, grupy IB lub IIB, odmiany 19 bądź 20 (Kotowicz 2018, ryc. 10). Zdaniem wymienionego autora egzemplarze o tym kształcie na terenie ziem obecnej Polski występowały głównie od X do XIV w. (Kotowicz 2018, 56–60). Podobne okazy na Mazowszu odkryto m.in. w Wiźnie, pow. łomżyński, stan. 1 (Głosik 2001, ryc. 31: f), Sypniewie (Górska i in. 1976, ryc. 220: c) i Brańsku (Romaniuk 1994, 12, tabl. III: 28). Częściej ich znaleziska notuje się na cmentarzyskach. Najbliższą analogię stanowi topór z nekropoli w Daniłowie Małym (Koperkiewicz, Krasnodębski 2006, ryc. 13: k). Odkryty on został w grobie należącym do starszej fazy użytkowania stanowiska, która jest datowana od 2. ćwierci XI do przełomu XI i XII w. (Olczak, Krasnodębski, Bienkowska 2019, 86 n.). Liczne topory typu Vb znane są też z cmentarzysk z grobami w obudowach kamiennych Wysoczyzn Drohiczyńskiej i Siedleckiej (Musianowicz 1955, tabl. III: 8; Wójcik 2004, ryc. 6; Dzik 2015a, 234–236).



Ryc. VI.82. Suraż, pow. białostocki, stan. 1, wykop 4. Fragment żelaznego topora, znaleziony na złożu wtórnym (w. 136). Fot. M. Osiadacz

Wśród przedmiotów żelaznych są też trzy fragmenty noży. Dwa z nich znalezione zostały w warstwie 289 fazy III (tabl. VI.26: 7, 8), zaś jeden, o prawdopodobnie obustronnie wyodrębnionym trzpieniu, w spągu warstwy 317 fazy IIA–IIC (tabl. VI.26: 12). Zachowana długość ostatniego okazu wynosi ok. 11,1 cm, w tym długość głowni 7,84 cm, przy szerokości 1,5 cm. Kolejny przedmiot to pochodzące z warstwy 289 kółko o zewnętrznej średnicy 5,1 cm, wykonane z grubego drutu o owalnym przekroju i wymiarach ok. 1,3 × 0,70 cm (tabl. VI.26: 9). Z powodu słabego stanu zachowania funkcji pozostałych znalezisk żelaznych, związanych z fazami IID–IIE (w. 307, tabl. VI.26: 11) i III (w. 289, tabl. VI.26: 6, 10), nie udało się określić.

Następną kategorię przedmiotów odkrytych na majdanie grodu stanowią narzędzia i półprodukty z kości i poroża. Dwa z nich służyły prawdopodobnie do szycia i sporządzania odzieży. Przekłuwacz znaleziony w spągu warstwy 262 (faza IIA–IIC) wykonany został z istoty zbitej

odcinka metapodialnego kości bydłej (ryc. VI.21; tabl. VI.25: 9). Jeden z jego końców jest zaostrowany, ze śladami wygładzania, zaś drugi odłamany. Przedmiot ma czworokątny przekrój poprzeczny o wymiarach ok.  $0,95 \times 0,65$  cm, a jego zachowana długość wynosi 8,44 cm. Z warstwy 289 (faza III) pozyskano kościaną igłę o długości ok. 3,1 cm (ryc. VI.62; tabl. VI.25: 12). Jeden z jej końców jest zaostrowany, zaś w drugim znajduje się naturalny kolisty otworek, służący zapewne do przeciągnięcia nici. Natomiast z warstwy 317 (faza IIA–IIC) pochodzi grot z poroża jelenia (ryc. VI.33; tabl. VI.25: 10). Z wnętrza odciętego fragmentu wydrążono istotę gąbczastą, a jego powierzchnię zewnętrzną zestrugano i wygładzono. Długość grotu wynosi 4,2 cm, a szerokość u podstawy 1,66 cm. W pobliżu jego wylotu wydrążony jest niewielki owalny otwór o stożkowatym przekroju i średnicy 0,4 cm. Podobne przedmioty odkryto m.in. w Drohiczynie (Musianowicz 1969, 170) i Brańsku (Stankiewicz 1994, tabl. 4: 2), a na dalszych terenach w Janowie Pomorskim, pow. elbląski, stan. 1 (Cnotliwy 2013, ryc. 21: 2, 3). Na obszarze Rusi groty o analogicznym kształcie były używane od starszej fazy wczesnego średniowiecza do XIV w. (Medvedev 1966, 87, tabl. 19: 40; 22: 1, 2; 25: 22; 30D: 103). Wykorzystywano je w polowaniach na zwierzęta futerkowe, ale też w walce (Medvedev 1966, 87). Ponadto w warstwie 289 i w jamie 426 odkryto dwa półwytwory z poroży jeleni (faza III). Pierwszy z nich to fragment poroża rosłego osobnika z zachowaną częścią wierzchołkową, przy której widoczne jest zestruganie powierzchni na odcinku ok. 6 cm (ryc. VI.61; tabl. VI.25: 13). Natomiast na przeciwnym końcu przedmiotu czytelne są ślady rąbania, ułożone ukośnie względem poroża. Drugi okaz to przypuszczalnie część wycięta z pnia głównego, ze śladami rąbania na obu końcach (ryc. VI.65; tabl. VI.25: 11). Z szerszej strony podstawa poroża jest wygładzona i lekko wydrążona na głębokość ok. 1 cm, z drugiej zaś widoczne są dwa głębokie zacięcia (Piątkowska-Małecka 2015).

Z badań na grodzisku pochodzą również trzy przedmioty kamienne. W warstwie 255 (faza III) odkryto fragment cienkiej płytki z fyllitu o mocno wygładzonych powierzchniach, o szerokości 1,56–1,68 cm i grubości 0,38–0,57 cm (ryc. VI.55). Z jednej strony ma ona częściowo zachowany kolisty otworek o średnicy ok. 0,5 cm. Surowiec, z którego wykonano przedmiot, pochodzi prawdopodobnie z Wołynia (Siuda 2015). Narzędzia tego typu interpretowane są jako oselki lub kamienie probiercze (Jeżek 2013). Dwa kolejne podobne wytwory z łupku fyllitowego znaleziono na terenie osady przyrodowej (Krasnodębski, Olczak 2015b, tabl. 44: 5). Duża liczba analogicznych przedmiotów, wykonanych przypuszczalnie z fyllitu skandynawskiego lub sudeckiego i datowanych od VII/VIII do XII/XIII w., znana jest północno-zachodnich ziem obecnej Polski (Kara 2006). Dwie oselki, z pieca 386 fazy IIA–IIC i warstwy 289 fazy III (ryc. VI.64), wykonane zostały z krzemionkowego piaskowca kwarcowego z muskowitem, który występuje na Wołyniu i w Górach Świętokrzyskich (Siuda 2015).

## VI.4. Chronologia i wnioski

W wyniku badań w wykopie 4 odkryto struktury związane z czterema głównymi etapami użytkowania wczesnośredniowiecznego grodu. Zaprezentowana powyżej stratygrafia opracowana została na podstawie źródeł pozyskanych z bardzo niewielkiego fragmentu stanowiska, które w innych częściach podlegać mogło nieco innym procesom. Poza niewielkim zasięgiem prac wykopaliskowych interpretację reliktyw z najstarszego okresu użytkowania grodu utrudniało niepełne rozpoznanie najniższych nawarstwień.

Poważnym problemem, z którym borykają się badacze wczesnośredniowiecznego osadnictwa dorzeczy górnej Narwi i środkowego Bugu, jest brak wiarygodnych podstaw datowania. Niedostateczny stan rozpoznania grodów i osad tego regionu przekłada się na niewielki zespół znalezisk przedmiotów metalowych, zwłaszcza tych będących dobrymi wyznacznikami chronologicznymi, a także na znikomą liczbę analiz dendrochronologicznych i radiowęglowych. W rezultacie podstawą datowania stanowisk są z konieczności materiały ceramiczne. Niewielka zmienność tej kategorii źródeł w czasie powoduje, że proponowane ustalenia w tym zakresie często muszą być bardzo szerokie. Kolejną kwestią, od kilku lat podnoszoną w literaturze przedmiotu, jest niezgodność chronologii opartej na analizie stylistycznej wyrobów glinianych oraz uzyskanej metodami przyrodniczymi (m.in. Dulnicz 1994; Poleski 2000, 426 n.; Dulnicz, Ważny 2004; Biermann 2006, 117–119). Nasuwa się zatem wniosek, że kryteria wypracowane przez dziesięciolecia studiów porównawczych nad ceramiką dla dużej części stanowisk mogą okazać się zawodne. Sytuację dodatkowo komplikuje niezadowolający stan publikacji materiałów z prowadzonych w regionie prac wykopaliskowych.

Dla wczesnośredniowiecznej fazy funkcjonowania suraskiego grodu wykonano zaledwie pięć datowań radiowęglowych. Próby spalonego drewna przekazane do badań dendrochronologicznych nie przyniosły spodziewanych rezultatów. Z tego powodu przy datowaniu relików poszczególnych faz w dużym stopniu wspierano się wynikami analizy porównawczej ceramiki naczyniowej.

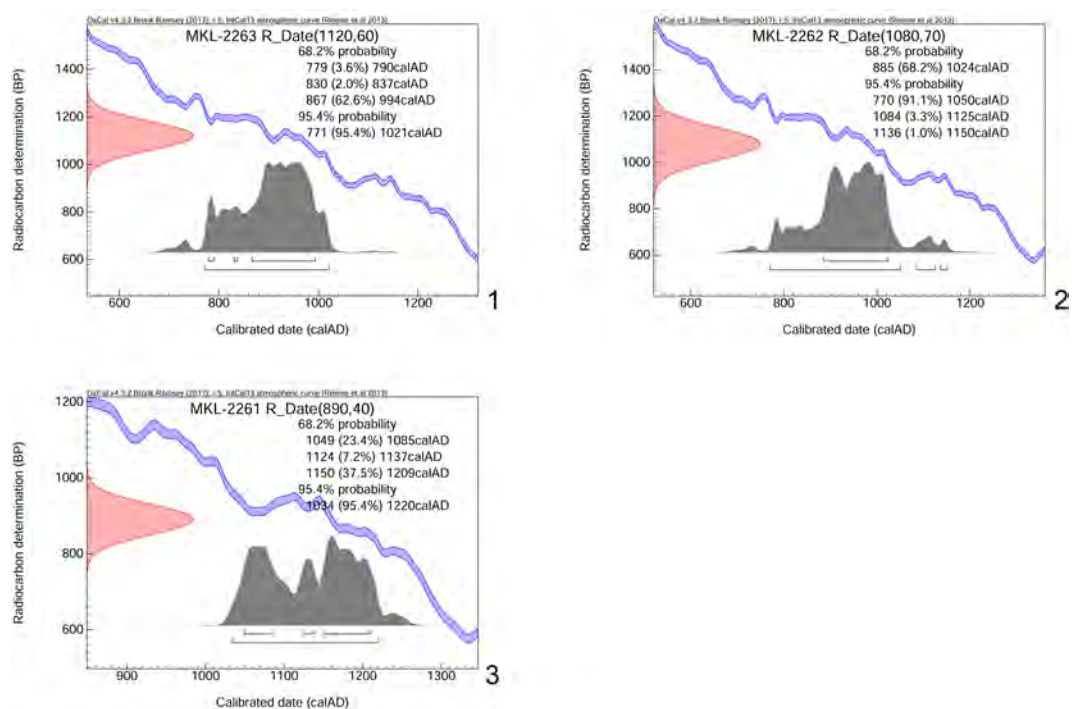
Najstarsza wydzielona faza osadnicza (I) związana jest z budową na wysokiej skarpie rzecznej prawdopodobnie pierwszych konstrukcji obronnych. Ze względu na późniejsze przebudowy trudno określić pierwotny kształt i rozmiary grodu. Mógł on mieć ok. 70–80 m średnicy, a zatem ok. 0,4–0,5 ha powierzchni. Obiekt otoczony był zapewne pojedynczym wałem, o wysokości względnej nasypu wynoszącej na przebadanym obszarze co najmniej 2,3 m. Wprawdzie nie odkryto pozostałości fosy z tego okresu, lecz można przypuszczać, że w celu zwiększenia walorów obronnych tego miejsca wykonano przekop odcinający je od pozostałej części wysoczyzny. Krawędź skarpy prawdopodobnie sztucznie podwyższono, aby wyrównać powierzchnię majdanu. Wzniesiony na tym nasypie wał ziemny został wzmocniony drewnianą konstrukcją skrzyniową. Umocnienia o podobnej budowie występują w tym okresie stosunkowo często, zaś najbliższy terytorialnie jest gród I w Święcku-Strumianach, funkcjonujący od połowy X do połowy XI w. (Jaskanis 2008, 50–55, 99 n., ryc. 18, 19; por. też Górską i in. 1976, 59, ryc. 82; Auch, Trzeciński 2011, 49 n., ryc. 9). U wewnętrznej podstawy wału znajdowała się duża jama (ob. 412), powstała być może w wyniku pozyskiwania piasku na jego budowę. Na jej stropie odkryto pozostałości drewnianej konstrukcji przekładkowej o niejasnej funkcji.

Ze względu na ich niewielką liczebność fragmenty naczyń pochodzące ze struktur najstarszej rozpoznanej fazy są w ograniczonym stopniu przydatne do wnioskowania o czasie powstania i użytkowania grodu. Większość z nich to materiały o charakterze rezydualnym, odkryte w nasypie wału. Prawdopodobne jest jednak, że niektóre okazy, zwłaszcza te o większych rozmiarach, mogą być współczesne budowie umocnień<sup>16</sup>. Świadczy o tym brak istotnych różnic między ceramiką znaną w nasypie (podfaza IA) i nawarstwieniach związa-

<sup>16</sup> Jako przykłady grodów, w których nasypach znaleziono fragmenty naczyń współczesnych (lub prawie współczesnych) okresowi ich wzniesienia, można przytoczyć badane przez autorów obiekty w Krasnej Wsi, stan. 1 i Talkowszczyźnie, stan. 1.

nych z ewentualnym użytkowaniem i zniszczeniem grodu (podfazy IB i IC), a także wyraźne odmienności, głównie w zakresie stylistyki, cechujące te wyroby w odniesieniu do naczyń z późniejszej fazy IIA–IIC. Jak już wspomniano (por. rozdz. VI.2.7), najmłodsze materiały pozyskane z nawarstwień fazy I datowane są na 1. połowę XI w., a zatem okres ten można uznać za najstarszy potencjalny moment wzniesienia grodu.

Dla uściślenia chronologii omawianej fazy osadniczej wykonano analizy radiowęglowe trzech próbek, z których wszystkie pobrano ze spalonego drewna dębowego. Dla węgla 409, pochodzących zapewne z jednej ze skrzyń znajdujących się na wewnętrznym obrzeżu umocnień (podfaza IA), uzyskano wynik 1120±60 BP (MKL-2263). Rzeczywisty wiek tej próbki po kalibracji z prawdopodobieństwem 95,4% mieści się w zakresie 771–1021 AD, a z prawdopodobieństwem 68,2% w latach 779–994 AD (ryc. VI.83: 1). Dla węgla z paleniska 382, odkrytego w obrębie nasypu wału (podfaza IA), otrzymano wynik 1080±70 BP (MKL-2262). Po kalibracji z prawdopodobieństwem 95,4% wiek tej próbki przypada na lata 770–1150 AD, zaś z prawdopodobieństwem 68,2% na 885–1024 AD (ryc. VI.83: 2). Trzecia analiza (MKL-2261) wykonana została dla spalonej deski 401, pochodzącej z konstrukcji znajdującej się u podstawy wału (podfaza IB). Uzyskany wynik (890±40 BP) po kalibracji z prawdopodobieństwem 95,4% daje rzeczywisty wiek próbki mieszczący się w przedziale 1034–1220 AD, a z prawdopodobieństwem 68,2% w latach 1049–1209 AD (ryc. VI.83: 3).



**Ryc. VI.83.** Suraż, pow. białostocki, stan. 1, wykop 4. Wyniki kalibracji analiz próbek węgla drzewnych z nawarstwień fazy I, wykonanych w Laboratorium Datowań Bezwzględnych w Ciano-wicach (według Szychowska-Krąpiec, Krąpiec 2013): 1 – spalone drewno 409 (podfaza IA); 2 – węgiel drzewny z paleniska 382 (podfaza IA); 3 – spalona deska 401 (podfaza IB)

Niewielka liczba analiz, a także szerokie zakresy wieku utrudniają interpretację wyników. Rezultaty otrzymane dla pierwszej próbki sugerują, że drzewo użyte do budowy wału zostało ścięte najpóźniej pod koniec 1. ćwierci XI w. Ponieważ jednak wydatowany fragment skrzyń

mógł zostać wykonany z wewnętrznych słoju grubeo dębu, to należy się liczyć z późniejszym czasem tego zdarzenia. Według analizy drugiej próbki najpóźniejszy moment wzniesienia nasypu wału mógłby przypadać nawet na połowę XII stulecia, co jednak stoi w sprzeczności z datowaniem materiałów ceramicznych pochodzących z omawianej oraz następną fazą użytkowania grodu. Wydaje się, że bliższy rzeczywistości jest wiek określony z prawdopodobieństwem 68,2%, według którego najpóźniejszy okres ścięcia drzewa to początek XI w. Nadal jednak należy pamiętać, że nie mamy pewności, z jakiej części drzewa pozyskano próbkę. Co prawda w przypadku węgla z paleniska można przypuszczać, że raczej nie spalono grubego pnia, lecz na przykład gałęzie (por. Kara 2009, 345 n.), jednak nie jest wykluczone, że wykorzystano także odpady po obróbce drewna użytego do wykonania większej konstrukcji. Na podstawie wyników analizy trzeciej próbki, pobranej z brzegu deski 401 (co nie przesądza o jej pochodzeniu z zewnętrznej części drzewa), podfazę IB można datować najwcześniej na 2. ćwierć XI w. Niestety brak pewności, czy wydatowana konstrukcja związana była już z okresem użytkowania grodu, czy też – co wydaje się nie mniej prawdopodobne – jeszcze z etapem wznoszenia umocnień. Nie wiemy również, ile czasu upłynęło między tymi wydarzeniami, choć niewielka liczba znalezisk i układy stratygraficzne sugerują, że podfazy IA i IB nastąpiły bezpośrednio po sobie.

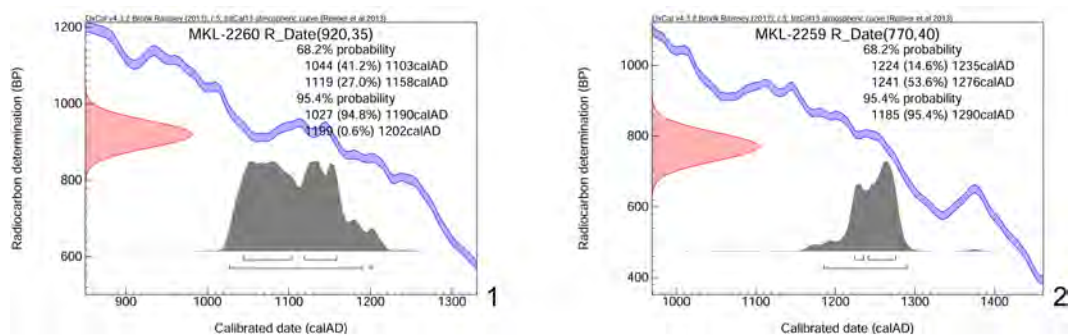
Na podstawie porównania wyników analiz radiowęglowych i wniosków płynących z opracowania ceramiki naczyńowej wzniesienie najstarszego rozpoznanego grodu można zatem z dużą ostrożnością datować na 1. połowę XI w. Na obecnym etapie badań zbyt ryzykowna byłaby próba dalszego uściślenia tej chronologii do 1. lub 2. ćwierci wspomnianego stulecia. Niewielka liczba materiałów pozyskanych ze struktur podfaz IB i IC nie pozwala też określić, jak długo gród był użytkowany. Jeżeli przyjmiemy jego związek z osadą fazy I, która opuszczona została przypuszczalnie około połowy XI w., to nasuwa się konkluzja, że był to obiekt o krótkim okresie funkcjonowania.

Na początek kolejnej fazy osadniczej (IIA–IIC) przypada gruntowna przebudowa grodu. W tym okresie powierzchnię majdanu nieco powiększono, a starszy nasyp wału podwyższono i wzmocniono od wewnątrz konstrukcją z drewna (ob. 431). Różnica między poziomem majdanu a koroną wału (nie uwzględniając stojącego na nim zapewne drewnianego płotu) dochodziła na przebadanym obszarze najprawdopodobniej do 1,6 m. Od strony zachodniej, bardziej narażonej na niebezpieczeństwo, umocnienia mogły być odpowiednio wyższe. Dla tego etapu funkcjonowania ośrodka poświadczony jest istnienie w przywałowej części majdanu zabudowy mieszkalnej, z której zachowały się m.in. pozostałości kamiennieo-glinianego pieca (ob. 386). Z powodu niewielkiego stopnia rozpoznania konstrukcji obronnych trudno jest je porównywać z innymi grodami mazowiecko-ruskiego pogranicza. Wały ośrodków w Święcku-Strumianach i Tykocinie miały bardziej rozbudowaną, drewniano-ziemną strukturę, w ostatnim przypadku dodatkowo wzmocnioną dużymi kamieniami (Perlikowska-Puszkarska 1981; Perlikowska-Puszkarska 1982; Stankiewicz 1983; Jaskanis 2008, 73–90). Natomiast umocnienia pozostałych grodów z tego okresu zostały przebadane w niewielkim zakresie, co uniemożliwia określenie ich charakteru. Wyjątkiem jest grodzisko w Paszkowszczyźnie, na którym odsłonięto drewniano-kamiennieo-ziemną konstrukcję nasypu wału (Krasnodębski 2000, 183–186).

Ceramika naczyniowa związana z opisywanym etapem funkcjonowania grodu wyraźnie różni się od materiałów ze starszego okresu. Jak już wspomniano (por. rozdz. VI.2.7), chronologia wyrobów najbardziej typowych dla tej fazy mieści się w szerokim przedziale czasowym, obejmującym przypuszczalnie 2. połowę XI – XII w. Datowania tego nie uściśliły rezultaty dwóch analiz radiowęglowych, uzyskanych dla próbek pobranych z zewnętrznych części dębowych belek, tworzących konstrukcję zabezpieczającą podstawę nasypu wału (ob. 431). Analiza belki 338 przyniosła wynik  $920 \pm 35$  BP (MKL-2260), który po kalibracji z prawdopodobieństwem 95,4% daje zakres lat 1027–1202 AD, zaś z prawdopodobieństwem 68,2% lata 1044–1158 AD (ryc. VI.84: 1). Z drugiej belki (w. 351) otrzymano pomiar wieku wynoszący  $770 \pm 40$  BP (MKL-2259). Po kalibracji z prawdopodobieństwem 95,4% mieści się on w latach 1185–1290 AD, natomiast z prawdopodobieństwem 68,2% w latach 1224–1276 AD (ryc. VI.84: 2).

Interpretacja otrzymanych rezultatów nastrocza wielu trudności. Zazębiające się lata mogą wskazywać na wzniesienie konstrukcji 431 w ostatniej ćwierci XII lub na początku XIII stulecia. Takie datowanie podfazy IIA wydaje się jednak zbyt późne w stosunku do materiałów pozyskanych z nawarstwień związanych z użytkowaniem i zniszczeniem grodu (podfazy IIB i IIC). Jeśli przyjmiemy, że uzyskane rezultaty są prawidłowe, to rozbieżności te można wyjaśnić na dwa sposoby. Według jednej z hipotez belka 351, z której otrzymano młodszą datę, jest świadectwem naprawy umocnień, wykonanej pod koniec trwania omawianej fazy. Natomiast według innej opcji ma ona związek z odbudową grodu w kolejnym okresie (faza IID), w wyniku której część konstrukcji 431, znajdująca się na obszarze niezajętym pod zabudowę przywałową, została naprawiona lub być może nawet wzniesiona całkowicie od nowa. W przypadku przyjęcia drugiej interpretacji nie można wykluczyć, że również belka 338 pochodzi z fazy IID. W tym przypadku wynikający z porównania obu analiz okres przełomu XII i XIII w. mógłby się odnosić do momentu zniszczenia grodu w fazie IIA–IIC i jego odbudowy w fazie IID–IIE. Jest to jednak wyłącznie hipoteza, która wymaga potwierdzenia przez kolejne datowania radiowęglowe.

W określeniu czasu budowy grodu fazy IIA–IIC pomocne mogą być ustalenia odnoszące się do położonej na zachód od niego osady przyгородowej i cmentarzyska szkieletowego. Z początkiem tego okresu związane są prawdopodobnie zaobserwowane na osadzie zmiany w jej rozplanowaniu, polegające na założeniu nekropoli w miejscu starszej zabudowy mieszkalnej (Krasnodębski, Olczak 2014, 182). Jak już wspomniano, koniec użytkowania osady fazy I przypada zapewne na połowę XI w. Funkcjonowanie cmentarza jest dobrze poświadczane dopiero od XII w., nie można jednak całkowicie wykluczyć, że jego początek sięga już 2. połowy lub końca poprzedniego stulecia (Bieńkowska 2005a, 143; Olczak, Krasnodębski, Bieńkowska 2019, 87 n.). Zmianom tym towarzyszyły istotne przeobrażenia w zakresie wytwórczości garncarskiej. Pojawiające się w tym czasie (faza II) na osadzie naczynia stanowią formy w starszym okresie zupełnie nieznane. Ponadto, w żadnym z obiektów nie wystąpiły wyroby charakterystyczne dla obu etapów jej użytkowania, nie stwierdzono też egzemplarzy reprezentujących stadium pośrednie. Zjawiska te wskazują na poważne zmiany o charakterze osadniczym, związane przypuszczalnie z napływem nowej ludności i poprzedzone być może przerwaniem ciągłości zasiedlenia. Jeżeli słuszna jest hipoteza, że wzniesienie grodu fazy IIA–IIC wiąże się z tym nowym etapem w funkcjonowaniu całego ośrodka, to najbardziej prawdopodobnym okresem, w którym to mogło nastąpić, jest 2. połowa XI w., zaś uwzględniając ewentualny hiatus osadniczy, przełom XI i XII stulecia.



**Ryc. VI.84.** Suraż, pow. białostocki, stan. 1, wykop 4. Wyniki kalibracji analiz próbek pochodzących ze spalonych belek konstrukcji 431 (faza IIA–IIC?), wykonanych w Laboratorium Datowań Bezwzględnych w Cianowicach (według Szychowska-Krąpiec, Krąpiec 2013): 1 – belka 338; 2 – belka 351

Trudności sprawia także określenie czasu spalenia grodu fazy IIA–IIC (lub jego części) i odbudowy w fazie IID–IIE. Ten etap funkcjonowania warowni był zapewne bezpośrednią kontynuacją osadnictwa z poprzedniego okresu. Potwierdza to zarówno brak śladów gruntownej przebudowy konstrukcji obronnych, jak i wzniesienie chaty z piecem prawie w tym samym miejscu, w którym znajdowała się ona w poprzedniej fazie. Niewielkie przesunięcie zabudowy w kierunku północno-wschodnim wskazuje, że powiększono nieco powierzchnię majdanu. Ciągłość osadnictwa do pewnego stopnia widoczna jest też w wytwórczości garncarskiej. Ze względu na brak analiz wykonanych metodami przyrodniczymi datowanie grodu fazy IID–IIE można oprzeć wyłącznie na wnioskach płynących z opracowania materiałów zabytkowych. Mają one jednak szeroką chronologię, obejmującą okres od XII do co najmniej 3. ćwierci XIII w. (por. rozdz. VI.2.7 i VI.3). Wydaje się, że odbudowa grodu nastąpiła jeszcze w XII w. Oprócz ceramiki (garnki RF-IVB) świadczy o tym znalezisko kabłączka skroniowego typu III, odmiany B, która najbardziej rozpowszechniona była w tym stuleciu (Rauhut 1971, 473; Kóčka-Krenz 1971, 110, tab. II; Kóčka-Krenz 1993, 48 n.). Jednocześnie zaś pojawiające się w omawianej fazie wysokiej jakości wyroby garncarskie (naczynia RF-IC i RF-IIIA o wylewach typu XXXI) nawiązują do ceramiki produkowanej w XIII w. Ponieważ garnki te wytwarzane były w niezmięnionej formie również w następnym okresie, to wydaje się, że między końcem użytkowania opisywanej warowni a jej odbudową w kolejnej fazie III (około połowy XIII w., por. dalej) nie upłynęło dużo czasu. W związku z powyższym funkcjonowanie grodu fazy IID–IIE można umieścić w okresie od 2. połowy XII lub przełomu XII i XIII w. do około połowy XIII stulecia. Jest bardzo prawdopodobne, że jego spalenie nastąpiło w podobnych okolicznościach i momencie, co zniszczenie ośrodków w Tykocinie i Święcku, które miało miejsce w 1. połowie lub około połowy XIII w. (Jaskanis 2008, 101; Pacuski 2019, 25). Z powodu braku datowań wykonanych metodami przyrodniczymi i materiałów porównawczych dla części ceramiki naczyniowej zaproponowane ramy czasowe tej fazy są jednak wyłącznie hipotetyczne.

W fazie III po raz kolejny odbudowano gród po zniszczeniach spowodowanych przez pożar. Na przebadanym obszarze nie zarejestrowano wyraźnych śladów przebudowy konstrukcji obronnych, odkryto natomiast pozostałości chaty. Zabudowa przesunięta została na północny wschód w stosunku do domostwa z poprzedniej fazy, przez co powtórnie po-



większono powierzchnię majdanu. Początek omawianej fazy wiąże się prawdopodobnie z poważnymi przemianami społeczno-ekonomicznymi, które nastąpiły w tym czasie na terenie międzyrzecza górnej Narwi i środkowego Bugu, spowodowanymi przez wydarzenia polityczne (por. rozdz. XIII). W dziedzinie kultury materialnej ich świadectwem są m.in. znacznie lepiej uchwytnie niż w poprzednim okresie zmiany w produkcji garncarskiej. Polegały one z jednej strony na pojawieniu się tzw. naczyń archaizujących, będących przejawem regresu w wytwórczości garncarskiej, z drugiej zaś na wprowadzeniu nowych form, nawiązujących to ceramiki znanej z ośrodków położonych na obszarze Rusi. Oba te zjawiska są dość precyzyjnie datowane na okres począwszy od około połowy XIII w. (por. rozdz. VI.2.7). Wydaje się zatem, że gród suraski należał do tych obiektów, które – inaczej niż Święck i Tykocin – przetrwały nękające te tereny najazdy jaćwieskie i litewskie i nadal funkcjonowały w 2. połowie XIII stulecia (por. rozdz. XIII). Brak natomiast zupełnie przesłanek do określenia momentu opuszczenia warowni tej fazy. Ze względu na znaczną miąższość warstw kulturowych można jedynie przypuszczać, że była ona użytkowana przez co najmniej kilka dziesięcioleci. Równie prawdopodobne wydaje się, że gród przestał funkcjonować jeszcze w 2. połowie XIII w., jak i na początku następnego stulecia. Brak znalezisk ceramiki późnośredniowiecznej w nawarstwieniach tego poziomu osadniczego nie pozwala jednak na przesunięcie tego wydarzenia daleko w głąb XIV w.

Podsumowując informacje na temat suraskiego grodu we wczesnym średniowieczu, trzeba jeszcze raz podkreślić, że zaprezentowane wyżej wnioski wysunięto na podstawie rozpoznania niewielkiej części stanowiska. Funkcjonowanie umocnień w tym okresie zamyka się prawdopodobnie między 1. połową XI a 2. połową XIII lub początkiem XIV w., jednak ustalenia te mogą być obarczone pewnym błędem. Na przebadanym obszarze wyróżniono cztery główne fazy użytkowania obiektu, oddzielone zniszczeniami konstrukcji obronnych w wyniku kolejnych pożarów. Jest bardzo prawdopodobne, że nie wszystkie najważniejsze etapy w jego historii pozostawiły materialne ślady, które zostały dostrzeżone i właściwie zinterpretowane. Ze względu na niewielki zakres badań i późniejsze przebudowy trudne do określenia są także dokładne rozmiary grodu. Niewątpliwie o jego walorach obronnych i znaczeniu decydowało położenie na wysokiej skarpie rzecznej, w niedalekiej odległości od miejsca dogodnej przeprawy na Narwi.

## **Chapter VI. The stronghold in Suraz in the Early Middle Ages**

Hanna Olczak, Dariusz Krasnodębski

### Summary

Information on stratigraphy and character of settlement structures of the early medieval stronghold comes mainly from the interpretation of the results of the research in the trench No. 4 from 2013. It was situated in the north-eastern part of the stronghold, on the border of the rampart and the fairground. Four main settlement phases were separated there: I, IIA–IIC, IID–IIE and III. In the trenches 1–3, relics from the early medieval period were not preserved. Only a few archaeological materials dating back to this period have been discovered there.

The oldest phase was probably connected with the building of the first stronghold on a high river slope (sub-phase IA). At that time, an earthen rampart was built, reinforced with a wooden box structure (layers 347, 397). The total height of the rampart was about 2.3 m, however, its base was not reached. It seems that the rampart was built on an artificial embankment, the task of which was to raise and at the same time to level the surface of the upland falling towards the river. A fragment of

a large pit of unknown function was discovered at the inner base of the rampart (feature 412). It could have been formed as a result of sand extraction for the construction of the rampart. The burnt oak beams discovered in the south-western corner of the trench (layers 394, 395, 401, 405) come from the sub-phase IB, which is probably the second stage of the construction and use of the stronghold. The arrangement of the beams indicates that it was a layered structure, forming a kind of platform at the inner base of the rampart. In the sub-phase IC, the stronghold was burnt and abandoned.

The next phases, IIA–IIC and IID–IIE, were the main period of functioning of the early medieval stronghold. During this period (sub-phase IA) the older rampart was raised. Sand and clay were used as a building material, and the top of the rampart was reinforced with stone facing (layer 271). The height of the earth embankment was probably about 1.6 m. Two features were dug into the upper part of the rampart, which can be interpreted as post-holes. They were probably connected with a wooden structure placed at the top of the rampart, for example a fence. The larger pit was about 1 m in diameter and about 0.95 m deep (feature 302), while the smaller one was about 0.4 m in diameter and about 0.5 m deep (feature 293). From the side of the fairground, the rampart was reinforced with a wooden structure (feature 431). In the western part of the trench it was very poorly preserved. In contrast, in the south-eastern part of the trench, two rows of oak beams parallel to the rampart line were preserved, with smaller pieces lying perpendicularly. However, it is not certain whether the beams discovered there come from the discussed phase, or whether they are connected with a possible repair of the structure, which could have taken place in the next phase (IID). The relics of an oven (feature 386) come from the sub-phase IIB related to the use of the fairground. A stone hearth, partially lined with clay, has survived. The oven was probably inside a building to which two post-holes may be connected. Both the wooden structures of the rampart and the buildings were burnt in the sub-phase IIC.

The next phase (IID–IIE) probably took place immediately after the previous destruction. This is confirmed by the lack of traces of a thorough reconstruction of the rampart and the similar layout of the fairground as in the previous period. The reconstruction of the fortifications (sub-phase IID) was limited to building a wooden and clay fence at the top of the rampart, from which a layer of clay pug has been preserved. A fragment of the construction No. 431, preserved in the south-eastern part of the trench, was probably also used as one of the fortification elements. However, it cannot be ruled out that this part was completely rebuilt. A house built during this period was located almost in the same place as the house from the phase IIA–IIC, it was only moved towards the rampart. Four post-holes (features 314, 325, 372 and 376) and a stone oven (feature 323) were its remains. The oven was probably rectangular in shape and consisted of vertically placed large flat granite stones, which supported a dome made of clay-bonded smaller stones. The hearth was lined with small stones and covered with clay. From the same phase comes the cultural and destructive layer (No. 308 and 308/1), in which, among other things, a large number of clay pug with structural imprints, almost 1000 fragments of pottery vessels and about 500 pieces of animal bones were found. In the sub-phase IIE, the stronghold was destroyed by fire.

In the sub-phase IIIA, the stronghold was rebuilt by levelling the surface of the fairground and probably removing some of the older layers. Probably the rampart was also raised (layers 255 and 255/1). The sub-phase IIIB is related to the remains of the building, which, compared to the previous period, was moved further towards the river. Thus, the area of the fairground was enlarged once again. The remains of the north-eastern wall of the house have been preserved, in the form of a pine beam about 3 m long (layer 311). There was a cultural layer connected with the house, in which over 500 fragments of vessels and about 1300 pieces of animal bones were found (layer 289). In the sub-phase IIIC, the early medieval stronghold was abandoned.

As a result of the excavation, 3863 fragments of pottery from the Early Middle Ages were found. The most numerous collection, consisting of 3643 fragments, was discovered in the trench No. 4. Only 72 vessel fragments come from the phase I. 438 ceramic fragments are connected with the phase

IIA–IIC, 1298 fragments with the phase IID–IIE and 679 fragments with the phase III. Most of the vessels (3834 fragments) were made on a potter's wheel using a coiling technique and thrown on the whole surface. Few fragments come from hand-made or partially thrown vessels. Some of the vessels probably were also made using the coil throwing technique. Most of the vessels were made of ferruginous clay tempered with an admixture of crushed stone. Apart of that, only a few fragments of vessels made of white-burning clay were found. The main group of vessels consisted of various types of pots, among which items with S-shaped necks were distinguished, as well as vessels with straight neck, clearly separated from the body. There were varied shapes of the edges of the rims. The fragments of tableware, such as bowls and cups, were few and poorly preserved. The vessels were usually decorated with incised horizontal grooves. Only a few of them were ornamented with multiple patterns.

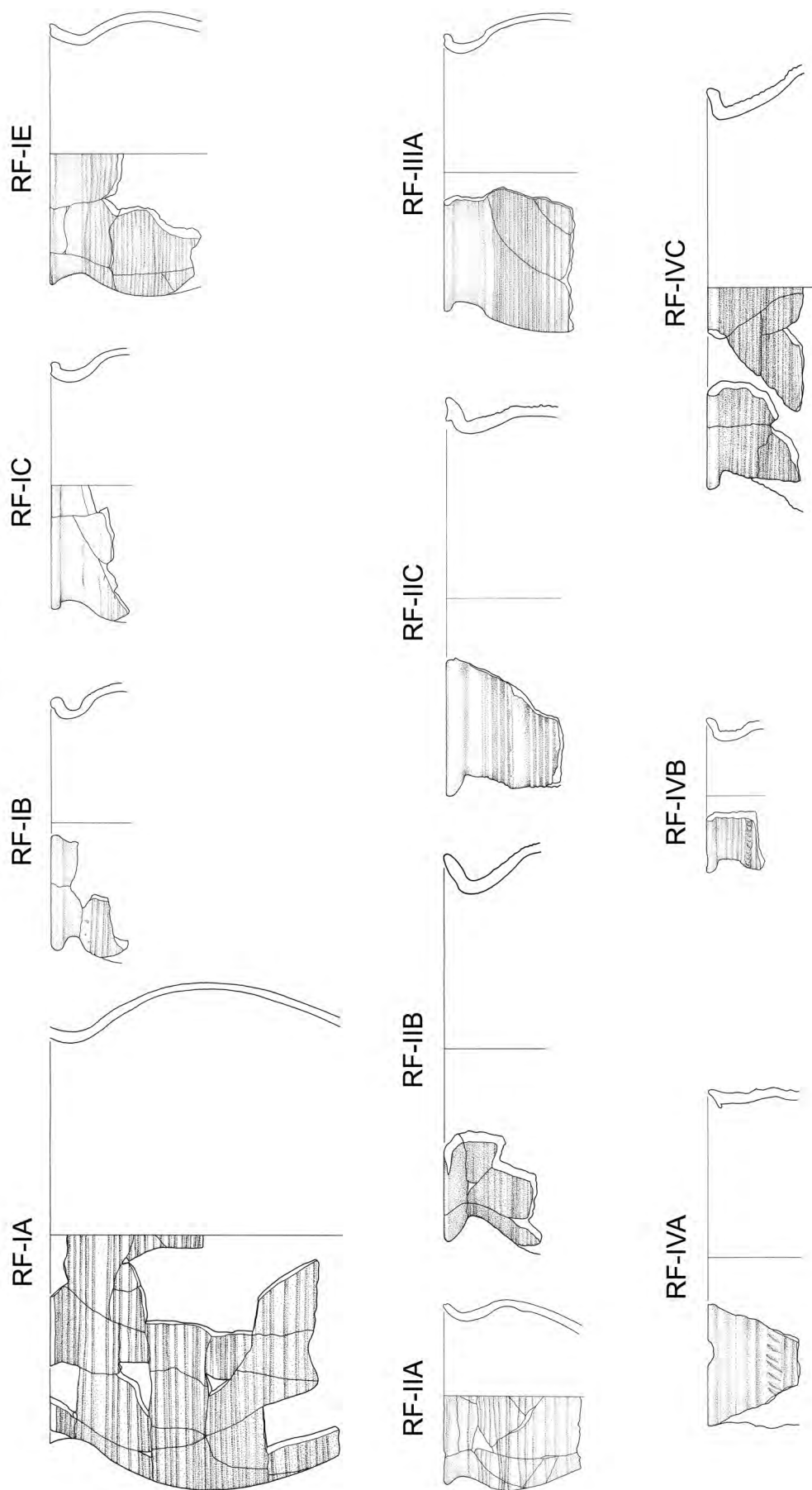
The vessels of the oldest settlement phase (I) are dated from the middle of the 10<sup>th</sup> to the middle of the 11<sup>th</sup> century. In terms of the technique, forms and decorations, they are similar to the pottery from the older phase (I) of the settlement accompanying the stronghold. Analogous materials were found, among others, on the stronghold in Zajączki, Białystok district, the site No. 1, and on the settlement complex in Hački, Bielsk Podlaski district. The vessels of the two consecutive phases (IIA–IIC and IID–IIE) are products with a higher level of technological advancement and of a different style. They have analogies among the pottery from the younger phase (II) of the settlement accompanying the stronghold and from the settlement in Daniłowo Małe, Białystok district, the site No. 6. They also clearly refer to the pottery found on the strongholds of north-eastern Mazovia, such as Święck-Strumiany, Wysokie Mazowieckie district, the site No. 1, Tykocin, Białystok district, the site No. 1 and Brańsk, Bielsk Podlaski district, the site No. 1, as well as from western and northern Mazovia and from Drohiczyń, Siemiatycze district. During the phase IID–IIE, in addition to the vessels used in the previous period, a new type of pots appeared. They have no analogy among the materials originating from the settlement accompanying the stronghold and from other sites of the Upper Narew and Middle Bug Rivers basins, which suggests that they may have been produced especially for the stronghold. The pottery of the phases IIA–IIC and IID–IIE can be dated from the second half of the 11<sup>th</sup> century to about the middle of the 13<sup>th</sup> century. Further significant changes in pottery production took place in the phase III. Pots with shapes and rims characteristic of the pottery of Kievan Rus' among others come from this period. Similar vessels were discovered on the stronghold in Drohiczyń and on the settlement in Bielsk Podlaski, the site No. 2. They are usually dated between the 11<sup>th</sup> and 13<sup>th</sup> century, but it seems that they appeared in Suraz not earlier than around the middle of the 13<sup>th</sup> century.

Apart from the fragments of vessels, a small number of other artefacts was found in layers of the phases IIA–IIC, IID–IIE and III. The category of ornaments includes three glass beads and an S-shaped temple ring made of copper. The tools include three clay spindle whorls, a fragment of a clay tuyère, several whetstones and iron artefacts, including three fragments of knives. Several tools and semi-finished products made of bones and antlers were also discovered, among which an arrow-head deserves attention. Three artefacts found in younger layers – a fragment of an iron axe and two clay fishing net weights – can also be associated with the early medieval period.

On the basis of archaeological materials and results of radiocarbon analyses, the stronghold construction of the phase I can be dated to the first half of the 11<sup>th</sup> century. Most likely, it functioned for a very short time and was already destroyed around the middle of this century. At the same time, the settlement accompanying the stronghold was also abandoned. The construction of the stronghold of the phase IIA–IIC probably took place in the second half of the 11<sup>th</sup> century or at the turn of the 11<sup>th</sup> and 12<sup>th</sup> centuries and could have been preceded by a settlement hiatus. In the second half of the 12<sup>th</sup> century or around the turn of the 12<sup>th</sup> and 13<sup>th</sup> centuries, the stronghold of the phase IIA–IIC was probably destroyed and soon afterwards rebuilt in the phase IID–IIE. The end of the phase IID–IIE, and at the same time the beginning of the last early medieval phase III was probably in the middle

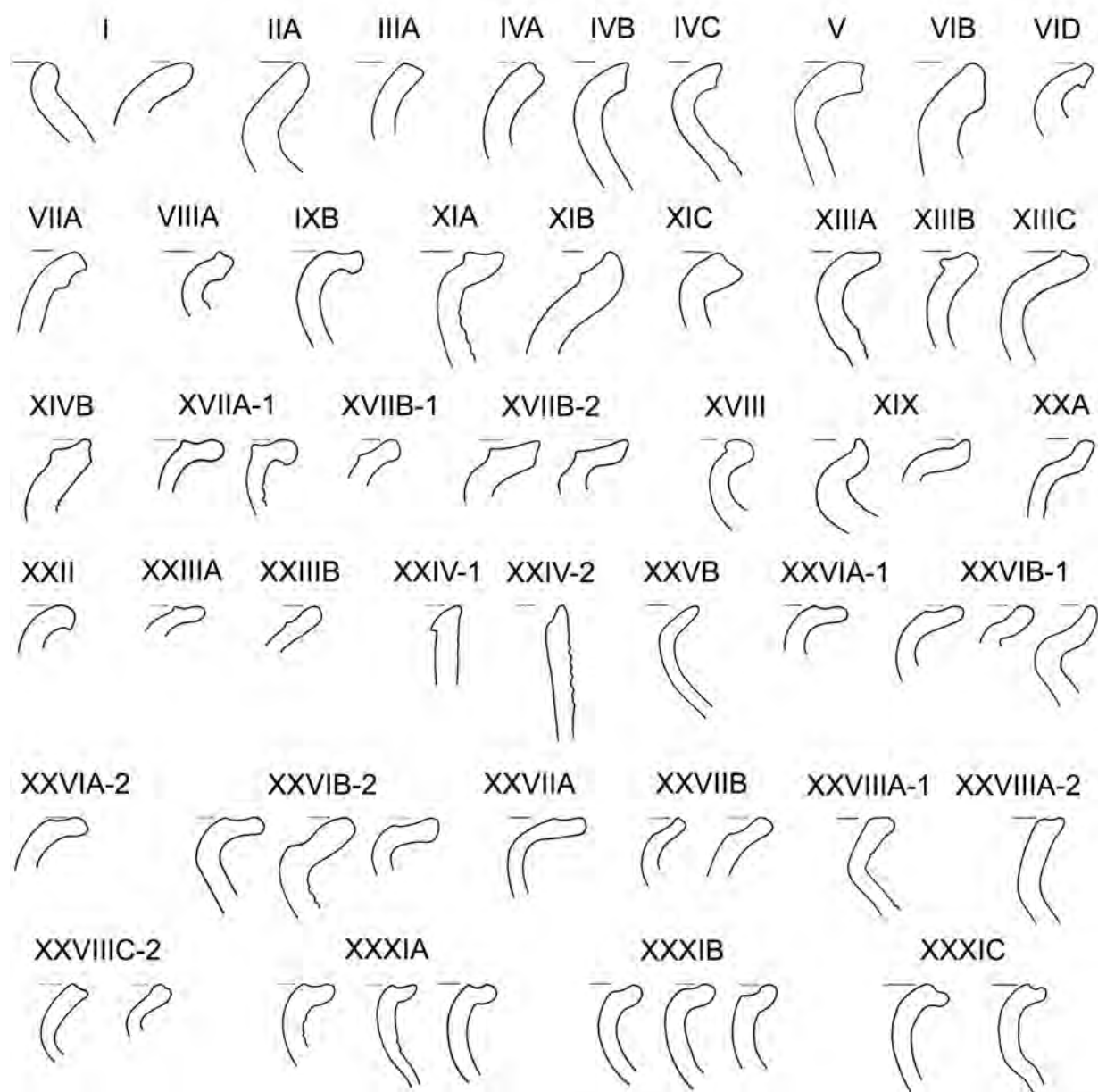
of the 13<sup>th</sup> century. There are no grounds to determine the date of abandoning the stronghold in this phase, it can only be assumed that it took place in the second half of the 13<sup>th</sup> century or at the turn of the 13<sup>th</sup> and 14<sup>th</sup> centuries.

## RODZINY FORM NACZYŃ

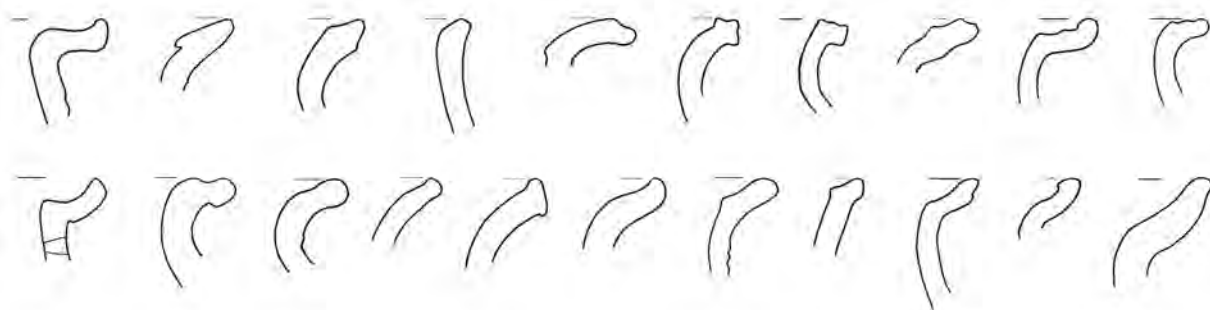


**Tabl. VI.1.** Suraż, pow. białostocki, stan. 1. Rodziny form naczyń wczesnośredniowiecznych (na podstawie materiałów pochodzących z badań z 1936 i 2013 r.). Rys. W. Kurasz, G. Nowakowska, H. Olczak

## TYPY WYLEWÓW

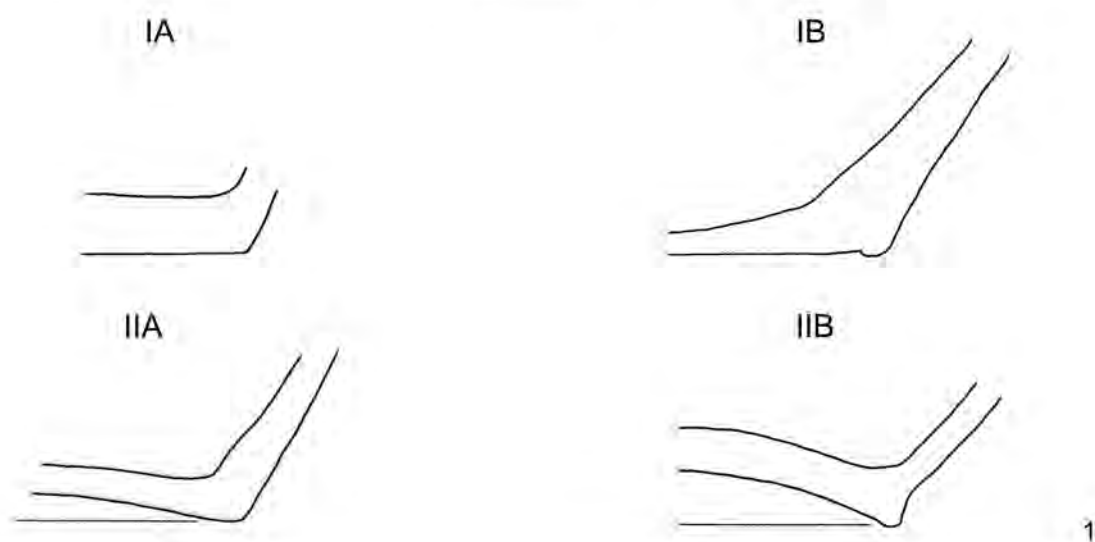


## FORMY JEDNOSTKOWE

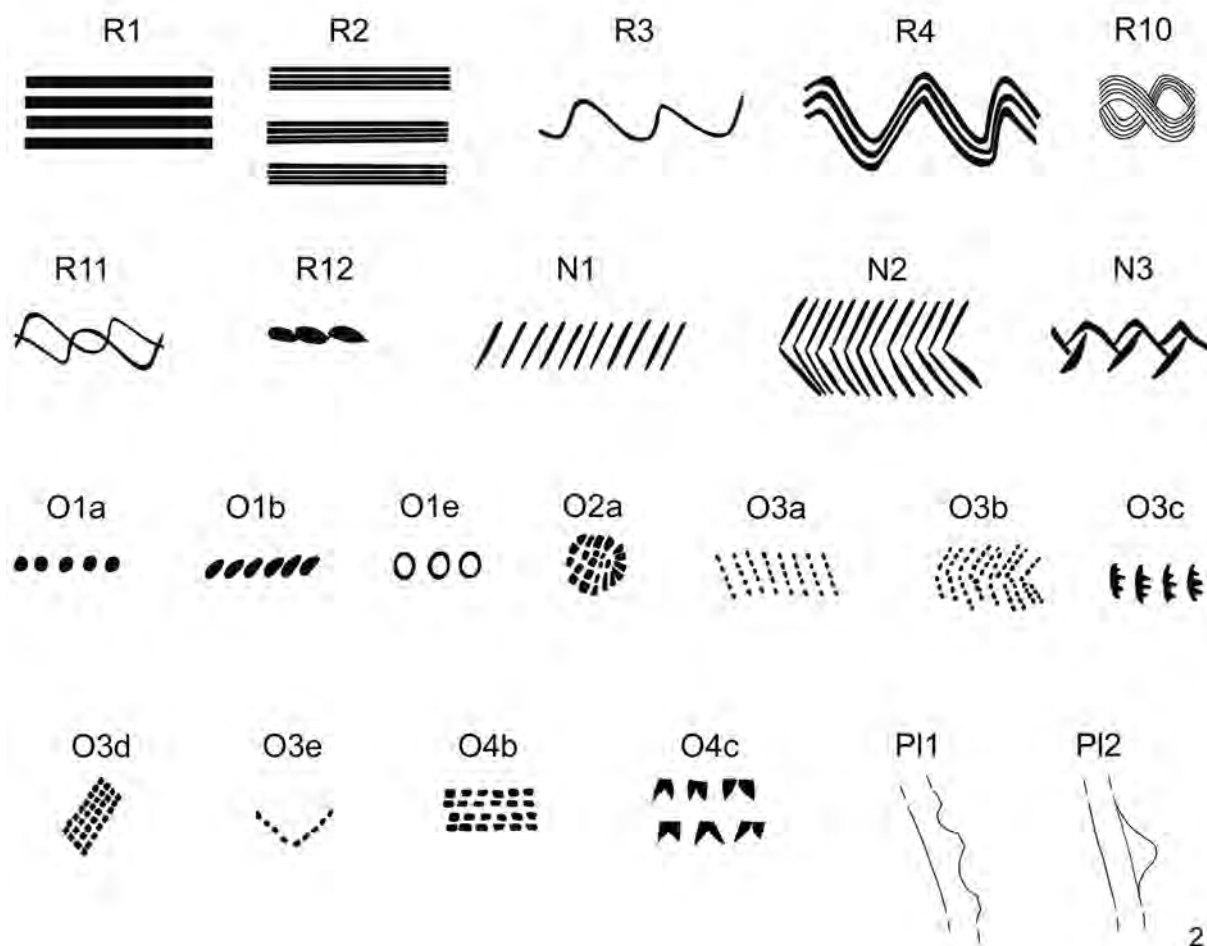


**Tabl. VI.2.** Suraż, pow. białostocki, stan. 1. Typologia wylewów naczyń wczesnośredniowiecznych.  
Oprac. H. Olczak

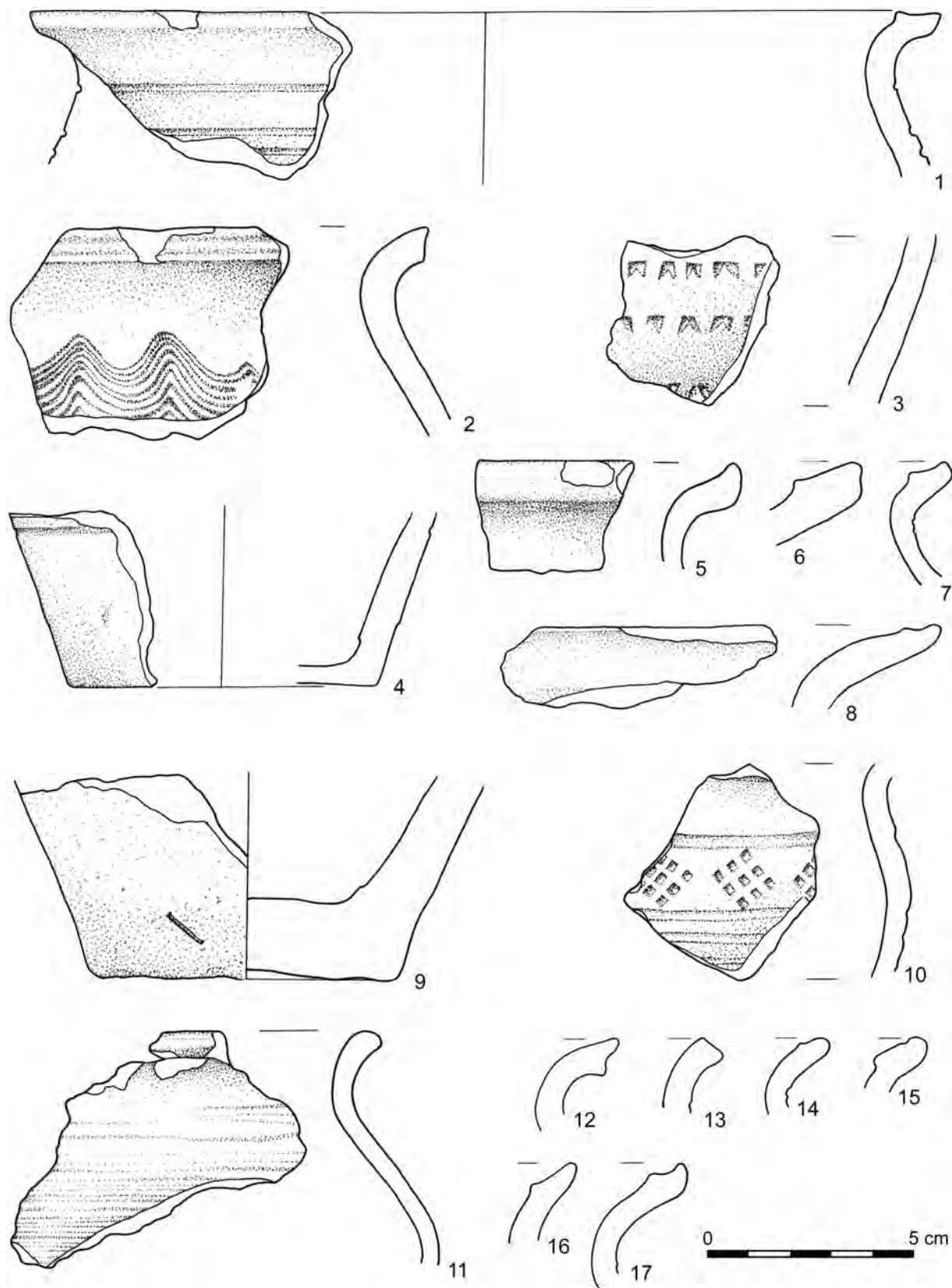
### TYPY DEN



### TYPY ORNAMENTÓW

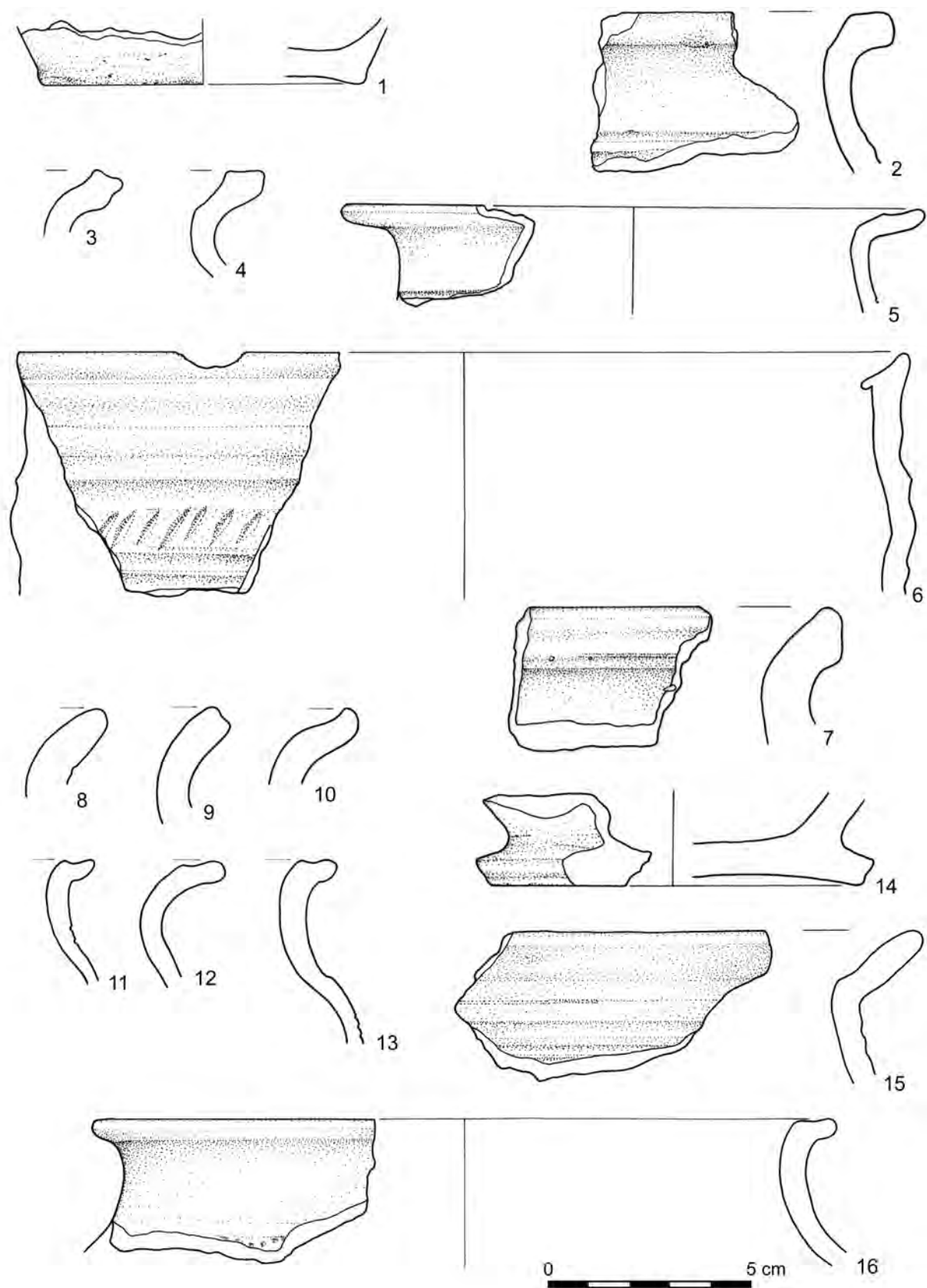


Tabl. VI.3. Suraż, pow. białostocki, stan. 1. Typologia den (1) i ornamentów (2) naczyń wczesnośredniowiecznych. Oprac. H. Olczak

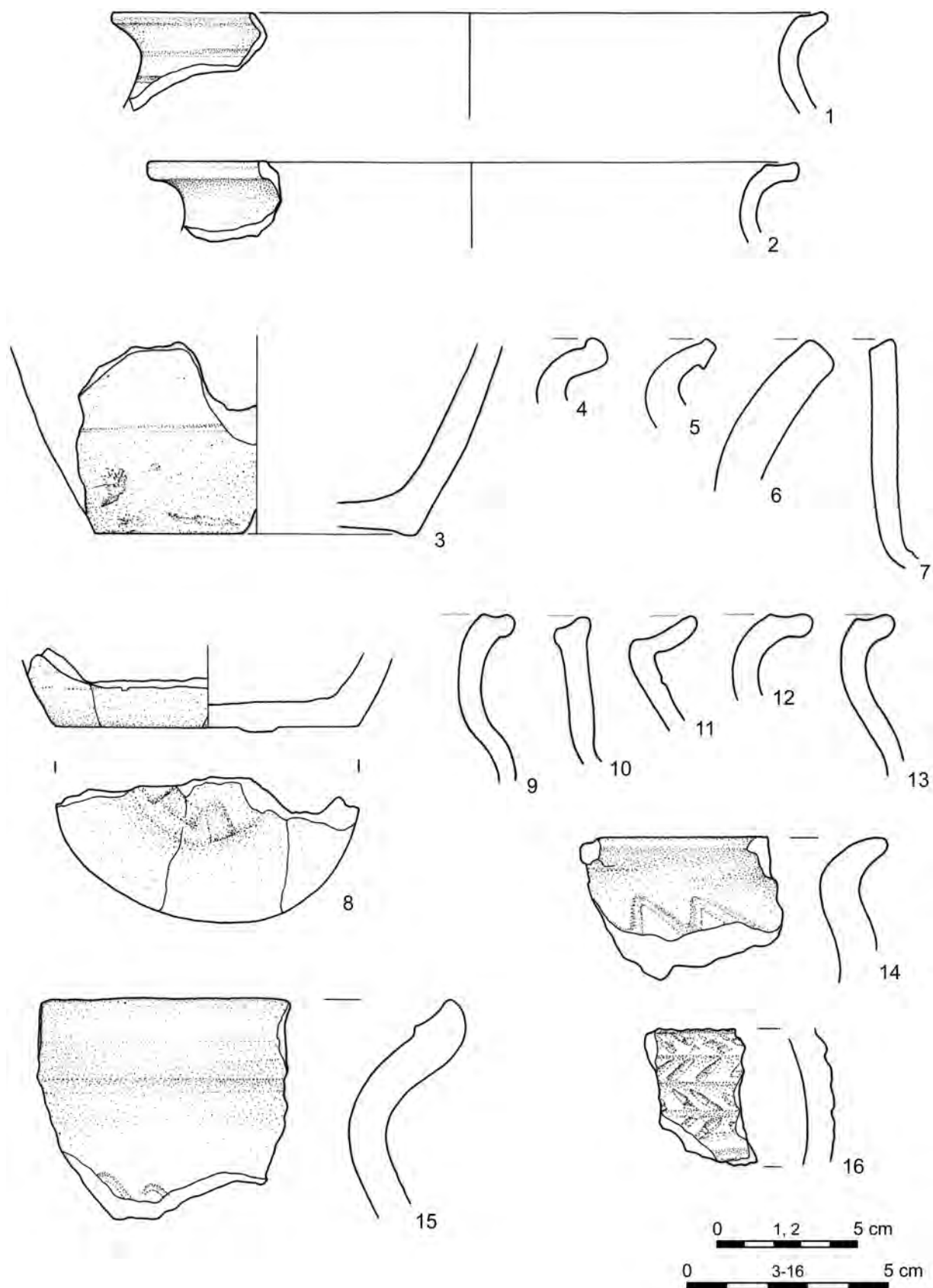


**Tabl. VI.4.** Suraż, pow. białostocki, stan. 1, wykopy 1 i 2. Wybór fragmentów ceramiki wczesnośredniowiecznej: 1 – w. 11; 2, 3 – ob. 59, w. 21; 4 – ob. 73, w. 44/1; 5 – w. 51; 6 – w. 30; 7 – w. 53; 8 – ob. 72, w. 71; 9 – w. 22; 10, 11 – w. 65, 66 lub 67; 12– w. 15; 13–15 – w. 24; 16, 17 – w. 69. Rys. B. Jakubowska, G. Nowakowska, H. Olczak, A. Poniewierska

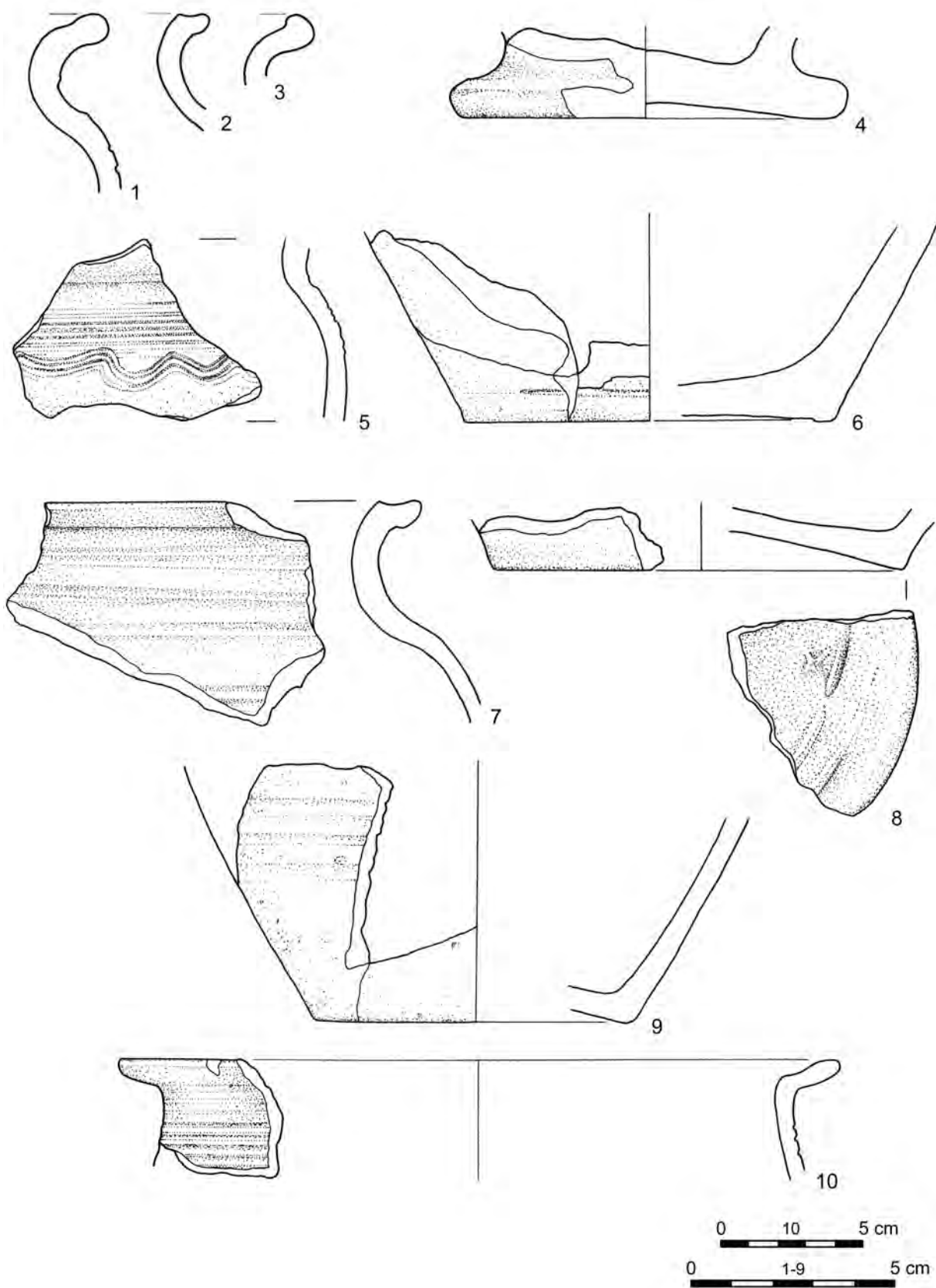




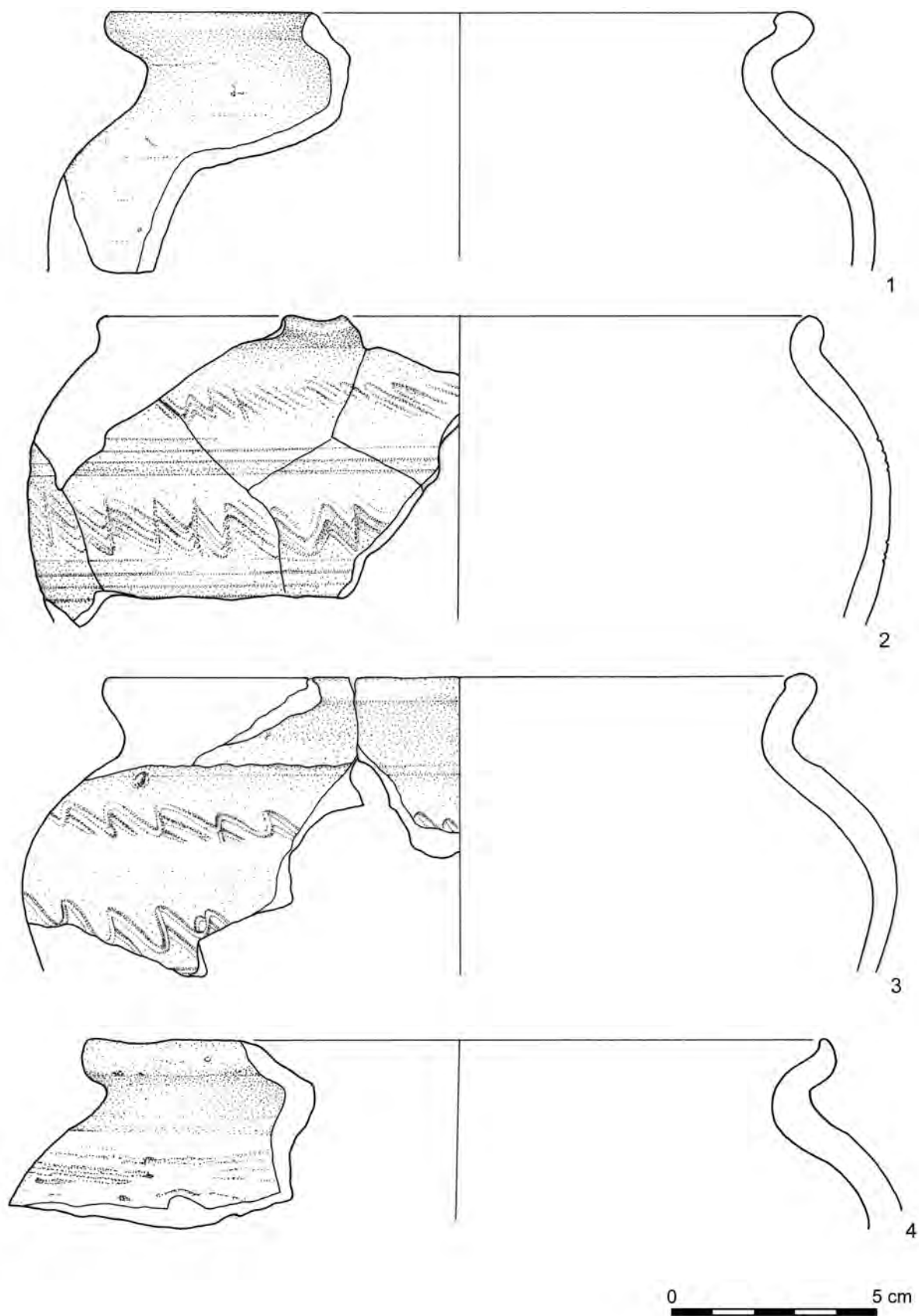
**Tabl. VI.5.** Suraż, pow. białostocki, stan. 1, wykopy 2–4. Wybór fragmentów ceramiki wczesnośredniowiecznej (1, 5–16) oraz z przełomu wczesnego i późnego średniowiecza (2–4): 1, 2 – w. 15; 3, 4 – w. 69; 5 – w. 35/1–35/4; 6 – w. 124; 7 – ob. 201, w. 300; 8–12, 14 – ob. 206, w. 290; 13 – ob. 206 (w. 290) lub w. 289; 15, 16 – w. 262 (faza IIA–IIC). Rys. G. Nowakowska, H. Olczak, A. Poniwieńska



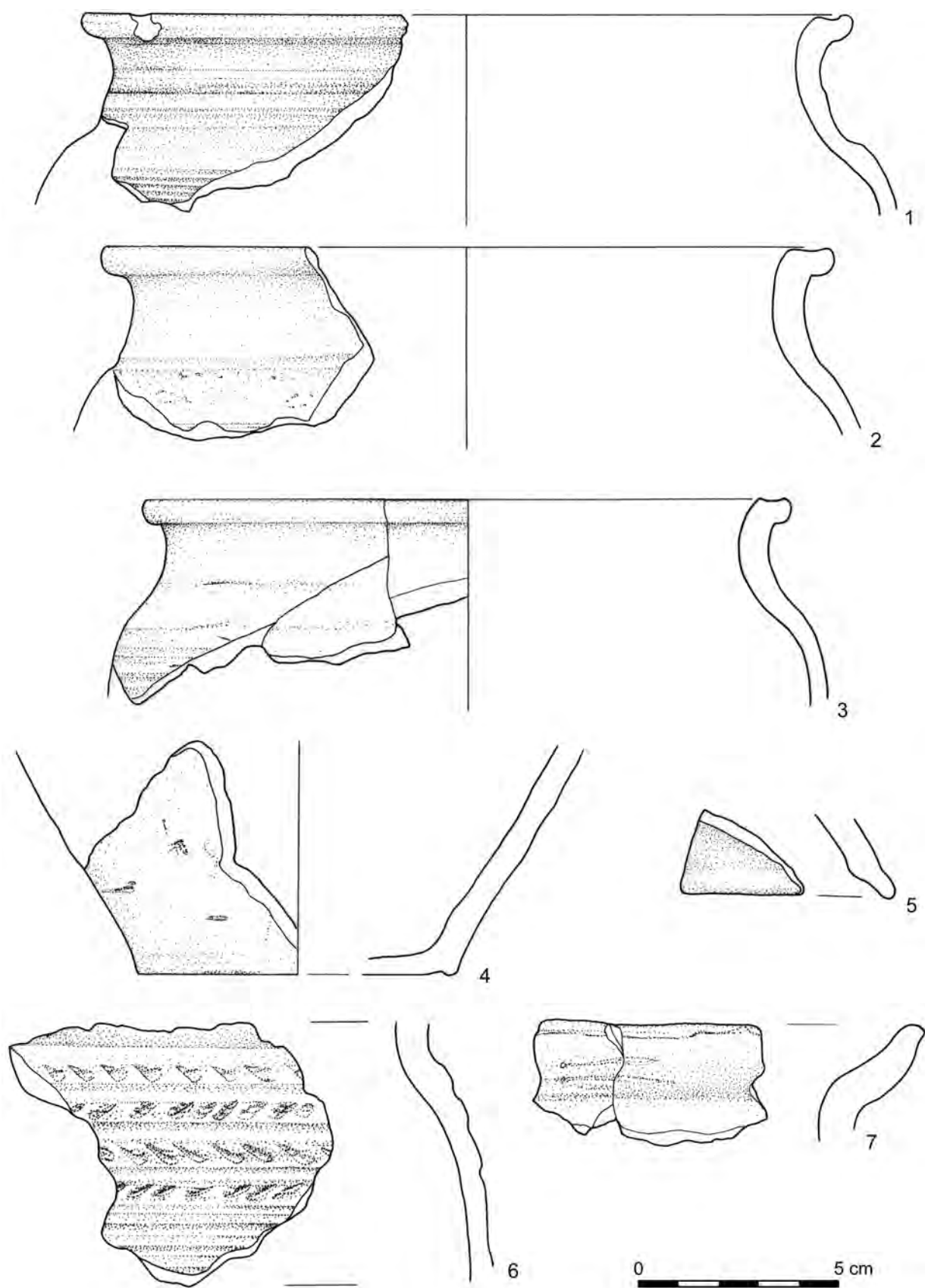
**Tabl. VI.6.** Suraż, pow. białostocki, stan. 1, wykop 4. Wybór fragmentów ceramiki wczesnośrednio-wiecznej: 1-7 – w. 262 (faza IIA-IIC); 8-16 – w. 260. Rys. G. Nowakowska, H. Olczak, A. Poniewierska



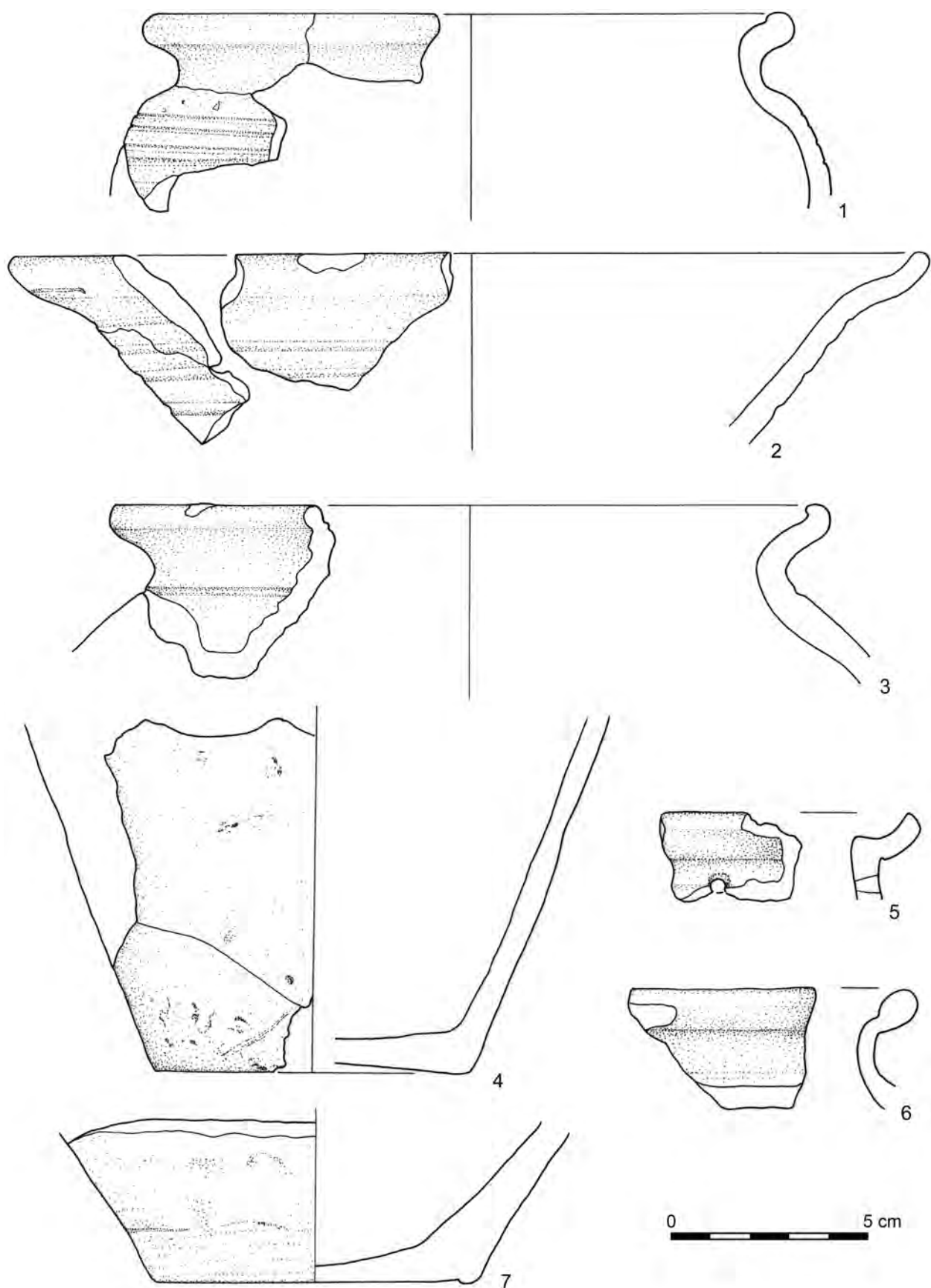
**Tabl. VI.7.** Suraż, pow. białostocki, stan. 1, wykop 4. Wybór fragmentów ceramiki wczesnośredniowiecznej: 1 – w. 241; 2, 5 – w. 255 lub 289 (faza III?); 3, 4 – w. 255 (faza III?); 6–10 – w. 289 (faza III). Rys. G. Nowakowska, H. Olczak, A. Poniewierska



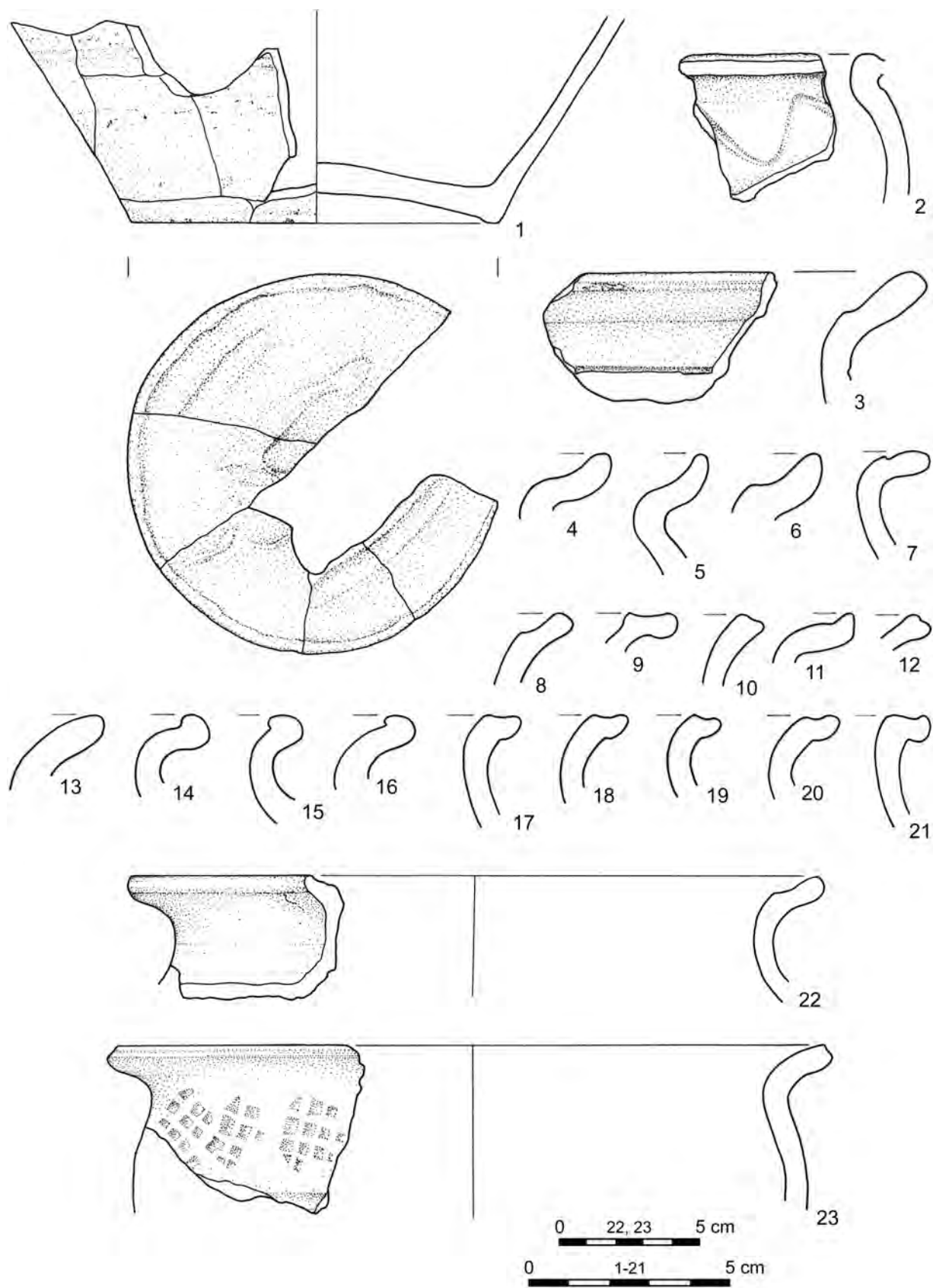
**Tabl. VI.8.** Suraż, pow. białostocki, stan. 1, wykop 4. Wybór fragmentów ceramiki wczesnośrednio-wiecznej z warstwy 289 (faza III). Rys. G. Nowakowska, H. Olczak, A. Poniewierska



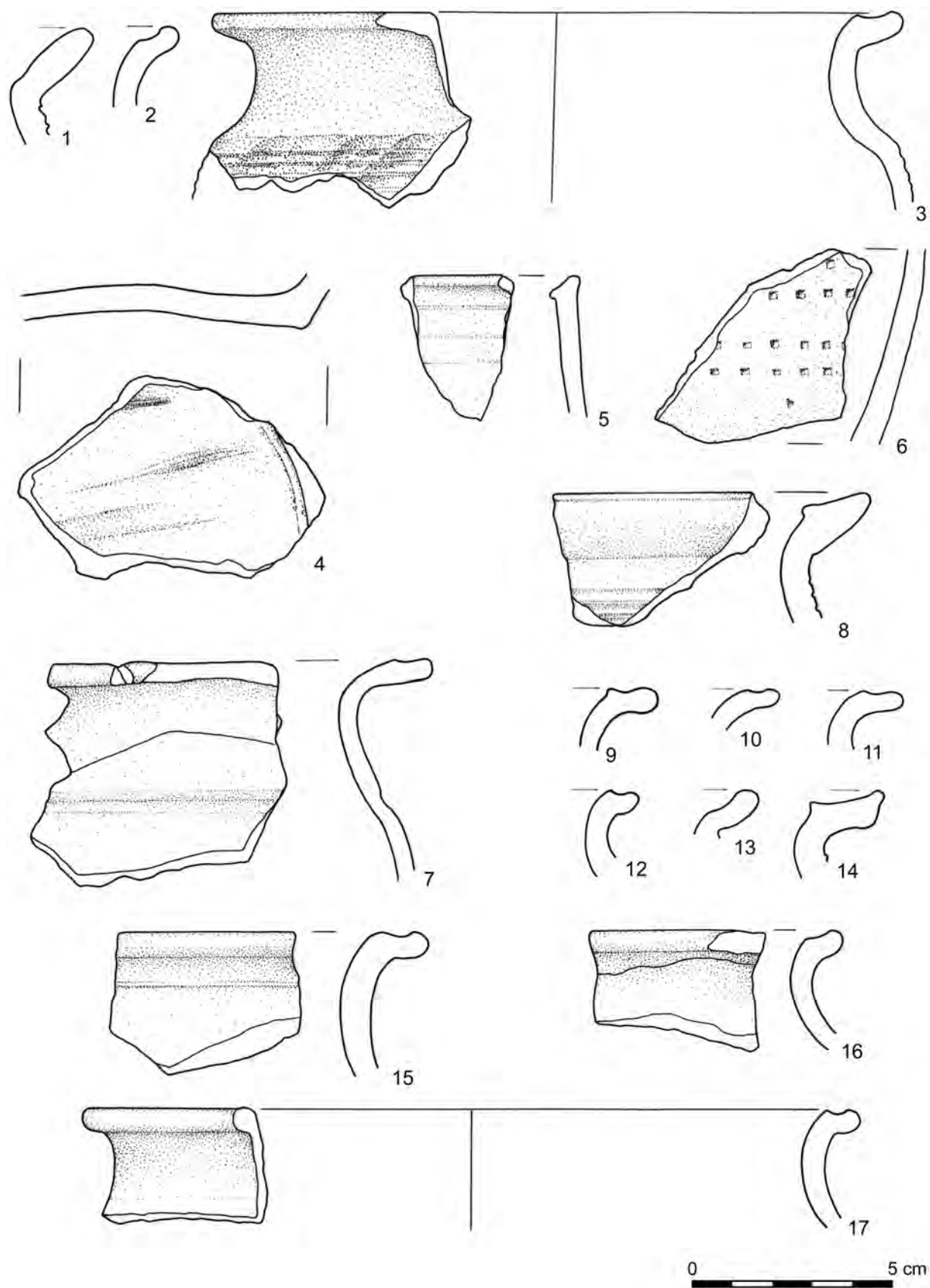
Tabl. VI.9. Suraż, pow. białostocki, stan. 1, wykop 4. Wybór fragmentów ceramiki wczesnośrednio-wiecznej z warstwy 289 (faza III). Rys. G. Nowakowska, H. Olczak, A. Poniewierska



**Tabl. VI.10.** Suraż, pow. białostocki, stan. 1, wykop 4. Wybór fragmentów ceramiki wczesnośrednio-wiecznej z warstwy 289 (faza III). Rys. G. Nowakowska, H. Olczak, A. Poniewierska

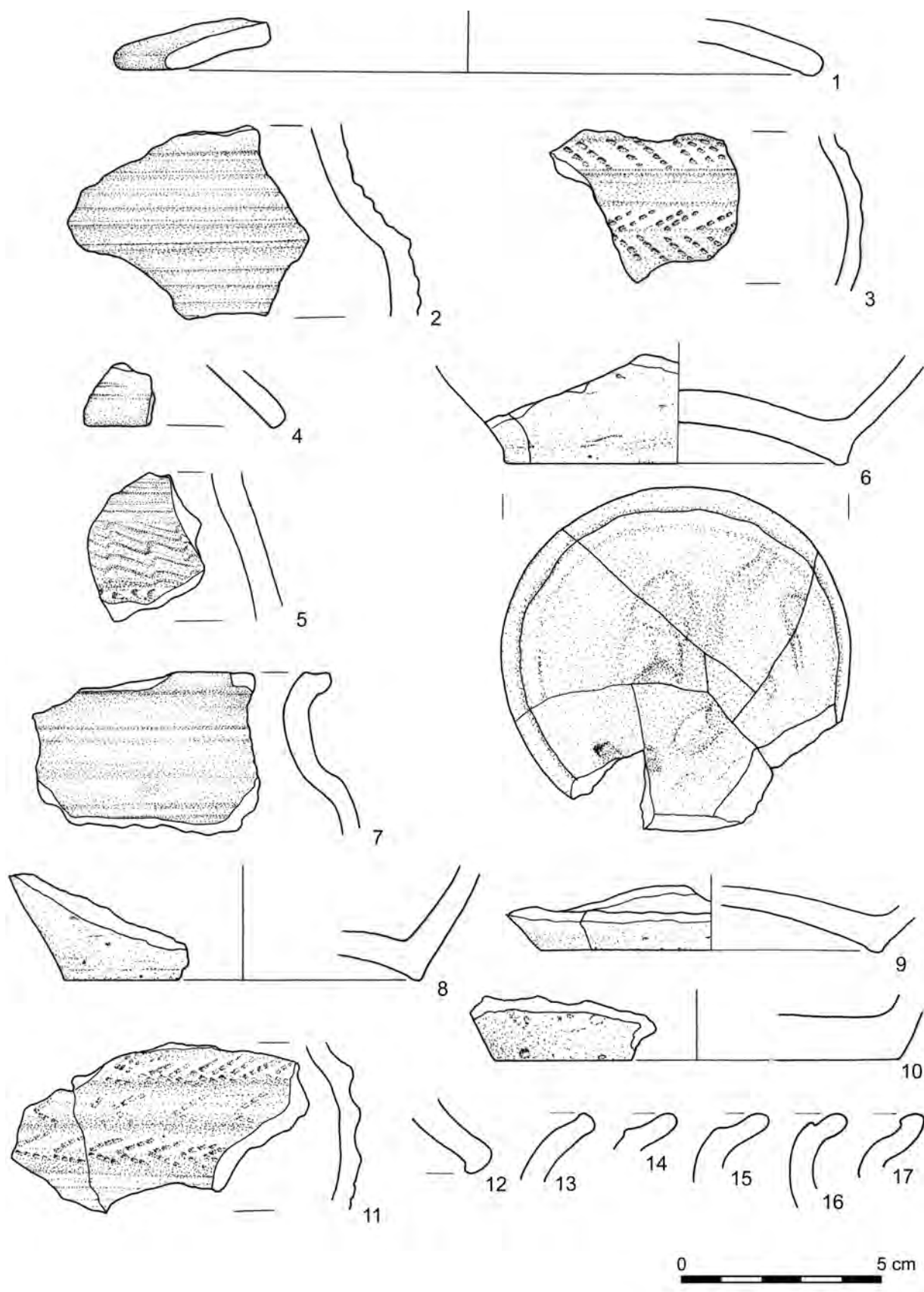


**Tabl. VI.11.** Suraz, pow. białostocki, stan. 1, wykop 4. Wybór fragmentów ceramiki wczesnośredniowiecznej: 1-21 – w. 289 (faza III); 22 – ob. 302, w. 297 (faza IIA–IIC lub IID–IIE); 23 – w. 306 (faza I). Rys. G. Nowakowska, H. Olczak, A. Poniewierska

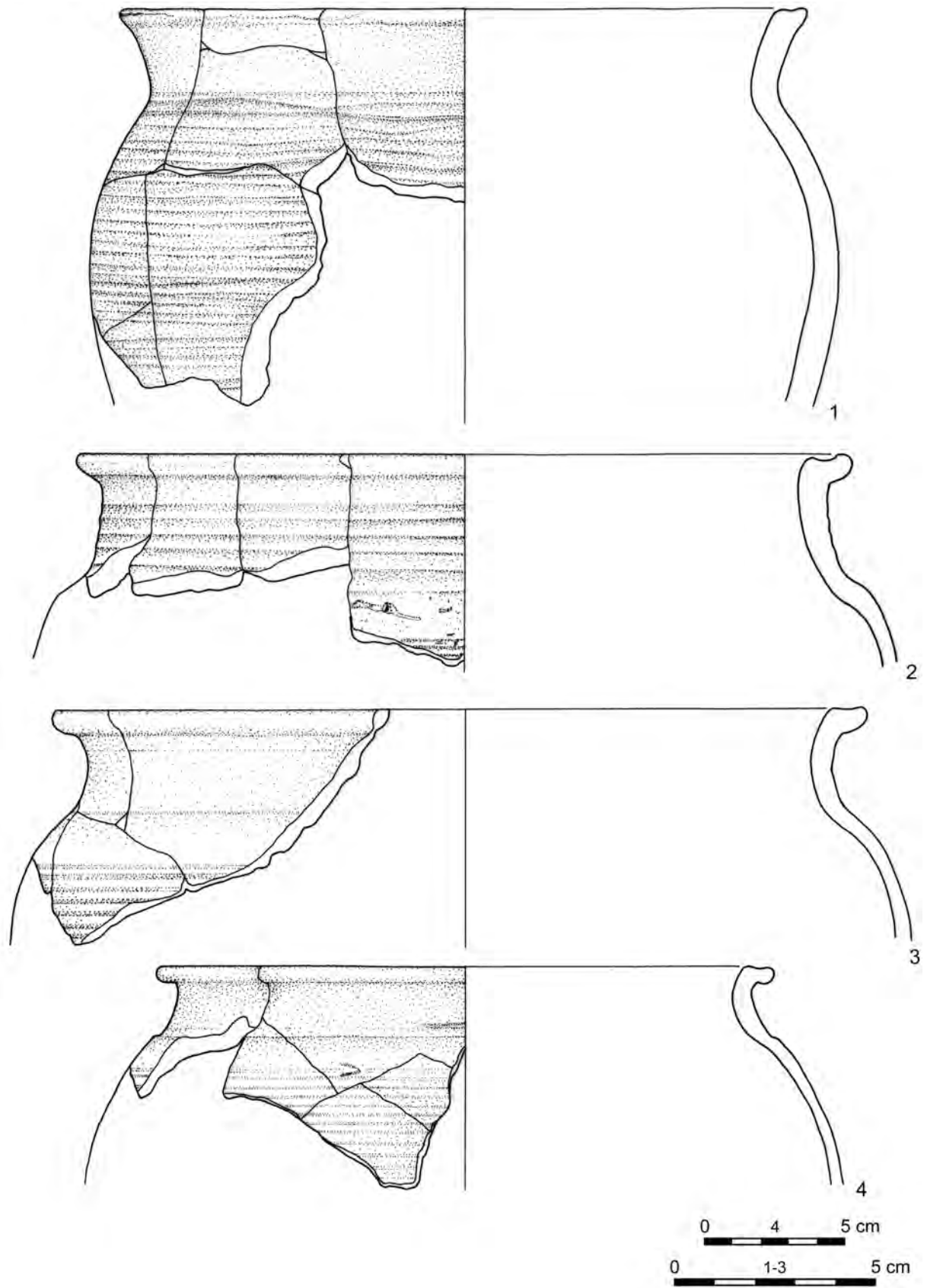


**Tabl. VI.12.** Suraż, pow. białostocki, stan. 1, wykop 4. Wybór fragmentów ceramiki wczesnośredniowiecznej: 1, 2 – w. 305 (faza III); 3–15 – w. 307 (faza IID–IIE); 16, 17 – ob. 323, w. 312 (faza IID–IIE). Rys. G. Nowakowska, H. Olczak, A. Poniewierska

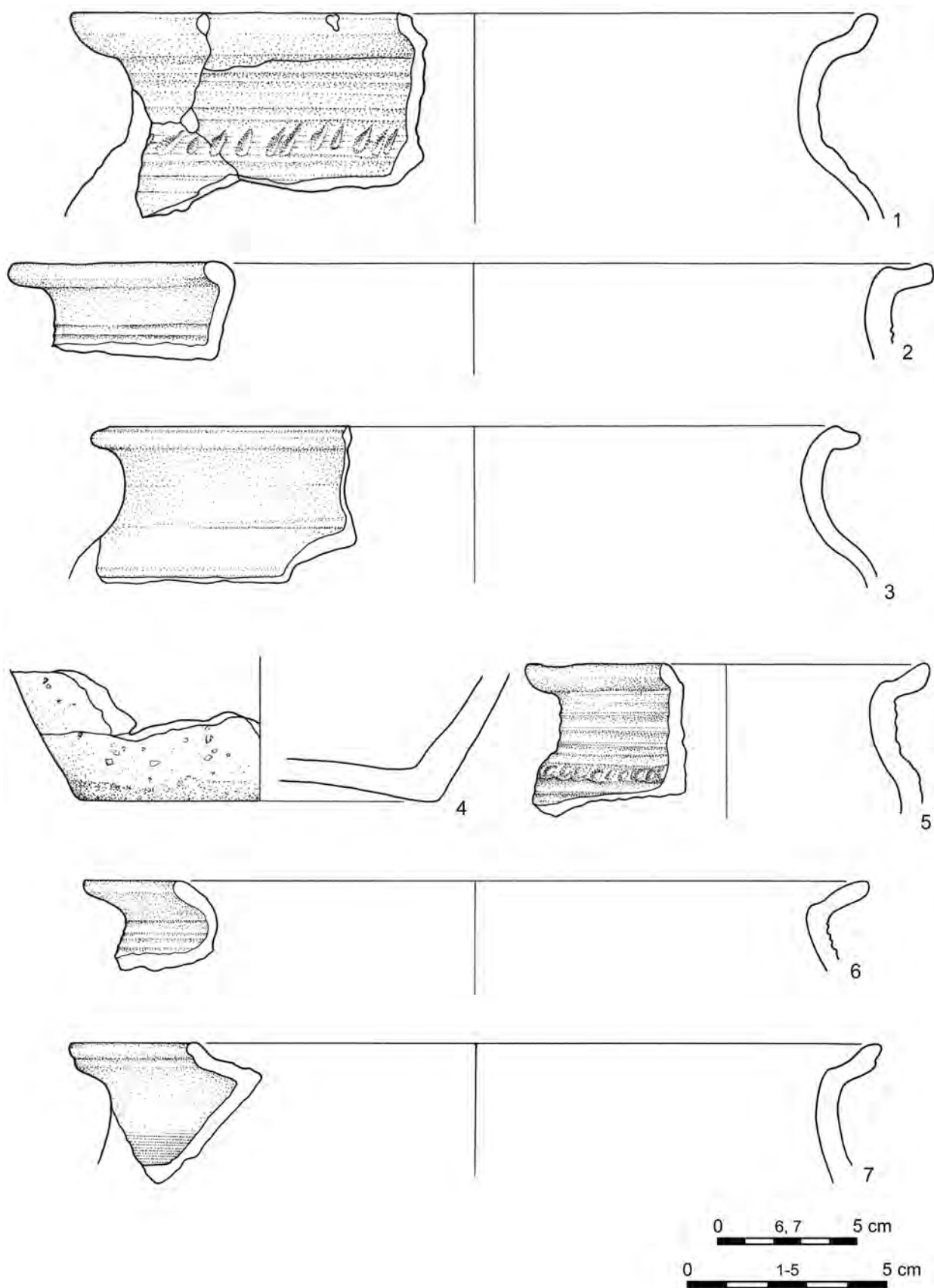




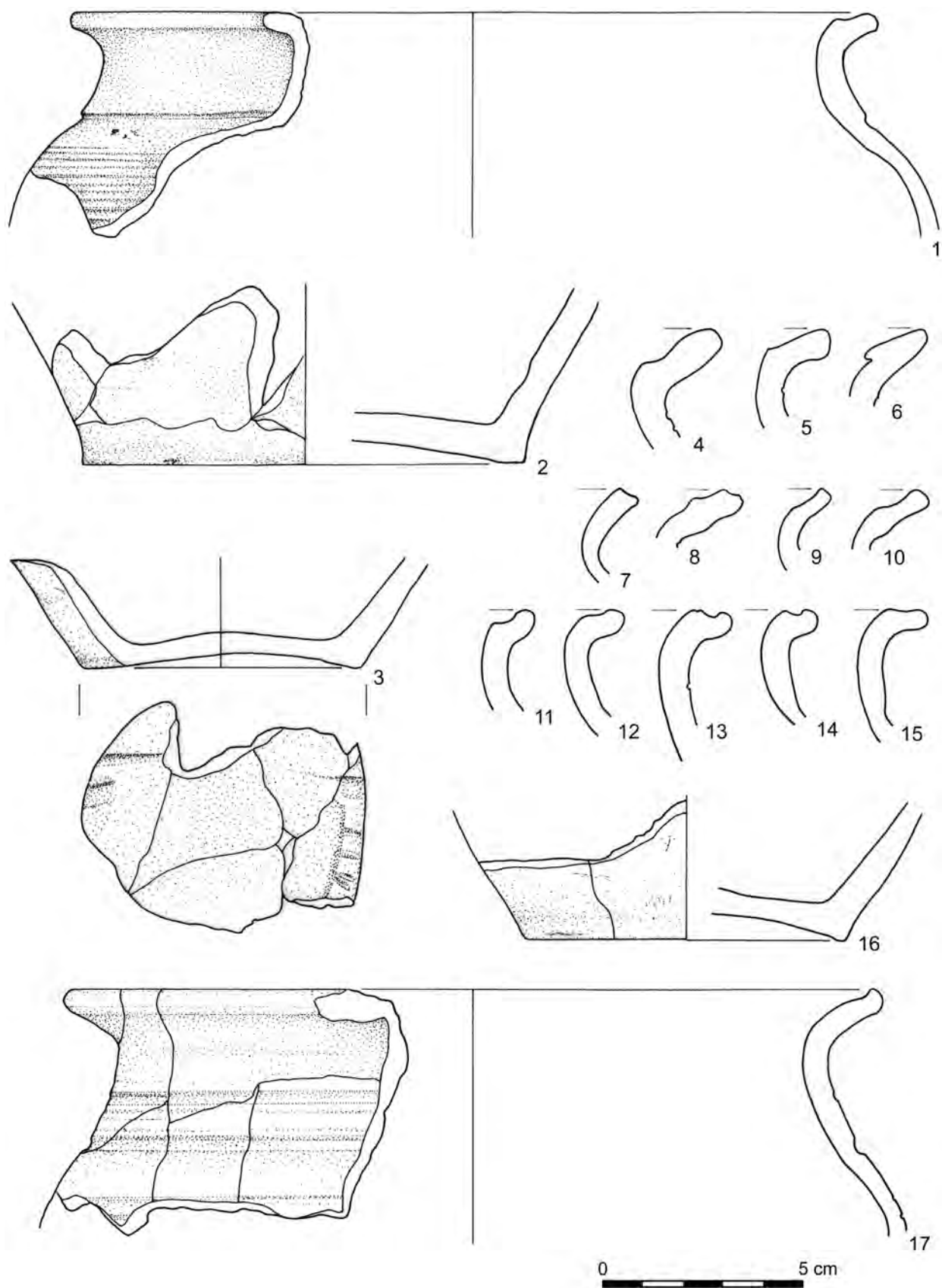
**Tabl. VI.13.** Suraż, pow. białostocki, stan. 1, wykop 4. Wybór fragmentów ceramiki wczesnośrednio-wiecznej: 1, 2 – ob. 323, w. 312/1 (faza IID–IIE); 3, 4 – ob. 323 (w. 312) lub w. 308 (faza IID–IIE); 5–17 – w. 308 i 308/1 (faza IID–IIE). Rys. G. Nowakowska, H. Olczak, A. Poniewierska



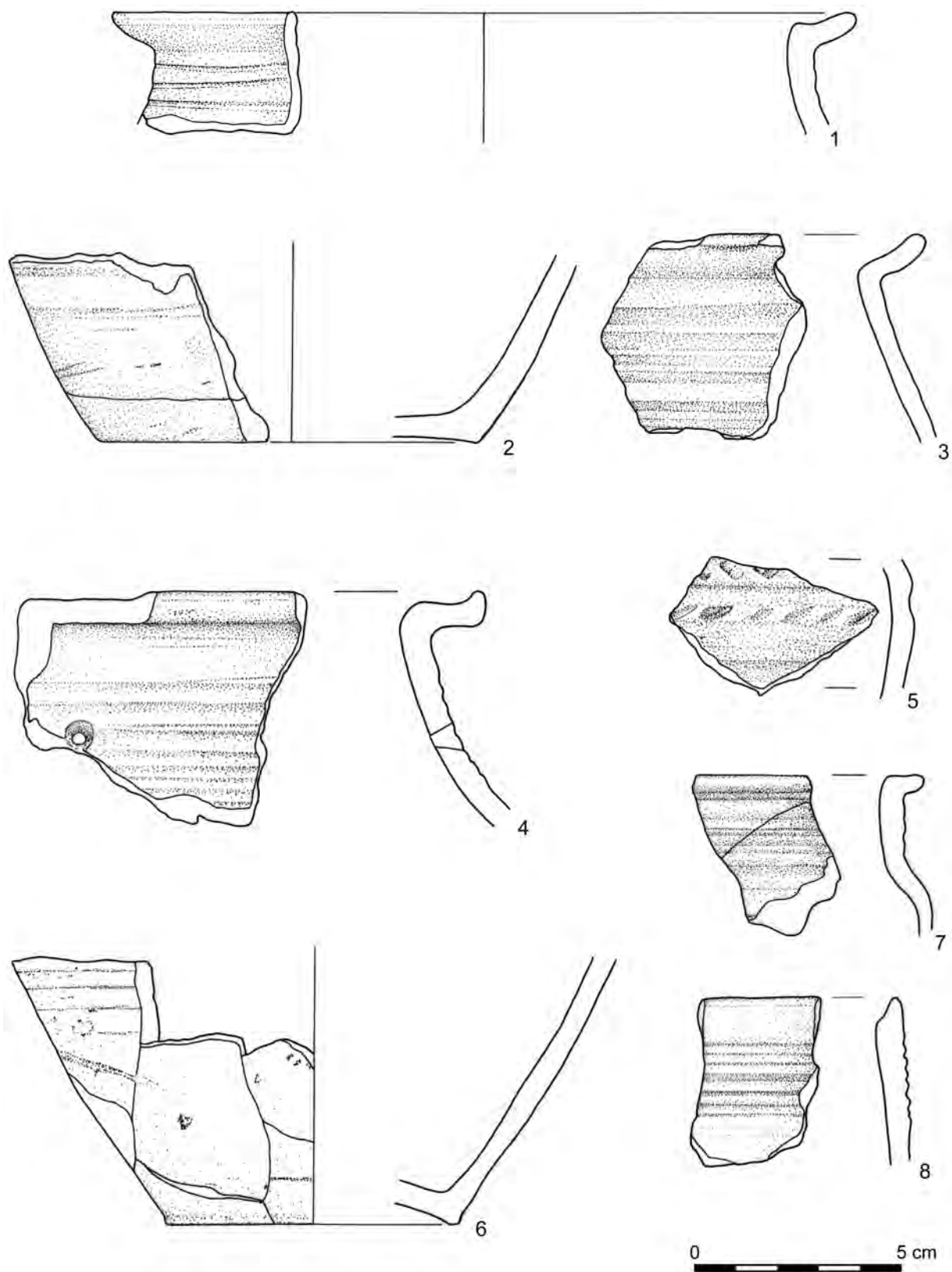
**Tabl. VI.14.** Suraż, pow. białostocki, stan. 1, wykop 4. Wybór fragmentów ceramiki wczesnośrednio-wiecznej z warstw 308 i 308/1 (faza IID–IIE). Rys. G. Nowakowska, H. Olczak, A. Poniewierska



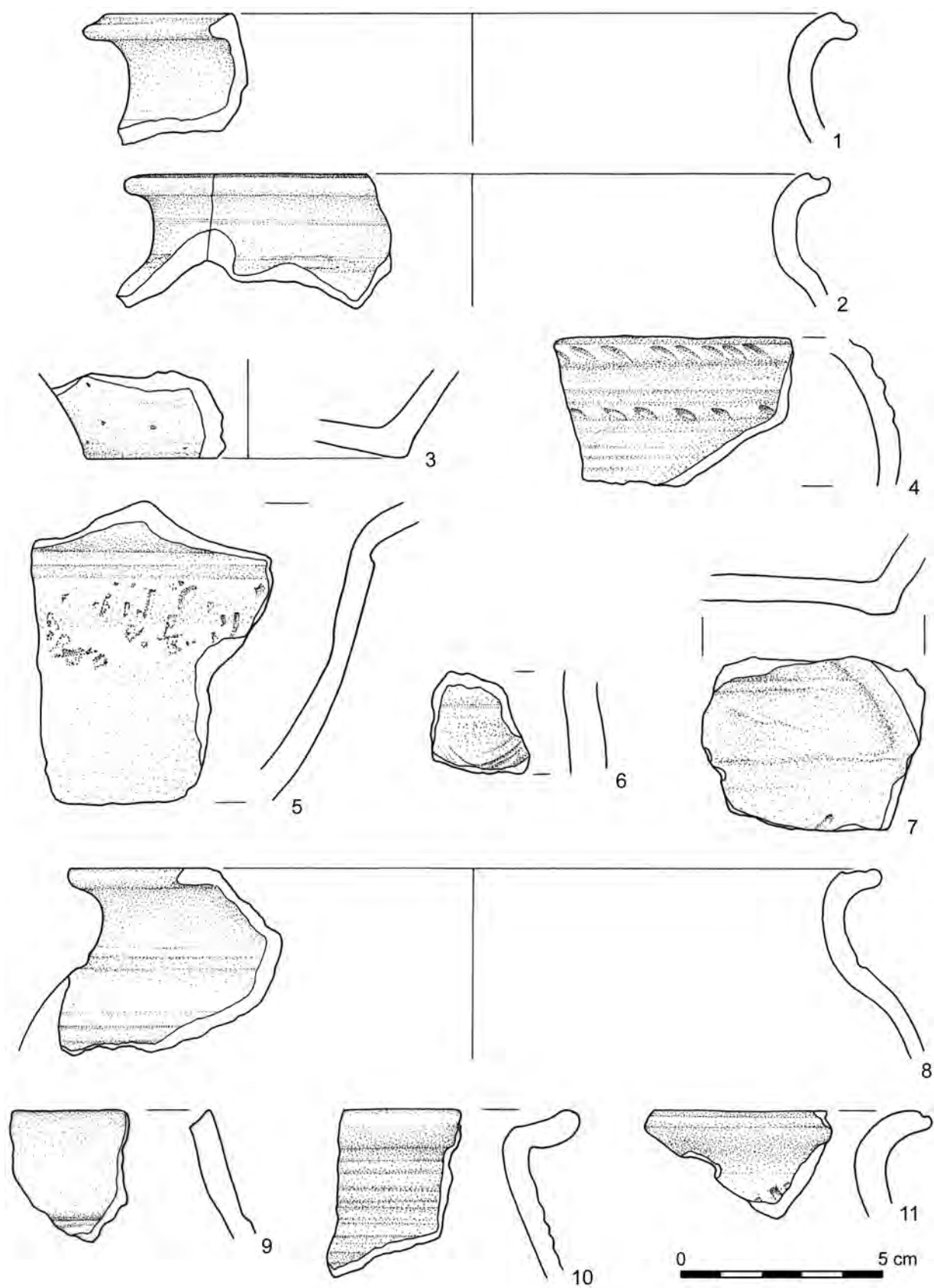
Tabl. VI.15. Suraż, pow. białostocki, stan. 1, wykop 4. Wybór fragmentów ceramiki wczesnośrednio-wiecznej z warstw 308 i 308/1 (faza IID–IIE). Rys. G. Nowakowska, H. Olczak, A. Poniewierska



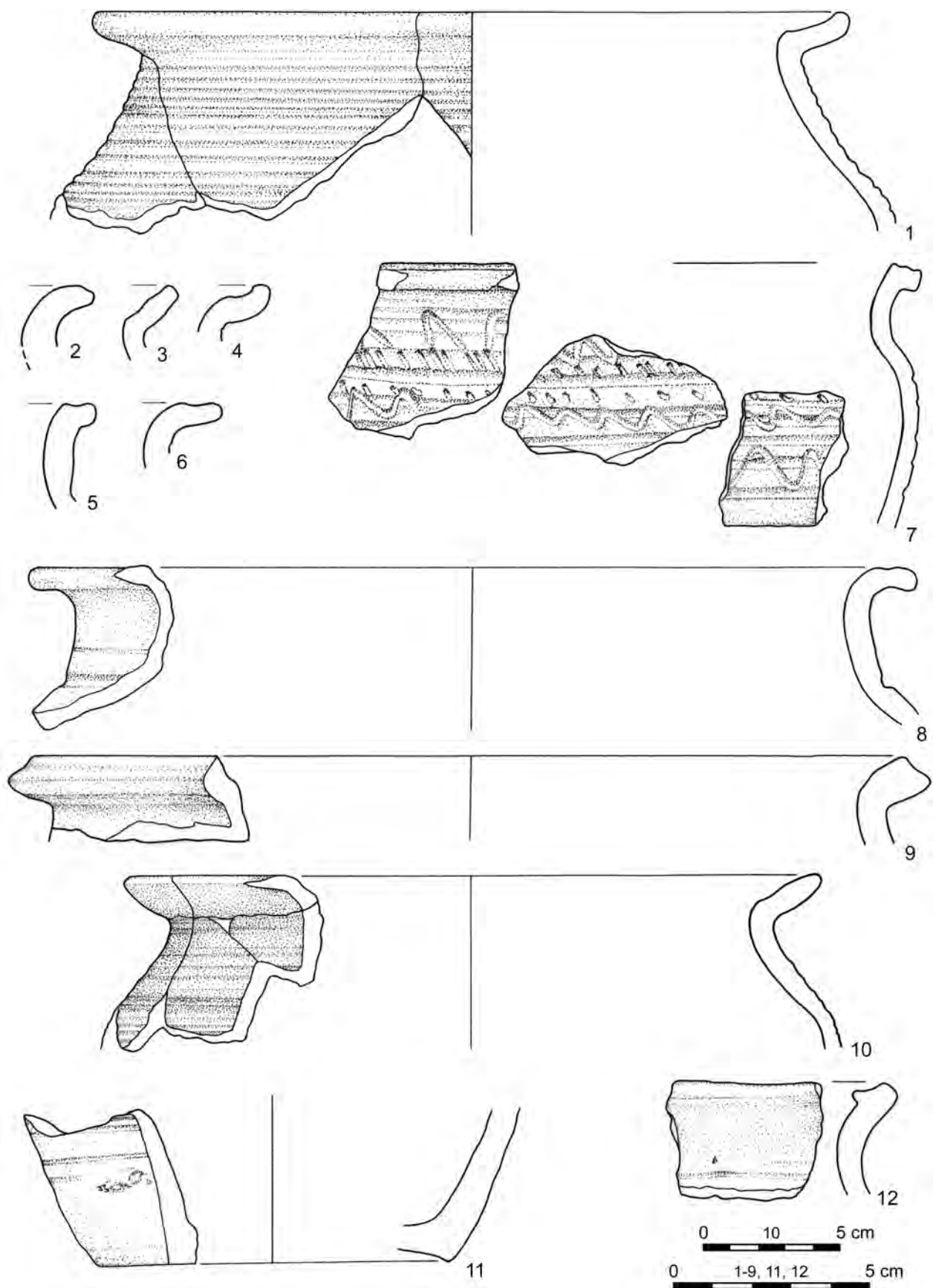
**Tabl. VI.16.** Suraż, pow. białostocki, stan. 1, wykop 4. Wybór fragmentów ceramiki wczesnośrednio-wiecznej z warstw 308 i 308/1 (faza IID–IIE). Rys. G. Nowakowska, H. Olczak, A. Poniewierska



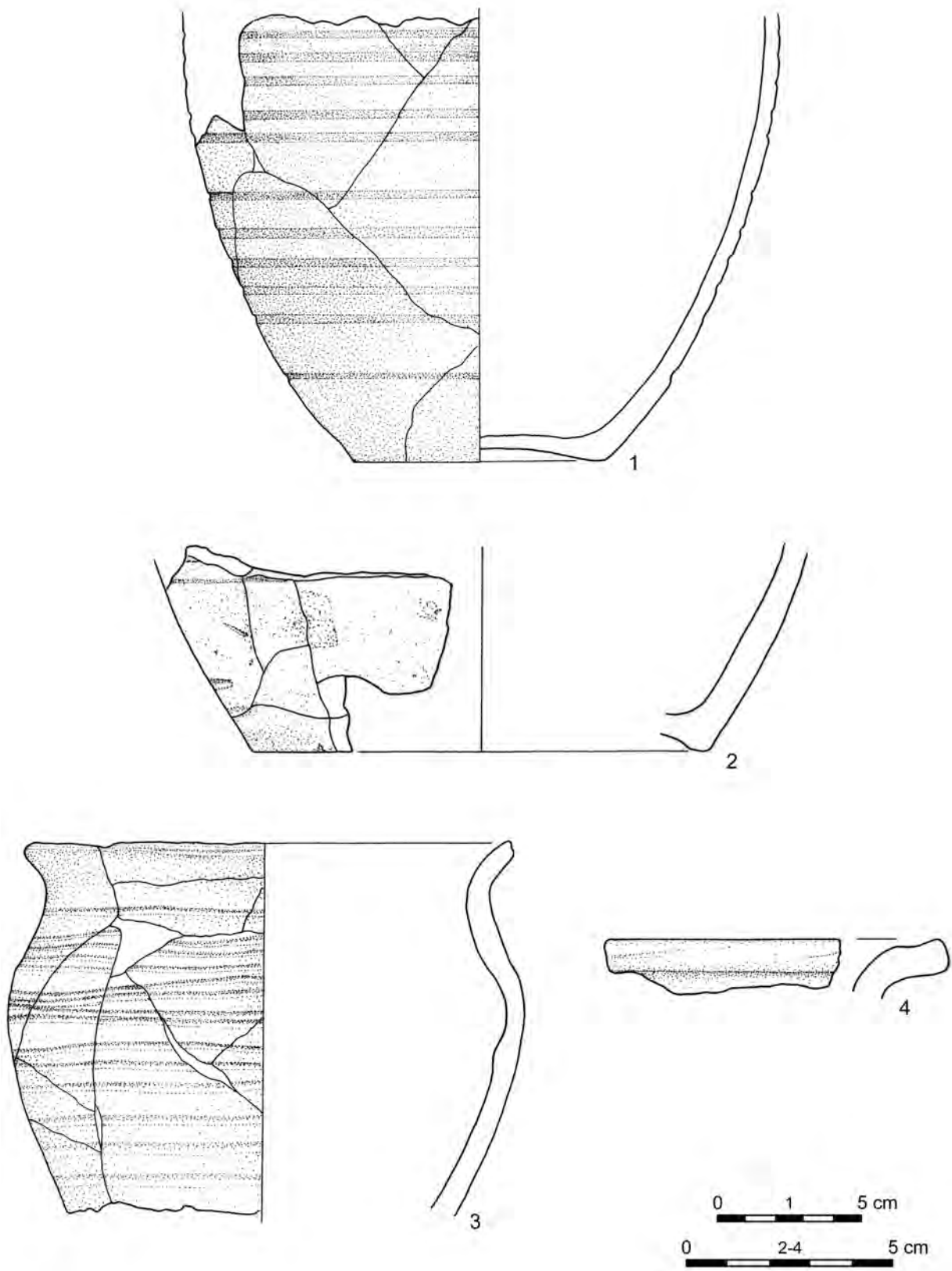
**Tabl. VI.17.** Suraż, pow. białostocki, stan. 1, wykop 4. Wybór fragmentów ceramiki wczesnośrednio-wiecznej: 1-6 – w. 308 i 308/1 (faza IID–IIE); 7, 8 – w. 308 lub 317 (faza IID–IIE lub IIA–IIC).  
Rys. G. Nowakowska, H. Olczak, A. Poniewierska



**Tabl. VI.18.** Suraż, pow. białostocki, stan. 1, wykop 4. Wybór fragmentów ceramiki wczesnośrednio-wiecznej: 1–5 – w. 308 lub 317 (faza IID–IIE lub IIA–IIC); 6–11 – w. 317 (faza IIA–IIC). Rys. G. Nowakowska, H. Olczak, A. Poniewierska

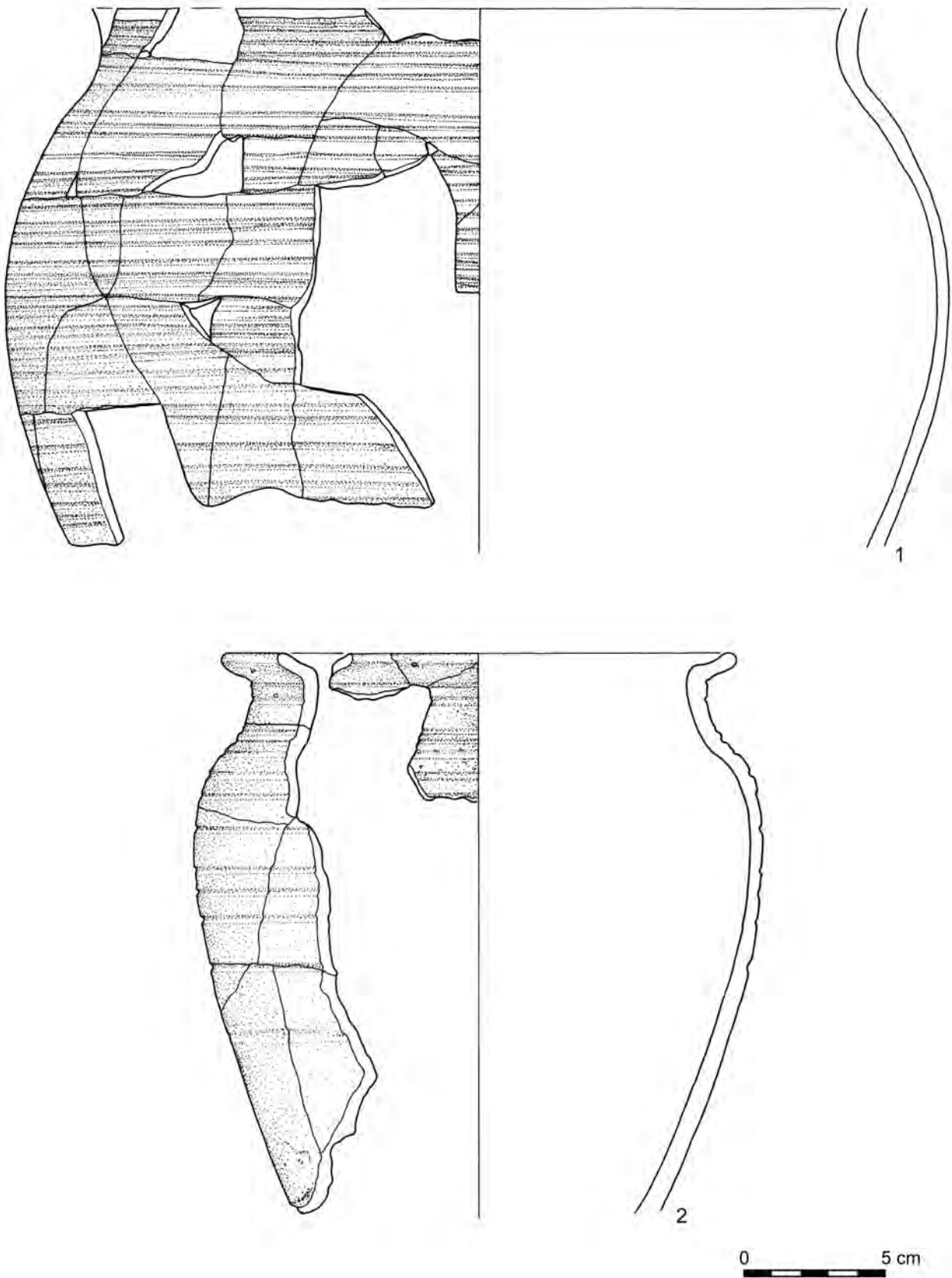


Tabl. VI.19. Suraż, pow. białostocki, stan. 1, wykop 4. Wybór fragmentów ceramiki wczesnośrednio-wiecznej z warstwy 317 (faza IIA–IIC). Rys. G. Nowakowska, H. Olczak, A. Poniewierska

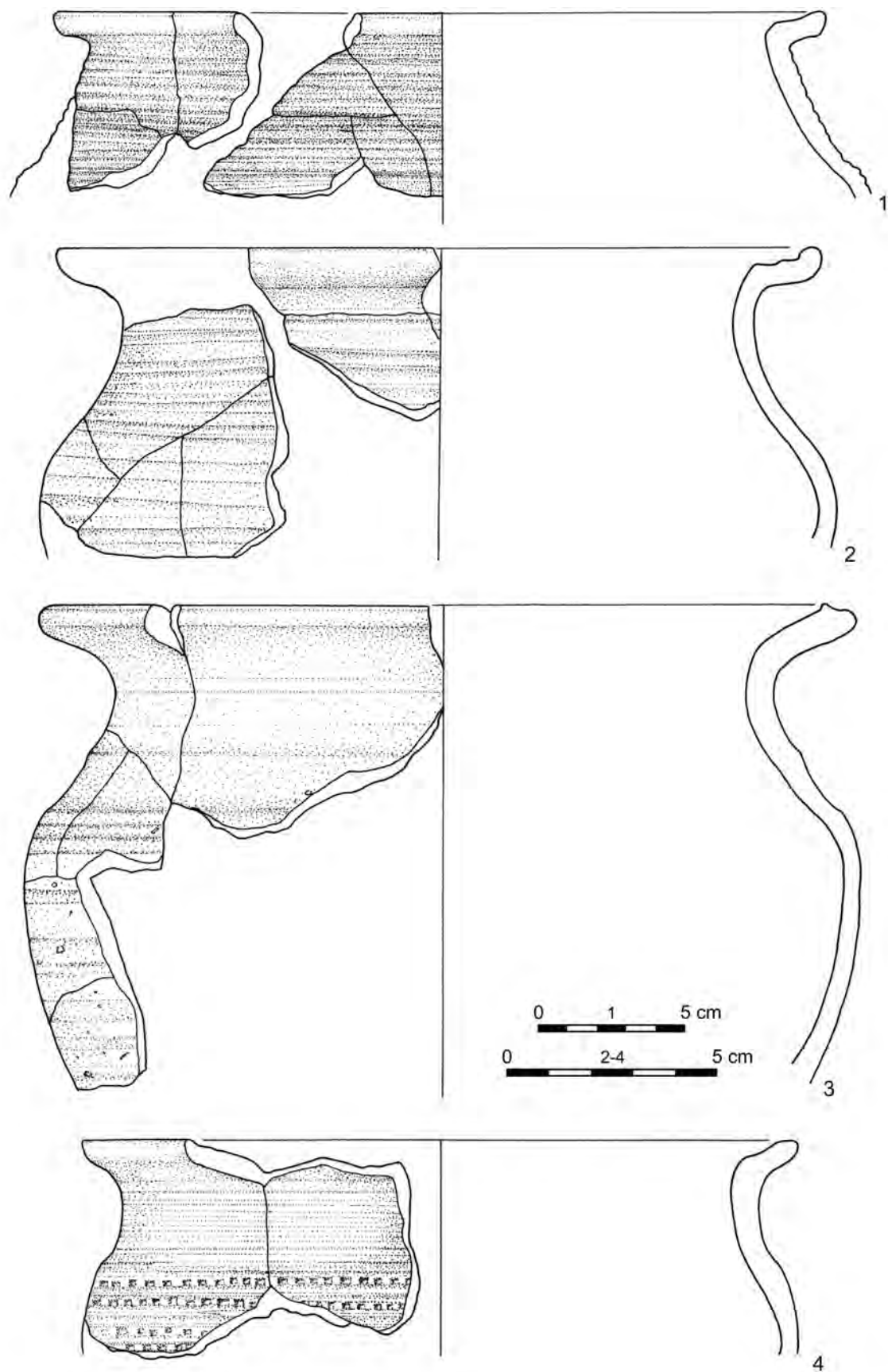


**Tabl. VI.20.** Suraż, pow. białostocki, stan. 1, wykop 4. Wybór fragmentów ceramiki wczesnośrednio-wiecznej z warstwy 317 lub 335 (faza IIA–IIC). Rys. G. Nowakowska, H. Olczak, A. Poniewierska

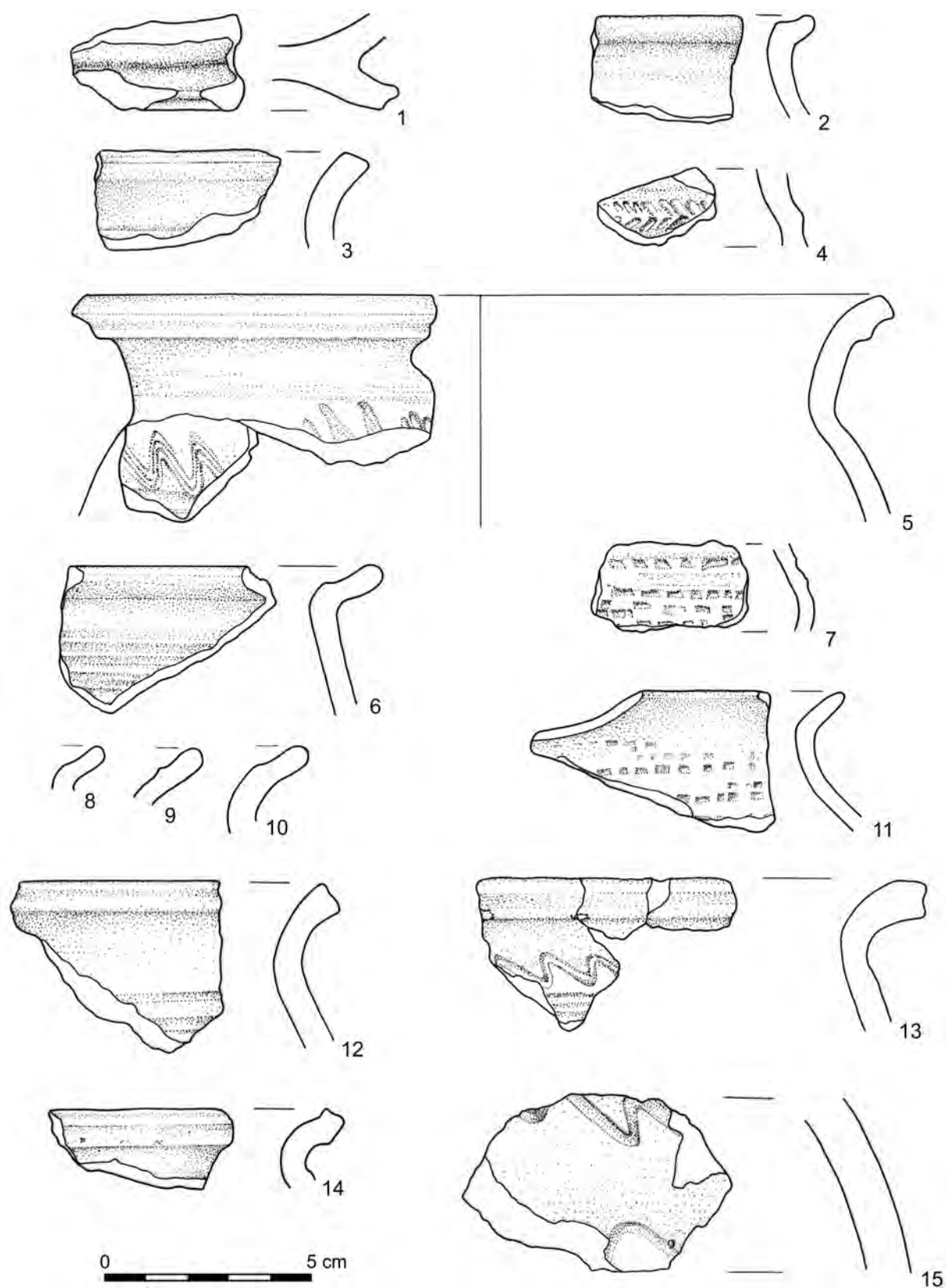




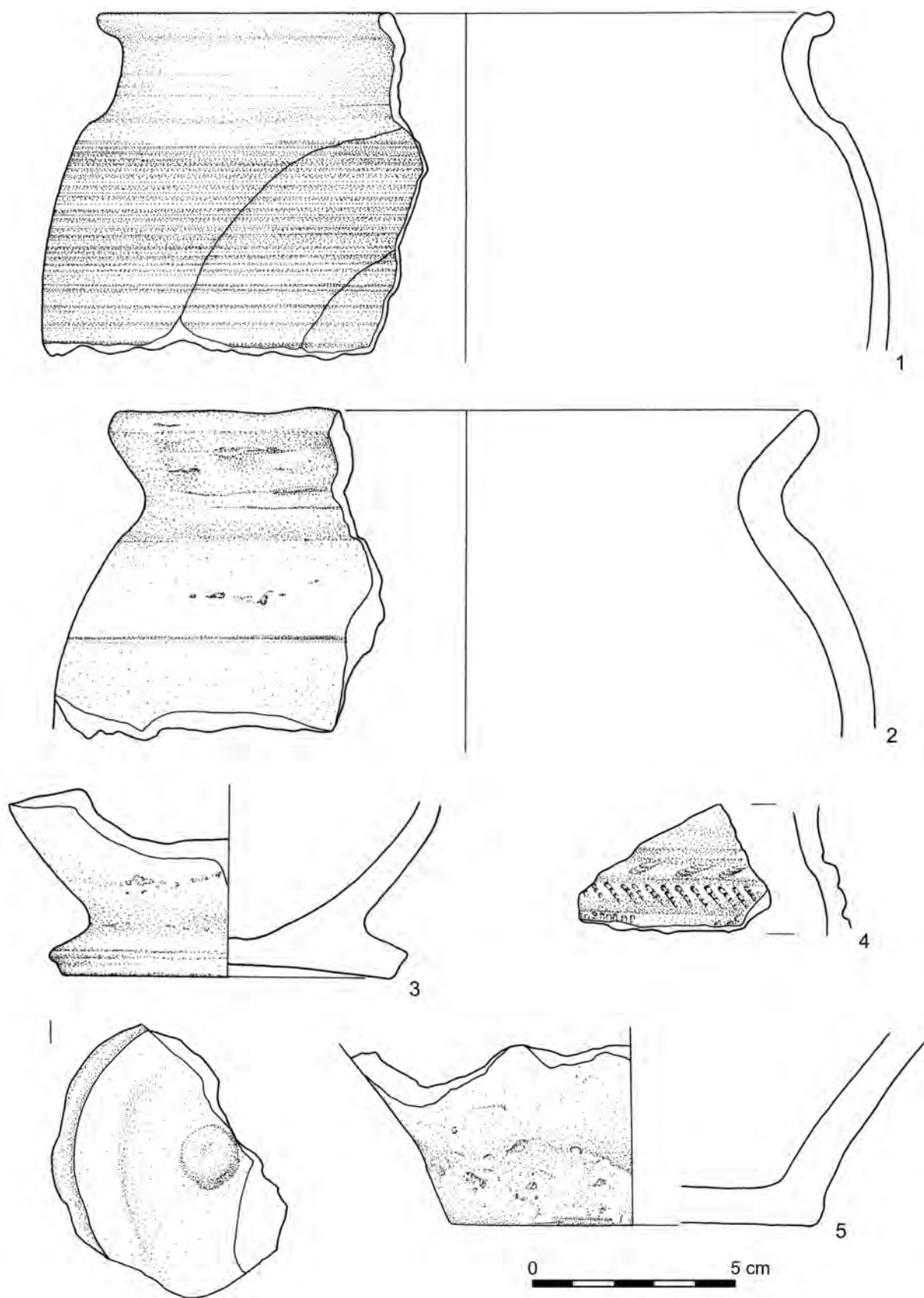
Tabl. VI.21. Suraż, pow. białostocki, stan. 1, wykop 4. Wybór fragmentów ceramiki wczesnośrednio-wiecznej z warstwy 335 (faza IIA–IIC). Rys. G. Nowakowska, H. Olczak, A. Poniewierska



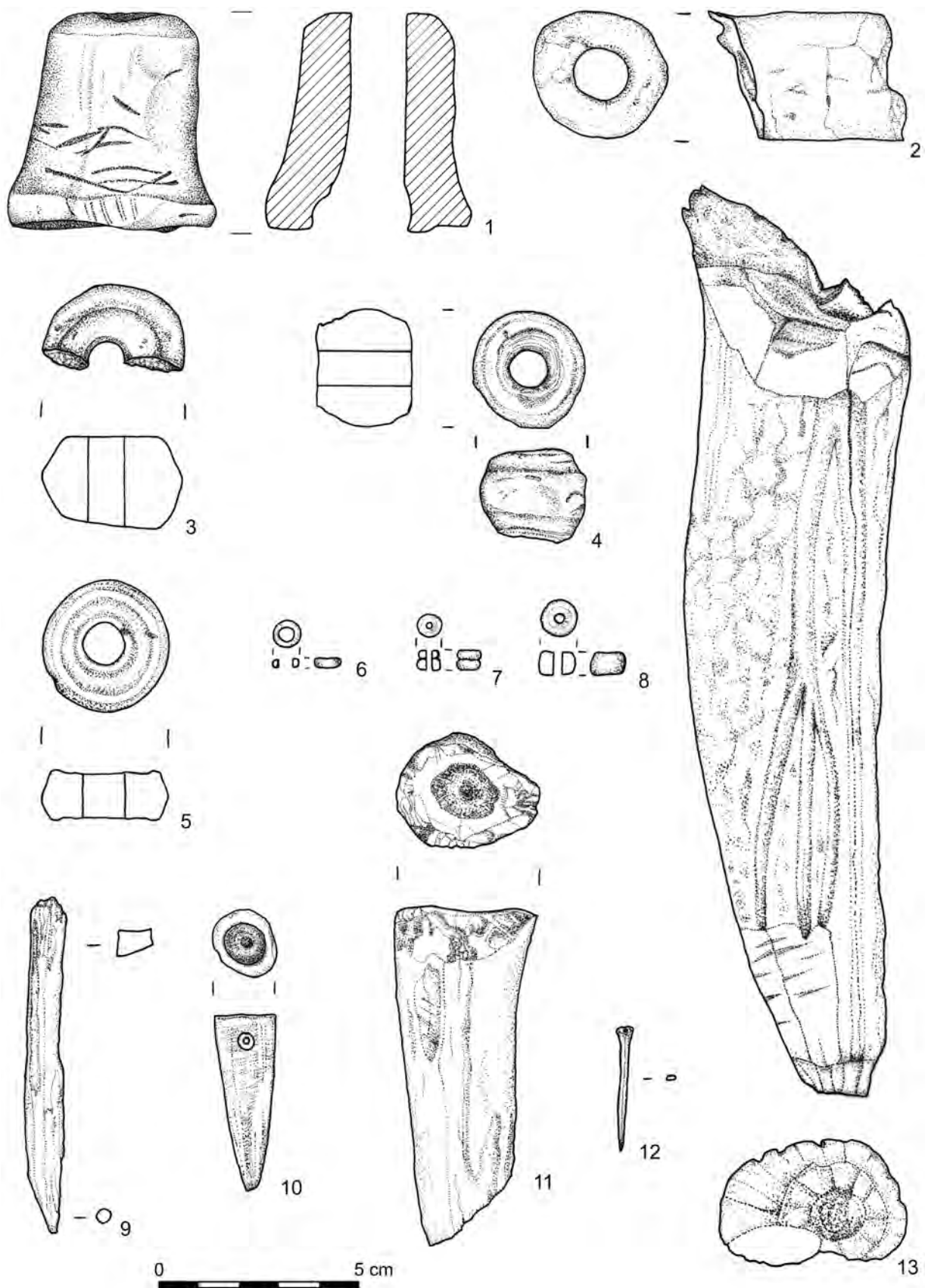
**Tabl. VI.22.** Suraż, pow. białostocki, stan. 1, wykop 4. Wybór fragmentów ceramiki wczesnośrednio-wiecznej: 1, 2 – w. 335 (faza IIA–IIC); 3 – w. 344 (faza IIA–IIC); 4 – w. 346 (faza IIA–IIC). Rys. G. Nowakowska, H. Olczak, A. Poniewierska



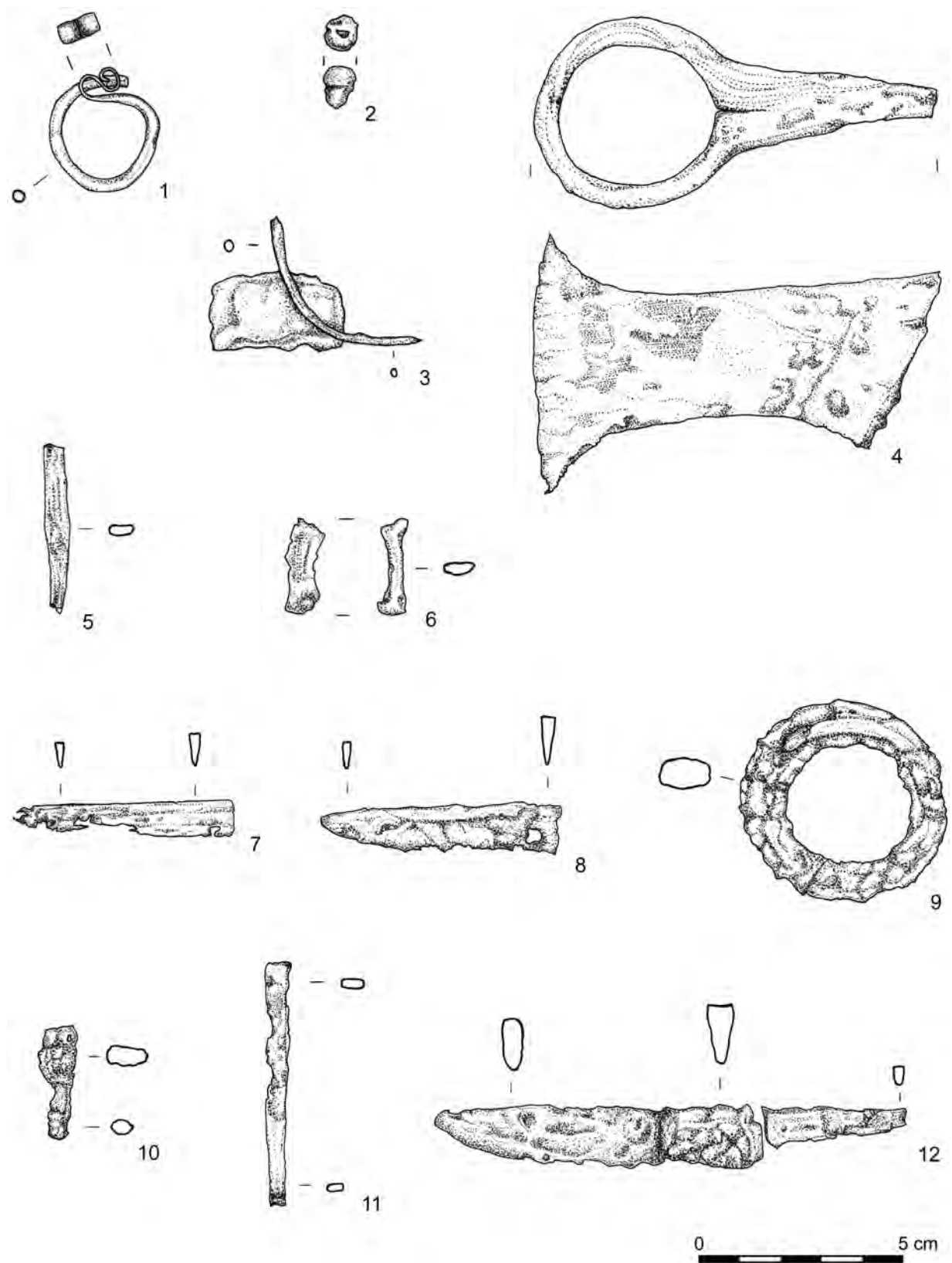
**Tabl. VI.23.** Suraż, pow. białostocki, stan. 1, wykop 4. Wybór fragmentów ceramiki wczesnośredniowiecznej: 1, 2 – w. 331 (faza IID–IIE); 3, 4 – w. 343 (faza I); 5 – w. 349 (faza I); 6 – w. 357 (faza IIA–IIC); 7, 8 – ob. 360, w. 334 (faza IID–IIE?); 9 – ob. 314, w. 313 (faza IID–IIE); 10 – ob. 325, w. 324 (faza IID–IIE); 11 – w. 377 (faza IIA–IIC); 12, 13 – w. 383 (faza I); 14 – ob. 392, w. 390 (faza I); 15 – ob. 412, w. 411 (faza I). Rys. G. Nowakowska, H. Olczak, A. Poniewierska



**Tabl. VI.24.** Suraż, pow. Białystok, stan. 1, wykop 4. Wybór fragmentów ceramiki wczesnośrednio-wiecznej: 1, 2, 5 – ob. 426, w. 425 (faza III); 3 – znalezisko luźne; 4 – ob. 424, w. 336 (faza III).  
Rys. G. Nowakowska, H. Olczak, A. Poniewierska



Tabl. VI.25. Suraz, pow. białostocki, stan. 1, wykopy 1 i 4. Wybór przedmiotów z gliny (1-5), szkła (6-8) oraz kości i poroża (9-13): 1 - w. 44; 2 - w. 255 (faza III?); 3, 12, 13 - w. 289 (faza III); 4 - w. 335 (faza IIA-IIC); 5 - w. 307 (faza IID-IIE); 6 - ob. 323, w. 312/1 (faza IID-IIE); 7 - ob. 376, w. 387 (faza IID-IIE); 8 - w. 377 (faza IIA-IIC); 9 - w. 262 (faza IIA-IIC); 10 - w. 317 (faza IIA-IIC); 11 - ob. 426, w. 425 (faza III). Rys. A. Poniewierska



**Tabl. VI.26.** Suraż, pow. białostocki, stan. 1, wykop 4. Wybór przedmiotów z miedzi (1), brązu lub miedzi (2, 3, 5) oraz żelaza (4, 6–12): 1 – w. 307 (faza IID–IIE); 2 – znalezisko luźne; 3 – w. 1; 4 – w. 136; 5–10 – w. 289 (faza III); 11 – w. 307 (faza IID–IIE); 12 – w. 317 (faza IIA–IIC). Rys. A. Poniewierska

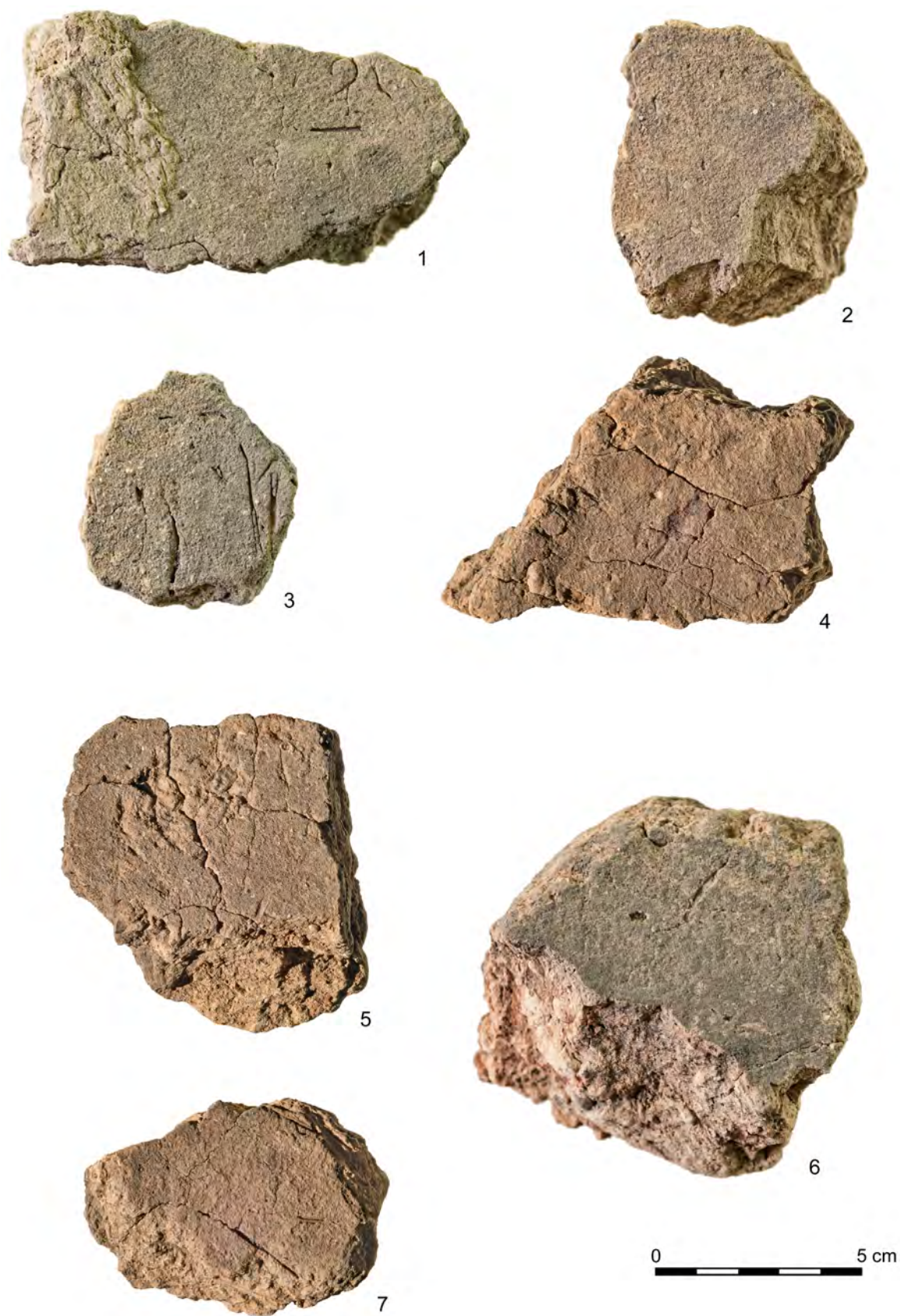


**Tabl. VI.27.** Suraż, pow. białostocki, stan. 1, wykop 4. Wybór fragmentów polepy: 1 – w. 307 (faza IID–IIE); 2, 3 – w. 316 (faza III); 4–6 – ob. 323, w. 312 (faza IID–IIE). Fot. D. Krasnodębski, oprac. F. Siegmeth



**Tabl. VI.28.** Suraż, pow. białostocki, stan. 1, wykop 4. Wybór fragmentów polepy z warstw 308 i 308/1 (faza IID–IIE). Fot. D. Krasnodębski, oprac. F. Siegmeth





Tabl. VI.29. Suraż, pow. białostocki, stan. 1, wykop 4. Wybór fragmentów polepy z warstwy 335 (faza IIA–IIC). Fot. D. Krasnodębski, oprac. F. Siegmeth



**Tabl. VI.30.** Suraż, pow. białostocki, stan. 1, wykop 4. Wybór fragmentów polepy: 1 – w. 331 (faza IID–IIE); 2 – w. 346 (faza IIA–IIC); 3 – ob. 380, w. 379 (faza IIA–IIC); 4 – ob. 412, w. 411 (faza I).  
Fot. D. Krasnodębski, oprac. F. Siegmeth